



Fouilles et inventaires archéologiques 2021
au Grand lac Nomingue (sites CcFr-1 et CcFr-5)
et sur la rivière du Lièvre (sites CbFv-1, CbFv-2 et CbFv-3)



Karine Taché, Francis Lamothe, Olivier Pilette et Adrien Cesario

Novembre 2022



Fouilles et inventaires archéologiques 2021
au Grand lac Nomingue (sites CcFr-1 et CcFr-5)
et sur la rivière du Lièvre (sites CbFv-1, CbFv-2 et CbFv-3)

Page couverture:

Archéologues, étudiants-archéologues, bénévoles, propriétaire et famille sur le site CcFr-1
(photographie Sylvie Constantin)

Quatrième :

Échanges amicaux au Grand lac Nomingue (site CcFr-1), de gauche à droite : Linda Dwyer, Dolcy Meness, Christine Guay, Doug Odjick, Robert Bélanger, Blythe Commando et Liz Cote (photographie Sylvie Constantin)

REMERCIEMENTS

Nous tenons à remercier toutes les personnes concernées de près ou de loin à la réalisation de ce projet, en particulier Sylvie Constantin et Sylvain Généreux, responsables de la corporation Les Gardiens du patrimoine archéologique des Hautes-Laurentides (GPAHL), pour leurs immenses efforts et leur enthousiasme concernant la reconnaissance, la mise en valeur et la diffusion de la richesse du patrimoine archéologique des Hautes-Laurentides. Nous tenons à remercier M. André Gougeon, M. René Gougeon et Mme Lorayne Dicaire pour nous avoir gracieusement donné accès à leurs propriétés sur les rives de la Lièvre. Sincères remerciements à M. Louis-Pierre Coursol de même qu'à son épouse Rachel Samson, pour avoir partagé leurs connaissances sur la localisation des artefacts de leur vaste collection personnelle. Nous remercions les résidents et villégiateurs de la région de Nominique de nous avoir gracieusement donné accès à leurs propriétés, notamment M. Robert Bélanger, Mme Christine Guay, Mme Claudie Bélanger et M. Raymond Cartier pour l'accueil chaleureux et l'aide offerte lors des interventions réalisées à l'embouchure du ruisseau Jourdain et à l'entrée de la rivière Nominique. Nous remercions également M. Gilbert Thérout, beau-frère de M. Robert Bélanger, pour l'aide à la scie mécanique et la prise de la photo d'équipe. Nous remercions la firme Ethnoscop pour avoir généreusement mis ses ressources logistiques à la disposition de l'équipe d'intervention, notamment pour la cartographie et lors du travail d'édition. Nous remercions la Municipalité de Nominique et l'Université Laval pour leur soutien financier essentiel à la réalisation de ce projet de recherche.

Nous tenons finalement à remercier les membres de la Première Nation Kitigan Zibi Anishinabeg: Douglas Odjick, membre élu du conseil de bande, Linda Dwyer, du bureau des ressources naturelles et de la faune, Blythe Commando, Liz Cote et Dolcy Meness, membres des Kitigan Zibi Nagadjitòdjig Akì (Gardiens du territoire de Kitigan Zibi), pour leur participation active lors de l'intervention archéologique de 2021. Cette première collaboration avec la communauté autochtone au cœur des Laurentides, territoire traditionnel non cédé de la Nation Anishinabe-Algonquine, s'est avérée très enrichissante et a permis de tisser de liens et d'établir les bases en vue de projets futurs. Cette démarche vise notamment à contribuer à la formation d'une nouvelle génération d'archéologues issus des communautés autochtones et s'inscrit dans une reconnaissance du droit inhérent des Premiers Peuples à gérer leur patrimoine culturel et archéologique. .

RÉSUMÉ

L'inventaire et la fouille archéologiques effectués au Grand lac Nomingue (sites CcFr-1 et CcFr-5) et sur la rivière du Lièvre (sites CbFv-1, CbFv-2 et CbFv-3) s'inscrivent en continuité avec le travail d'investigation entrepris depuis 2011 par les Gardiens du patrimoine archéologique des Hautes-Laurentides. Les données archéologiques accumulées jusqu'ici témoignent d'une présence humaine continue sur le territoire depuis plus de 7 000 ans.

La fouille archéologique et les quelques sondages archéologiques complémentaires réalisés cette année à l'embouchure du ruisseau Jourdain (site CcFr-1) ont permis de bonifier substantiellement la collection archéologique déjà mise au jour (os blanchis, éclats, outils lithiques, tessons de céramique) en plus de documenter les espaces associés à des aménagements de foyers. Six nouvelles unités de vase sont venues s'ajouter à l'assemblage céramique tandis que l'analyse des témoins lithiques a permis de dénombrer 48 outils et plus de 767 éclats de taille répartis en plusieurs matériaux.

À quelques dizaines de mètres à l'ouest de l'embouchure du ruisseau Jourdain, un inventaire complémentaire a confirmé la présence de tissu archéologique résiduel sur une portion plus étendue d'une propriété riveraine qui avait été investiguée l'année précédente (site CcFr-5), malgré les importants travaux d'aménagement apportés au terrain au fil des ans.

L'inventaire archéologique effectué sur la rivière du Lièvre, dans les environs de l'île Longue, ont permis de documenter le tissu archéologique résiduel de trois secteurs où de nombreuses découvertes fortuites avaient été réalisées au fil des ans sur les berges érodées de la rivière. En général, l'inventaire a permis de constater l'importante détérioration des sites par la montée des eaux suite à la construction du barrage des Cèdres en 1930.

Sur la rivière du Lièvre, tout juste au nord de l'île Longue, le site CbFv-1 a permis de documenter la présence des vestiges d'une aire de combustion constituée d'un aménagement de pierres rougies fracturées et d'une centaine d'os blanchis auxquels était associée une vingtaine de fragments et d'éclats de chert Kichisipi. La présence du chert Kichisipi s'avère une manifestation tangible du réseau d'interactions qui lie la vallée de l'Outaouais et la Lièvre.

À l'embouchure du ruisseau du Cerf, sur le site CbFv-2, deux sondages se sont avérés positifs. Les quelques éclats mis au jour confirment dans ce secteur une occupation ancienne des lieux, malgré l'importante détérioration de la topographie d'origine par l'érosion.

Sur l'île Longue, le site CbFv-3, malgré son important potentiel archéologique, n'a pas permis d'identifier de contextes associés à l'occupation humaine paléohistorique. Seuls quelques petits assemblages historiques associés à la fin du XIX^e et au XX^e siècle ont été observés.

LISTE DES PARTICIPANTS

DIRECTION DE L'ÉTUDE

Les Gardiens du patrimoine archéologique des Hautes-Laurentides

Sylvie Constantin	Co-fondatrice, présidente et coordonnatrice des opérations
Sylvain Généreux	Co-fondateur, vice-président

Ministère de la Culture et des Communications du Québec

Éliane Bossé	Archéologue, conseillère en développement culturel
--------------	--

ÉQUIPE

Karine Taché	Archéologue paléohistorienne chargée de projet, cartographie, rédaction, analyse céramique et culture matérielle
Francis Lamothe	Assistant archéologue et archéologue-historien, analyse culture matérielle, cartographie, infographie, rédaction et édition
Olivier Pilette	Assistant en archéologie (stagiaire Université Laval), analyse lithique et rédaction des sections 2.3 et 4.1.2 et annexe B
Adrien Cesario	Technicien en archéologie (stagiaire Université Laval), analyse céramique et rédaction de l'annexe A
Roland Tremblay	Technicien en archéologie
Mathieu Gaudreau	Technicien en archéologie (stagiaire Université Laval)
Clotilde Roger	Technicienne en archéologie (stagiaire Université Laval)
Alex Vendetti	Technicien en archéologie (stagiaire Université de Montréal)
Sylvie Constantin	Technicienne en archéologie (bénévole)
Sylvain Généreux	Technicien en archéologie (bénévole)
Pierre Généreux	Technicien en archéologie (bénévole)
Christiane Lalonde	Technicienne en archéologie (bénévole)
Robert Bélanger	Technicien en archéologie et soutien technique (bénévole)
Christine Guay	Soutien technique (bénévole)
Gilbert Thérout	Soutien technique (bénévole)

KITIGAN ZIBI NAGADJITÒDJIG AKÌ (LES GARDIENS DU TERRITOIRE DE KITIGAN ZIBI)

Blythe Commando	Technicien en archéologie
Liz Cote	Technicienne en archéologie
Dolcy Meness	Technicienne en archéologie

ETHNOSCOPIE

Laurence Johnson	Édition (bénévole)
Stéphanie Goyette	Édition

TABLE DES MATIÈRES

LISTE DES PARTICIPANTS	9
LISTE DES FIGURES	XI
LISTE DES PHOTOGRAPHIES	XIII
LISTE DES PLANS	XV
LISTE DES PLANCHES PHOTOGRAPHIQUES	XV
LISTE DES TABLEAUX	XVII
1. INTRODUCTION	1
1.1 Contexte administratif et mandats	1
1.2 Localisation de l'aire d'étude	2
2. ÉTATS DES CONNAISSANCES	5
2.1 Paysage naturel	5
2.2 Hydrographie des Laurentides	6
2.3 Cadre culturel paléohistorique et interventions antérieures	13
2.3.1 Haute-Mauricie	13
2.3.2 Bassin de la Gatineau	15
2.3.3 Vallée de l'Outaouais	15
2.3.4 Haute-Laurentides — MRC d'Antoine-Labelle	18
2.3.5 Bassins des rivières Rouge, du Lièvre et Petite-Nation	19
2.4 Cadre historique général	21
2.4.1 Les secteurs à l'étude	26
3. MÉTHODOLOGIE	37
4. PRÉSENTATION DES RÉSULTATS	39
4.1 Interventions archéologiques au Grand lac Nominique	40
4.1.1 Fouilles archéologiques et inventaire complémentaire à l'embouchure du ruisseau Jourdain (site CcFr-1)	41
4.1.2 Inventaire complémentaire à proximité de la rivière Nominique (CcFr-5)	71
4.2 Inventaires archéologiques sur la rivière du Lièvre	81
4.2.1 Inventaire archéologique du côté est de la rivière du Lièvre (site CbFv-1)	84
4.2.2 Inventaire archéologique à l'embouchure du ruisseau du Cerf (CbFv-2)	92
4.2.3 Inventaire archéologique sur l'île Longue (CbFv-3)	97
5. CONCLUSION	103
6. RECOMMANDATIONS	107
MÉDIAGRAPHIE	109
ANNEXES	
ANNEXE A COLLECTION CÉRAMIQUE DU SITE CCFR-1 (RUISSEAU JOURDAIN)	
ANNEXE B ANALYSE ET RÉFÉRENTIEL LITHIQUE	
ANNEXE C INVENTAIRE DES ARTEFACTS ET ÉCOFACTS	
ANNEXE D CATALOGUE DES PHOTOGRAPHIES	

LISTE DES FIGURES

Figure 1	Localisation des zones d'intervention archéologique de 2021	4
Figure 2	Carte de la Nouvelle-France de 1632 par Samuel de Champlain.....	7
Figure 3	Geological map, Illustrative of the St.Maurice country, 1830.....	8
Figure 4	Copie par Denis-Benjamin Papineau (avant 1880) de la carte <i>Plan des eaux de la Nation du Nord</i> réalisée vers 1810 par Paul Kakidjouenne (Copie numérique fournie par Jean-Guy Paquin)	10
Figure 5	Carte régionale de la province de Québec comprenant les comtés de St. Maurice, Maskinongé, Berthier, Joliette, Montcalm, L'Assomption, Jacques-Cartier, Hochelaga, Laval, Terrebonne, Soulanges, Vaudeuil, Deux-Montagnes, Argenteuil et Ottawa de 1882 par Genest et Gauvin	11
Figure 6	Carte synthèse des principaux réseaux hydrographiques des Hautes-Laurentides, en lien avec les Petit et Grand lacs Nominique (Carte réalisée par Francis Lamothe).....	12
Figure 7	Carte des populations autochtones du nord-est américain au début du XVII ^e siècle (modifications à partir de Havard 2003).....	22
Figure 8	Carte des nations anishinabeg de la première moitié du XVII ^e siècle (selon Ratelle 1993).	23
Figure 9	Détail de la carte de George Griffin de 1832, <i>Map of the River Rouge from Lower Race to Upper as also Lake Nominique</i>	28
Figure 10	Détail du Petit lac Nominique illustré sur la carte de Duncan Sinclair de 1865, <i>Plan of the River-Rouge in the County of Ottawa</i>	29
Figure 11	Détail de la carte <i>Geological map, Illustrative of the St.Maurice country, 1830</i>	31
Figure 12	Plan d'Alphonse Wells de 1846 <i>Partie de la rivière du Lièvre, Division no. 4</i>	33
Figure 13	Pierre Grenier et Moustique Robert, établis depuis 1843 (tiré de Constantineau 1983)	34
Figure 14	Olivine Grenier et André Beaulieu (tiré de Constantineau 1983).....	35
Figure 15	De haut en bas : secteur de l'Île Longue avant et après la mise en eaux du barrage des Cèdres, 1928- 1930 (Ressources naturelle Canada (1928) A266 (75-77) et (1930) A2378 (98) [photographie aérienne numérique]. 1 : 12000, noir & blanc, Photothèque nationale de l'air, Ottawa)	36
Figure 16	Localisation des sites archéologiques du Grand lac Nominique investigués en 2021	40
Figure 17	Disposition des puits de fouilles lors de l'intervention archéologique de 2021	46
Figure 18	Effet d'un chablis sur les sols (Source : Antea archéologie)	48
Figure 19	CcFr-1, puits 50N102E paroi N, 51N103E paroi S, 50N104E paroi N, 51N 105 E paroi S, 50N106E paroi N, coupe stratigraphique des parois 50N-51S.....	51
Figure 20	CcFr-1, Puits 52N102E paroi S, 51N103E paroi N, 50N104E paroi S, 51N 105E paroi N, 52N106E paroi S, coupe stratigraphique de la paroi 51N/5.....	53
Figure 21	Organisation générale des principaux aménagements et distribution spatiale des artefacts	58
Figure 22	Distribution spatiale des unités de vase identifiées et quantification des assemblages céramiques mis au jour.....	59
Figure 23	Localisation des sondages, tous positifs, réalisés sur la plage du site CcFr-1	66
Figure 24	Plan du sondage J47, niveau 2 (20-30 cm sous la surface)	68

Figure 25	État de l'ancienne propriété de M. Jacques Cartier avant le remplacement du terrain de tennis par la résidence actuelle de M. Robert Bélanger et la construction du muret et de l'escalier (collection personnelle Robert Bélanger et Christine Guay).....	69
Figure 26	Localisation des sondages et limites du site CcFr-5.....	73
Figure 27	CcFr-5, sondage BC53, coupe stratigraphique, paroi est	77
Figure 28	Localisation des sites à proximité de l'île Longue	81
Figure 29	Localisation approximative des sites inventoriés en 2021 sur un extrait de la carte d'Alphonse Wells de 1846 <i>Partie de la rivière du Lièvre, Division no. 4</i>	82
Figure 30	Localisation approximative des sites inventoriés en 2021 sur un extrait de la carte de John Bourgeois de 1917 <i>Canton Dudley, Comté Labelle. Plan indiquant par une teinte rouge les lignes tracées et renouvelées par le soussigné.</i>	83
Figure 31	Localisation des sondages et limites du site CbFv-1.....	85
Figure 32	CbFv-1, sondage LD13, croquis de l'aménagement de la fosse de combustion	88
Figure 33	CbFv-1, sondage LD13, coupe stratigraphique des parois ouest et nord	89
Figure 34	Cuisson outardes et castors chez les Innus, rivière aux Écorces, 2005 (photo Pierre Gill) http://www.surlestracesilnu.ca/fr/image/photo/technique-trappe-castor.html	90
Figure 35	Superposition approximative du site CbFv-2 sur la carte aérienne de 1928 (détail)	92
Figure 36	Localisation des sondages et limites du site CbFv-2.....	94
Figure 37	Superposition approximative du site CbFv-3 sur la carte aérienne de 1928 (détail)	98
Figure 38	Localisation des sondages et limites du site CbFv-3.....	100

LISTE DES PHOTOGRAPHIES

Photo 1	CcFr-1, première réunion d'équipe (photographie Sylvie Constantin).....	41
Photo 2	Fouille des sondages en damier lors de l'intervention archéologique de 2021 (photographie Sylvie Constantin).....	45
Photo 3	Perturbation en cours de fouille dans le puits 50N104E, vue vers le nord (modification de CcFr1-2021_NUM1-075)	48
Photo 4	Perturbation en cours de fouille dans le puits 52N104E, vue vers le nord (modification de CcFr1-2021_NUM1-094)	49
Photo 5	Puits 52N102E en cours de fouille, vue vers le sud (photographie Sylvie Constantin).....	49
Photo 6	Puits 51N105E en cours de fouille avec quelques pierres rougies fracturées, vue vers l'ouest (modification de CcFr1-2021_NUM1-093).....	50
Photo 7	Quelques outils lithiques récupérés par M. Robert Bélanger sur la plage longeant sa propriété (photographie Sylvie Constantin).....	65
Photo 8	M. Robert Bélanger donnant des indications sur les découvertes fortuites d'artefacts sur sa plage (photographie Sylvie Constantin).....	65
Photo 9	Localisation des sondages J45 à J48, vue vers le sud-est (modification de CcFr1-2021_NUM1-181)	67
Photo 10	Stratigraphie du sondage J47, paroi sud (modification de CcFr1-2021_NUM1-178)	68
Photo 11	CcFr-5, vue panoramique de la plage et du talus menant à la terrasse de la propriété du Dr Raymond Cartier (photo Sylvie Constantin)	71
Photo 12	CcFr-5, terrasse devant le chalet, vue vers le sud à partir du sondage BC45 (CcFr5-2020_NUM1-042)	71
Photo 13	Sondage BC53, stratigraphie de la paroi est (CcFr5-2021_NUM1-00016).....	76
Photo 14	Sondage BC56, stratigraphie de la paroi nord (CcFr5-2021_NUM1-00019)	79
Photo 15	Sondage BC62, stratigraphie de la paroi sud (CcFr5-2021_NUM1-00053)	79
Photo 16	Sondage BC73, stratigraphie de la paroi est (CcFr5-2021_NUM1-00066).....	79
Photo 17	Vue générale du site CbFv-1 et localisation approximative de la zone où M. Louis-Pierre Coursol a réalisé de nombreuses découvertes fortuites lors de périodes de basses eaux. Vue vers l'est (modification de CbFv1-2021_NUM1-075)	84
Photo 18	En avant-plan, sondage LD26. En arrière-plan, agrandissement du sondage LD13. Vue vers le nord (CbFv1-2021_NUM1-055)	86
Photo 19	Fouille du sondage LD13, vue vers le nord (CbFv1-2021_NUM1-061)	87
Photo 20	Aménagement de foyer dans le sondage LD13 (modification de CbFv1-2021_NUM1-066)	88
Photo 21	Localisation du site CbFv-2, vue vers le sud-ouest (photographie Karine Taché).....	93
Photo 22	Zone d'accostage (CbFv2-2021_NUM1-004)	93
Photo 23	Aspect général du couvert forestier et fouilles de sondages sur la terrasse principale, vue vers le sud (CbFv2-2021_NUM1-039)	93
Photo 24	Fouille du sondage RC1, vue vers le sud (modification de CbFv2-2021_NUM1-001)	95
Photo 25	Sondage RC7, paroi sud (modification de CbFv2-2021_NUM1-017)	96
Photo 26	Terrasse supérieure et en arrière-plan plage d'accostage et basse-terrasse de la zone d'inventaire, vue vers le nord-est (CbFv3-2021_NUM1-009)	99

Photo 27	Replat boisé de la zone d'inventaire, vue vers l'ouest (CbFv3-2021_NUM1-014).....	99
Photo 28	Paroi sud du sondage IL47, stratigraphie-type des sondages de la zone des terrasses supérieure et inférieure (CbFv3-2021_NUM1-064)	101

LISTE DES PLANS

Plan 1	Localisation générale de l'aire d'étude	3
Plan 2	Plan du site CcFr-1	43

LISTE DES PLANCHES PHOTOGRAPHIQUES

Planche 1	Outils lithiques mis au jour sur le site CcFr-1. Les outils .233, .237, .238, .239 proviennent du sondage de plage J47 (photographies Olivier Pilette, infographie Francis Lamothe).....	62
Planche 2	Sélections de tessons d'unités de vase mis au jour sur le site CcFr-1 (photographies Adrien Cesario, infographie Francis Lamothe).	64
Planche 3	Sélection d'artefacts du site CcFr-5 : fragments de grattoirs en quartz hyalin (.31, .35, .42 et .51); fragment d'outil bifacial en quartz hyalin (.41); fragment de pointe de projectile en chert à encoches en coin (.43); fragment de nucléus en quartz (.39) (photographies Olivier Pilette, infographie Francis Lamothe)	75
Planche 4	Sélection d'artefacts provenant du sondage LD13 du site CbFv-1 : fragment de nucléus en chert Kichisipi (.003), nucléus en chert kichisipi (.006), fragment de graphite (.008), fragment de percuteur (.012), possible broyeur (.016) (photographies Olivier Pilette, montage et infographie Francis Lamothe)	91
Planche 5	Fragment de biface en chert Onondaga récupéré par M. Louis-Pierre Coursol sur les berges du site CbFv-2 (photographie Olivier Pilette, infographie Francis Lamothe)	92
Planche 6	Sélection d'artefacts récupérés sur les rives à proximité de l'extrémité sud de l'île Longue en périodes de basses eaux par M. Louis-Pierre Coursol (photographies Olivier Pilette, montage et infographie Francis Lamothe)	97

LISTE DES TABLEAUX

Tableau 1	Liste des occupants des terres des environs de l'Île Longue, vers 1846*	34
Tableau 2	Synthèse des résultats de l'intervention archéologique de 2021	39
Tableau 3	CcFr-1 2021, synthèse des artefacts et écofacts mis au jour.....	47
Tableau 4	CcFr-1, corrélations entre les couches stratigraphiques de la coupe 50N-51S-et les niveaux archéologiques fouillés	55
Tableau 5	CcFr-1, corrélations entre les couches stratigraphiques de la coupe 51N-52S-et les niveaux archéologiques fouillés	55
Tableau 6	CcFr-1 2021, synthèse des artefacts et écofacts mis au jour.....	57
Tableau 7	CcFr-1 2021, synthèse des outils lithiques mis au jour.....	61
Tableau 8	CcFr-1 2021, synthèse des outils lithiques mis au jour.....	61
Tableau 9	CcFr-1, synthèse des artefacts et écofacts lors de l'inventaire de la plage	67
Tableau 10	CcFr-5, synthèse des artefacts et écofacts mis au jour.....	74
Tableau 11	CcFr-5, matières premières de la basse terrasse.....	75
Tableau 12	CcFr-5, matières premières de la haute terrasse	78
Tableau 13	CbFv-1, localisation générale et identification des éclats lithiques.....	90
Tableau 14	CbFv-1, liste des artefacts lithiques.....	91

1. INTRODUCTION

Le fort potentiel des Hautes-Laurentides est lié à l'occupation très ancienne du territoire. La position stratégique du secteur, situé au carrefour de plusieurs réseaux hydrographiques (rivières du Lièvre, Rouge et Petite-Nation) permettait de communiquer avec des bassins plus importants (Outaouais, Saint-Maurice, Saint-Laurent, Baie James, Saguenay) et de parcourir une bonne partie du territoire québécois au nord du fleuve Saint-Laurent. Le périmètre est vaste et offre de multiples possibilités de découvertes et d'avenues de recherche, tant pour les périodes paléohistorique qu'historique, ce que les travaux archéologiques effectués dans les Hautes-Laurentides au cours des 50 dernières années ont attesté. Ce patrimoine archéologique unique mérite toute l'attention et la protection nécessaire. Au cours des dernières années, une équipe enthousiaste d'intervenants de la région de Nominingue, Les Gardiens du patrimoine archéologique des Hautes-Laurentides (GPAHL), a fait preuve d'un intérêt soutenu afin de protéger et promouvoir la mise en valeur de son riche patrimoine enfoui. La mise en place de l'intervention archéologique réalisée en 2021 a encore une fois démontré la sensibilité des intervenants locaux vis-à-vis ces ressources fragiles et de grande valeur.

1.1 Contexte administratif et mandats

Ce projet de recherche met en collaboration le GPAHL et le département des sciences historiques de l'Université Laval. Un élément central de cette collaboration vise à mettre sur pied un programme de recherche dans la région des Hautes-Laurentides, dirigé par Dre Karine Taché, professeure agrégée au département des sciences historiques de l'Université Laval.

Les objectifs scientifiques à long terme de ce projet collaboratif consistent à :

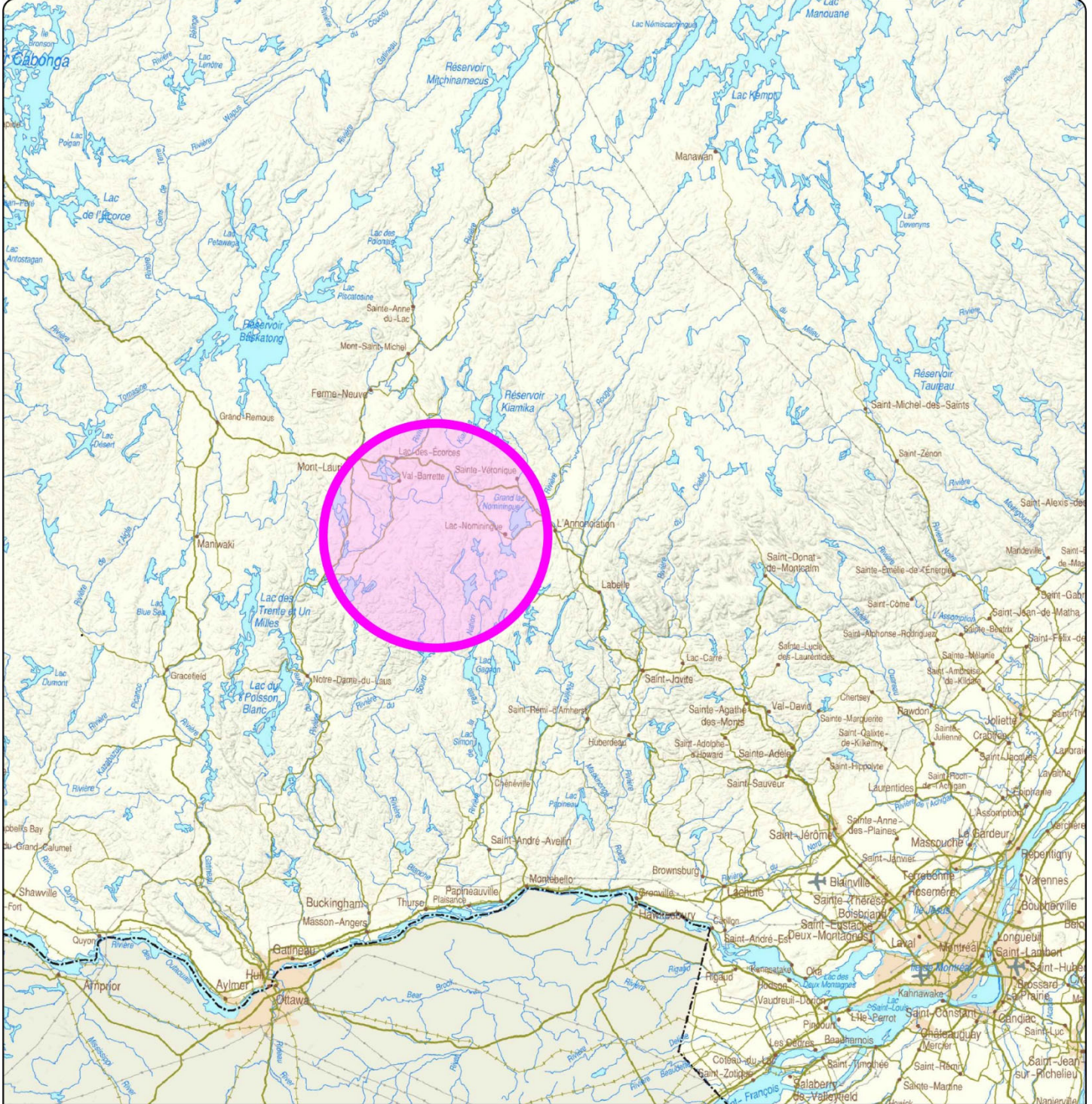
- décrire en détail l'occupation de la région, en accordant une attention particulière aux périodes paléohistoriques;

- situer les groupes locaux au sein d'univers culturels plus vastes englobant des manifestations culturelles documentées ailleurs au Québec, en Ontario, dans le nord de l'état de New York et le nord de la Nouvelle-Angleterre. Nous sommes tout particulièrement intéressés à documenter le rôle joué au cours de la paléohistoire par les groupes des Hautes-Laurentides au sein des vastes réseaux d'échanges du Nord-Est américain.
- reconstruire les schèmes de fabrication et d'utilisation de la poterie parmi des populations nomades vivant principalement de chasse, de pêche et de cueillette;
- favoriser la mise en valeur des sites archéologiques, paléohistoriques et historiques du territoire des Hautes-Laurentides;
- favoriser les activités de diffusion de l'archéologie des Laurentides auprès des communautés locales;
- Créer des liens collaboratifs avec la Première Nation Kitigan Zibi Anishinabeg.

L'inventaire archéologique réalisé du 6 au 17 juillet 2021 sur la rivière du Lièvre et au Grand lac Nominique avait pour objectif de poursuivre la recherche de sites et la fouille de contextes d'occupations anciennes. Au Grand lac Nominique, les travaux se sont concentrés sur les propriétés riveraines du côté est de l'embouchure du ruisseau Jourdain et près de la charge de la rivière Nominique. Sur la rivière du Lièvre, c'est le secteur de l'île Longue et les rives adjacentes qui ont fait l'objet d'un inventaire élaboré en fonction des découvertes de surface accumulées au fil des ans par M. Louis-Pierre Coursol.

1.2 Localisation de l'aire d'étude

Afin de refléter adéquatement la dynamique de l'occupation et de l'exploitation du territoire, l'aire d'étude globale correspond à l'ensemble de l'espace des Laurentides, en incluant une partie de l'Outaouais et de la Mauricie. Les secteurs de l'île Longue sur la rivière du Lièvre et du Grand lac Nominique constituent des lieux stratégiques au cœur de ce vaste réseau hydrographique (plan 1). Les zones d'interventions archéologiques réalisées sont situées autour du Grand lac Nominique (sites CcFr-1 et CcFr-5) et sur les rives de la rivière du Lièvre (sites CbFv-1, CbFv-2 et CbFv-3) (figure 1).



HAUTES-LAURENTIDES
CcFr-1, CcFr-5, CbFv-1, CbFv-2, et CbFv-3
FOUILLE ET INVENTAIRE ARCHÉOLOGIQUES
LOCALISATION GÉNÉRALE
PLAN 1



AIRE D'ÉTUDE



Source : Base de données géographiques et administratives à l'échelle de 1/1 000 000
 © Ministère des Ressources naturelles et de la Faune, janvier 2002
 SCOPQ NAD83 SCRS et C-GVD28 (NMM)

0 15 30 km
 ÉCHELLE : 1/1 500 000

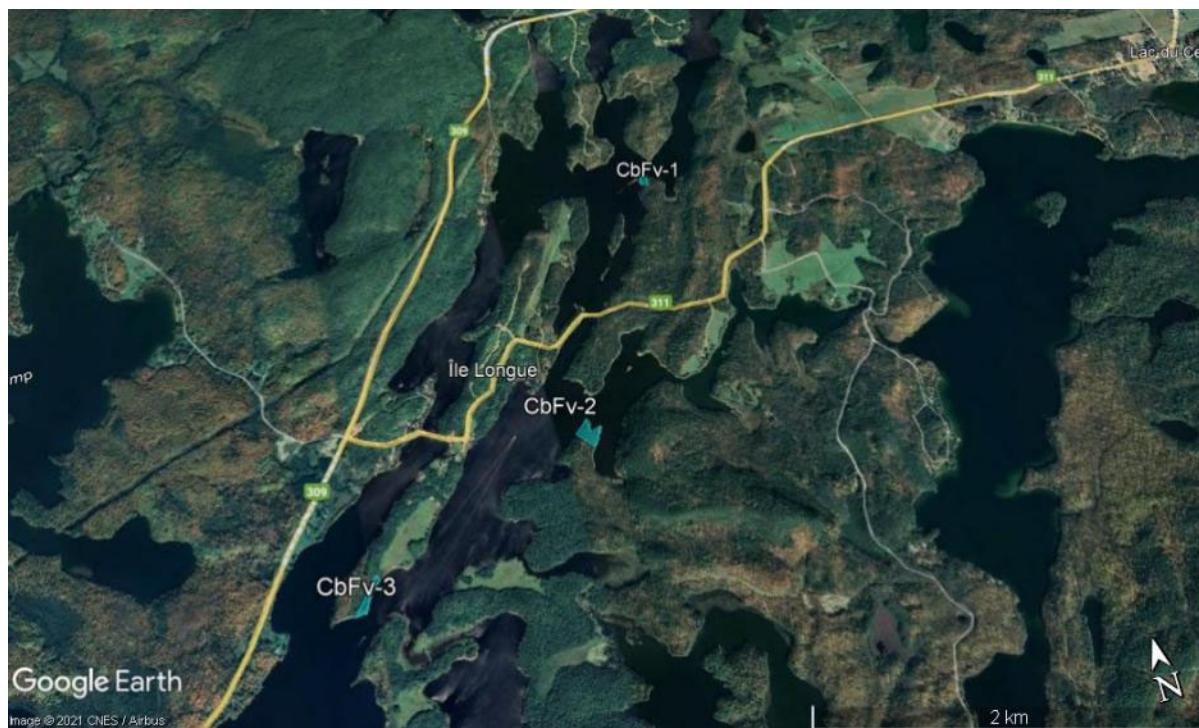
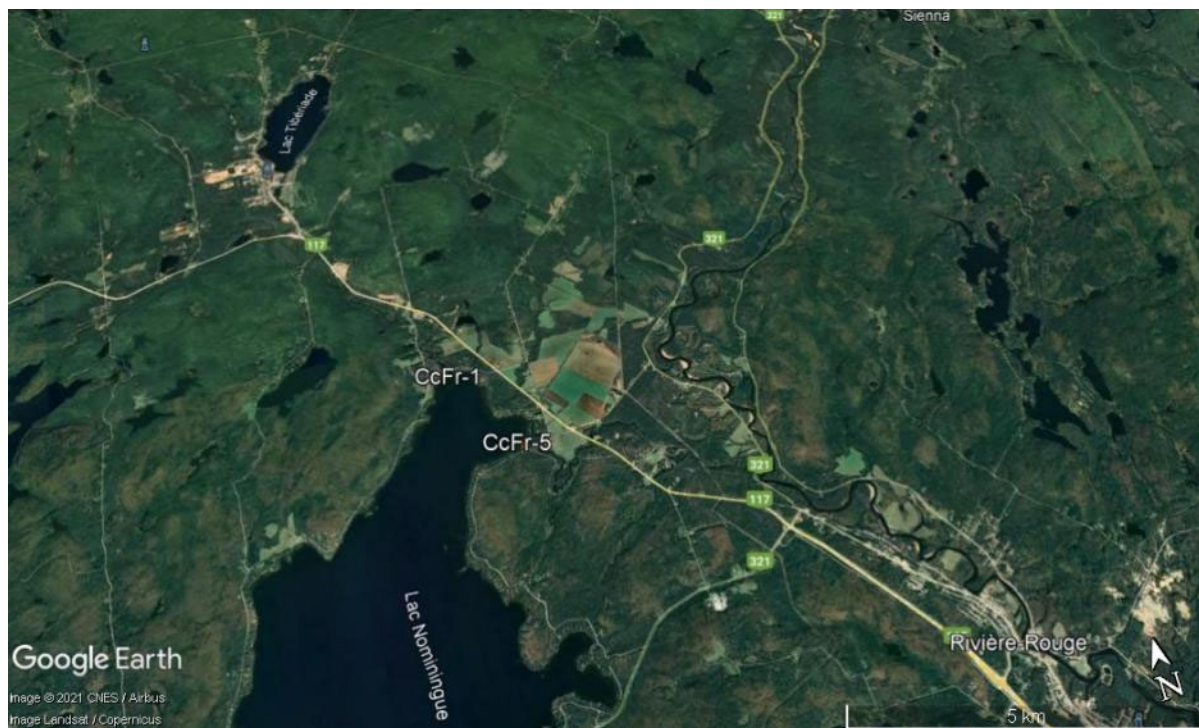


Figure 1 Localisation des zones d'intervention archéologique de 2021
De haut en bas : secteurs du lac Nominique et de l'île Longue

2. ÉTATS DES CONNAISSANCES

2.1 Paysage naturel

C'est à partir d'il y a environ 7 000 AEC¹ (9 000 ans avant aujourd'hui) que la région des Laurentides se libère de la glace de l'inlandsis laurentidien et devient habitable par les groupes humains. Le paysage et le climat se modifient progressivement pour prendre la forme actuelle il y a environ 3 000 AEC (Ethnoscop 2005; Dumais 1991).

La région des Hautes-Laurentides est constituée d'un relief de vallées et de hautes collines, parfois montagneux, constellée d'une multitude de lacs et rivières. Le climat tempéré nordique présente une forte amplitude entre les températures d'été et d'hiver. Le couvert forestier correspond au domaine de l'érablière à bouleau jaune, ce qui n'exclut pas la présence d'autres espèces ligneuses dont d'importantes sapinières, pinèdes et chênaies (MNR 2006). L'utilisation du canot d'écorce ayant constitué le mode de transport essentiel jusqu'à il y a à peine plus d'un siècle, les forêts de bouleaux blancs faisaient également partie des zones connues et exploitées par les populations autochtones ayant occupé le territoire, comme en fait foi la toponymie anishinabe régionale (Fortin 1999).

Le territoire est riche en ressources fauniques et halieutiques. Jusqu'à tout récemment plusieurs espèces recherchées y étaient abondantes : castor, ours noir, cerf de Virginie, orignal, caribou, porc-épic et lièvre pour les principaux mammifères comestibles dont certains prisés pour leur fourrure; doré jaune, omble fontaine, touladi, achigan à petite bouche, perchaude, corégone, maskinongé et grand brochet pour les poissons. Plusieurs espèces de mammifères à fourrure sont également présentes en grandes quantités : rat musqué, lynx, pékan et martre (OBV RPNS 2011). Des sources historiques mentionnent également la présence du caribou et du wapiti jusqu'aux environs du milieu du XIX^e siècle (Durban 1860, Paquin 2015, Banfield 1977, Cossette *et al* 1985). Les études ethnologiques de Black et Nickels dans les communautés anishinabeg du Témiscamingue et de l'Outaouais ont démontré une consommation fréquente ou occasionnelle pouvant atteindre 44 espèces végétales (cités dans Inksetter 2017).

¹ AEC (avant ère commune) est une désignation neutre pour remplacer «Av. J-C». Le terme «après J-C» est pour sa part remplacé par EC (ère commune).

En ce qui concerne les ressources minérales, il y aurait eu à Nominique une mine d'ocre rouge au rang 5 que les premiers colons de la municipalité exploitaient afin de « peindre » leurs bâtiments. La tradition ajoute que les populations autochtones des périodes plus anciennes employaient l'ocre de cet endroit pour leurs parures corporelles (RSC 1938). La toponymie et l'étymologie (rivière Rouge, Nominique, lac Sienna, lac à la Peinture), vont également en ce sens. Selon Fortin (1999), Nominique, déformation des termes anishinabemowin *Onomani Sakaigan* et de *Onomaning*, peut se traduire par *lac Vermillon*. Le lexique du père Jean-André Cuoq de 1886 amène d'autres précisions : la racine *Nom* signifie « oint ou ointe », tandis que *Nomingwe* peut se traduire par « avoir le visage oint/ s'oindre le visage ». À proximité du Grand lac Nominique, entre les municipalités actuelles de l'Ascension et de Labelle, l'ocre rouge constitue une ressource minérale d'une qualité telle qu'elle fut exploitée commercialement au début du XX^e siècle (Osborne 1935; Lagrange 1981). Comme d'autres matières premières, l'ocre était une ressource qui a pu être transigée pour d'autres biens. Lors de son séjour en Huronie, Sagard mentionne que les Outaouais, considérés comme d'excellents marchands, cherchent à acquérir des pigments « peintures » de leurs partenaires (Chevalier 1865 [Sagard 1632]), ce qui indique que l'ocre était intégrée dans les réseaux d'échanges autochtones. Son utilisation parmi les populations du Nord-Est américain était variée: pour les parures corporelles, dans les contextes funéraires et même pour ses propriétés médicinales (Taché 2008).

2.2 Hydrographie des Laurentides

L'étude de l'hydrographie permet d'observer une foule de circuits permettant de se déplacer à l'intérieur du territoire. Les possibilités sont vastes et il est évident que les recherches actuelles et à venir permettront d'en étoffer le relevé².

Dès le XVII^e siècle, les réseaux hydrographiques utilisés par les autochtones étaient relevés par les explorateurs européens. L'une des plus anciennes mentions, la carte de Samuel de Champlain de 1632 montre avec une précision surprenante pour l'époque l'étendue des réseaux de communications d'une bonne partie du Nord-Est (figure 2).

² Pour un complément cartographique, il est possible de consulter les rapports antérieurs sur le site Les Gardiens du patrimoine archéologique des Hautes-Laurentides <http://www.lesgardiensarcho.com/>



Figure 2 Carte de la Nouvelle-France de 1632 par Samuel de Champlain

Divers documents historiques et des plans anciens permettent de reconstituer les réseaux navigables utilisés dans les Hautes-Laurentides du XVII^e jusqu'à la fin du XIX^e siècle. Ces réseaux sont composés d'enchaînements de rivières et de lacs qui requièrent de nombreux portages, particulièrement lorsqu'il est nécessaire de franchir chutes et rapides ou de passer d'un bassin à un autre. Ces mêmes trajets furent certainement empruntés au cours de la paléohistoire, ce que la distribution des sites archéologiques de la région et la localisation des découvertes fortuites connues permettent d'entrevoir. Le relevé est loin d'être exhaustif, mais il donne une bonne idée des multiples possibilités permettant de circuler dans cette partie de l'arrière-pays laurentien. Certains circuits constituaient sans doute des routes servant essentiellement à l'exploitation du territoire tandis que d'autres correspondaient plutôt à des réseaux de communication permettant de joindre divers bassins versants. En cas de nécessité, pratiquement tout lieu ou plan d'eau pouvait être atteint.

À l'intérieur de ce vaste territoire, la rivière du Lièvre (*Wâbos Sibî*) offre une route de contournement permettant d'atteindre le Saint-Maurice en évitant de passer par le fleuve Saint-Laurent (figure 3). Le secteur des rapides du Wabassee (ou *wabisi*, qui signifie *cygne blanc* en anishinabemowin) constitue pour sa part un carrefour où confluent la Lièvre, la Kiamika et le ruisseau du lac des Îles.



Figure 3 Geological map, Illustrative of the St.Maurice country, 1830

Il en va de même avec le Grand lac Nominingue à partir duquel il est possible de rayonner dans toutes les directions et d'atteindre au besoin des régions très éloignées. Légèrement en retrait des voies navigables principales, la localisation du lac a pu procurer une certaine protection en cas de conflit. Pour atteindre les Petit et Grand lacs Nominingue à partir de l'Outaouais, le trajet le plus connu et le plus rapide consiste à emprunter la rivière Petite-Nation jusqu'au lac Lesage, un voyage d'environ 4 jours qui nécessite de franchir plusieurs portages, le plus long étant celui menant du Lac Lesage au Petit lac Nominingue (figure 4, Laverdière 1870 [Champlain 1632], Sinclair 1864, Barbezieux 1897, Ethnoscop 2005, Paquin 2014). Remonter la rivière Rouge, dans laquelle se déversent les Petit et Grand lacs Nominingue, est la seconde option, quoique moins directe. De Nominingue, les réseaux de lacs de la municipalité de La Minerve sont également accessibles. En descendant du lac Désert ou du lac Labelle, on rejoint le sous-bassin versant de la rivière Maskinongé qui se jette dans la Rouge à la hauteur du lac Papineau. Ce dernier peut d'ailleurs être atteint de la Maskinongé en effectuant un court portage. Comme le lac Papineau constitue la source de la rivière Saumon, ce trajet a également été utilisé par les Premiers Peuples qui parcouraient le territoire à la période historique (Paquin 2014). Il est également possible de remonter le ruisseau Jourdain, un affluent du Grand lac Nominingue, de passer par le lac Tibériade, de joindre la rivière Kiamika et ainsi atteindre la rivière du Lièvre. Ce trajet semble indiqué sur le plan de Griffin de 1832 (voir figure 9).

Le plan de Duncan Sinclair de 1865 suggère également un lien possible vers la Kiamika, en empruntant la rivière Sagouay. Enfin, bien que nous n'en ayons pas encore trouvé d'indications, on ne peut exclure la possibilité d'un passage coupant à travers les ruisseaux et les lacs situés entre les environs des rapides du Wabassee et le secteur Petit lac Nominingue/lac Lesage.

À partir du Grand lac Nominingue, deux circuits principaux peuvent être suivis vers le nord pour atteindre la rivière Saint-Maurice. En rejoignant la rivière du Lièvre via la Kiamika, on peut ensuite atteindre le lac Kempt, prendre la rivière Manouane et joindre le Saint-Maurice à la hauteur de Weymontachie. Remonter la rivière Rouge jusqu'à sa source permet également d'atteindre le Saint-Maurice en utilisant la rivière du Milieu et ensuite la Mattawin. Ce trajet est particulièrement bien illustré sur la carte régionale de la province de Québec de 1882 (figure 5).

La figure 6 constitue quant à elle un montage réalisé afin d'illustrer les principales routes possibles à l'intérieur du territoire des Hautes-Laurentides.



Figure 4 Copie par Denis-Benjamin Papineau (avant 1880) de la carte *Plan des eaux de la Nation du Nord* réalisée vers 1810 par Paul Kakidjouenne (Copie numérique fournie par Jean-Guy Paquin)

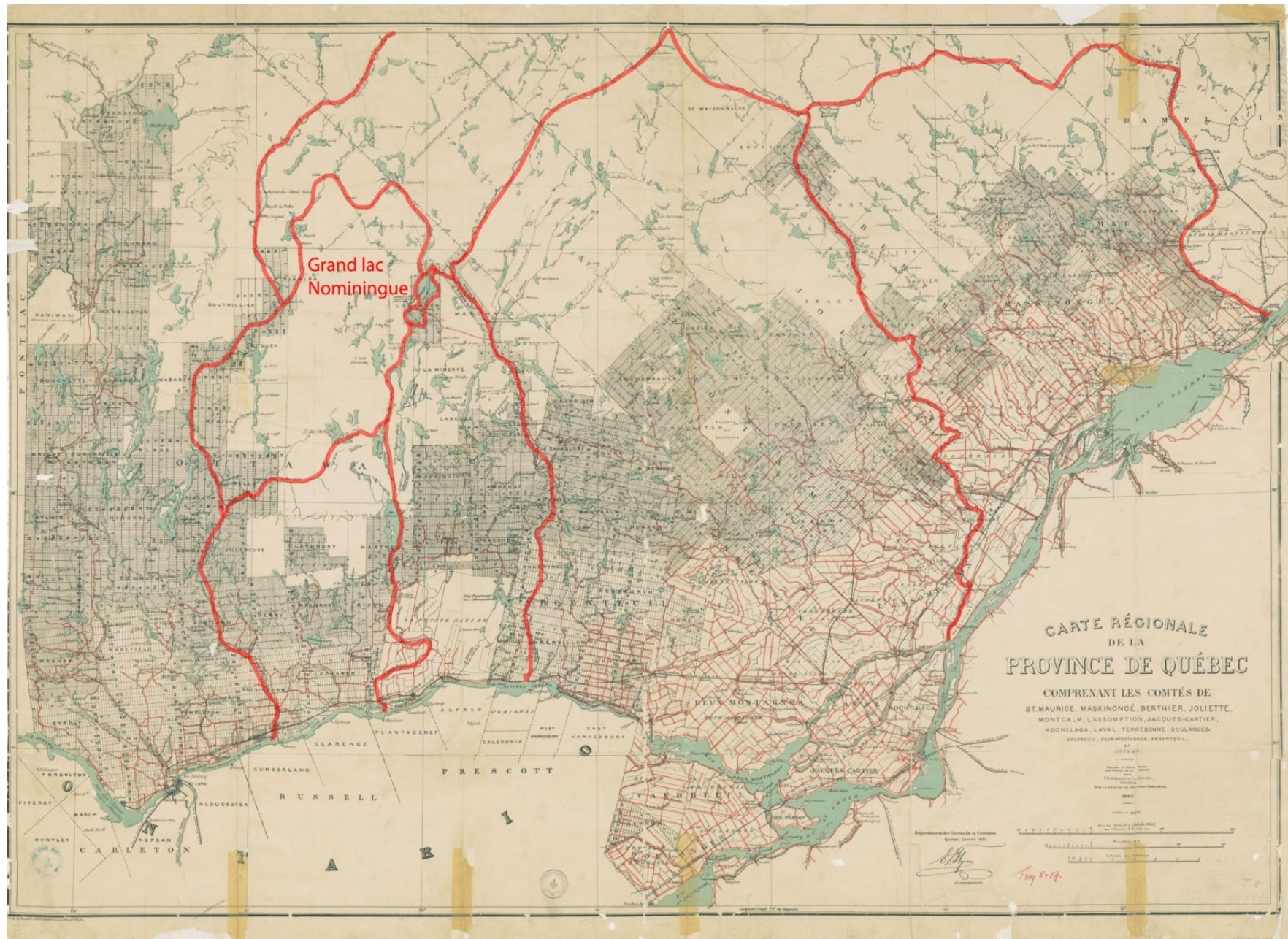


Figure 5 Carte régionale de la province de Québec comprenant les comtés de St. Maurice, Maskinongé, Berthier, Joliette, Montcalm, L'Assomption, Jacques-Cartier, Hochelaga, Laval, Terrebonne, Soulanges, Vaudreuil, Deux-Montagnes, Argenteuil et Ottawa de 1882 par Genest et Gauvin

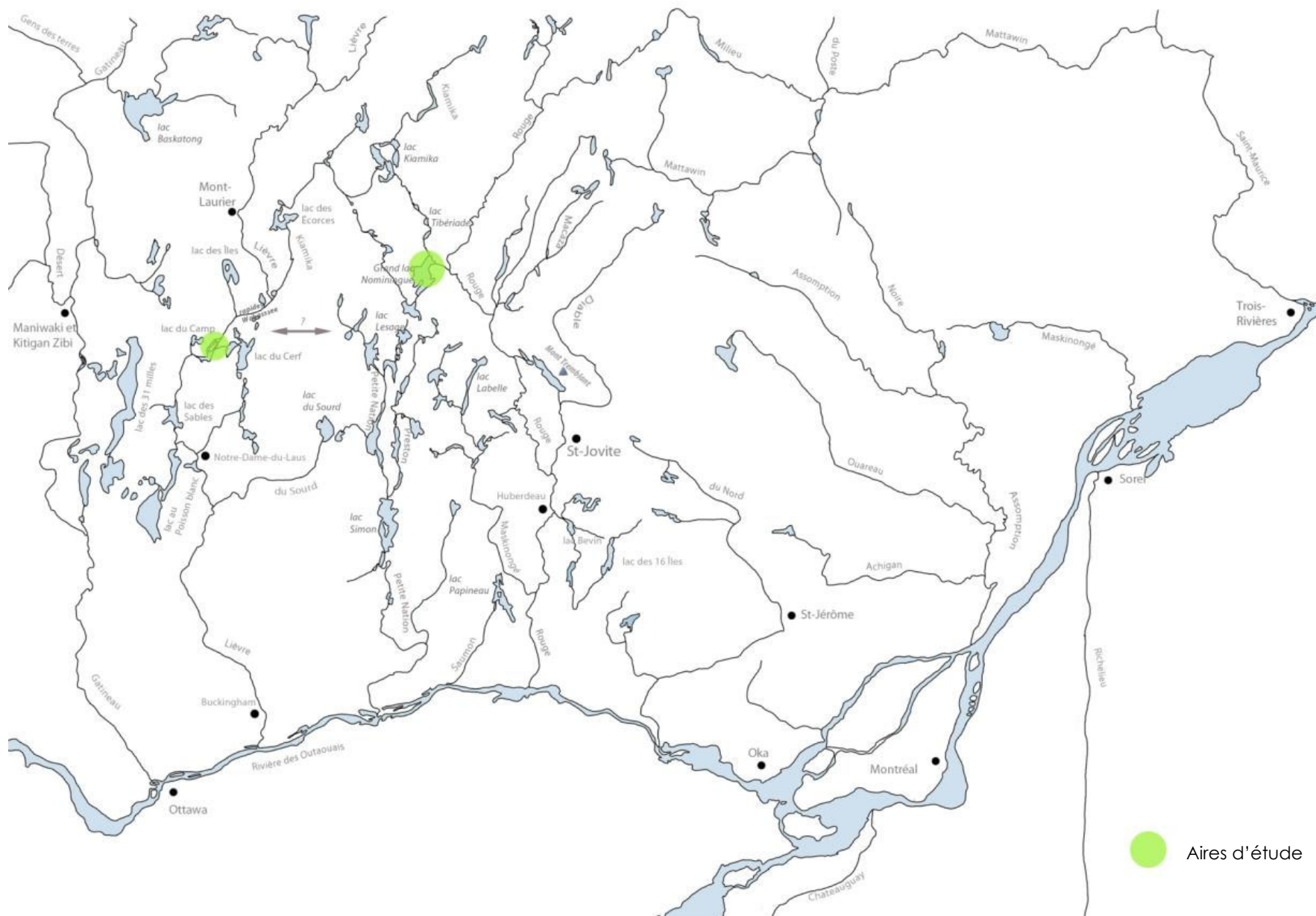


Figure 6 Carte synthèse des principaux réseaux hydrographiques des Hautes-Laurentides, en lien avec les Petit et Grand lacs Nominique (Carte réalisée par Francis Lamothe). Les contours des plans d'eau correspondent aux étendues d'origine telles qu'illustrées sur les plans anciens. L'hydrographie des environs immédiats des secteurs à l'étude est plus détaillée par rapport aux régions éloignées.

2.3 Cadre culturel paléohistorique et interventions antérieures

Bien que le territoire des Hautes-Laurentides soit potentiellement habitable par l'humain depuis près de 9 000 ans, les recherches archéologiques font actuellement remonter les plus anciennes traces de présence humaine à l'Archaïque moyen, il y a environ 7 000 ans (Taché et Lamothe 2020; Ethnoscop 2005; Dumais 1991). Les travaux archéologiques les plus anciens remontent aux années 1950 et constituent les balbutiements de l'archéologie du Subarctique laurentien au Québec. Cependant, même précoce, l'intérêt pour l'archéologie de la région n'allait finalement engendrer que peu de travaux au cours des décennies suivantes, et ce comparativement à d'autres régions du Québec. C'est dans les années 1980 que l'on constate un regain des recherches, mieux organisées, certaines ayant une focalisation sur les Hautes-Laurentides. En ce qui concerne les vallées des rivières Rouge et du Lièvre en particulier, c'est au cours des années 2000 que l'intérêt pour la mise en place d'investigations archéologiques s'est amorcé. Les différents travaux d'intérêt sont ici abordés en les divisant par régions, soit la Haute-Mauricie, le bassin de la rivière Gatineau, la vallée de la rivière des Outaouais et, enfin, les régions de Nominingue et du Wabasse.

2.3.1 Haute-Mauricie

L'importance accordée à cette région repose sur sa situation au nord-est des Hautes-Laurentides dont certains cours d'eau constituent des voies d'accès, notamment vers le bassin de la rivière Saint-Maurice. C'est une Américaine – Valérie Burger – qui a été la première à mettre en lumière l'intérêt archéologique de la Haute-Mauricie. Les deux plus anciennes publications recensées sont attribuées à cette archéologue amateur (Burger 1953, 1955). Dans son article de 1953, publié dans la revue américaine *Pennsylvania Archaeologist*, cette dernière décrit des assemblages d'artefacts provenant de récoltes de surface effectuées entre 1949 et 1953 sur 33 sites localisés sur les rives des lacs Kempt et Manouane. En outre, elle décrit brièvement l'état de conservation des sites inspectés, généralement très érodés par la variation du niveau de l'eau, phénomène corollaire à la construction des barrages A et B sur ces lacs. L'analyse des quelque 2 000 objets est réalisée par l'archéologue américain William A. Ritchie, spécialiste du nord-est américain et plus particulièrement de l'État de New York. Malgré la totale absence de contextes stratigraphiques, en s'appuyant grandement sur la tradition orale de la communauté locale Atikamekw³, Burger établit ainsi les prémisses d'une discussion quant à l'ancienneté de la chronologie culturelle régionale. En se basant sur la prépondérance de tessons de céramique, Burger déduit une occupation datant du Sylvicole, antérieure à l'installation locale des Atikamekw. Néanmoins, elle révisé quelque peu ses conclusions dans son article de 1955. La supposée cache documentée sur le site « n° 20 » (CiFo-11) l'amène à proposer que les occupations observées pourraient s'étendre de l'Archaïque récent à la période historique et que les assemblages de céramiques seraient des manifestations attribuables au Sylvicole moyen et récent (Burger 1955 : 10). Les

³ Burger utilise l'expression « Têtes-de-Boule ». Il s'agit toutefois d'un nom historique français qui, selon l'Office québécois de la langue française (2011), a été rejeté par l'Institut linguistique Atikamekw-Wasihakan, du Conseil de la nation Atikamekw, au début des années 1970.

travaux de Valérie Burger sont parmi les premiers à s'intéresser à l'archéologie du Subarctique, mais allaient rester relativement peu utilisés et ses collections, presque oubliées.

Malgré tout, les découvertes de Valérie Burger suscitent, dans les années 1970, l'intérêt d'archéologues québécois. C'est ainsi qu'un vaste projet de reconnaissance archéologique de la Haute-Mauricie est amorcé par René Ribes du Musée d'archéologie de l'Université du Québec à Trois-Rivières. Les reconnaissances archéologiques de 1972 et 1973 dans la région du lac Némiscachingue⁴ aboutissent à la découverte de 49 sites paléohistoriques qui livrent plus de 2 000 artefacts. Les assemblages sont publiés dans le cinquième volume de la collection *Paléo-Québec* (Ribes et Klimov 1974). Les saisons de recherches – lire « prospections systématiques » (Ribes 1976 : 1) – qui suivent se révèlent moins fructueuses, mais continuent à circonscrire de nouveaux sites. En tout, c'est plus de 70 sites qui sont identifiés en Haute-Mauricie. Néanmoins, pour la même raison que celle soulevée par Burger vingt ans plus tôt – l'érosion fluviale – les témoins d'occupation sont toujours très rares, voire inexistantes.

On peut déceler dans les publications de Ribes un souci d'empirisme et de rigueur qui n'était pas présent chez les générations précédentes d'archéologues amateurs comme Valérie Burger. Or, ses travaux restent ancrés dans le contexte de l'archéologie québécoise qui, dans les années 1970, commence tout juste à se moderniser et se structurer scientifiquement et professionnellement. C'est ainsi que, mis à part l'édition de *Paléo-Québec* de 1974, les publications résultantes prennent la forme de rapport d'activités honnêtes, mais très sommaires et sans aucun cadre théorique énoncé. Ceux-ci sont sous forme de journaux de bord augmentés de plans, dessins, schémas et tableaux. La portée analytique est réduite au bénéfice du caractère fondamentalement descriptif des ouvrages.

La « collection Burger », avait été acquise dans les années 1960 ou 1970 par l'Université du Québec à Montréal (UQAM). Son étude revient à l'ordre du jour en 1975 alors que Gilles Tassé, professeur au Laboratoire d'archéologie de l'UQAM, aidé par des étudiants et Mme Burger elle-même, constitue un catalogue descriptif de la collection auquel il ajoute des codes Borden, coordonnées géographiques, commentaires toponymiques et quelques croquis. Malgré l'effort déployé par Tassé, la collection et son catalogue sont négligés pendant près de trois décennies. C'est en 2002 qu'un étudiant de l'Université de Montréal se donne comme mission de « dépoussiérer » la collection Burger et en fait son objet de recherche de maîtrise en anthropologie. La collection fait alors l'objet d'une relecture complète appuyée sur les notes de terrains parcellaires de Burger et le catalogue de Tassé (1975). Le travail aboutit à un mémoire intitulé *La collection Burger : une contribution à l'archéologie de la Haute-Mauricie* (Adjizian 2002). Les conclusions chrono-culturelles d'Adjizian confirment celles de Burger : on peut faire remonter certaines des manifestations archéologiques haute-mauriciennes à plus de 5 000 AA, mais le corpus de données est loin de pouvoir établir de façon limpide et satisfaisante une chronologie culturelle régionale

⁴ Ribes utilise la graphie « Némiskachi ».

(Adjizian 2002 : 122). De plus, Adjizian observe qu'on pourrait déceler un potentiel dynamisme culturel dans l'axe Abitibi – Haute-Mauricie – lac St-Jean. Ceci l'amène à militer pour le développement d'une approche de recherche adaptée au Sylvicole du Bouclier (Adjizian 2002 : 121).

2.3.2 Bassin de la Gatineau

La rivière Gatineau se situe au nord-ouest des Hautes-Laurentides. Au même titre que la Haute-Mauricie, plusieurs ramifications fluviales permettent l'accès à son bassin depuis la vallée de la Lièvre. Les travaux de Roger Marois constituent un autre pan important de la recherche archéologique dans cette partie du nord-est québécois. À l'été 1969, pour le compte du Musée national de l'Homme, Marois effectue une reconnaissance archéologique de 24 petits lacs du bassin de la Gatineau, un tributaire de la rivière des Outaouais (Marois 1969). Une collection archéologique significative est alors constituée et les données recueillies sont intégrées aux recherches doctorales de Marois sur les schèmes d'établissement à la fin de la paléohistoire et au début de la période historique du sud du Québec. Les résultats sont publiés dans la collection *Mercur* en 1974. Les analyses de Marois l'amènent à proposer que les lacs Petawaga et Pythonga étaient des « centres d'habitation » (Marois 1974 : 123). Il avance de plus quelques hypothèses intéressantes quant à la relation entre la localisation des sites, les stratégies de circulation et la position des lacs dans le bassin. Ainsi, Marois propose l'hypothèse qu'un établissement à basse altitude dans le bassin serait synonyme d'une plus grande facilité de déplacement permise par la proximité des plans d'eau. La ligne de partage des eaux constituerait aussi une variable à laquelle les archéologues devraient porter attention, puisqu'elle pourrait faire office de frontière tant physique que territoriale (Marois 1974 : 123). À notre connaissance, cette intéressante hypothèse n'a pas encore été mise à l'épreuve par des recherches archéologiques approfondies.

Plus récemment, des fouilles de « sauvetage » dans la ZEC Bras-Coupé-Désert, sur les berges du lac Rond (CgGb-10), ont aussi démontré les traces d'une présence humaine paléohistorique le long de la Gatineau. Sur la base d'une pointe de projectile ressemblant au type *Brewerton*, le contexte du lac Rond représente possiblement une autre occupation datée de l'Archaïque laurentien (Laliberté 2008).

2.3.3 Vallée de l'Outaouais

La vallée de l'Outaouais constitue la limite méridionale du territoire à l'étude. Bien qu'elle n'appartienne pas à l'entité géographique des Hautes-Laurentides, leur lien naturel et la dynamique de l'occupation de ces vastes espaces par les Autochtones jusqu'à la période historique font en sorte qu'il est nécessaire de les aborder conjointement. Il s'agit également d'une des principales artères hydrographiques du nord-est américain. La région vit un

important développement industriel et urbain continu, et ce depuis le début du XIX^e siècle⁵. Ainsi, des gens se sont intéressés dès la seconde moitié du XIX^e siècle à l'ancienneté du territoire. Lorsqu'ils entreprennent leur synthèse de la collection Kennedy provenant de l'île Morrison, les archéologues Norman Clermont et Claude Chapdelaine rapportent que :

[...] le Musée national d'Ottawa avait acquis en 1875, 1876, 1877, 1879, 1884, 1893 des collections de J.S. McGuire, C.A. Hirschfelder et J. Berufaus provenant de l'île aux Allumettes ainsi qu'une collection de J. Taylor, en 1876, provenant de l'île Morrison. En mai 1912, [W.J.W.] Wintemberg était aussi allé en reconnaissance dans la région et avait découvert des objets en cuivre et en ardoise polie sur l'île aux Allumettes [...] (Clermont et Chapdelaine 1998 : 9).

Cet intérêt précoce pour l'archéologie permet d'encourager dès les années 1960 de plus vastes recherches. Des soixante dernières années résultent donc un important corpus de données, des publications diffusées à plus grande échelle et une connaissance archéologique beaucoup plus développée comparativement aux régions qui lui sont limitrophes. Comme une description exhaustive de toutes les recherches est ici impossible, nous nous contenterons de souligner trois secteurs d'importance qui ont permis l'établissement d'une chronologie culturelle régionale moins fragmentaire.

Le premier secteur concerne les îles Morrison et aux Allumettes. Celles-ci sont localisées à une centaine de kilomètres en amont d'Ottawa. Les recherches systématiques y débutent lorsque l'archéologue amateur Clyde Kennedy réalise des fouilles archéologiques sur l'île Morrison en 1962 et sur l'île aux Allumettes en 1963. Les assemblages issus des fouilles de Kennedy sur l'île Morrison sont analysés par Norman Clermont et Claude Chapdelaine à la fin des années 1990. Les artefacts se montrent révélateurs et permettent aux archéologues d'associer cette occupation à la phase *Brewerton*, proposée par W.A. Ritchie sur la base de collections apparentées provenant de l'État de New York (Ritchie 1937) et datée à environ 5 500 AA (Clermont et Chapdelaine 1998 : 25). Les collections de l'île aux Allumettes sont quant à elles étudiées par une équipe de spécialistes sous la direction de Norman Clermont, Claude Chapdelaine et Jacques Cinq-Mars. Leurs résultats sont tout aussi significatifs. Des datations au radiocarbone attribuent un âge d'environ 6100 AA à cet établissement paléohistorique (Clermont, Chapdelaine et Cinq-Mars 2003). Les analyses conduites par ces derniers leur permettent d'établir que les phénomènes des îles Morrison et aux Allumettes sont représentatifs d'une « continuité régionalisée » étalée sur près de 600 ans (Clermont, Chapdelaine et Cinq-Mars 2003 : 323). En effet, bien que les deux endroits appartiennent à deux phases chronologiques différentes, les lieux démontrent une cohérence dans les divers assemblages. La provenance des matériaux illustre notamment l'appartenance à une même grande sphère d'interaction. Les auteurs associent les deux îles à la période de l'Archaïque laurentien et, dans une moindre mesure, à la *Old Copper Culture* des Grands Lacs. Ils

⁵ Pour une excellente synthèse historique, voire *Histoire de l'Outaouais* (coll. *Les régions du Québec*) de Gaffield (1994).

s'abstiennent toutefois de proposer un nouveau taxon pour définir l'occupation Archaique dans la vallée de l'Outaouais (Clermont, Chapdelaine et Cinq-Mars 2003).

Le second secteur, plus en aval, concerne la région d'Ottawa/Gatineau. Très tôt celle-ci attire l'attention des antiquaires, ces archéologues d'avant l'heure. C'est en 1843 qu'une des plus anciennes interventions archéologiques canadiennes a lieu près des chutes Chaudières à Hull. Le Dr. Edward Van Cortland y collecte alors des ossements humains et des objets lithiques provenant d'une sépulture communautaire qu'il attribue à l'époque à la culture iroquoise bien qu'elle ne soit pas à ce jour encore datée (Van Cortlandt 1853). L'imprécision quant à la localisation exacte de l'excavation allait maintenir une controverse qui durera près de 170 ans, jusqu'à la découverte d'archives indiquant avec plus de précision son lieu. Nommé « Hull landing » par Van Cortland, ce lieu est une pointe de terre qui constituait l'accès à un portage près des chutes des Chaudières et qui aujourd'hui se trouve près de la plaque commémorative dédiée au photographe Malak Karsh, sur le terrain du Musée canadien de l'histoire (Boswell et Pilon 2014a, 2014b).

Situé à la confluence des rivières Outaouais et Gatineau, le parc du Lac-Leamy fait aussi l'objet de maintes recherches dès le début des années 1990. En 1993, la Commission de la capitale nationale du Canada (CCNC) appuie le projet *Connaissance du patrimoine archéologique de l'Outaouais*, dont l'archéologue Marcel Laliberté est un des acteurs principaux. Un vaste programme d'études de potentiel, d'inventaires et de fouilles exploratoires permet la mise au jour de plus d'une quinzaine de sites chronologiquement étalés de l'Archaique supérieur à la période historique (Laliberté 1999, 2000). Les plus anciens contextes seraient associés à l'Archaique supérieur, et ce sur la base de la présence de cuivre natif et de matériel lithique attribuables à la phase *Brewerton*. L'occupation se poursuit ensuite du Sylvicole moyen jusqu'à la période de contact, avec un hiatus encore inexpliqué où les occupations sont incertaines pour les périodes de l'Archaique post-laurentien et du Sylvicole ancien (Laliberté 2000). Le parc a aussi fait l'objet d'études spécialisées. Un volume rassemblant, entre autres, une étude préliminaire de la géomorphologie du secteur du lac par Bernard de Boutray et une analyse sporo-pollinique de quatre échantillons du site BiFw-6 par Daniel Landry est publiée en 1998 par Laliberté (Laliberté 1998). Un mémoire de maîtrise publié en 2005 à l'Université de Montréal s'attarde à l'utilisation de la roche pyroclastique. Nicolas Cadieux avance que cette pierre aurait fait l'objet d'une utilisation majeure lors de l'Archaique récent (Cadieux 2005). Il propose aussi l'hypothèse que deux canaux d'approvisionnement peuvent être distingués. Cette hypothèse a été ajustée par l'auteur lui-même dans un article plus récent démontrant plutôt la difficulté à distinguer ces deux sources (Cadieux 2011). Enfin, une étude de caractérisation des sédiments de quelques sites archéologiques du parc du Lac-Leamy est publiée en 2008 dans la revue *Recherches amérindiennes au Québec* (Vaillancourt, Prichonnet, et Lamothe 2008).

Pour terminer ce survol, il faut aborder l'Outaouais en portant attention à la rivière Petite-Nation, dont l'embouchure se situe à Plaisance, à mi-chemin entre Gatineau et le lac des Deux-Montagnes. Encore une fois, ce sont des découvertes fortuites qui ont attiré

l'attention des archéologues, notamment la collection récoltée près de la baie de Lochaber (une quarantaine d'objets) ainsi que la découverte hors contexte d'une pointe de projectile en quartz par un citoyen du lac Simon⁶. Les premières recherches archéologiques organisées datent de la seconde moitié des années 1980. En 1986 et 1987, 16 semaines d'inventaire permettent à Esther Laforte de localiser six sites à composante paléohistorique dans la MRC de Papineau. Quatre endroits sont localisés dans le Parc national de Plaisance⁷, dont trois dans la portion est de la baie Noire, un dans la baie Martin ainsi qu'un à la confluence des rivières Petite-Nation et Petite Rivière Rouge. Le sixième est situé à environ 2,5 kilomètres à l'est de Papineauville et découle de découvertes fortuites faites dans les années 1950, lesquelles ont été remises à Laforte lors du projet d'inventaire. Bien que fragmentaires, les résultats de Laforte pointent vers une seconde occupation au cours de l'Archaïque laurentien et des trois sous-périodes du Sylvicole. Le matériel lithique tel que la pyroclastique l'amène à supposer un « certain apparemment culturel » entre les sites mis au jour dans le secteur de l'embouchure de la Petite-Nation (Laforte 1987). L'intérêt archéologique reprend vigueur dans les années 2000. Tout d'abord, la découverte exceptionnelle en 2002 d'une pierre de type aviforme trouvée fortuitement en amont de la rivière Petite-Nation, dans sa section au nord du lac Simon, suggère l'extension du phénomène *Meadowood* dans l'hinterland laurentien (Tremblay 2005). Par ailleurs, trois interventions réalisées en 2007 et 2008 révèlent un site d'extraction et de traitement préliminaire du quartz (BjFs-10). En fonction de sa situation géographique, l'ancienneté du site pourrait, sous toute réserve, dater du Paléo-indien récent, soit vers 9 000 AA (Laliberté 2007a, 2007b, 2009). Enfin, au nord de la ville de Thurso, une fouille préventive réalisée en 2007 par la firme Archéo-08 permet de mettre au jour 5 556 témoins archéologiques. Parmi ceux-ci, trois vases en céramique permettent d'associer le site BjFt-3 au Sylvicole supérieur (Archéo-08 2007, 2008).

La vallée de la rivière des Outaouais est donc relativement mieux documentée au niveau archéologique que les Hautes-Laurentides, bien que les deux régions présentent un potentiel encore largement inexploré. Les données des différents secteurs discutés démontrent selon toute vraisemblance que les occupations les plus anciennes identifiées appartiennent à l'Archaïque récent. Quelques indices permettent aussi d'entrevoir des phases culturelles bien précises.

2.3.4 Haute-Laurentides — MRC d'Antoine-Labelle

Le territoire de la municipalité régionale de comté (MRC) d'Antoine-Labelle⁸ représente une superficie de près 16 296 kilomètres carrés, lesquelles forment 72 % de la superficie totale de la région des Laurentides (MRC d'Antoine-Labelle 2012). Malgré les explorations

⁶ Le lac Simon est situé à environ 40 kilomètres à vol d'oiseau au nord de Plaisance. Il est traversé par la rivière Petite-Nation qui constitue son principal affluent.

⁷ C'est en 2002 que la Réserve faunique de Plaisance se voit accorder par le gouvernement provincial le statut de « parc national ».

⁸ Les bureaux de la MRC sont situés dans la ville de Mont-Laurier, pôle urbain le plus au nord de la région administrative des Laurentides.

archéologiques dans ses régions limitrophes, peu de recherches s’y déroulent avant la seconde moitié des années 1980. L’étude d’impact archéologique réalisée par Dominique Groison semble être la seule publication disponible pour la période pré-1985 (Groison 1977). Réalisée dans la foulée du développement des lignes 735 kV 1 et 2 du Réseau de transport d’énergie de la Baie James (RTEBJ), l’étude livre un fragment d’outil et un éclat sur les rives de la rivière du Lièvre, à environ 45 kilomètres en direction ouest-sud-ouest du lac Kempt. Malheureusement, les artefacts sont vraisemblablement trouvés hors de leur contexte d’origine, déplacés en même temps que le remblai de route.

La fin de la décennie 1980 se montre beaucoup plus productive en termes de résultats de recherches archéologiques. En 1986, dans le cadre d’une entente avec le ministère des Affaires culturelles du Québec, la MRC s’engage dans un vaste projet de recherche visant à documenter le patrimoine archéologique de son territoire. Concrètement, l’objectif est de développer, dans une perspective à long terme, un « outil de gestion de la ressource archéologique » (Ethnoscop 1986 : 7). La firme Ethnoscop est alors mandatée et Pierre Dumais agit à titre d’archéologue/chargé de projet. Ce dernier sera d’ailleurs intimement lié à tous les travaux produits dans le cadre du projet. Dès 1986, une première étude de potentiel archéologique est organisée dans la partie non-municipalisée (TNM) située au nord-ouest du territoire de la MRC. Elle s’appuie principalement sur les travaux antérieurs de Burger, Ribes et Marois. Neuf « espaces-cibles » sont établis sur la base de vestiges et du potentiel archéologique (Ethnoscop 1986) et un projet d’inventaire est réalisé de 1988 à 1995. L’ensemble des reconnaissances archéologiques, en plus de fouilles en aire ouverte aux espaces-cibles Notawassi et Nasigon (1992 et 1993), permet d’identifier pas moins de 131 nouveaux sites archéologiques (Ethnoscop 1988, 1990, 1991, 1993a, 1993b, 1996). Les fouilles de 1995 dans l’espace-cible du lac Mitchinamécus sont celles qui livrent la majorité des nouveaux sites découverts. Les archéologues soutiennent alors que les vestiges pourraient souligner « une appropriation très extensive de l’espace par les occupants du territoire » et qu’« en fonction de patterns observés dans la distribution altitudinale des sites, [...] certains des gisements pourraient avoir été occupés avant même la période de l’Archaïque laurentien » (Ethnoscop 1996 : 162). De plus, une pointe en « chert cireux, semi-translucide, de couleur brun-jaunâtre pâle et comportant des taches rondes ou ovales orangées » porte à croire à une autre dissémination isolée du phénomène Meadowood (Ethnoscop 1996 : 91). Un substantiel rapport de synthèse analytique est publié en 1997 pour faire le bilan final des réalisations du projet et des connaissances acquises : *L’archéologie de la M.R.C. d’Antoine-Labelle. Contribution à la paléohistoire des Hautes-Laurentides* (Ethnoscop 1997).

2.3.5 Bassins des rivières Rouge, du Lièvre et Petite-Nation

Au début de l’année 2005, l’organisme des Gardiens du patrimoine archéologique et du développement socio-économique de la vallée de la Rouge (GPAHL) mandate la firme Ethnoscop afin de procéder à une étude de potentiel sur le territoire de la municipalité de Nominique. L’objectif est alors de documenter le patrimoine archéologique afin de

l'intégrer dans une éventuelle démarche de gestion et de mise en valeur. Dans cette étude, 127 zones à potentiel archéologique sont identifiées et une première recension des découvertes fortuites citoyennes est mise sur papier (Ethnoscop 2005). Deux inventaires sont ensuite réalisés en 2011 et 2012 par l'archéologue Geneviève Treyvaud. Ils permettent d'identifier des occupations paléohistoriques sur les pourtours du Petit lac Nomingue, à l'ancien Centre de plein air des Mésanges et sur la pointe Monseigneur où une pointe de projectile pouvant dater de l'Archaïque terminal a été mise au jour (Treyvaud 2012, 2013).

En 2013 et 2014, l'équipe du GPAHL est contactée lorsque les plongeurs amateurs Jean-Louis Courteau, Richard Lahaie et Jacques Lech font la découverte exceptionnelle dans le lac des Seize-îles d'un vase huron intact ainsi que des fragments d'un vase iroquoien du Saint-Laurent.

Les recherches de Treyvaud ayant confirmé l'intérêt archéologique des environs de Nomingue, le GPAHL mandate en 2015 l'archéologue Karine Taché afin de poursuivre les démarches d'inventaire. De 2015 à 2020, six campagnes d'inventaire et fouilles mettent en lumière l'importance du Petit, mais aussi du Grand lac Nomingue. L'inventaire de 2015 livre sept nouvelles aires et permet d'établir que le site de la pointe Monseigneur du Petit lac Nomingue fut un lieu de halte fréquenté régulièrement à travers le temps, même si la plupart des occupations observées remontent à la seconde moitié du XIX^e siècle. L'inventaire de 2016 permet l'identification de nouvelles zones d'importance. La pointe Pruel sur la rivière Rouge livre des traces d'occupations paléohistoriques de faible intensité, un tesson de céramique permettant de les situer au moins au Sylvicole. Le site le plus important est toutefois celui du Ruisseau Jourdain au Grand lac Nomingue, à l'embouchure de la rivière Jourdain (CcFr-1). Il livre des témoins lithiques et céramiques qui soutiennent une occupation potentiellement continue depuis 6 000 ans (Taché et Lamothe 2017, 2018). L'inventaire de 2017 sur CcFr-1 livre une centaine de tessons de céramiques dont la datation typologique s'étale du Sylvicole moyen ancien jusqu'à la fin du Sylvicole supérieur. Une nouvelle zone est aussi identifiée sur la pointe Manitou au centre du grand lac Nomingue ou des témoins multiples suggèrent une occupation paléohistorique et à la période de contact.

Un nouveau secteur d'intérêt est quant à lui investigué depuis la saison 2018. Il s'agit du secteur des rapides du Wabasse, près de la confluence de la rivière du Lièvre et de l'ancien ruisseau menant au lac des Îles. L'attention des archéologues y a été attirée en raison des nombreuses découvertes archéologiques faites par un citoyen de la région. Une imposante collection de surface a été amassée par M. Louis-Pierre Coursol, un résident de Mont-Laurier, au cours de 40 années de promenades sur les berges de la rivière du Lièvre. C'est la forte érosion occasionnée par la construction du barrage des Rapides-des-Cèdres, sur la rivière du Lièvre, qui explique qu'une telle quantité de témoins matériels soit accessible lors des périodes de basses eaux. Grâce aux inventaires de 2018 et 2019 dans le secteur du ruisseau des Îles, et les découvertes de M. Coursol, quatre nouveaux sites pointent vers une occupation intense et continue de la région. L'ensemble des découvertes

pose ainsi un cadre chrono-culturel préliminaire, lequel pourrait débiter il y a près de 7 000 ans (Taché et Lamothe 2016, 2017, 2018, 2019, 2020).

En 2020, et ce malgré un contexte de pandémie mondiale qui a forcé la réduction de l'ampleur des opérations, les recherches menées sur le terrain se sont avérées productives. Concentrées dans la municipalité de Nominuingue, les recherches ont permis d'y mettre au jour cinq nouveaux sites, dont un nouveau à l'embouchure du ruisseau Jourdain (CcFr-8), face au site CcFr-1. Trois petits sites ont ensuite été découverts dans la baie Cartier (CcFr5, CcFr-6 et CcFr-7), démontrant l'intérêt du secteur de la décharge du lac dans la rivière Nominuingue. Un tesson de poterie décorée d'empreintes à la cordelette typiques du Sylvicole moyen tardif y a été découvert, portant à deux le nombre de sites à céramique à Nominuingue. Plusieurs cristaux de quartz, dont certains retouchés, y ont aussi été mis au jour. Au Petit lac Nominuingue, un dernier site a été identifié dans la baie Larivière (CcFs-5), près d'un portage ancestral menant à la tête du bassin versant de la rivière Petite-Nation. Des fragments de pierre pyroclastique y ont été mis au jour, permettant ainsi d'établir un lien avec l'occupation ancienne de la vallée de l'Outaouais.

2.4 Cadre historique général

C'est en 1603 qu'on retrouve la première mention historique des Anishinabeg-Algonquins⁹, le groupe culturel algonquien spécifique à l'occupation de la vallée de l'Outaouais et de l'ensemble de son bassin versant dans les Hautes-Laurentides. Leur rencontre lors d'un rassemblement à Tadoussac est relatée par Samuel de Champlain (Laverdière 1870 [Champlain 1603]). À cette époque, l'occupation des abords du Saint-Laurent est en pleine réorganisation, à la suite de la dispersion des Iroquoiens du Saint-Laurent qui l'habitaient jusqu'aux environs des années 1580 (Tremblay 2006; Savard 1996; Ratelle 1993; Trigger 1978).

En remontant progressivement le fleuve, Champlain et, quelques années plus tard, le récollet Sagard, traversent le véritable territoire des Anishinabeg. Ceux-ci occupent une bonne partie de la vallée de l'Outaouais, de son embouchure jusqu'aux environs de la rivière Mattawa (Laverdière 1870 [Champlain 1632]; Chevalier 1865 [Sagard 1632]). Le pays anishinabe est bordé de plusieurs voisins, notamment les Attikameks, les Nipissingues et les Hurons. Les Iroquoiens, leurs ennemis traditionnels, sont situés plus au sud (figure 7).

⁹ Les Algonquins se désignent eux-mêmes sous l'appellation *Anishinabeg* (au singulier: *Anishinabe*), ce qui signifie « les vrais hommes » (Fortin 1999). Nous avons donc choisi de nous en tenir à ces termes dans le reste de ce document.

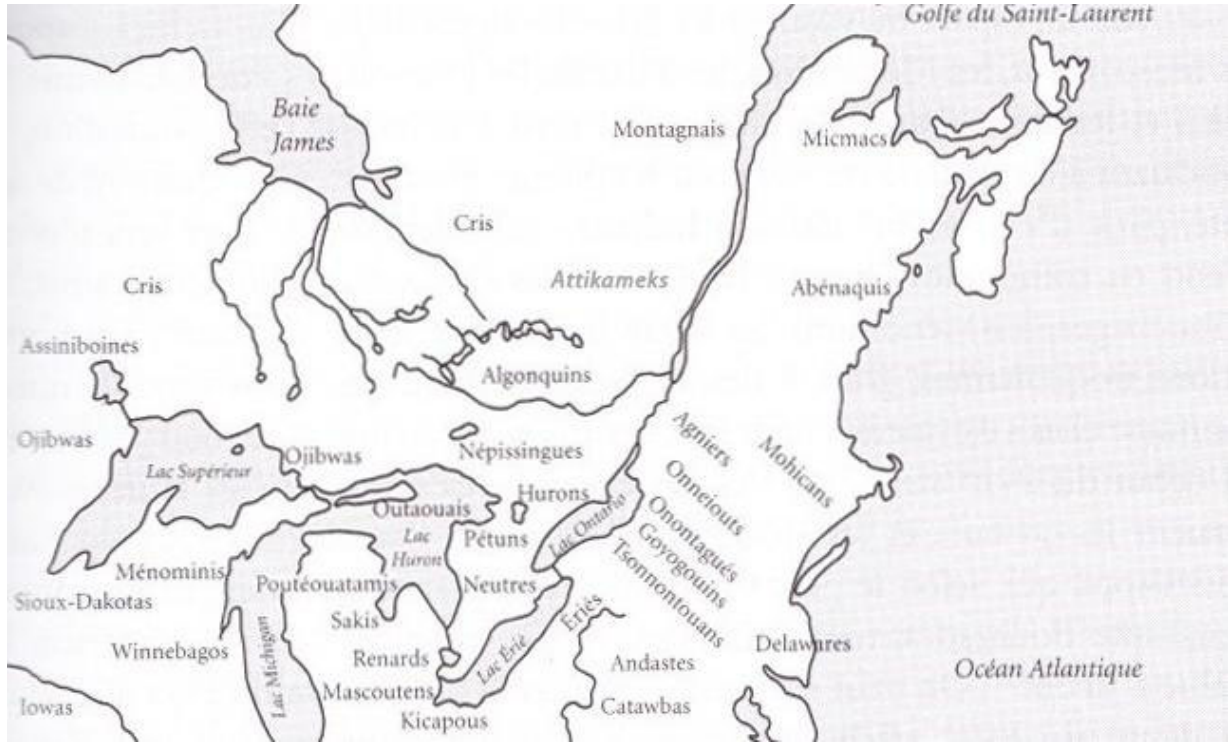


Figure 7 Carte des populations autochtones du nord-est américain au début du XVII^e siècle (modifications à partir de Havard 2003).

Les régions de la Lièvre et de Nomingue faisaient partie du territoire de la nation anishinabe des Weskarinis, bien connue des Français (figure 8).

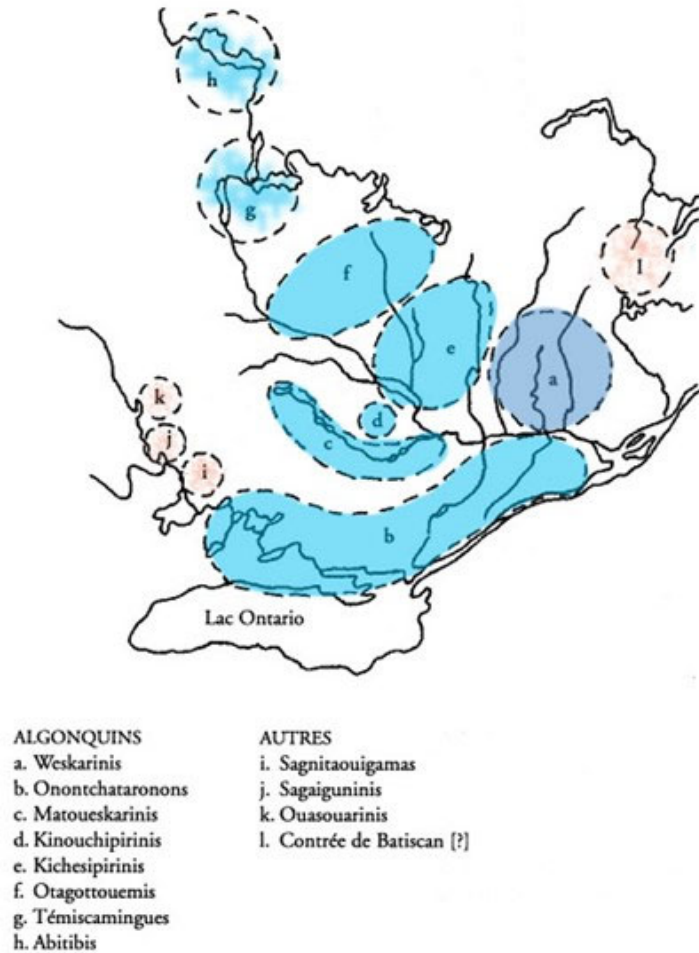


Figure 8 Carte des nations anishinabeg de la première moitié du XVII^e siècle (selon Ratelle 1993). Malgré une importante proximité culturelle, plusieurs auteurs excluent les Abitibis et les Témiscamingues. L'affiliation culturelle du groupe de la contrée de Batiscan est elle aussi sujette à débat, les informations concernant cette population étant très limitées.

Selon les sources, leur territoire se trouvait sur la rive nord de l'Outaouais et s'étendait approximativement de la rivière Rouge à la rivière du Lièvre, ce qui incluait plus particulièrement la rivière de la Petite-Nation, nom auquel d'ailleurs les Weskarinis étaient identifiés par les Français (Ratelle 1993; Viau 1993; Savard 1996). Ceux-ci seront vaincus et dispersés par les Iroquois vers 1651, un événement relaté par le capucin Alexis Barbezieux :

NOTES SUR LES ALGONQUINS DE LA PETITE-NATION

Nous reproduisons ici, à titre de légende, les détails suivants qui nous ont été fournis par M. l'abbé Richer, curé de Masson.

« C'était un fait bien connu des sauvages, il y a une trentaine d'années [donc vers 1867], que la Petite-Nation avait été massacrée par les Iroquois sur les bords du petit [lac] Nomingue, à un demi-mille, environ, de l'embouchure du ruisseau Sawgie [Saguay]. La côte qui est sablonneuse et assez élevée à cet endroit, s'avance dans le lac, en pointe recourbée vers l'ouest.

Voici en peu de mots, comment les choses se seraient passées.

Un printemps, les chasseurs de la Petite-Nation, avec leurs femmes et leurs enfants, revenaient d'une de leurs excursions accoutumées sur les sources de la Rouge et du Saint-Maurice. En tout vingt canots. La chasse avait été abondante; pas le moindre accident à déplorer; et le retour s'opérait dans les meilleures conditions. On supputait à l'avance les bonnes et jolies choses que les traiteurs français devaient échanger contre les magnifiques peaux de castors, de loutres et de visons, etc., et on se promettait de faire grasse et joyeuse "tabagie", sur les bords du Grand Lac. C'était là le "home" préféré de ces grands enfants de la nature.

Tous fendaient donc gaiement, de leurs avirons, les eaux du petit Nomingue, et déjà le portage qui mène au lac des Iles, était en vue, lorsque une dizaine de grands canots se détachant de la rive sud, s'avancèrent à leur rencontre et comme pour leur barrer le passage. Aux coups de fusils tirés de loin, surtout aux cris poussés par ceux qui les montaient, on reconnut bientôt les Iroquois. Sans se déconcerter, nos chasseurs virèrent de bord, et se dirigèrent vers la pointe nordouest, pour y mettre en sûreté leurs femmes et leurs enfants, en attendant l'issue du combat, bien décidés qu'ils fussent de faire face aux maraudeurs qui venaient les attaquer. Mais, hélas! le piège avait été habilement tendu, c'est à la mort qu'ils couraient ainsi tous ensemble. A peine avaient-ils mis le pied sur le rivage qu'une centaine de guerriers iroquois, sortant d'une espèce de retranchement fait de troncs d'arbres entrecroisés et recouverts de gazon, tombent sur eux, le tomahawk à la main. C'en était fait de la Petite-Nation. Deux ou trois seulement purent s'échapper à travers le bois. »

ALEXIS DE BARBEZIEUX, *O.M.C.*

(Histoire de la province ecclésiastique d'Ottawa, vol. I, page 32.)

Avant son décès en 1948, Louis Tanascon, le dernier chef anishinabe de Nomingue, racontait encore cette histoire aux enfants du camp Nomingue (Paquin 2014).

Les Anishinabeg de l'Outaouais ne disparaissent pas totalement par la suite, mais la perte de leur puissance politique et militaire les relègue à l'arrière-plan. Certains s'établissent dans les missions catholiques de la vallée du Saint-Laurent tandis que plusieurs se regroupent dans de nouvelles entités (Trigger et Day 1978; Ratelle 1993). Il semble qu'au cours des 25 années qui suivent la seconde moitié du XVII^e siècle, le territoire jadis occupé par les Anishinabeg (dont celui des Weskarinis) est plus ou moins abandonné (Day et Trigger 1978). Étant donné l'intérêt du territoire tant pour ses ressources que comme axe de circulation, on ne peut toutefois exclure qu'une fréquentation plus ou moins régulière se poursuive malgré la crainte généralisée à l'époque des incursions iroquoises.

La plus ancienne mention du passage d'un Européen à l'intérieur de ce qui était le territoire weskarini quelques décennies auparavant est attribuée à un certain Sieur de Bellefeuille qui, guidé par deux Abitibis, emprunte la rivière du Lièvre en 1689 (Caron 1918 [Patu 1689]). La route de contournement de la Lièvre qui mène vers le bassin de la rivière Saint-Maurice sera à partir de cette époque assez régulièrement utilisée.

Bien que l'on connaisse peu de choses sur l'intensité de la fréquentation de l'ancien territoire weskarini au XVIII^e siècle, il ne fait pas de doute que son exploitation par les Autochtones avait repris après la ratification de la Grande Paix de 1701, particulièrement à la suite de la fondation de la mission de Deux-Montagnes (Oka) en 1721 (Viau 1993). Cette mission était composée d'un regroupement d'Anishinabeg, de Nipissingues, de membres de quelques autres nations algonquiennes ainsi qu'un regroupement voisin constitué d'Iroquois auparavant installés à la mission du Fort-Lorette, au Sault-au-Récollet (Black 1989). Les grandes quantités de fourrures qui sont vendues par les Autochtones de Deux-Montagnes au XVIII^e siècle témoignent que les ressources environnantes sont exploitées (Barbezieux 1897; Anick 1976; Day et Trigger 1978). Les documents historiques mentionnent la présence des Autochtones de Deux-Montagnes à plusieurs endroits des Laurentides au début du XIX^e siècle. En 1844, les Anishinabeg et Nipissingues de Deux-Montagnes ne sont d'ailleurs présents à la mission qu'environ deux mois, le reste du temps étant consacré à l'exploitation des ressources de l'arrière-pays (Canada Indian Department 1845).

De nouveaux bouleversements transforment profondément la vallée de l'Outaouais et son bassin laurentidien au XIX^e siècle. Ses rives sont progressivement colonisées et l'exploitation du bois le long de ses affluents entraîne l'exploration du territoire et ultimement l'avancée des migrants eurocanadiens au détriment des groupes autochtones.

Les fermes forestières mises en place le long des affluents de l'Outaouais servent à approvisionner les chantiers environnants et de relais pour les équipes de bûcherons, les arpenteurs et les missionnaires (Bouchard *et al* 2019; Barbezieux 1897). Lorsque les colons commencent à occuper le territoire à partir de la seconde moitié du XIX^e siècle, les fermes permettent également l'acquisition de ressources essentielles et de matériaux de base. Au

tournant du XX^e siècle, ces bâtiments auront tous été vendus ou abandonnés. Seuls quelques-uns subsistent de nos jours dans les Laurentides.

La colonisation des Hautes-Laurentides s'accélère au cours du dernier quart du XIX^e siècle, à la suite des efforts inlassables du curé Labelle pour contrer à la fois l'émigration massive des Canadiens français vers la Nouvelle-Angleterre et l'expansion anglo-protestante dans l'arrière-pays à partir de l'Outaouais. Des guides autochtones l'accompagnent d'ailleurs lors de ses explorations du territoire à partir de 1869 (Auclair 1930). La région est fréquentée et occupée depuis longtemps par de nombreuses familles autochtones, soit originaires de Deux-Montagnes, soit par la suite de Maniwaki (Kitigan Zibi) ou de familles hors réserve (Frenette 1993). Selon des informations recueillies au début du XX^e siècle par l'anthropologue Frank Speck auprès d'Aînés, des familles anishinabeg occupaient encore avant les années 1850 des territoires à proximité de Montréal, entre la rivière du Nord et la Mattawin (Speck 1929). Des bourgades autochtones sont d'ailleurs signalées dans le canton d'Arundel à Huberdeau, au lac Cameron et aux rapides du Diable (Durban et Bell 1860; Outhet 1990; Paquin 2014). En 1881, une pétition est envoyée pour qu'une réserve leur soit octroyée dans le canton de Labelle (Chamberlin 1891). Cette démarche sera ignorée. On y dénombre 48 signataires anishinabeg de la rivière Rouge et de 22 signataires de la Petite-Nation (Paquin 2014). Il n'y a pas d'informations semblables au sujet des Anishinabeg de la Lièvre, mais ils constituaient, semble-t-il, un groupe qui vivait en marge de la communauté de Maniwaki (Frenette 1993 citant Petruccio 1929).

2.4.1 Les secteurs à l'étude

Les rivières de la Petite-Nation, de la Rouge et le Grand lac Nominique

Suite à la dispersion des Weskarinis, les allusions à la rivière de la Petite-Nation sont assez rares avant la fin du XVIII^e siècle. Bien que le lieu ne soit pas clairement nommé, un poste de traite était aménagé à son embouchure, ce que relève Alexander Henry en 1761 (Henry 1809; Voorhis 1930). La première maison érigée en 1803 par Joseph Papineau aurait d'ailleurs été construite à peu près sur l'emprise de ce poste (Paquin 2020; GRAO 2012). En ce qui concerne des descriptions de l'arrière-pays, il n'existe aucune donnée documentaire connue de cette époque.

C'est en 1801 que Joseph Papineau s'établit dans la seigneurie de la Petite-Nation, acquise du séminaire de Québec. Son fils Louis-Joseph rachète la seigneurie en 1817. Au cours des décennies suivantes, ses fils Lactance et Amédée effectuent des voyages jusqu'aux limites de la seigneurie et rencontrent les familles autochtones qui l'habitent. Guidé par Charles Hillman et accompagné de ses cousins Casimir et Auguste, Lactance se rend jusqu'au lac Simon en 1844 et mentionne la rencontre de plusieurs autochtones dans son journal (Papineau 2003). Son frère Amédée entreprend avec Hillman en 1853 un voyage qui le mène au lac Commandant (l'actuel lac Papineau). Il trouve à cette occasion le portage autochtone

menant à la rivière Maskinongé, un affluent de la Rouge qui prend sa source dans les lacs Labelle et Désert (Papineau 1998; OBV RPNS 2011; Paquin 2014).

Une carte de George T. Griffin se trouvant dans le fonds de la compagnie forestière Hamilton & Low et datée de 1832 constitue le document le plus ancien qui illustre le lac Nomingue avec précision (figure 9). La carte a visiblement été déchirée ou coupée sur toute la longueur de sa frange droite, ce qu'indique la présence de mots incomplets, la coupure de quelques tracés et les restes apparents de filaments du support. Un carré a aussi été découpé au bas de la carte, dans le coin gauche.

Malgré quelques distorsions d'orientation et d'échelle, cette carte inclut plusieurs éléments descriptifs d'un très grand intérêt. On y discerne en particulier la présence d'un campement autochtone (*WhiteDuck*) à l'embouchure du ruisseau Jourdain (*Pike River*). Cette indication rappelle la localisation un peu plus vague dans le secteur d'un campement qui figure sur la carte de Paul Kakidjouenne (voir figure 4). La mention de « *Wild Mans' Point* » indique une occupation autochtone de la pointe Manitou¹⁰. Le portage menant de la baie Larivière au Petit lac Nomingue vers la Petite-Nation (via le lac Lesage) est clairement illustré. Deux petites habitations semblent dessinées le long de la rivière Nomingue, dont l'une porte les initiales W.L.

Quelques lieux représentés demeurent cependant difficiles à associer à la toponymie actuelle. À la tête du ruisseau Jourdain, la séparation entre deux branches, soit l'actuel Ruisseau du lac, à gauche, et le Jourdain, à droite, permet de localiser le lac de Tibériade. Sur la gauche, étant donné la taille reproduite, nous avons estimé qu'il pourrait s'agir du lac Gaumont.

Au-dessus des lacs Saguay, Gaumont et Tibériade, le cours d'eau et le lac représentés font sans doute référence à la rivière Kiamika et au lac des Écorces.

À la base de la carte, le lac et le portage vers la rivière de la Petite-Nation semblent tout à fait hors contextes par rapport au reste de la carte et ne peuvent être pour l'instant associés à de lieux connus de la toponymie contemporaine. À la limite, on pourrait penser qu'il s'agit d'une amorce de reproduction, maladroite et incomplète, du portage du Petit lac Nomingue vers le lac Lesage. Cet ajout serait postérieur à 1832 si on se fie à la calligraphie employée.

¹⁰ Jean-Baptiste Bernard Amikwabe (1829-après 1912) est dans la région de Nomingue au moment de la fondation du village et aurait été expulsé de la pointe Manitou lors de son achat par les Jésuites. On peut se demander si son père, Bernard Ajawegone (1795-1834) pourrait être lié en 1832 à la *Wildmans Point*. Il est tout à fait envisageable qu'il y ait une continuité familiale dans l'occupation de la région de Nomingue au XIX^e siècle mais, étant donné la fréquence des déplacements sur le territoire, il est impossible d'en être certain.

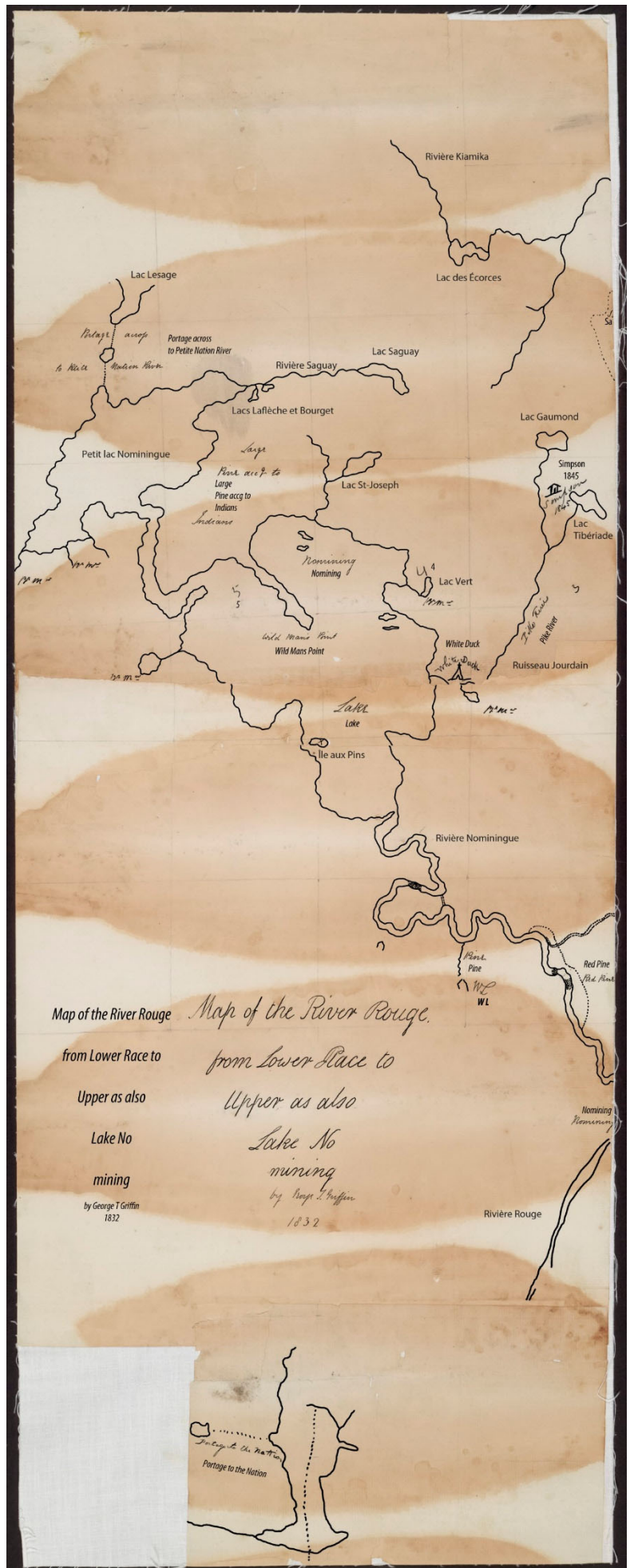


Figure 9 Détail de la carte de George Griffin de 1832, Map of the River Rouge from Lower Race to Upper as also Lake Nominique

Signalons que la calligraphie indique clairement que plusieurs inscriptions ont été ajoutées après 1832, notamment les mentions *WhiteDuck* et *Simpson 1845*, sans qu'une date précise puisse actuellement être déterminée. Une courte recherche généalogique donne peut-être quelques indications à ce sujet. Joseph Pekasiketch (1794-après 1863), chef nepissing d'Oka aura 14 enfants dont 4 fils qui porteront le nom de famille Canard Blanc ou Whiteduck : Michel Whiteduck (1821-1899), Pierre-Mathias Canard Blanc (1830-1897), Amable Canard Blanc (1834-1931) et Simon Whiteduck (1839-) (Paquin, weskarini.ca). Amable Canard Blanc est le seul membre de la famille connu pour avoir fréquenté le Grand lac Nominique, ce qui nous amène au moins au milieu du XIX^e siècle. Ces éléments portent à croire que les inscriptions *Whiteduck* et *Simpson 1845* ont pu être apposées postérieurement à 1845, l'année inscrite.

Au cours des années 1850-1860, le célèbre géologue William Logan, accompagné en 1858 du naturaliste W. S. M. D'Urban, effectue plusieurs campagnes dans les Laurentides qui l'amèneront à parcourir les rivières Rouge, Petite-Nation et Maskinongé jusqu'au lac Nominique (Logan 1852-63; D'Urban 1860; Harrington 1883). Il prend en note de nombreux toponymes anishinabeg des lieux qu'il étudie. Dans ses carnets d'arpentage, Logan inscrit à la fois le nom original autochtone *Wapaching* et français *Barrière* pour désigner la petite étendue d'eau qui relie les Grand et Petit lac Nominique (Logan 1861).

Lors de ses campagnes d'arpentage entre 1864 et 1866, Duncan Sinclair, guidé par l'Anishinabeg Simon Commandant (Wabinigis), remonte la Petite-Nation et, en passant par les Petit et Grand lacs Nominique, il atteint les sources de la rivière Rouge. Le 7 janvier 1865, il campe sur les rives de la pointe Manitou. Le 14 janvier, il est au Petit lac Nominique et relève auprès de ses guides l'*Iroquois Point* (il s'agit de l'actuelle pointe Monseigneur), lieu présumé de la défaite finale des Weskarinis face aux Iroquois (figure 10). Il note également le nom de *Windigo point*, une longue bande de sable se trouvant face à l'embouchure de la rivière Sagway (« *called Sagwee by the Indians* »). En suivant ses guides anishinabeg, il localise leurs campements et note le réseau qu'ils utilisent jusqu'à la Matawin (Sinclair 1863-1865; Paquin 2014). En somme, il explore l'ancien territoire weskarini.



Figure 10 Détail du Petit lac Nominique illustré sur la carte de Duncan Sinclair de 1865, *Plan of the River-Rouge in the County of Ottawa*.

Avant la fondation de la municipalité de Nominuingue, plusieurs familles autochtones fréquentent ou habitent les environs du Grand lac Nominuingue, ce qui est le cas notamment d'Amable Canard-Blanc, de Joseph Commandant fils, de Jean-Baptiste Bernard, de Louis Tanascon, d'Albert Jabot et d'un certain François (Chamberlin 1891; Speck 1929; Rodier et Girouard 1983; Paquin 2014; Graham 1990 [1940]).

Après quelques années préparatoires, la mission de Nominuingue est officiellement fondée. En 1883 les Pères Jésuites s'installent au Grand lac Nominuingue (Lalonde 1937). Le développement sur le pourtour des lacs de Nominuingue s'amorce la même année et a la particularité d'intégrer à la fois des colons canadiens-français mais aussi une proportion appréciable de défricheurs venus de France, de même que quelques familles aisées qui acquièrent de grandes propriétés (par exemple les Beaubien et le baron Stanislas d'Halewyn). Installé au lac Lesage, le baron d'Halewyn pratique la traite des fourrures un certain temps (Rodier et Girouard 1983). Dans ces circonstances, il est possible qu'il ait été occasionnellement en contact avec des chasseurs autochtones.

Au XX^e siècle, la population euro-canadienne augmente progressivement. Parallèlement à la colonisation, avec le prolongement de la ligne de chemin de fer jusqu'à Nominuingue en 1904, le tourisme et la villégiature prennent leur essor. Plusieurs familles d'ascendance anishinabe, la plupart métissées, sont établies à Nominuingue ou dans les environs. Le camp Nominuingue ouvre ses portes en 1925. Le vieux Louis Tanascon est présent à Nominuingue à cette époque. Il fabrique des canots d'écorce et raconte histoires et légendes anishinabeg aux garçons du camp de vacances (Paquin 2014). De nos jours encore, plusieurs familles entretiennent la mémoire de leurs origines anishinabeg.

La rivière du Lièvre

Comme pour l'ensemble des Laurentides, l'utilisation, l'exploitation et l'occupation continues de la rivière du Lièvre par les Autochtones remontent à plus de 7 000 ans, ce qu'ont démontré les découvertes archéologiques le long de son cours (Taché et Lamothe 2019; 2020). Artère majeure pour la circulation dans l'hinterland laurentidien, la Lièvre permet entre autres le passage rapide entre les bassins de la rivière des Outaouais et du Saint-Maurice. De plus, il est possible de passer avec une certaine aisance de la rivière du Lièvre aux bassins des rivières Gatineau et Coulonge au nord-ouest, et des rivières Rouge et Petite Nation au sud-est.

À la période historique, un poste de traite est établi à son embouchure au moins à partir du premier quart du XVIII^e siècle (Anick 1976). Ce poste est brièvement décrit par Alexander Henry lors de son passage en 1761, alors qu'à cette époque il est probablement exploité par les marchands indépendants de la famille Foubert (Henry 1809; Bouchard *et al* 2019).

La présence eurocanadienne permanente le long de la Lièvre, à proximité de la rivière des Outaouais, s'amorce dès la fin du XVIII^e siècle alors que des colons s'établissent dans le canton de Buckingham (Barbezieux 1897). Des postes de traite sur la rivière du Lièvre sont

mentionnés dès 1803, exploités par la compagnie XY (Anick 1976). Quelques années plus tard, la compagnie du Nord-Ouest (CNO) établit un poste au lac des Sables, un élargissement de la rivière localisé près de l'actuelle localité de Notre-Dame-du-Laus. Après la fusion de la CNO avec la Compagnie de la Baie d'Hudson (CBH) en 1821, le poste du lac des Sables restera en fonction jusqu'en 1849 pour ensuite être déménagé à Buckingham (Anick 1976; Bouchard *et al* 2019). À la même époque, de nombreux petits traiteurs indépendants aux origines disparates exercent leur trafic sur la Lièvre et profitent de la proximité de Bytown (Ottawa) pour se ravitailler (Bouchard *et al* 2019).

En 1829, le lieutenant Frederick L. Ingall est mandaté pour effectuer une expédition qui l'amène à explorer une partie de la rivière Saint-Maurice jusqu'au poste de Weymontachie pour ensuite bifurquer vers le lac Kempt et descendre la rivière du Lièvre. Sur son chemin, il croise des Anishinabeg, des Attikameks, des Abénaquis, des Iroquois, des Canadiens, des Métis et des Anglais (Ingall *et al* 1830). Les descriptions et les distances mentionnées indiquent que l'expédition traverse les environs de l'île Longue vers le 10 octobre. Aucune observation particulière ou présence humaine n'est signalée dans cette portion de la rivière qui se trouve à proximité du poste du lac des Sables. C'est cette expédition qui a permis la production de la carte présentée en figure 3. Cette carte porte d'ailleurs des indications très intéressantes d'un point de vue archéologique. En marge de la carte, à la hauteur de Wemontichingue, la mention «*High Hill of Siennite Containing Rock Cristal*» (figure 11) pourrait signaler l'une des sources d'un matériau recherché par les populations autochtones : le cristal de quartz dont la présence a été rapportée sur de nombreux sites archéologiques (Milmore 2014). D'autres mentions sont indiquées sur la carte le long du Saint-Maurice et sur le parcours emprunté pour rejoindre la rivière du Lièvre. Le rapport écrit de l'expédition décrit également quelques formations contenant des veines plus ou moins importantes de cristal de quartz le long de la rivière Saint-Maurice et de la Lièvre (Ingall *et al* 1830).



Figure 11 Détail de la carte *Geological map, Illustrative of the St.Maurice country*, 1830

Comme partout le long de l'Outaouais, au cours des décennies qui suivent, l'exploitation du bois entraîne rapidement la mise en place de chantiers et de fermes forestières qui remontent progressivement vers les sources de la Lièvre.

Dans le secteur de l'Île Longue, face à celle-ci, une ferme forestière (ferme de l'Île Longue) est établie vers 1830 sur la rive ouest du chenal principal de la rivière du Lièvre et restera en fonction jusqu'aux environs de 1860 (Patri-Arch 2016)¹¹. Celle-ci, initialement propriété de Baxter Bowman, est illustrée en 1846 par l'arpenteur Alphonse Wells qui énumère également les quelques squatters qui se sont installés dans les environs et qui formeront le noyau initial de colonisation (figure 12 et tableau 1). Plusieurs d'entre eux auront auparavant travaillé pour le poste de traite du Lac des Sables et sont soit d'origine métissée (Joseph Dussiaume, Joseph David) ou contracteront des unions avec des femmes ayant des origines métisses (Louis Beauregard). Par exemple, Joseph Dussiaume (Jussiaume), est un métis lié à la petite communauté du lac Ste-Marie et employé de 1829 à 1835 par la CBH du Lac des Sables (Bouchard *et al* 2019). Vers la même époque, des fermes forestières sont également établies par Baxter Bowman dans le secteur du lac des Îles (Ferme du Wabassée) et à proximité de l'embouchure de la rivière Kiamika (Ferme Rouge).

La confluence du ruisseau des Îles et de la rivière du Lièvre semble encore faire l'objet d'une fréquentation relativement importante par les groupes autochtones au milieu du XIX^e siècle. Le secteur se trouve d'ailleurs à une assez courte distance de la réserve de Maniwaki (Kitigan Zibi), soit environ 40 kilomètres à vol d'oiseau. Le carnet de l'arpenteur Alphonse Wells, qui fait un arrêt à la ferme du Wabassée en août 1846, mentionne la présence d'un campement sur la rive ouest de la rivière :

[...] Opposite to this point, on the south shore, in a brook, on the southeastern side of wich [illisible] the clearance of «The Wabassée Farm» of S.G. Bigelow esquire [...]

[..] Near this point («Crick des Isles»), a short distance from the river banks, is an old Indian Encampment called the «Wabassée», still occupied by the Indians. [...]

(WELLS, Alphonse, *Carnet 29 Rivière du Lièvre 1846, 1847*, p. 76-77)

¹¹ Patri-Arch mentionne le nom de «ferme des Lacaux», une appellation qui n'apparaît pas dans les carnets des arpenteurs Alphonse Wells et Samuel Allen ni sur le *Plan of Limits of James MacLaren & Co* de 1876 et qui indiquent clairement le nom de *Long Island Farm* (Wells 1847, Allen 1864, Coursol 1992).

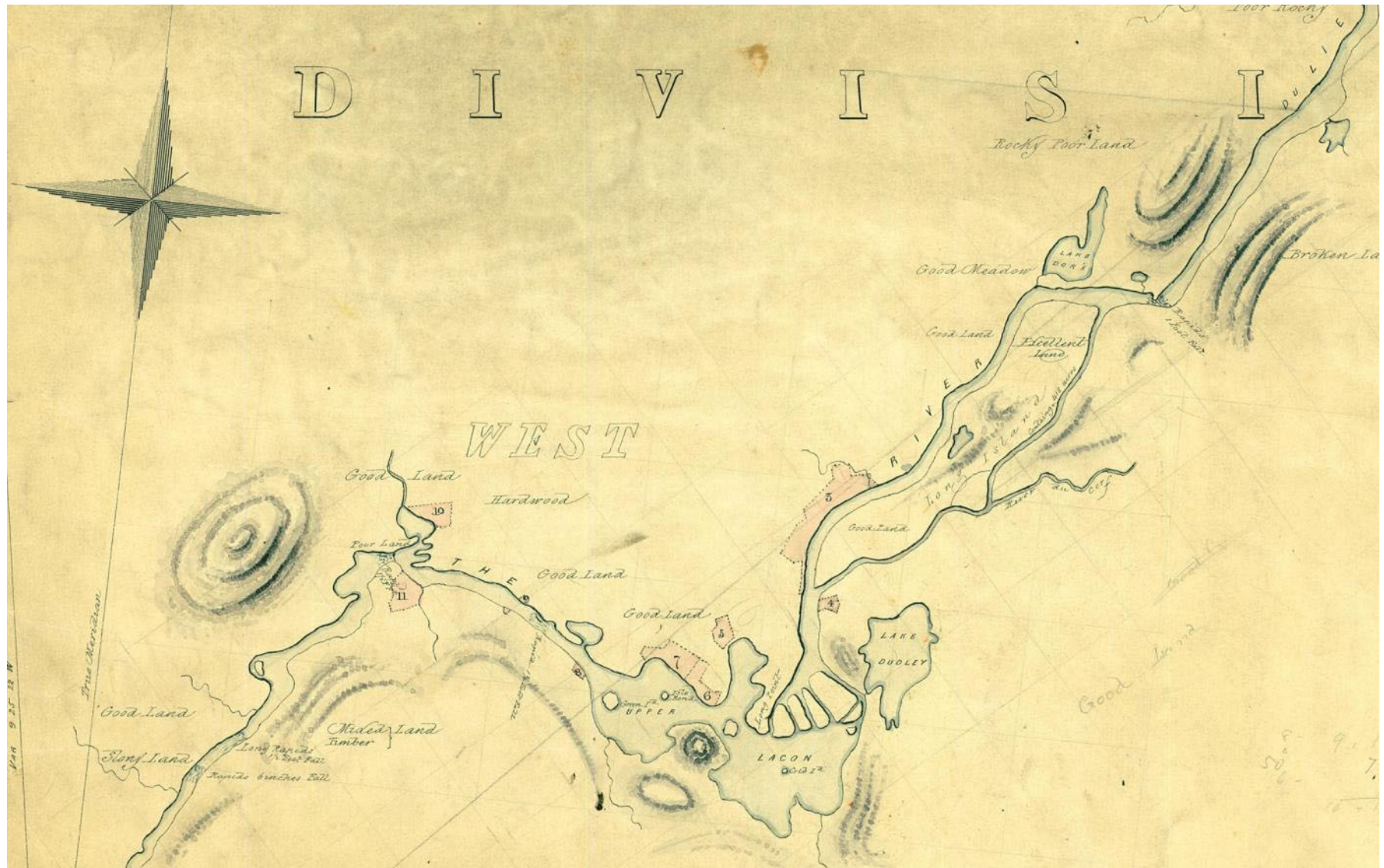


Figure 12 Plan d'Alphonse Wells de 1846 Partie de la rivière du Lièvre, Division no. 4

Tableau 1 Liste des occupants des terres des environs de l'Île Longue, vers 1846*

No	Côté de la rivière	Occupant	Acres	Description	Date d'installation
3	W	Baxter Bowman (Ferme Ile Longue)	49 1/2	Maison, magasin, grange, étables	1838
4	E	Guillaume Morin	4	Maison	1845
5	W	Jean-baptiste Neveu, dit Lacroix	8 1/2	Maison, grange, étable	1843
6	W	Joseph David	9 3/4	Maison, étable	1841
7	W	Alexandre Lafontaine, dit Robert	17 3/4	Maison, étable	1841
8	E	Joseph Groulx	1 3/4	Maison	1846
9	W	Louis Bourgard (Beauregard)	1/2	Maison	1846
0	E	Antoine Neveu, dit Lacroix	1	Seulement arbres abattus	1846
10	W	Pierre Grenier	10 1/4	Maison, grange	1843
11	E	Joseph Dussiaume	13 1/2	Maison, grange, étable	1843

*Transcrit du carnet d'arpentage d'Alphonse Wells de 1847, *Carnet 29, Rivière du Lièvre*, p. 137 (BANQ E21,S60,SS2,P29)

Tout au long de la seconde moitié du XIX^e siècle, on compte encore quelques familles autochtones disséminées sur les rives de la rivière du Lièvre, ce que montrent divers plans, notes de carnet et états de compte (McArthur 1866; Coursol 1992).

En 1865, l'arpenteur McArthur note dans son carnet que plusieurs familles de colons se sont installées dans le secteur de la Lièvre situé entre le lac de Camp et l'île Longue. Malgré l'abondance de poisson et de gibier, il relève également l'extrême difficulté des conditions de vie (McArthur 1866).

En 1881, 35 familles pionnières (figure 13) sont déjà établies dans la mission de Notre-Dame-de-Pontmain qui englobe tout le territoire qui s'étend à partir du rapide de la Babiche jusqu'à la ferme Rouge (Coursol 1992). Au moment de la fondation du village Notre-Dame du-Pontmain en 1884, le territoire est donc peu habité. La colonisation entraîne principalement l'arrivée de Canadiens-Français, de même que de quelques familles d'origine française. Encore à l'époque, le commerce avec les Autochtones demeure une activité qui conserve un certain intérêt. Entre autres, la maison de Charles Grenier aurait été aménagée pour la traite des fourrures (Constantineau 1983).



Figure 13 Pierre Grenier et Moustique Robert, établis depuis 1843 (tiré de Constantineau 1983)



Figure 14 Olivine Grenier et André Beaulieu (tiré de Constantineau 1983)

L'ancien site de la ferme de l'Île Longue est acheté par André Beaulieu en 1901 à la compagnie Ross & Frères, une propriété qu'il occupe et exploite avec succès depuis déjà plusieurs années (Nantel 1887). Installé avec sa famille dans les environs depuis au moins la fin des années 1870, André Beaulieu (1841- après 1901, figure 14) est le fils d'Ambroise Beaulieu, employé de nombreuses années au poste de traite du Lac des Sables, et de Marie Godin, deux Métis dont les liens avec la traite des fourrures sont relativement bien documentés (Marcotte 2018; Bouchard *et al* 2019)¹². Il va sans dire qu'étant donné ses origines et son expérience personnelle, André Beaulieu, tout comme quelques autres familles métissées à divers degrés, devait entretenir des rapports privilégiés avec les familles autochtones installées dans les environs ou de passage. De plus, les études généalogiques indiquent que les Beaulieu et les Mackanabé/Mikwanabé-Wabisi, une famille bien connue du Wabassee, étaient apparentées¹³.

En 1930, la mise en activité du barrage des Cèdres à Notre-Dame-du-Laus transforme significativement l'aspect de la rivière située en amont. La crue provoquée par le barrage, qui atteint près de 8 mètres à la hauteur de l'île Longue, inonde les basses terres riveraines, crée plusieurs nouveaux réservoirs et force le déplacement de nombreuses familles. En plus du désastre humain, il s'agit de l'événement ayant eu l'impact le plus significatif sur l'état des sites archéologiques environnants, ceux-ci ayant été emportés en tout ou en partie par la forte érosion des berges qui s'en est suivie et qui demeure encore aujourd'hui très active (figure 15).

¹² Signalons toutefois qu'il ne faut pas confondre les Joseph Godin jr (né en 1785) et Marie Minoewe Godin (née vers 1813), père et fille du poste du Lac des Sables, avec les Joseph (vers 1752-1829) et Marie Godin (1786-) du poste de Fort Coulonge. Signalons notamment que dans sa biographie, John MacLean rapporte qu'en 1823, le Joseph Godin de fort Coulonge est le commis du poste depuis de nombreuses années et d'autres sources mentionnent qu'il a été à l'emploi de CNO et de la CBH depuis au moins 1787 (MacLean 1849 et Collection d'archives Greg Piazetski 2020). En 1823, MacLean estime l'âge de sa fille, Marie Godin à au moins 30 ans et elle serait plus précisément née en 1786 (MacLean 1849; Collection d'archives Greg Piazetski 2020; Paquin *weskarini.ca*).

¹³ Joseph Godin jr a épousé en 1814 Cécile Wzawis-Wabisi (1794-1815). Cécile Wzawis est la fille de Bernard Wabisi et donc la tante de Thomas Mikwanabe (Paquin *weskarini.ca*). Thomas Mikwanabe et sa famille s'installent au pied des rapides du Wabasse en 1848 (Paquin 2014 ; Coursol 1992).

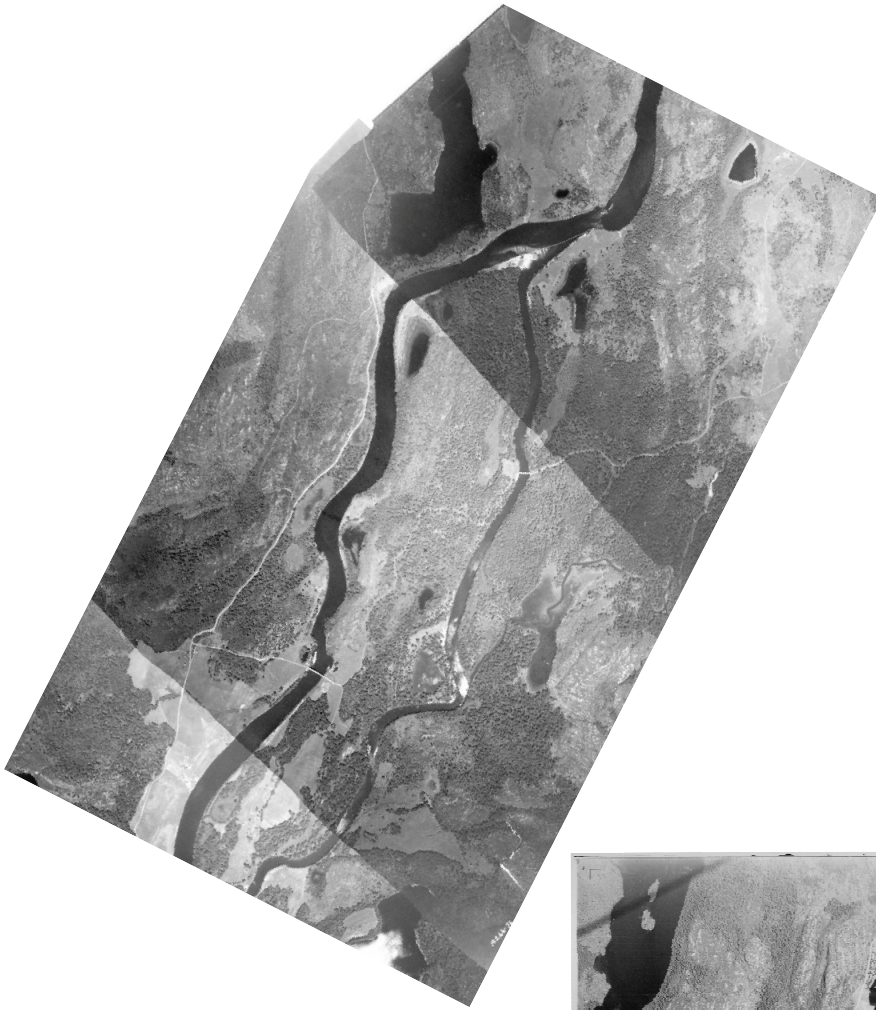


Figure 15 De haut en bas : secteur de l'Île Longue avant et après la mise en eau du barrage des Cèdres, 1928- 1930 (Ressources naturelle Canada (1928) A266 (75-77) et (1930) A2378 (98) [photographie aérienne numérique]. 1 : 12000, noir & blanc, Photothèque nationale de l'air, Ottawa)

3. MÉTHODOLOGIE

L'inventaire archéologique réalisé en 2021 a été mené conformément à la méthodologie d'usage pour les contextes paléohistoriques. Des puits de sondage (50 cm x 50 cm) ont été effectués à intervalle régulier, en tenant compte des contraintes posées par l'environnement physique et, le cas échéant, des interventions des années antérieures. Chaque sondage a été localisé à l'aide d'un GPS et fouillé à la pelle ou à la truelle, dépendamment de la stratigraphie et des contextes observés. Les unités de sondage ont été fouillées par couches naturelles subdivisées au besoin en niveau arbitraire de 10 cm. Toute la terre a été tamisée dans des tamis dotés de mailles de ¼ de po. Le sondage était complété lorsque le fouilleur rencontrait un sol considéré comme stérile, par exemple un sable de paléoplage. Des tamis de 1/8 po. ont été utilisés au besoin, pour vérifier la présence de micro-débitage et/ou de petits restes fauniques/végétaux. La localisation horizontale et verticale des artefacts diagnostiques a été effectuée *in situ* alors que les artefacts non diagnostiques ont été collectivement recueillis par niveau. Les possibles structures découvertes ont fait l'objet d'un relevé systématique et des échantillons de charbon ont été collectés pour fins d'analyse en laboratoire, si nécessaire.

Tous les enregistrements archéologiques (fiches de sondages, photographies, stratigraphies, plans, arpentage) réalisés au cours de l'intervention sont inclus dans le dossier technique. Les artefacts et écofacts ont été recueillis et traités en laboratoire, inventoriés et catalogués.

En vertu des accords conclus avec le MCCQ, Les Gardiens du Patrimoine Archéologique des Hautes-Laurentides sont les dépositaires de la collection archéologique. L'inventaire archéologique a été réalisé dans le cadre du permis de recherche archéologique 21-PATG-01.

4. PRÉSENTATION DES RÉSULTATS

Au Grand lac Nominique, près de l'embouchure du ruisseau Jourdain et à l'entrée de la rivière Nominique, la fouille et l'inventaire archéologiques réalisés ont permis la mise au jour de nombreux vestiges matériels sur le site CcFr-1 et de poursuivre la documentation du site CcFr-5. Pour sa part, l'inventaire réalisé cette année sur la rivière du Lièvre a permis d'identifier trois nouveaux sites archéologiques (CbFv-1, CbFv-2 et CbFv-3) (tableau 2).

Tableau 2 Synthèse des résultats de l'intervention archéologique de 2021

Site	Localisation	Point de référence UTM	Sondages/puits total	Sondages/puits positifs	Sondages/puits négatifs
Ruisseau Jourdain CcFr-1	Grand lac Nominique	(J46) 18 T 502980 5146233	7/8	7/7	0/0
Rivière Nominique CcFr-5	Grand lac Nominique	(BC57) 18 T 503912 5144684	27	11	16
Lièvre CbFv-1	Rivière du Lièvre	(LD13) 18 T 457224 5128127	27	3	24
Ruisseau du Cerf CbFv-2	Rivière du Lièvre	(RC7) 18 T 456323 5126382	41	3	38
Île Longue CbFv-3	Rivière du Lièvre	(IL42) 18 T 454875 5125682	50	4	46

4.1 Interventions archéologiques au Grand lac Nomingue

Les interventions archéologiques menées au Grand lac Nomingue visaient à fouiller la zone touchée en 2020 par des travaux d'essouchage effectués sur le site CcFr-1 et où une intervention de sauvetage avait permis de récupérer un important assemblage archéologique (Taché et Lamothe 2021). Parallèlement, un inventaire complémentaire a été réalisé sur une propriété privée (site CcFr-5) située à proximité de la rivière Nomingue (figure 16).

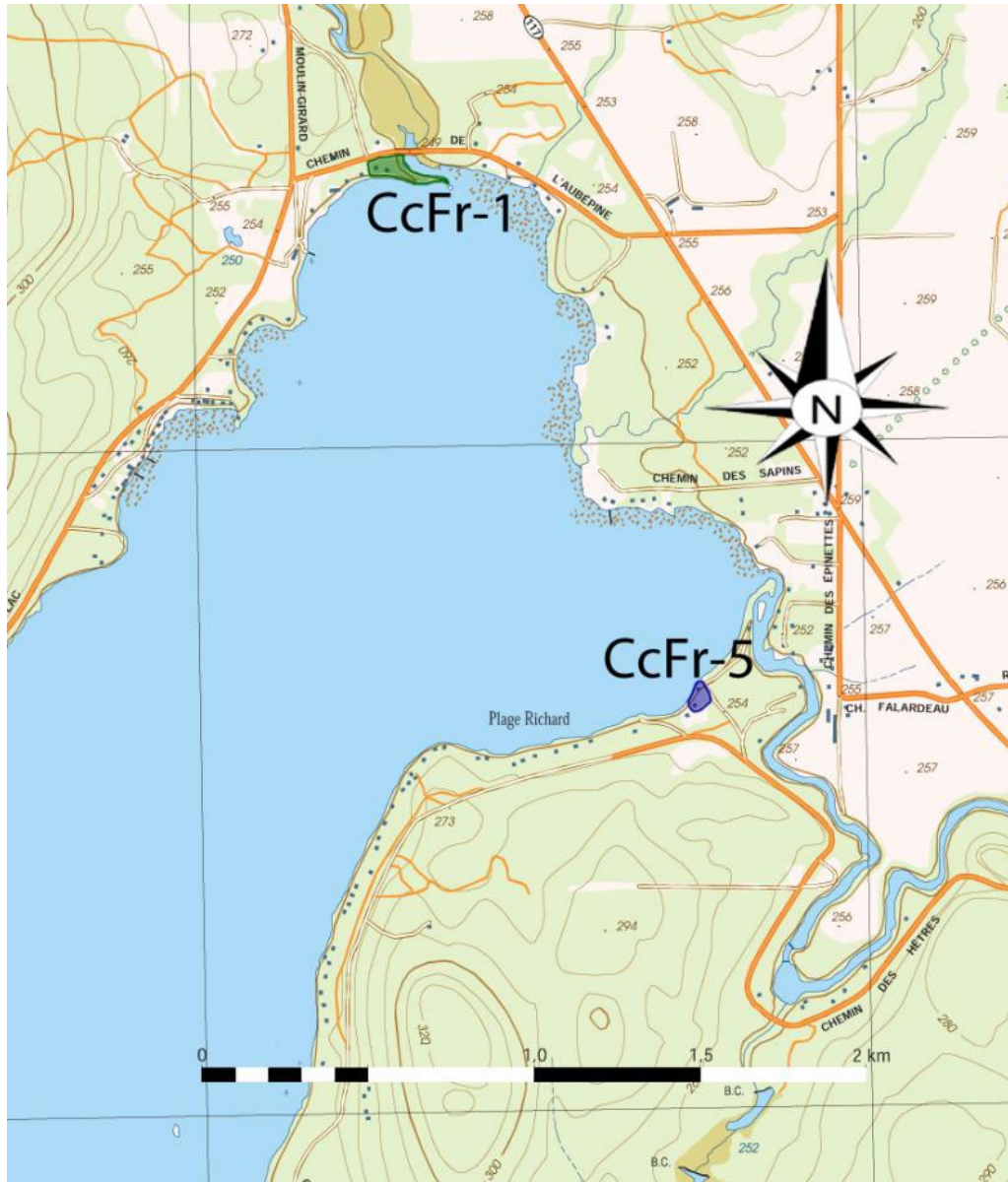


Figure 16 Localisation des sites archéologiques du Grand lac Nomingue investigués en 2021

4.1.1 Fouilles archéologiques et inventaire complémentaire à l'embouchure du ruisseau Jourdain (site CcFr-1)

Les interventions archéologiques sur le site CcFr-1 qui se sont succédées depuis 2016 ont permis d'établir la valeur exceptionnelle du site pour la compréhension de l'occupation autochtone du territoire. C'est la découverte fortuite dans les années 1950 d'exceptionnels outils taillés et polis lors de la construction de la maison du Dr Jacques Cartier qui avait justifié en 2016 de cibler le côté ouest de l'embouchure du ruisseau Jourdain comme zone d'inventaire prioritaire. De 2016 à 2019, les fouilles ont révélé la prévalence d'importants contextes archéologiques en place et permis la mise au jour de riches assemblages d'éclats, d'outils lithiques et de tessons de céramique associés à au moins 16 unités de vase (Taché et Lamothe 2017, 2018, 2019, 2020). Les unités de vase identifiées jusqu'à maintenant correspondent à des typo-chronologies couvrant les périodes s'étalant du Sylvicole moyen ancien au Sylvicole supérieur. En 2020, ce sont des travaux d'extraction de deux souches à proximité d'aires fouillées au cours des années précédentes qui avaient justifié la mise en place d'une intervention de sauvetage. Cette courte intervention avait permis de constater que l'emplacement des souches contenait un très riche tissu archéologique en place et qu'une intervention devait être programmée afin de poursuivre les recherches à cet endroit (Taché et Lamothe 2021).

L'intervention archéologique réalisée du 12 au 20 juillet 2021 se distinguait de celles des années précédentes à plusieurs égards. En premier lieu, la zone d'intervention circonscrite correspondait à une portion ciblée pour la richesse de ses contextes résiduels potentiels, alors que l'organisation des interventions antérieures était plutôt dictée par des impératifs de travaux d'aménagements à venir. Ensuite, quatre étudiants de l'Université Laval, un de l'Université de Montréal ainsi que trois membres de la Première Nation Kitigan Zibi Anishinabeg se sont joints à l'équipe habituelle de professionnels et de bénévoles locaux (photo 1). Grâce à cet apport de sang neuf, une intervention de grande envergure a pu être organisée. Parallèlement, étant donné les nombreuses découvertes fortuites réalisées par M. Robert Bélanger sur la plage de sa propriété, un inventaire complémentaire de celle-ci a été effectué (plan 2).



Photo 1 CcFr-1, première réunion d'équipe (photographie Sylvie Constantin)

HAUTES-LAURENTIDES
 LAC NOMINGUE
 SECTEUR DU RUISSEAU JOURDAIN, CcFr-1
 FOUILLE ET INVENTAIRE ARCHÉOLOGIQUES

PLAN DU SITE CcFr-1

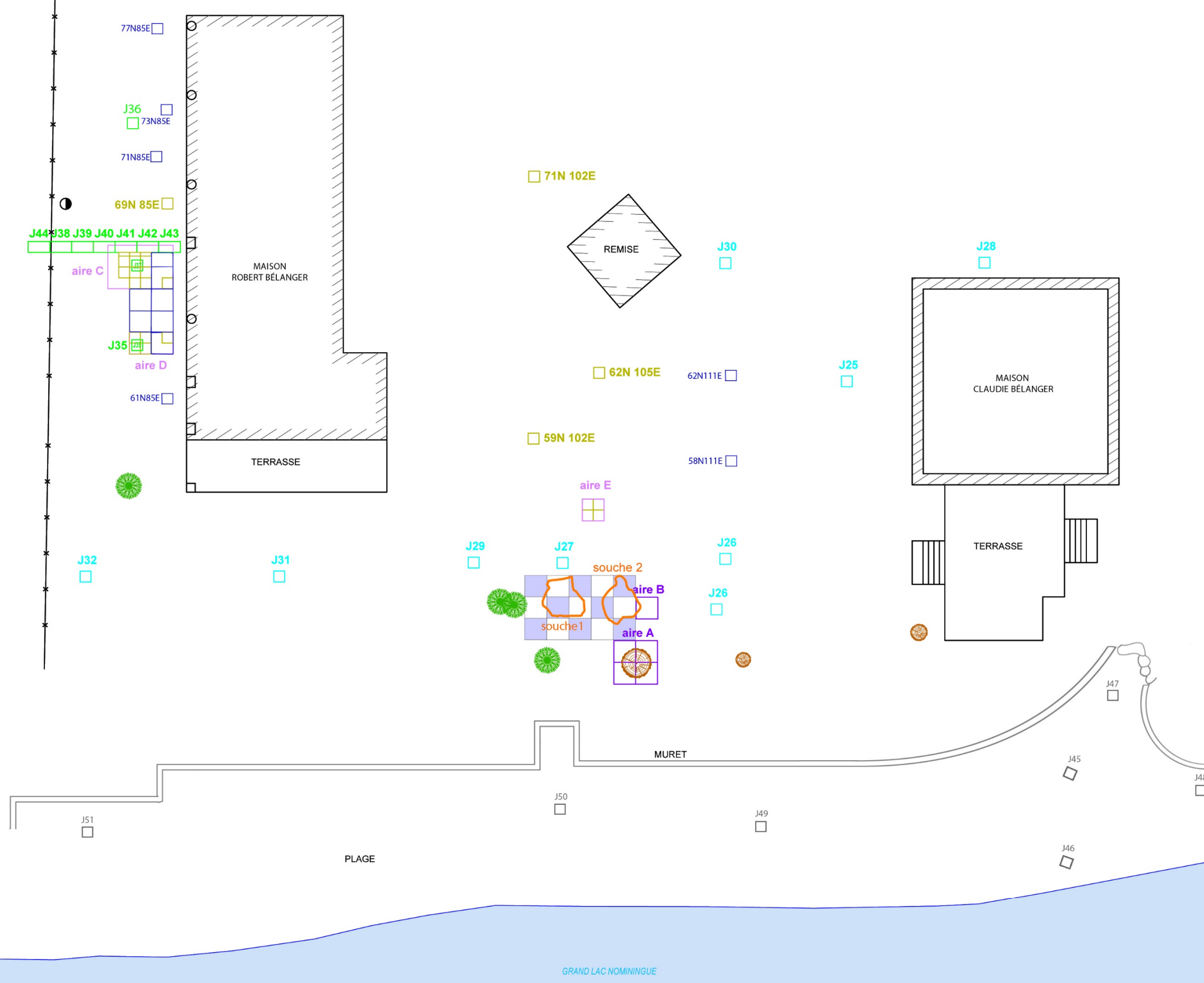
PLAN 2

- AIRE DE FOUILLE 2021
- J49 SONDAGES 2021
- SOUCHE 1 SAUVETAGE 2020
- 71N85E SONDAGES 2019
- 59N102E SONDAGES 2018
- J36 SONDAGES 2017
- PUIXS 2017
- J26 SONDAGES 2016
- ARBRE
- SOUCHE
- POTEAU ÉLECTRIQUE
- CLÔTURE

0 2 4 m
 ÉCHELLE : 1/200



Francis Lamothe
 ethnoscop



Fouille archéologique sur le site CcFr-1

La stratégie d'intervention a consisté à effectuer une fouille en damier sur l'ensemble de l'aire entamée superficiellement lors de l'extraction des souches en 2020. À cet effet, 8 puits de 1 m² ont été implantés et fait l'objet d'une fouille complète (photo 2 et figure 17). On remarque d'ailleurs que l'espace investigué vient s'appuyer sur quelques puits ayant fait l'objet d'une fouille en 2017. Tout juste au nord, le sondage J27 fouillé lors de l'intervention de 2016 ayant été positionné au GPS, sa localisation demeure approximative. L'avantage notable de la fouille en damier était de pouvoir ensuite réaliser des coupes stratigraphiques complètes dans tous les axes de l'aire. Cette stratégie allait donc permettre d'enregistrer en détails tout élément significatif dans l'éventualité où des aménagements et des anomalies anthropiques d'intérêt seraient rencontrés.



Photo 2 Fouille des sondages en damier lors de l'intervention archéologique de 2021 (photographie Sylvie Constantin)

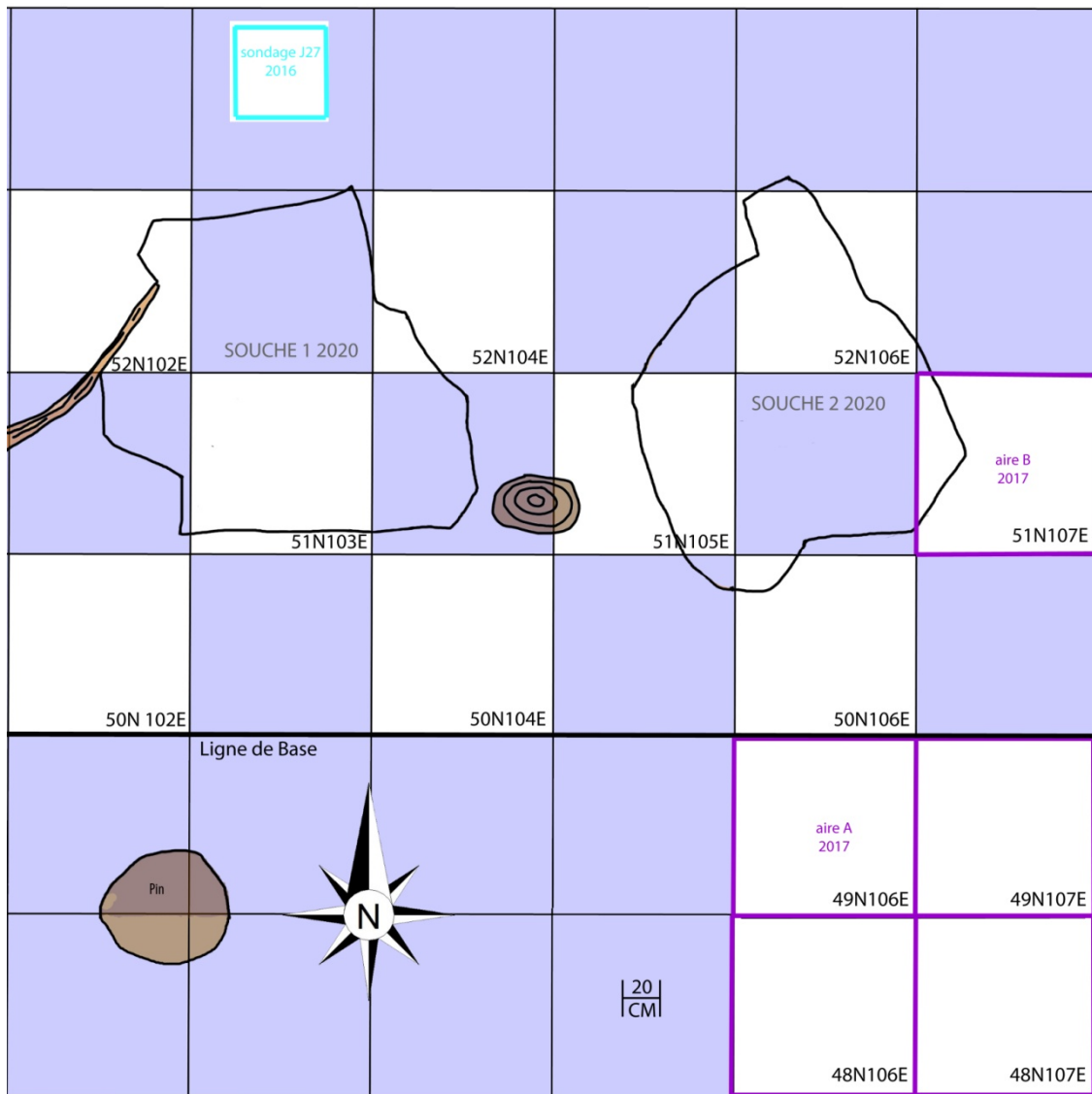


Figure 17 Disposition des puits de fouilles lors de l'intervention archéologique de 2021

En général, les puits étaient fouillés sur une profondeur d'environ 0,35 m, sauf dans le cas des puits 50N104E, 51N103E et 52N104E où les profondeurs atteintes sous le niveau de surface avoisinaient environ 0,75 m.

La fouille réalisée a permis la mise au jour d'un assemblage archéologique important constitué de 8 273 os blanchis, 782 tessons de céramiques, 48 outils lithiques et 767 éclats en matériaux divers (tableau 3). L'analyse et l'identification des assemblages céramique et lithique sont présentés en annexe A et B.

De plus, la fouille en damier a permis de documenter la présence d'aires de combustion, bien que la difficulté à les circonscrire rendait impossible d'établir un dénombrement précis (voir figure 21). Cela dit, il faut souligner que l'extraction des souches en 2020 a eu pour effet d'entamer en partie les sols d'occupations anciennes, ce qui a nécessairement pour effet de fausser partiellement les tableaux de distribution des artefacts.

Tableau 3 CcFr-1 2021, synthèse des artefacts et écofacts mis au jour

Puits	Os	Tessons céramique	Outils lithiques	Éclats
50N102E	1925	245	5	232
50N104E	858	49	4	99
50N106E	79	45	6	28
51N103E	4527	183	5	162
51N105E	51	43	2	32
52N102E	792	127	14	168
52N104E	25	34	8	32
52N106E	16	51	2	14
Hors contexte	0	5	1	0
Totaux	8273	782	48	767

Puits 50N104E et 51N103E

Dans le cas des puits 50N104E et 51N103E, les anomalies circonscrites appartenaient manifestement au même ensemble. Les fouilles ont permis de dégager les contours de sols perturbés qui semblent correspondre à un phénomène de chablis, soit la chute et le déracinement ancien d'un ou plusieurs arbres (photo 3 et figure 18). Cette interprétation s'appuie sur l'observation générale que le matériel archéologique se trouvait distribué plus ou moins



Photo 3 Perturbation en cours de fouille dans le puits 50N104E, vue vers le nord (modification de CcFr1-2021_NUM1-075)

aléatoirement à l'intérieur de la matrice des sols fouillés notamment les tessons de céramique associés à l'unité de vase 11 retrouvés dans de multiples niveaux (voir annexe A). Cette longue perturbation, d'axe nord-sud ne semblait pas se poursuivre plus au sud selon les données recueillies lors de la fouille du puits 50N104E mais elle doit s'étendre un peu vers le nord. Sa largeur maximale est d'environ 0,75m, et atteint une profondeur maximale de 0,60m. Pour les deux puits, des concentrations d'artefacts se trouvaient localisés à l'intérieur même des perturbations et en périphérie. C'est par ailleurs ces deux puits qui contenaient les plus importantes quantités d'os blanchis au total (51N103E N=4527, 50N104E N=858), ce qui indique la présence d'une ou plusieurs aires de combustion déstructurées par le phénomène de chablis. De nombreuses pierres rougies fracturées, des zones de rubéfaction, des concentrations cendreuseuses ou charbonneuses documentées tout au long de la fouille viennent corroborer cette hypothèse.

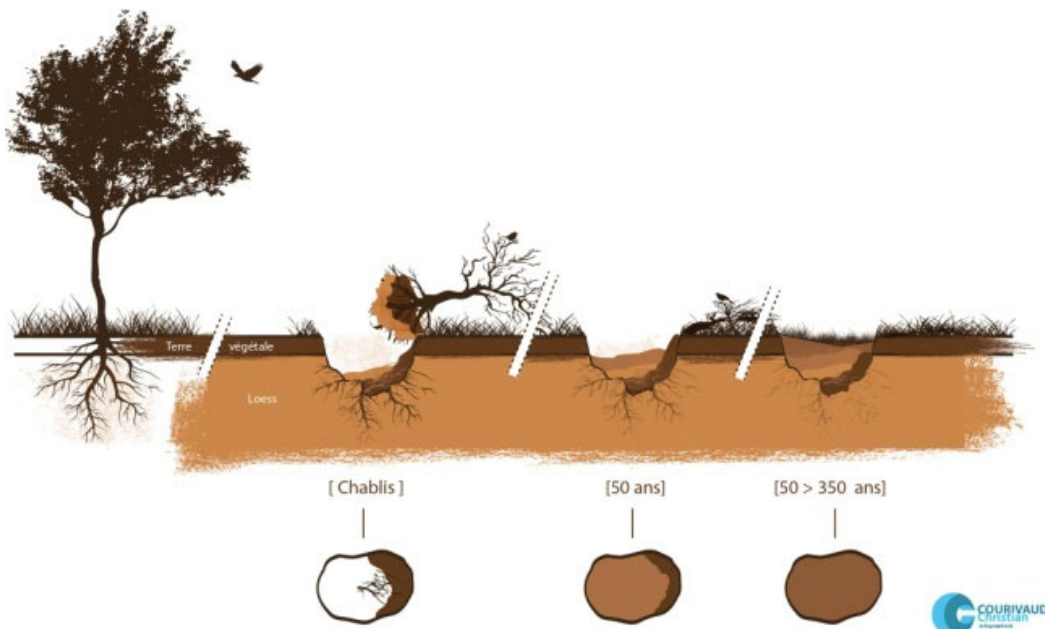


Figure 18 Effet d'un chablis sur les sols (Source : Antea archéologie)

Puits 52N104E

Le puits 52N104E présentait lui aussi une importante perturbation dans le quadrant nord-est, qui pourrait pour sa part être associée à une petite fosse de combustion, son aménagement paraissant différer notablement d'un phénomène de chablis (photo 4). D'un diamètre d'environ 0,40 m, le foyer pourrait se prolonger au nord et à l'est. C'est directement au-dessus de la concentration de pierres rouges se trouvant dans la fosse qu'ont été mis au jour une concentration de tessons de céramique dans une matrice saturée de charbon. Sept des neuf outils mis au jour dans le puits, tous des grattoirs, se trouvaient également directement associés à la fosse de combustion. Étonnement, à peine un peu plus d'une vingtaine d'os blanchis ont été récupérés éparpillés sur l'ensemble du puits.



Photo 4 Perturbation en cours de fouille dans le puits 52N104E, vue vers le nord (modification de CcFr1-2021_NUM1-094)

Puits 50N102E, 50N106E, 51N105E, 52N102E et 52N106E

Les cinq autres puits partageaient des caractéristiques assez semblables. La fouille de chacun d'eux, sur une profondeur moyenne de 0,35 m a permis d'observer des séquences de sols assez similaires et typiques du site CcFr-1 : surface-horizon humique-horizon naturel stérile. C'est à l'intérieur de l'horizon humique et à la transition entre cette couche et l'horizon naturel stérile que se trouvent la grande majorité des artefacts et écofacts de même que la plupart des anomalies observées (dépressions, concentrations de cendres et charbons de bois, traces de rubéfections, possibles aménagements de foyers).

Les puits 50N102E et 52N102E se distinguaient par l'abondance des témoins matériels recueillis et les nombreux os blanchis récupérés indiquent la présence possible de foyers. Ceux-ci ont pu être destructurés par différents phénomènes taphonomiques, notamment la présence d'arbres dont les racines envahissaient une bonne partie des puits fouillés (photo 5).



Photo 5 Puits 52N102E en cours de fouille, vue vers le sud (photographie Sylvie Constantin)

Dans ces puits, la distribution des artefacts indiquent que des sols assez riches archéologiquement se poursuivent à l'ouest et au nord. C'est dans le puits 52N102E qu'un fragment de graphite d'aspect polygonal a été mis au jour (planche 1). Celui-ci semble avoir été frotté sur plusieurs faces. Les hypothèses quant à son utilisation demeurent spéculatives mais on peut évoquer, en guise d'exemple, le dessin ou l'ornementation sur des objets ou pour les parures de corps. La découverte de ce fragment de graphite est particulièrement intéressante parce qu'elle s'additionne à des découvertes similaires sur d'autres sites de la région, soit sur le site CcFr-6, à proximité, et sur le site CbFv-1, sur la rivière du Lièvre. Ces occurrences de graphite laissent penser que des sources de ce minerai étaient accessibles pour les populations paléo-autochtones des Hautes-Laurentides.

Les trois puits les plus à l'est se sont avérés les plus pauvres. Leur fouille a notamment permis de noter une baisse quantitative des artefacts dans les directions nord et est. Cela dit, la présence de dépressions, d'étalements de pierres rougies et de zones de rubéfiations suggère néanmoins que des aires de foyers ont pu être aménagés à ces endroits, même si leurs traces tangibles demeurent discrètes (photo 6).



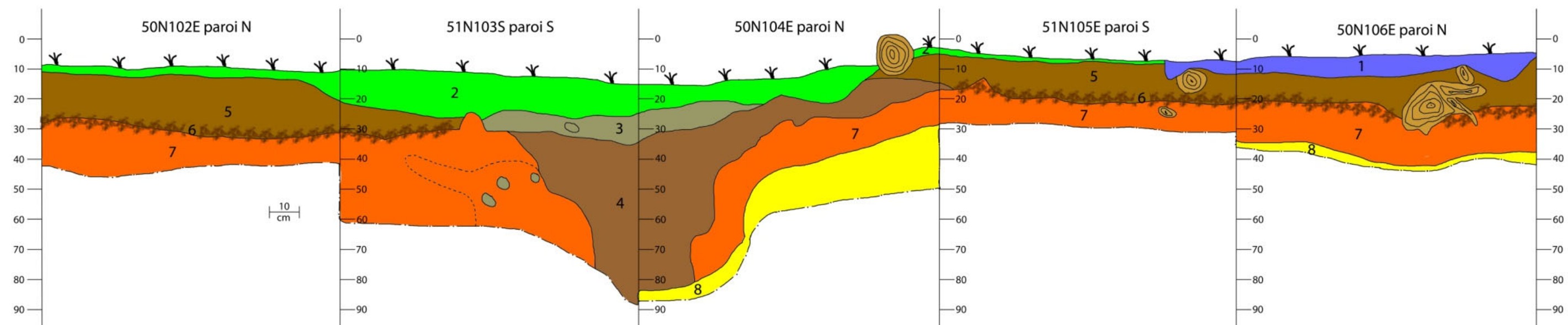
Photo 6 Puits 51N105E en cours de fouille avec quelques pierres rougies fracturées, vue vers l'ouest (modification de CcFr1-2021_NUM1-093)

Synthèse stratigraphique

Afin d'uniformiser l'ensemble des relevés où les fouilleurs ont noté de multiples variations qui appartiennent essentiellement à des épiphénomènes, une synthèse stratigraphique a été réalisée (figures 19 et 20). Les tableaux 4 et 5 permettent pour leur part d'indiquer la corrélation entre les couches archéologiques relevées et les niveaux archéologiques établis par les fouilleurs. Prise dans son ensemble, la stratigraphie présentait sensiblement les mêmes particularités d'un puits à l'autre, mis à part la profonde perturbation observée dans les puits 50N104E et 51N103E et associée à un chablis. C'est dans l'horizon humique et au sommet de la couche subséquente qu'a été mis au jour l'essentiel des témoins archéologiques et des aménagements de combustion (couches 3 et 5). Dans les puits 51N103E et 50N104E, la profonde dépression contenait également des concentrations d'artefacts et notamment de nombreuses pierres rougies fracturées et des os blanchis. Des témoins matériels ont pu être mis au jour également au sommet du sol naturel stérile (horizon Bf) mais en bien moins grande quantité que dans le niveau humique supérieur ou dans la fosse.

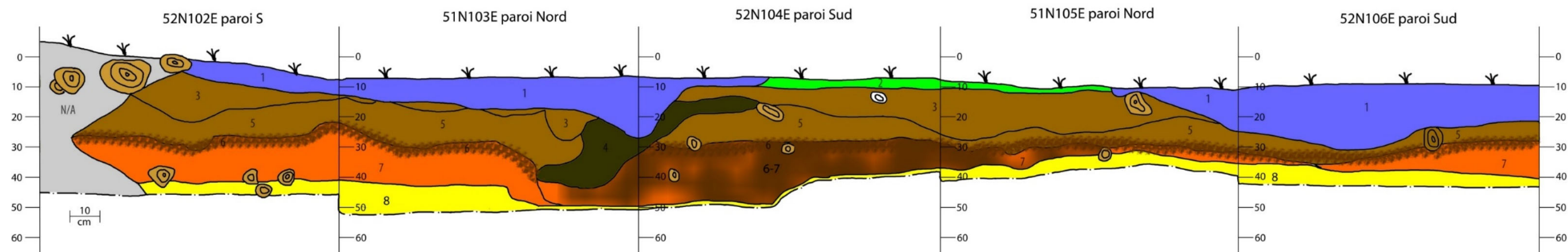
La poursuite des fouilles en 2022 permettra de compléter la couverture stratigraphique de l'aire investiguée et sans doute de préciser l'interprétation des couches archéologiques fouillées.

Figure 19 CcFr-1
 Grand lac Nominique, ruisseau Jourdain
 Puits 50N102E paroi N, 51N103E paroi S, 50N104E paroi N, 51N 105 E paroi S, 50N106E paroi N
 Coupe stratigraphique des parois 50N-51S



- 1- Remblai hétérogène brun-beige; travaux d'essouchage de 2020
- 2- Tourbe et limon brun; Aménagement de surface moderne
- 3- Sable fin gris-beige plutôt homogène et meuble contenant un fragment de pierre schisteuse : dépôt anthropique indéterminé potentiellement associé à la construction du muret de la plage et à la construction de l'escalier
- 4- Mélange hétérogène de limon sableux brun à noir avec des marbrures brun-orangé, meuble, contenant des racines et radicelles, des nodules de charbons de bois et quelques pierres rouges fracturées., des concentrations d'éclats lithiques et os blanchis principalement près de la base ainsi que plusieurs autres petites concentrations à différentes profondeurs; chablis
- 5- Succession progressive des sols bruns d'aménagement de surface et variations de sables bruns foncés organiques associés à l'horizon humique d'origine et contenant des proportions variables de nodules de charbon de bois, de pierres rouges fracturées, d'artefacts et d'écofacts
- 6- Sable beige orangé hétérogène imprégné de proportions variables de traces de rubéfaction, de nodules de charbon de bois épars, d'artefacts et d'écofacts; contamination et perturbations de l'horizon naturel stérile (Bf) par des traces de d'occupation anthropique et phénomènes taphonomiques indéterminés
- 7- Diverses variations de sable fin/limon argileux beige-orangé, homogène et moyennement compact; sol naturel stérile (horizon Bf).
- 8- Sable fin beige-jaunâtre avec marbrure orangées et brunes foncées, moyennement compact; horizon C

Figure 20 CcFr-1
 Grand lac Nominingue, ruisseau Jourdain
 Puits 52N102E paroi S, 51N103E paroi N, 50N104E paroi S, 51N 105E paroi N, 52N106E paroi S
 Coupe stratigraphique de la paroi 51N/52S



N/A- Portion non visible de la paroi

- 1- Remblai hétérogène brun-beige; travaux d'essouchage de 2020
- 2- Tourbe et limon brun; Aménagement de surface moderne
- 3- Variations de sable plus ou moins limoneux et organique allant du brun clair au brun foncé contenant des traces éparses de nodules de charbon de bois, d'artefacts et d'écofactes; couche incluant une partie des sols des aménagements de surface et transition vers l'horizon naturel humique (Ah). Transition à la base diffuse
- 4- Niveau inégal et diffus de sable limoneux brun noirâtre hétérogène, contenant une bonne proportion de charbon de bois et riche en artefacts; perturbation indéterminée de l'horizon humique (Ah)
- 5- Variations de sables limoneux organiques allant du brun au brun noirâtre avec traces de rubéfaction éparses contenant des proportions variables de nodules de charbon de bois, de pierres rouges fracturées, d'artefacts et d'écofactes; horizon naturel humique (Ah)
- 6- Sable beige orangé hétérogène imprégné de proportions variables de traces de rubéfaction, de nodules de charbon de bois épars, d'artefacts et d'écofactes; contamination et perturbations de l'horizon naturel stérile (Bf) par des traces de d'occupation anthropique et phénomènes taphonomiques indéterminés
- 7- Diverses variations de sable fin/limon argileux beige-orangé, homogène et moyennement compact; sol naturel stérile (horizon Bf).
- 8- Sable fin beige-jaunâtre avec marbrure orangées et brunes foncées, moyennement compact; horizon C

Tableau 4 CcFr-1, corrélations entre les couches stratigraphiques de la coupe 50N-51S-et les niveaux archéologiques fouillés

Couches de la stratigraphie synthèse de la paroi 50N-51S 102E à 106E	Niveaux associés par puits				
	50N102E paroi N	51N103E paroi S	50N104E paroi N	51N105E paroi S	50N106E paroi N
1 (remblai essouchage 2020)	<i>na</i>	1	<i>na</i>	<i>na</i>	<i>na</i>
2 (niveaux de surface)	1	1	1	1	1
3 (dépôt indéterminée sur la tranchée de combustion)	<i>na</i>	2	2	<i>na</i>	<i>na</i>
4 (chablis)	<i>na</i>	2 et 3	3	<i>na</i>	<i>na</i>
5 (horizon humique)	1, 2	2	1 et 2	1 et 2	1 et 2
6 (transition Ah-perturbations /sommet du Bf)	3	3	<i>na</i>	3	3
7 (horizon Bf)	4	3 et 4	4	4	4
8 (horizon C)	<i>na</i>	<i>na</i>	4	4	4

Tableau 5 CcFr-1, corrélations entre les couches stratigraphiques de la coupe 51N-52S-et les niveaux archéologiques fouillés

Couches de la stratigraphie synthèse de la paroi 51N-52S 102E à 106E	Niveaux associés par puits				
	52N102E paroi S	51N103E paroi N	52N104E paroi S	51N105E paroi N	52N106E paroi S
1 (remblai essouchage 2020)	1 et 2	1	1	1	1
2 (niveaux de surface)	<i>na</i>	<i>na</i>	1	1	<i>na</i>
3 (mélange sols modernes- sommet horizon humique)	1, 2 et 3	2	1 et 2	1 et 2	<i>na</i>
4 (perturbation horizon humique)	<i>na</i>	2 et 3	1 et 2	<i>na</i>	<i>na</i>
5 (horizon humique)	3	2	3	2 et 3	2
6 (transition Ah-perturbations /sommet du Bf)	3 et 5	3 et 4	3 et 4	3 et 4	3
7 (horizon Bf)	5	4	4	4	4
8 (horizon C)	<i>na</i>	<i>na</i>	<i>na</i>	4	<i>na</i>

Observations générales sur la culture matérielle et sur la distribution spatiale des artefacts

La quantité d'artefacts et d'écofacts mis au jour en 2021 s'est avérée importante (tableau 6) et une éventuelle analyse attentive des assemblages permettra de dresser un portrait détaillé de la dynamique de l'occupation du secteur. Ce travail pourrait être réalisé à moyen terme mais il paraît pour l'instant essentiel de compléter la fouille des puits situés à l'intérieur de l'aire ayant fait l'objet de l'intervention archéologique de 2021 afin de compléter des données encore parcellaires.

Les premiers décomptes sur les témoins matériels lithiques et céramiques permettent d'offrir quelques pistes de recherches et de réflexions qui pourront être vérifiées et approfondies au cours des saisons à venir.

Les figures 21 et 22 permettent pour leur part d'avoir un aperçu partiel de l'organisation du site, une perspective qui gagnera significativement en clarté lorsque la fouille de l'aire en damier sera complétée en 2022.

Pour s'en tenir aux grandes tendances, on remarque une forte concentration des artefacts en portion ouest de l'aire et le long de sa limite sud. À l'opposé, les quantités d'artefacts et écofacts diminuent à mesure que l'on progresse vers le nord et l'est. La tendance de la diminution de la densité vers le nord s'explique assez facilement par l'éloignement progressif de la rive du lac Nominique. La variation est-ouest serait quant à elle plus aléatoire et une fouille à aire ouverte de l'ensemble du site révélerait probablement une succession d'occupations disséminées tout le long du talus de la berge du lac. À première vue, il ne semble pas y avoir de corrélations perceptibles entre le nombre de foyers potentiels dans un puits et la quantité d'artefacts et d'écofacts mis au jour. Par exemple, 1 925 os blanchis ont été mis au jour dans le puits 50N102E, ce qui laisse présumer la présence d'un foyer, alors qu'à cet endroit, aucun aménagement ou traces suspectes associées à une aire de combustion n'ont été relevés. Tous les autres puits possèdent des éléments nets ou potentiels associés à l'aménagement d'un ou plusieurs foyers. Dans le cas du puits 52N106E, bien qu'à peine 16 os blanchis aient été mis au jour, les anomalies observées (rubéfaction, dépressions, présence de pierres rougies fracturées) pourraient correspondre à trois anciens foyers, bien qu'il soit impossible d'en avoir la certitude. L'observation principale qui se dégage de l'investigation des possibles aménagements de foyers, c'est que la succession des occupations humaines au fil des siècles a entraîné un important brassage des contextes archéologiques. La réutilisation d'anciens foyers ou leur démantèlement afin de procéder à l'aménagement d'une nouvelle aire de combustion font parti des multiples phénomènes taphonomiques à considérer pour expliquer l'enchevêtrement quasi inextricable de ceux-ci et le décalage perceptible entre la présence hypothétique d'un foyer et les concentrations d'os blanchis.

Tableau 6 CcFr-1 2021, synthèse des artefacts et écofacts mis au jour

Puits	Os	Tessons céramique	Outils lithiques	Éclats										Total éclats
				Chert Kichisipi et possible Kichisipi	Chert Onondaga	Cherts Calcaires indéterminés	Cherts silicieux bruns	Autres cherts particuliers	Cherts indéterminés	Quartzite	Quartz hyalin	Quartz	Roches diverses ind.	
50N102E	1925	245	5	30	53	3	13	0	63	19	7	35	9	232
50N104E	858	49	3	9	25	8	3	2	19	8	0	20	5	99
50N106E	79	45	6	14	2	4	0	1	1	3	1	2	0	28
51N103E	4527	183	6	17	30	5	8	1	31	22	2	42	4	162
51N105E	51	43	2	4	8	2	2	0	2	1	1	12	0	32
52N102E	792	127	14	25	26	2	1	0	25	27	0	61	1	168
52N104E	25	34	9	7	9	1	0	0	3	2	0	10	0	32
52N106E	16	51	2	3	1	1	0	0	1	2	0	6	0	14
Hors contexte	0	5	1	0	0	0	0	0	0	0	0	0	0	0
Totaux	8273	782	48	109	154	26	27	4	145	84	11	188	19	767



Figure 21 Organisation générale des principaux aménagements et distribution spatiale des artefacts

<p>UV10 UV11 UV21</p> <p>Total tessons= 127</p> <p>52N102E</p>		<p>UV11 UV17</p> <p>Total tessons= 34</p> <p>52N104E</p>		<p>UV9</p> <p>Total tessons = 51</p> <p>52N106E</p>	
	<p>51N103E</p> <p>UV10 UV18 UV11 UV21 UV17 UV22</p> <p>Rebuts de pâte Total tessons= 183</p>		<p>51N105E</p> <p>Total tessons = 43</p>		<p>UV6 UV8 UV9 UV10</p> <p>Total tessons = 59</p> <p>51N107E (2017)</p>
<p>UV17 UV19 UV22</p> <p>Rebuts de pâte Total tessons= 245</p> <p>50N 102E</p>		<p>UV11 UV20</p> <p>Total tessons = 49</p> <p>50N104E</p>	<p>$\frac{20}{\text{CM}}$</p>	<p>UV9</p> <p>Total tessons = 45</p> <p>50N106E</p>	
				<p>UV7</p> <p>Total tessons = 18</p> <p>49N106E (2017)</p>	<p>UV7</p> <p>Total tessons = 15</p> <p>49N107E (2017)</p>
<p>Francis Lamothe</p>				<p>UV7</p> <p>Total tessons = 4</p> <p>48N106E (2017)</p>	<p>UV9</p> <p>Total tessons = 1</p> <p>48N107E (2017)</p>

Figure 22 Distribution spatiale des unités de vase identifiées et quantification des assemblages céramiques mis au jour

L'assemblage lithique

En ce qui concerne les 48 outils lithiques identifiés, on constate que les 31 grattoirs dominent largement l'assemblage (tableaux 7 et 8, planche 1). La plupart sont d'un diamètre inférieur à 20 mm alors que deux exemplaires de plus de 40 mm de diamètre peuvent être considérés de grande taille (.415 et .670). Les grattoirs sont majoritairement produits à partir de chert Onondaga et de chert Kichisipi. Le quartz, le quartz hyalin et une roche métamorphique sont faiblement représentés et indiquent l'emploi occasionnel de ces matériaux. La présence de deux percuteurs durs indique le travail de la transformation de la pierre, en complément des éclats lithiques mis au jour. Deux fragments de pointes de projectile pourraient pour leur part témoigner des activités de chasse et deux pièces esquillées ont pu servir à fendre du bois ou des os afin d'extraire la moelle de grands mammifères, du chevreuil ou de l'orignal, par exemple. On dénombre également 5 outils bifaciaux et 6 outils indéterminés. Malgré leur nombre restreint, l'ensemble des outils autres que les grattoirs offrent une variabilité supérieure quant aux matériaux employés : chert Kichisipi, chert Onondaga, cherts calcaires indéterminés, calcédoine, quartz, chert silicieux brun.

Au total, 767 éclats lithiques ont été mis au jour lors de l'intervention archéologique de 2021, ce qui s'avère un nombre relativement modeste au prorata du nombre d'outils mis au jour (ratio 16/1). On remarque en particulier que presque tous les matériaux identifiés pour les outils sont représentés dans l'assemblage d'éclats mais dans des proportions différentes. Alors que les outils montrent une nette dominance du chert Kichisipi et du chert Onondaga, les éclats eux sont dominés par le quartz (N=188), un matériau local, suivi du chert Onondaga (N=154), du chert Kichisipi (N=109) et du quartzite (N=84). Ces variations, combinées au nombre et à la taille des éclats, suggèrent que les outils de matériaux provenant de sources non-locales arrivaient déjà transformés. Les éclats issus de ces matériaux seraient alors le résultat d'un travail de retouche exécuté sur place ou du recyclage d'un outil. La quantité d'éclats de quartz, un matériau local, relativement élevée par rapport aux outils du même matériau (ratio 63/1), illustre pour sa part un travail de taille plus complet réalisé à partir de nodules bruts acquis sur place.

Pour ce qui est de la distribution spatiale des outils lithiques, la tendance la plus nette qui émerge concerne les 7 grattoirs qui, malgré la variabilité des matériaux qui les caractérisent (chert Kichisipi, chert Onondaga et quartz), se trouvent tous concentrés au même endroit et paraissent intimement liés au foyer du puits 52N104E. On remarque également une absence significative d'artefacts à l'extérieur de l'emprise du chablis du puits 50N104E, une particularité qui pourra être confirmée ou infirmée lors de la fouille des puits adjacents.

Tableau 7 CcFr-1 2021, synthèse des outils lithiques mis au jour

Puits/ sondage	Type outil lithique	Matériau							
		Chert Kichisipi et possible Kichisipi	Chert Onondaga	Chert silicieux brun	Cherts indéterminés	Calcédoine	Quartz hyalin	Quartz	Roches diverses ind.
50N102E	Grattoir	1	3						
	Pièce esquillée							1	
50N104E	Grattoir	1	1					1	
50N106E	Grattoir	1	2						
	Outil ind.	1			1				
	Pointe				1				
51N103E	Grattoir		1				2		
	Outil ind.			1					
	Outil bifacial			1		1			
51N105E	Grattoir		1						
	Outil bifacial				1				
52N102E	Percuteur								1
	Grattoir	5	3		1				
	Outil bifacial	2							
	Outil ind.				1				
	Manuport graphite								1
52N104E	Grattoir	3	2				2	1	1
52N106E	Pointe								1
	Pièce esquillée				1				
Hors contexte	Percuteur								1
Totaux		14	13	2	6	1	4	3	5

Tableau 8 CcFr-1 2021, synthèse des outils lithiques mis au jour

Type outil lithique	Matière								Total
	Chert Kichisipi et possible Kichisipi	Chert Onondaga	Chert silicieux bruns	Cherts indéterminés	Calcédoine	Quartz hyalin	Quartz	Roches diverses ind.	
Grattoir	11	13		1		3	2	1	31
Manuport								1	1
Outil ind.	1		1	2		1			5
Outil bifacial	2		1	1	1				5
Percuteur								2	2
Pièce esquillée				1			1		2
Pointe				1				1	2
Total	14	13	2	6	1	4	3	5	48

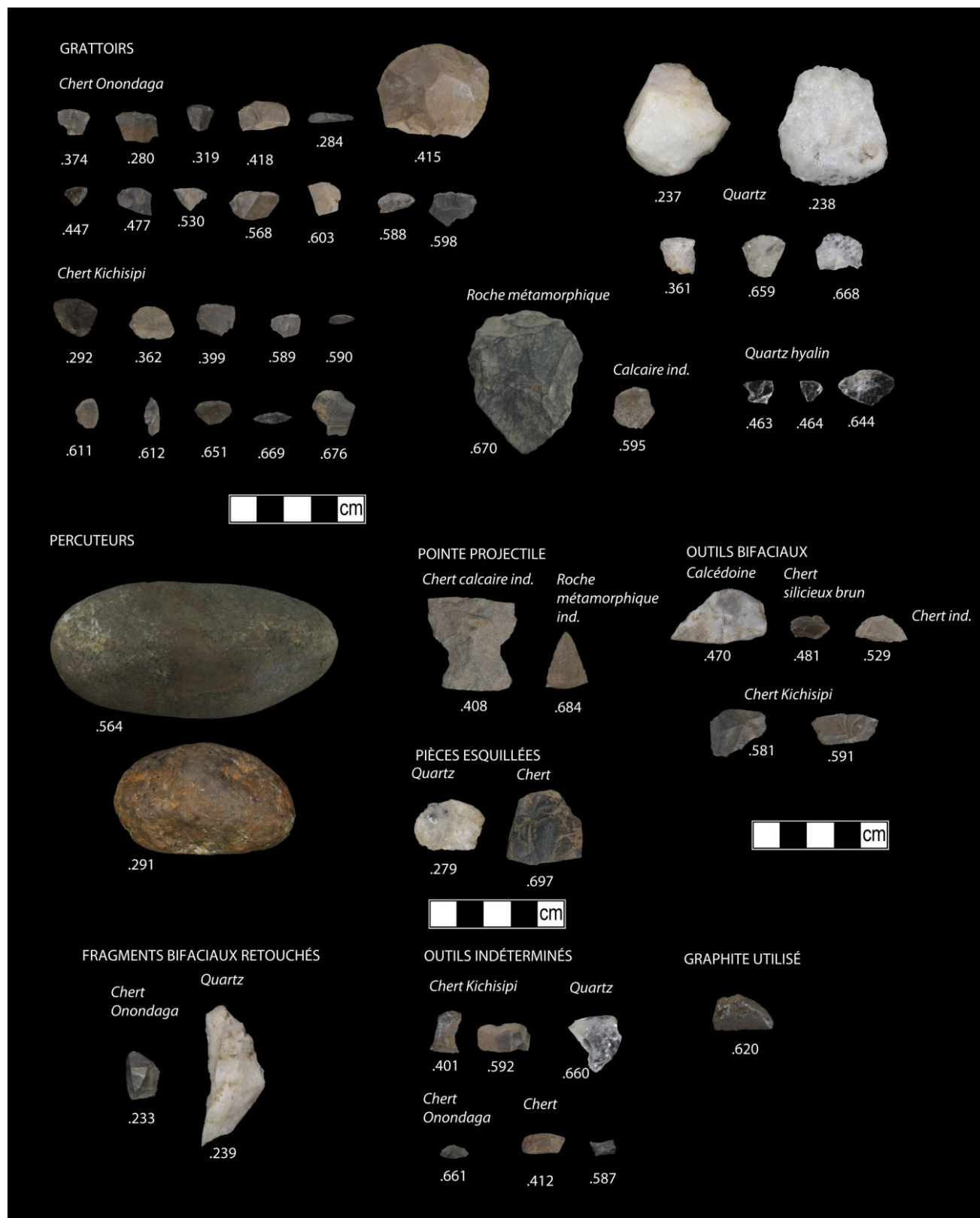


Planche 1 Outils lithiques mis au jour sur le site CcFr-1. Les outils .233, .237, .238, .239 proviennent du sondage de plage J47 (photographies Olivier Pilette, infographie Francis Lamothe).

L'assemblage céramique

Les tessons de céramique mis au jour ont permis d'identifier 6 nouvelles unités de vase (UV17 à UV22) en plus d'augmenter le nombre de tessons associés aux vases UV9, UV10 et UV11 (planche 2). Le spectre chronologique couvert par la typologie des vases s'étend potentiellement du Sylvicole moyen ancien (± 400 AEC à ± 500 AEC) au Sylvicole supérieur ancien (± 1000 AEC à ± 1200 AEC). L'assemblage céramique est présenté en détail en Annexe A.

Ce sont les puits les plus à l'ouest qui ont permis l'identification la plus variée d'unités de vase et celles-ci permettent de constater une large diversité chronologique s'étalant du Sylvicole moyen ancien jusqu'au Sylvicole supérieur. La distribution des tessons associés au vase 10 signale l'action d'un phénomène taphonomique indéterminé qui a causé l'étalement de fragments de poterie sur plusieurs mètres. Les fragments du vase UV11 ont également été dispersés sur une aire assez vaste, des tessons ayant été mis au jour en 2018 dans l'aire E (puits 55N104E 56N104E) à trois mètres au nord. À l'est, les puits se distinguent par un nombre nettement plus restreint d'unités de vase identifiées, bien que le puits limitrophe 51N107E fouillé en 2017 ait permis d'identifier jusqu'à quatre unités de vase. On observe aussi dans la portion est de l'aire de fouille la présence d'un vase (UV9) qui appartient à la production typique du Sylvicole moyen ancien (voir figure 22).

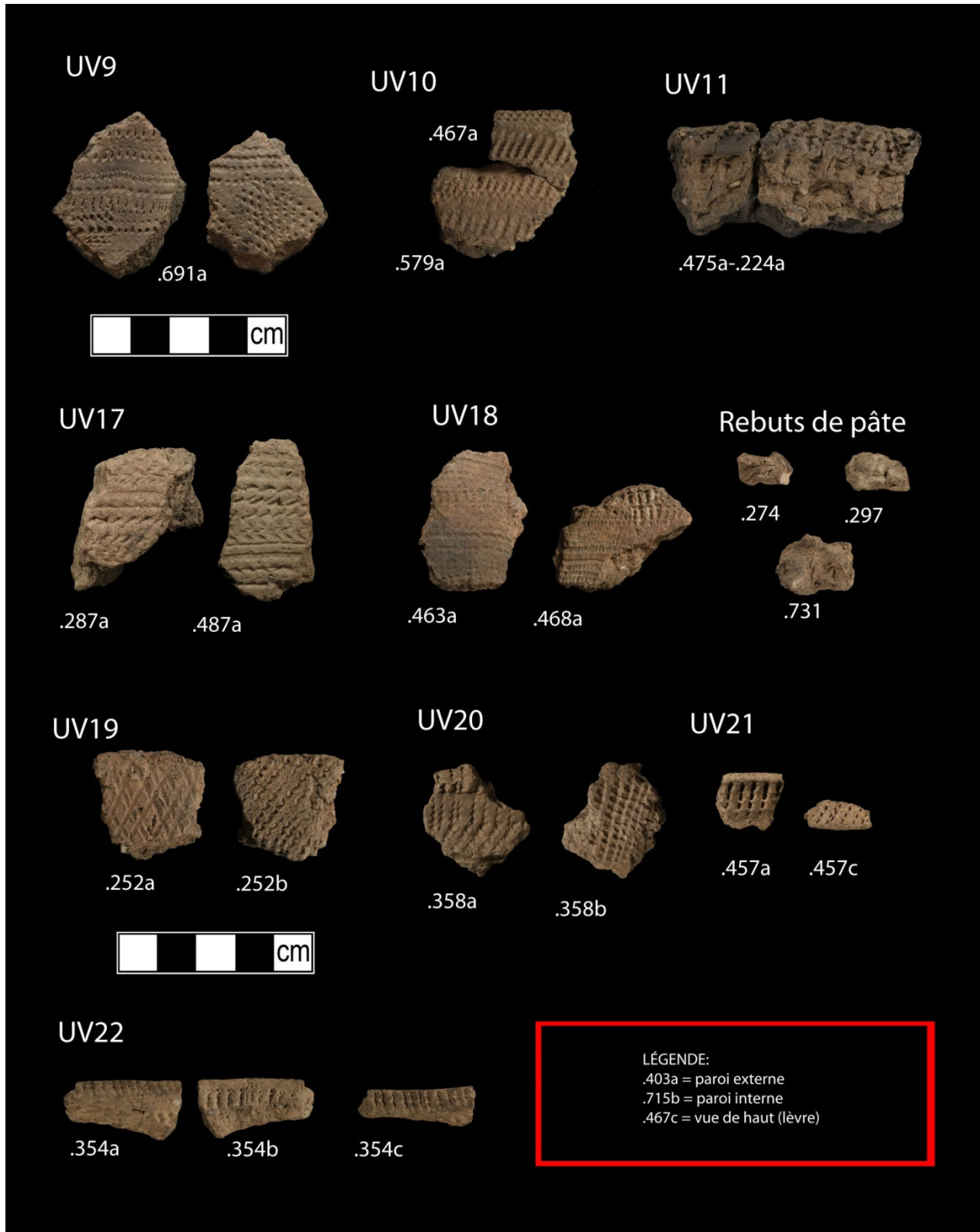


Planche 2 Sélections de tessons d'unités de vase mis au jour sur le site CcFr-1 (photographies Adrien Cesario, infographie Francis Lamothe).

Inventaire archéologique complémentaire sur la plage du site CcFr-1

Au cours des dernières années, M. Robert Bélanger, qui participe chaque année activement aux recherches effectuées sur sa propriété, a acquis une bonne expérience en archéologie. Depuis, il a récupéré sur sa plage et même directement dans le lac une impressionnante collection d'artefacts lithiques et céramiques (photos 7 et 8).¹⁴

Dans un premier temps, ces découvertes fortuites paraissaient correspondre au simple effet de l'érosion et de la dégradation des berges. Cependant, les quantités récupérées et l'intéressante variété des matériaux lithiques, qui ne trouvent actuellement pas complètement leur écho dans les contextes en place, ont motivé la décision de procéder à un inventaire de la plage. L'objectif consistait à vérifier la présence possible de contextes archéologiques préservés sous la couche de sable de surface.



Photo 8 M. Robert Bélanger donnant des indications sur les découvertes fortuites d'artefacts sur sa plage (photographie Sylvie Constantin)



Photo 7 Quelques outils lithiques récupérés par M. Robert Bélanger sur la plage longeant sa propriété (photographie Sylvie Constantin)

¹⁴ Les artefacts issus des découvertes de surface de M. Bélanger sont actuellement en cours d'analyse.

Sept sondages ont été réalisés sur la plage (J47 à J51), en fonction de la localisation des découvertes fortuites de M. Bélanger (plan 2 et figure 23). Tous ces sondages se sont avérés positifs et des contextes d'occupation autochtone paléohistorique ont pu être observés. Au total, 35 os blanchis, 22 éclats, 4 outils lithiques et 4 tessons de céramique ont été mis au jour (tableau 9).



Figure 23 Localisation des sondages, tous positifs, réalisés sur la plage du site CcFr-1.

Tableau 9 CcFr-1, synthèse des artefacts et écofacts lors de l'inventaire de la plage

Sondage	Ossements	Éclats	Outil	Céramique	Matières lithiques représentées
J45	1	5	na	na	4 quartz, 1 chert Onondaga
J46	13	9	na	1	2 quartz hyalin, 2 ignées, 2 beige-grisâtre, 1 chert Onondaga, 2 ind.
J47	14	1	4	na	1 fragment bifacial retouché en chert Onondaga et 1 en quartz, 2 grattoirs en quartz, éclat chert Onondaga
J48	na	2	na	1	1 quartzite Mistassini, 1 chert ind.
J49	6	2	na	na	1 quartz hyalin, 1 chert Onondaga
J50	1	3	na	1	2 chert gris, 1 quartz
J51	na	na	na	1	
Total	35	22	4	4	

C'est dans le sondage J47, le plus en retrait de la plage et situé devant la résidence de Mme Claudie Bélanger, que les éléments archéologiques les plus intéressants ont été observés (photo 9). Cette portion de la plage correspond par ailleurs à la zone où M. Bélanger a signalé avoir récolté une quantité appréciable d'artefacts en surface.



Photo 9 Localisation des sondages J45 à J48, vue vers le sud-est (modification de CcFr1-2021_NUM1-181)

À cet endroit, la fouille du sondage J47 a permis d'observer que tous les artefacts se trouvaient à la base de la première couche de sable gris et principalement dans la couche suivante, un sable d'aspect beige-orangé, dont la matrice se trouvait entre 20 et 30 cm de profondeur par rapport à la surface (photo 10 et figure 24). Dans cette couche, la présence de pierres rougies fracturées et d'os blanchis indiquait qu'un foyer a pu être aménagé directement sur ce qui semble être les sols de la plage avant les quelques modifications qu'elle a pu subir au cours du dernier siècle. On remarque également que la matrice contenait à la fois des traces d'occupation paléohistorique (éclats et outils lithiques) et 2 tessons de verre vert de type à bouteille de gin. Le foyer lui-même ne peut donc pas être associé hors de tout doute à l'occupation autochtone ancienne ou eurocanadienne subséquente remontant vraisemblablement au tournant du XX^e siècle. On remarque néanmoins l'absence d'objets intrusifs récents, ce qui suggère une relative ancienneté des artefacts historiques mis au jour qui auraient été déposés avant les aménagements plus modernes associés à la plage.



Photo 10 Stratigraphie du sondage J47, paroi sud (modification de CcFr1-2021_NUM1-178)

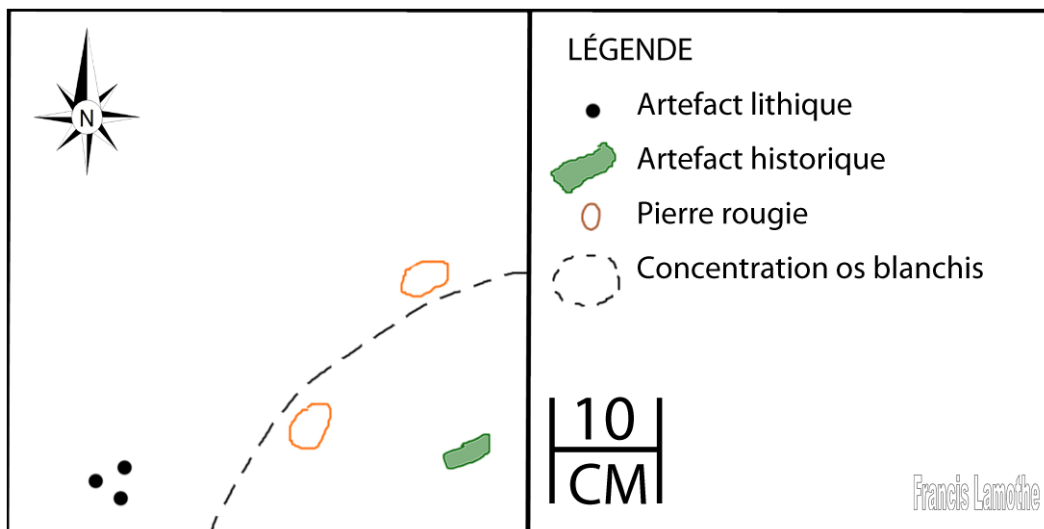


Figure 24 Plan du sondage J47, niveau 2 (20-30 cm sous la surface)

Malgré de légères variations, les autres sondages archéologiques réalisés sur la plage présentent des séquences stratigraphiques assez semblables. On remarque essentiellement que les artefacts mis au jour se trouvent soit près de la base de la couche de sable supérieure ou dans la couche suivante. Cette seconde couche pourrait correspondre à la portion résiduelle de la plage d'origine. Pour marquer cette distinction, le sondage J50 présentait à la base de la couche de plage de surface une mince couche intermédiaire argileuse qui contenait quelques débris de schiste vert associés à l'aménagement de l'escalier menant de la plage au terrain de la propriété de M. Robert Bélanger. Cet escalier semble avoir été aménagé, de même que le muret de la plage, aux environs des années 1970, quand le terrain de tennis de M. Cartier a été remplacé la résidence qui deviendra éventuellement la propriété de M. Bélanger. La figure 25 montre ce à quoi ressemblait l'ensemble du site CcFr-1 avant l'ajout de ces aménagements.



Figure 25 État de l'ancienne propriété de M. Jacques Cartier avant le remplacement du terrain de tennis par la résidence actuelle de M. Robert Bélanger et la construction du muret et de l'escalier (collection personnelle Robert Bélanger et Christine Guay).

Si on prend en considération l'ensemble de la collection lithique rassemblée lors de l'inventaire, on remarque que les matériaux s'avèrent en continuité avec les assemblages des années précédentes (quartz, quartzite, quartz hyalin, chert Onondaga). Cela dit, il semble que quelques matériaux lithiques apparemment plus exotiques récoltés en surface de la plage par M. Bélanger, et pour lesquels le travail d'identification est actuellement en cours, n'y figurent pas. À ce sujet, il est particulièrement difficile de suggérer des hypothèses entièrement satisfaisantes pour expliquer cette différence. De nombreuses variables peuvent être mises en cause et doivent être considérées. En premier lieu, on peut évoquer la conjonction de deux phénomènes qui se trouveraient entremêlés, soit l'érosion du talus qui aurait amené le dépôt d'artefacts sur la plage et les occupations anciennes sur la plage elle-même. Parallèlement, l'aménagement des murets, la construction de l'escalier et l'entretien régulier de la plage actuelle ont tous pu participer au fil des ans au brassage des contextes d'origine dans une proportion qu'il est impossible de mesurer. Cela dit, on retiendra que M. Bélanger a noté avoir ramassé des artefacts majoritairement le long du muret qui longe la plage. Cette constatation pourrait induire qu'une bonne proportion des artefacts de la plage proviendrait de l'érosion du talus avant qu'il ne soit muré. Mais il ne peut être exclu que des occupations anciennes auraient été volontairement positionnées directement sur la plage mais en retrait de celle-ci, bref pratiquement appuyée sur l'ancien talus. Parmi divers scénarios, on pourrait évoquer la présence occasionnelle de camps saisonniers directement sur la plage ou le déroulement d'activités spécifiques sur la plage parallèlement à l'occupation de la terrasse.

Pour ce qui est de la distribution verticales des artefacts, il semble assez clair qu'il subsiste des reliefs de la plage d'origine sur laquelle sont encore perceptibles des traces d'occupation paléohistorique mais qu'une bonne part des artefacts se sont néanmoins retrouvés dans la couche supérieure de la plage. M. Bélanger a d'ailleurs remarqué à quelques reprises que des artefacts semblaient « apparaître en surface » surtout après des épisodes de crues importantes, à des moments où le niveau du Grand lac Nomingue s'élève suffisamment pour que l'eau vienne atteindre son muret de pierre (Robert Bélanger, communication personnelle).

Le court inventaire réalisé en 2021 permet de constater qu'il reste plusieurs pistes à explorer avant de bien comprendre la dynamique de l'occupation de la plage et l'accumulation de dépôts archéologiques, et des fouilles éventuelles aideraient sans aucun doute à distinguer les phénomènes taphonomiques de ceux associés aux comportements anthropiques anciens.

4.1.2 Inventaire complémentaire à proximité de la rivière Nomingue (CcFr-5)

L'intervention archéologique réalisée en 2021 dans la région du Grand lac Nomingue a permis de poursuivre l'inventaire d'un des secteurs qui avaient été ciblés dans le cadre des activités de 2020. Rappelons que l'année dernière, plusieurs sondages positifs avaient illustré l'intérêt archéologique de la propriété du Dr. Raymond Cartier, située à une centaine de mètres de la décharge du Grand lac Nomingue qui se jette dans la rivière du même nom (Taché et Lamothe 2021). Le terrain est bordé par une belle plage sablonneuse qui s'appuie sur un talus d'une hauteur variable, au dénivelé relativement doux et progressif à son extrémité nord et plus escarpé au sud (photo 11). L'habitation construite sur la propriété en 1963 est située sur la terrasse au sud, à quelques mètres en retrait du sommet du talus qui surplombe le lac d'environ deux mètres (photo 12).



Photo 11 CcFr-5, vue panoramique de la plage et du talus menant à la terrasse de la propriété du Dr Raymond Cartier (photo Sylvie Constantin)



Photo 12 CcFr-5, terrasse devant le chalet, vue vers le sud à partir du sondage BC45 (CcFr5-2020_NUM1-042)

Lors d'entretiens avec M. Cartier, celui-ci a expliqué qu'un ancien chemin passait autrefois devant l'emplacement de son chalet, à l'époque où des terrains agricoles bordaient le Grand lac Nominique. Le terrain autour de son chalet aurait d'ailleurs vraisemblablement été labouré. M. Cartier a également souligné que le talus et la plage devant son chalet se sont partiellement érodés au fil des ans. Son fils aurait enfin trouvé une pointe de projectile sur la plage il y a de nombreuses années mais celle-ci a été perdue depuis.

Sur les 22 sondages effectués en 2020 (BC28 à BC49), 14 d'entre eux s'étaient révélés positifs permettant ainsi d'attribuer à la propriété le code Borden CcFr-5. Parmi les multiples découvertes réalisées, un cristal de quartz retouché (BC44), un tesson de bord décoré associé au Sylvicole moyen tardif (BC38), la présence de quartzite de Mistassini et de chert calcaire beige cireux et très fin (BC37), de même qu'une pierre à fusil française sur éclat et 630 os blanchis suggérant une zone de combustion en périphérie du sondage BC49 constituaient les éléments les plus intéressants (Taché et Lamothe 2021).

La stratégie d'intervention de 2021 a été déterminée en fonction de deux objectifs. Premièrement, il a été décidé de continuer à inventorier à proximité des sondages positifs de 2020 afin de confirmer ou infirmer l'intérêt de certaines zones du terrain. Deuxièmement, des zones non touchées par l'inventaire de 2020 ont été sondées afin de vérifier la dissémination de traces d'occupations anciennes ailleurs sur le terrain.

L'inventaire archéologique de 2021 est a été subdivisé en cinq zones (figure 26). La première zone correspond à la basse terrasse à l'est du hangar à bateau. Elle constitue la portion nord-est de la propriété de M. Cartier. La deuxième représente la terrasse supérieure et son extension sud, à l'est du chemin d'entrée. Elle a été ciblée en raison du sondage positif BC44 et parce que le propriétaire prévoit y construire un nouveau garage dans les prochaines années. La troisième zone couvre la basse terrasse entre les deux sentiers donnant accès à la plage. Elle a été ciblée puisqu'un seul sondage y avait été réalisé en 2020. La quatrième zone est représentée par la haute terrasse au nord du chalet. Probablement la plus intéressante du terrain, cette zone a été choisie afin de poursuivre l'inventaire autour des sondages positifs BC37, BC38 et BC49. Ceux-ci avaient livré en 2020 des assemblages diversifiés, notamment un tesson de céramique et plusieurs centaines d'os blanchis. La cinquième zone représente le petit champ gazonné au sud du chalet, en plus de l'aire située à l'avant du garage adjacent au chalet. Un seul éclat de quartz y avait été recouvert en 2020. La présence de cet artefact, en plus du fait que le propriétaire souhaite éventuellement déplacer son chalet dans cette zone, ont justifié d'y poursuivre l'inventaire afin de mieux cerner le potentiel archéologique de cette portion du terrain.

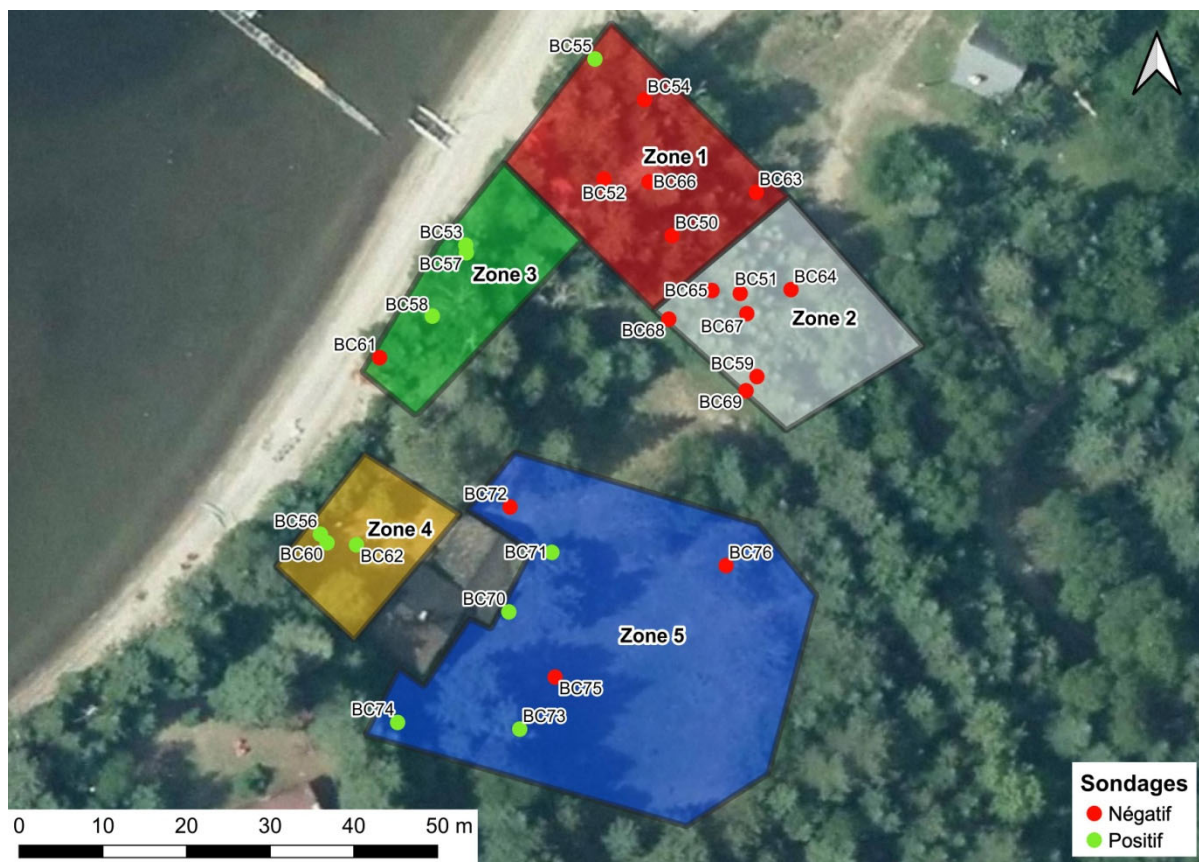


Figure 26 Localisation des sondages et limites du site CcFr-5. Les sondages positifs sont surlignés en blanc et rouge.

Résultats

L'inventaire réalisé du 21 au 23 juillet 2021 a permis d'effectuer 27 sondages (BC50 à BC76) dont 11 se sont avérés positifs. Quatre zones sur cinq ont livré des artefacts associés à une chronologie variée à l'intérieur des périodes paléohistorique et historique (tableau 10).

Tableau 10 CcFr-5, synthèse des artefacts et écofacts mis au jour

Zone	Sondage	Éclats/Nucléus	Outils	Détails des outils	Céramique	Os blanchis	Historique	Charbon
Basse terrasse : entre sentiers	BC53	3				205		
	BC57	27	1	Grattoir	3		1	1
	BC58	12					4	
Basse terrasse : NE hangar	BC55	2					13	
Haute terrasse : derrière maison	BC70					41	1	
	BC71	5						
	BC73	1						
	BC74	1				20	2	
Haute terrasse : devant maison	BC56	8	1	Grattoir		1		
	BC60	12*	3	Grattoir, fragment d'outil bifacial, pointe,		65		1
	BC62	2	1	Micro grattoir		47	1	3
Totaux		73	6		3	379	22	5
*Le décompte prend en considération un nucléus en quartz								

Il est à noter que la basse terrasse à l'est du hangar (zone 1) n'a livré que deux éclats (1 quartz, 1 chert gris) et du matériel historique récent retrouvés dans un sol visiblement contaminé par des déchets de la période historique contemporaine. M. Cartier a d'ailleurs expliqué qu'il y avait jadis près de cet endroit un accès « public » officieux à la plage, tout juste de l'autre côté de la limite nord-est de sa propriété. Les personnes fréquentant le lieu avaient la mauvaise habitude de jeter leurs ordures dans la forêt adjacente. Ceci pourrait expliquer la forte densité de rebus observée lors de l'inventaire de la zone.

Quant au talus et à la haute terrasse à l'est du chemin d'entrée (zone 2), autour du sondage BC44, les résultats sont peu concluants. Le sondage BC67 a livré un fragment de quartz qui pourrait ressembler à un nucléus (planche 3). Or, le fait que le terrain ait été labouré expliquerait que certains galets de quartz déposés pendant la déglaciation du territoire aient été fracturés par l'équipement aratoire. Le sondage est donc considéré négatif.

Sur la basse terrasse située entre les deux sentiers menant à la plage (zone 3), trois des quatre sondages effectués se sont avérés positifs. En tout, 42 éclats de pierre taillée, un grattoir sur éclat en quartz hyalin, 4 petits fragments de céramique dont un tesson décoré, 205 fragments d'os blanchis ainsi que quelques artefacts historiques récents ont été mis au

jour. Après analyse, les fragments de céramique se sont avérés trop petits pour être diagnostiques. Quant aux matières premières lithiques représentées dans les sondages, le tableau 11 illustre leur diversité : au moins sept matières différentes ont été observées.



Planche 3 Sélection d'artefacts du site CcFr-5 : fragments de grattoirs en quartz hyalin (.31, .35, .42 et .51); fragment d'outil bifacial en quartz hyalin (.41); fragment de pointe de projectile en chert à encoches en coin (.43); fragment de nucléus en quartz (.39) (photographies Olivier Pilette, infographie Francis Lamothe)

Tableau 11 CcFr-5, matières premières de la basse terrasse

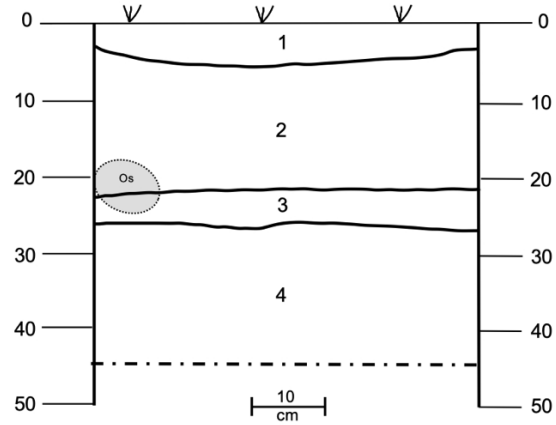
Sondages	Matières premières observées
BC53	Quartz, chert Onondaga, chert beige fossilifère (CH-040)
BC57	Quartz, quartz hyalin, chert gris d'origine calcaire
BC58	Quartz, calcédoine grise (CALC-002), chert gris ind., grès recristalisé? (GR-001)

La stratigraphie du sondage BC53 de la zone de la basse terrasse est intéressante parce qu'elle se caractérise par la présence de deux niveaux de sable gris séparés par un niveau humique enfoui (photo 13 et figure 27). Cette observation pédologique est aussi applicable aux sondages adjacents. La stratigraphie du sondage révèle que le niveau archéologique débuterait à l'interface entre les niveaux 2 (sable grossier gris et meuble, possiblement d'origine anthropique) et 3 (sable limoneux organique brun très foncé), soit à environ 20 cm de profondeur. C'est à cette profondeur qu'a été mise au jour une concentration d'os blanchis qui suggère une zone de combustion en périphérie du sondage. Le niveau 4 correspond à un sable moyennement grossier gris-beige et pourrait représenter la continuité de la plage vers le sud. Un gros éclat d'amincissement bifacial en chert beige très pâle (CH-0-40) a été retrouvé à l'interface entre les niveaux 3 et 4. Pour l'ensemble des sondages effectués, la fouille a été interrompue à la suite de plusieurs tamisages stériles. Toutefois, si d'autres sondages étaient à effectuer sur cette basse terrasse, il serait pertinent d'atteindre le niveau inférieur au sable de plage, soit un éventuel niveau 5.



Photo 13 Sondage BC53, stratigraphie de la paroi est (CcFr5-2021_NUM1-00016)

Figure 27 CcFr-5
 Grand lac Nominique, Baie Cartier
 Sondage BC53
 Coupe stratigraphique, paroi est



- 1- Litière contenant des racines et radicelles; aménagement de surface
- 2- Sable grossier gris meuble, homogène et meuble, contenant quelques inclusions de charbon; possiblement un remblai moderne de sable
- 3- Sable limoneux très organique brun très foncé, homogène et meuble, contenant quelques inclusions de charbon; horizon humique enfoui (horizon Ah)
- 4- Sable moyennement grossier gris beige, homogène et meuble; sable de plage enfoui

Du côté de la haute terrasse au nord du chalet (zone 4), les trois sondages effectués se sont avérés positifs. Au total, 21 éclats de pierre taillée, un nucléus en quartz, trois fragments de grattoir sur éclat, un fragment d'outil bifacial, un fragment proximal de pointe à encoches en coin, 112 fragments d'os blanchis ainsi qu'une douille de calibre .22 ont été mis au jour. À l'exception du fragment de pointe, tous les outils lithiques sont en quartz hyalin. En regroupant la variabilité des cherts grisâtres indéterminés (CH-000), au moins cinq matières différentes ont été observées (tableau 12) :

Tableau 12 CcFr-5, matières premières de la haute terrasse

Sondages	Matières premières observés
BC56	Quartz, quartz hyalin
BC60	Quartz, quartz hyalin, quartzite, chert ind. (CH-000), chert rouge (CH-008)
BC62	Quartz, quartz hyalin, chert ind. (CH-000)

En ce qui concerne la stratigraphie, les sols de la terrasse au nord du chalet peuvent généralement être subdivisés en trois niveaux (photos 14 et 15). Le niveau 1 correspond à une mince couche de tourbe gazonnée ou de mousse suivie d'un sable organique fin, brun et meuble. Le niveau 2 est caractérisé par un sable brun ou gris, parfois fin, parfois grossier, et tacheté de brun foncé et de gris. On y retrouve des inclusions de charbon possiblement d'origine anthropique, ce qui appuie l'hypothèse selon laquelle cette terrasse aurait déjà accueilli une zone de combustion (Taché et Lamothe, 2021). Il est intéressant de noter que l'épaisseur et la couleur des sols du niveau 2 varie entre les sondages. Ce niveau semble en effet s'amincir à mesure qu'on progresse du chalet vers le sommet du talus. De surcoût, on observe une délimitation nette entre les niveaux 2 et 3 du sondage BC62 tandis que la succession des couches du sondage BC56 suggère davantage un sol plus naturel, moins perturbé. À ce sujet, on peut se demander si le sol supérieur observé dans le sondage BC62 serait lié à un remblai de comblement effectué lors de la construction du chalet dans les années 1960. Puisqu'un chemin passait anciennement au nord du chalet, il est par ailleurs possible que ce niveau ait été compacté ou perturbé par la circulation de véhicules. Enfin, les artefacts et écofacts ont tous été mis au jour dans les niveaux 1 et 2, et ce dans tous les sondages effectués sur la terrasse. Dans tous les cas, la fouille s'est terminée après l'atteinte et la fouille des sols supérieurs du niveau 3, soit un sable grossier brun orangé moyennement compact (Bf).



Photos 14 et 15 Sondages BC56 et BC62, stratigraphie des parois nord et sud (CcFr5-2021_NUM1-00019 et 00053)

Des sept sondages effectués dans le champ au sud du chalet et devant le garage (zone 5, sondages BC70 à BC76), quatre se sont avérés positifs. Sept éclats de pierre taillée dont un gros éclat de réduction bifaciale en quartz, 61 fragments d'os blanchis et du matériel historique récent ont été découverts. Les seules matières premières lithiques représentées sont le quartz, le quartz hyalin et des petits fragments de cristal de quartz.

La stratigraphie caractéristique de la zone au sud du chalet est formée de trois niveaux. Le niveau 1 correspond vraisemblablement à un sol labouré. Il s'agit d'une mince tourbe gazonneuse suivie d'un sable fin limoneux, brun foncé et meuble. Son épaisseur varie entre les sondages ce qui pourrait être une cause du labourage ou de l'aménagement du champ d'épuration situé au sud du chalet. L'excavation nécessaire aurait pu avoir comme effet de modifier la composition des strates supérieures de sols sondés. Quant au niveau 2, il s'apparente à un sol éluvié (Ae). Il s'agit d'un sable fin grisâtre moyennement compact à meuble possédant quelques inclusions de charbon. Le niveau 3 correspond à un sable grossier brun orangé moyennement compact (Bf) et parfois induré. Il est à noter que la stratigraphie du sondage BC73 (photo 16) – celui le plus au sud du chalet – possède un niveau de sable grossier beige entre l'horizon Bf (4) et le restant d'horizon Ae (2), dans lequel a été mis au jour le gros éclat en quartz (.60). Son épaisseur varie entre les sondages.



Photo 16 Sondage BC73, stratigraphie de la paroi est (CcFr5-2021_NUM1-00066)

Interprétation

Quelques indices suggèrent une chronologie associée à une occupation datant de la fin de la période du Sylvicole moyen (400 AEC-500 EC) sur le site CcFr-5. En 2020, un tesson de bord décoré associé au Sylvicole moyen tardif avait été récolté sur la haute terrasse au nord du chalet (BC38) (Taché et Lamothe, 2021). Sans exclure que d'autres artefacts non diagnostiques pourraient très bien représenter des périodes chrono-culturelles différentes (ex. : les artefacts en quartz), cette interprétation est aujourd'hui renforcée par la découverte du fragment proximal d'une pointe de projectile à encoches en coin mise au jour dans le sondage BC60. La convexité de la base, les encoches en coin et les dimensions générales de l'artefact font en sorte qu'il est assez représentatif du type « *Jack's Reef Corner Notched* » qu'on associe à la période du Sylvicole moyen tardif ou au début du Sylvicole supérieur. Des pointes de ce types ont été découvertes à divers endroits du Québec, notamment à la station 4 et au site Hector-Trudel de la Pointe-du-Buisson, au Témiscouata, au site de la Falaise à Grandes-Bergeronnes ainsi qu'en Gaspésie (voir collections Archéo-Lab). Il est en outre pertinent de souligner que la matière première utilisée pour façonner la base de la pointe de projectile – un chert rouge très cristallisé et visuellement distinctif (CH-008) – ressemble fortement à celle d'éclats récoltés dans le sondage BC58 de même qu'à un chert rougeâtre découvert au site du ruisseau Jourdain (CcFr-1). Cette matière est très différente des cherts d'origine calcaire (ex. : cherts Kichisipi et Onondaga) régulièrement retrouvés dans la région de Nomingue.

Au site du ruisseau Jourdain (CcFr-1), des éclats du chert rouge CH-008 ont également été mis au jour dans divers niveaux des puits 50N-104E et 51N-103E. Sur la base de ces observations, il n'est pas à exclure que des occupants du site CcFr-5 se soient également établis au ruisseau Jourdain, contribuant ainsi à la longue occupation de cet endroit stratégique du Grand lac Nomingue, depuis l'Archaïque jusqu'à la fin du Sylvicole. Sans établir que les deux occupations soient dues à un seul et même groupe, on observe à tout le moins que les occupants des deux sites ont accès aux mêmes matières lithiques via leurs réseaux d'échanges. Il est par conséquent raisonnable de proposer l'hypothèse que les deux sites appartiennent à une même sphère d'interaction sociale et culturelle. Les deux endroits démontrent en effet des manifestations d'occupation humaine à la fin de la période du Sylvicole moyen. La présence de petits fragments non diagnostiques de céramique dans le sondage BC57, juste à côté du sondage BC58, appuie l'hypothèse d'une occupation au Sylvicole, mais ne permet pas de pointer vers une de ses sous périodes chrono-culturelles.

4.2 Inventaires archéologiques sur la rivière du Lièvre

Au cours de la saison 2021, l'inventaire archéologique réalisé sur la rivière du Lièvre dans le secteur de l'île Longue a permis d'identifier trois nouveaux sites (CbFv-1, CbFv-2 et CbFv-3) (figure 28). Ceux-ci s'ajoutent à ceux identifiés depuis 2018 dans le secteur des rapides du Wabasse (CcFv-1, CcFv-2, CcFv-3 et CcFu-1). On remarque par ailleurs que si les sites ayant fait l'objet de l'intervention de 2021 paraissent situés sur les berges de la rivière du Lièvre, la superposition de leur localisation actuelle sur les plans anciens montre clairement qu'ils se trouvaient à l'origine plus ou moins en retrait du cours d'eau (figures 29 et 30)

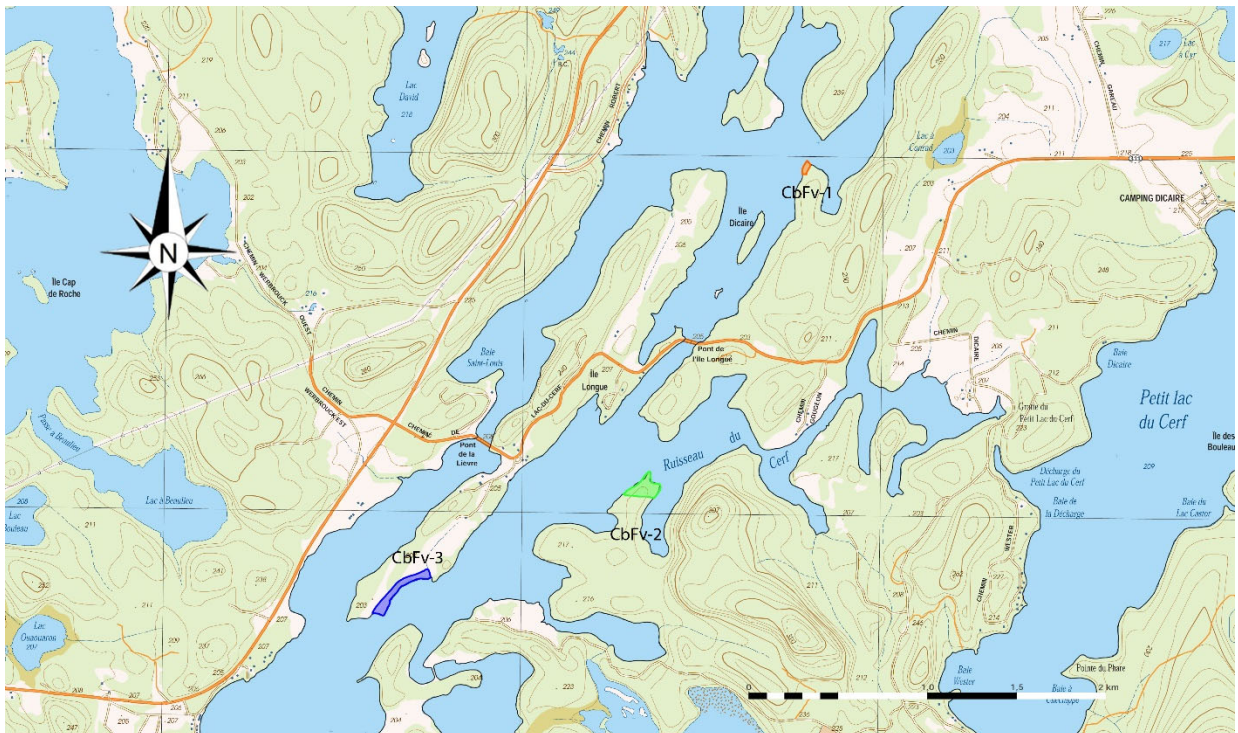


Figure 28 Localisation des sites à proximité de l'île Longue

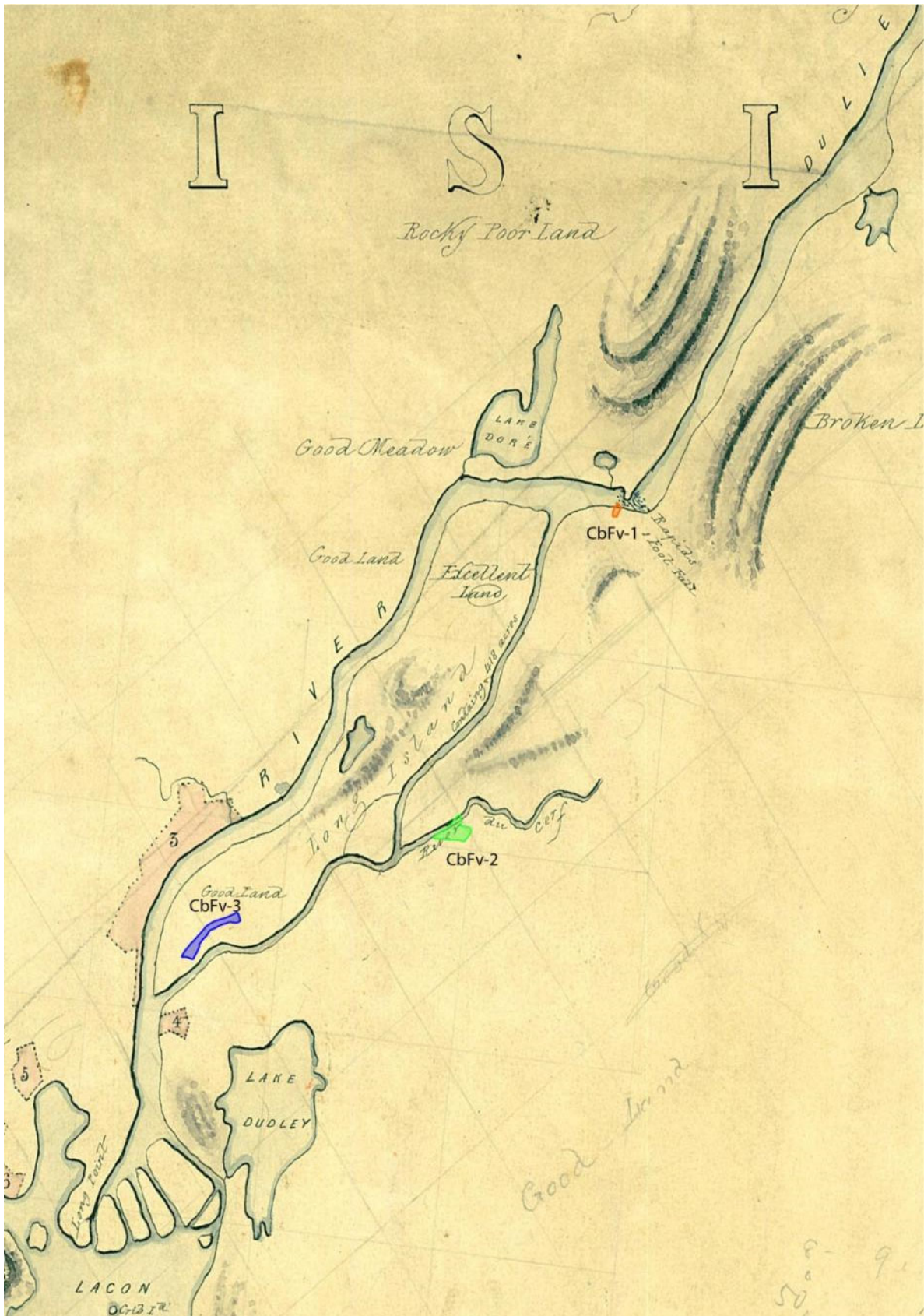


Figure 29 Localisation approximative des sites inventoriés en 2021 sur un extrait de la carte d'Alphonse Wells de 1846 *Partie de la rivière du Lièvre, Division no. 4*

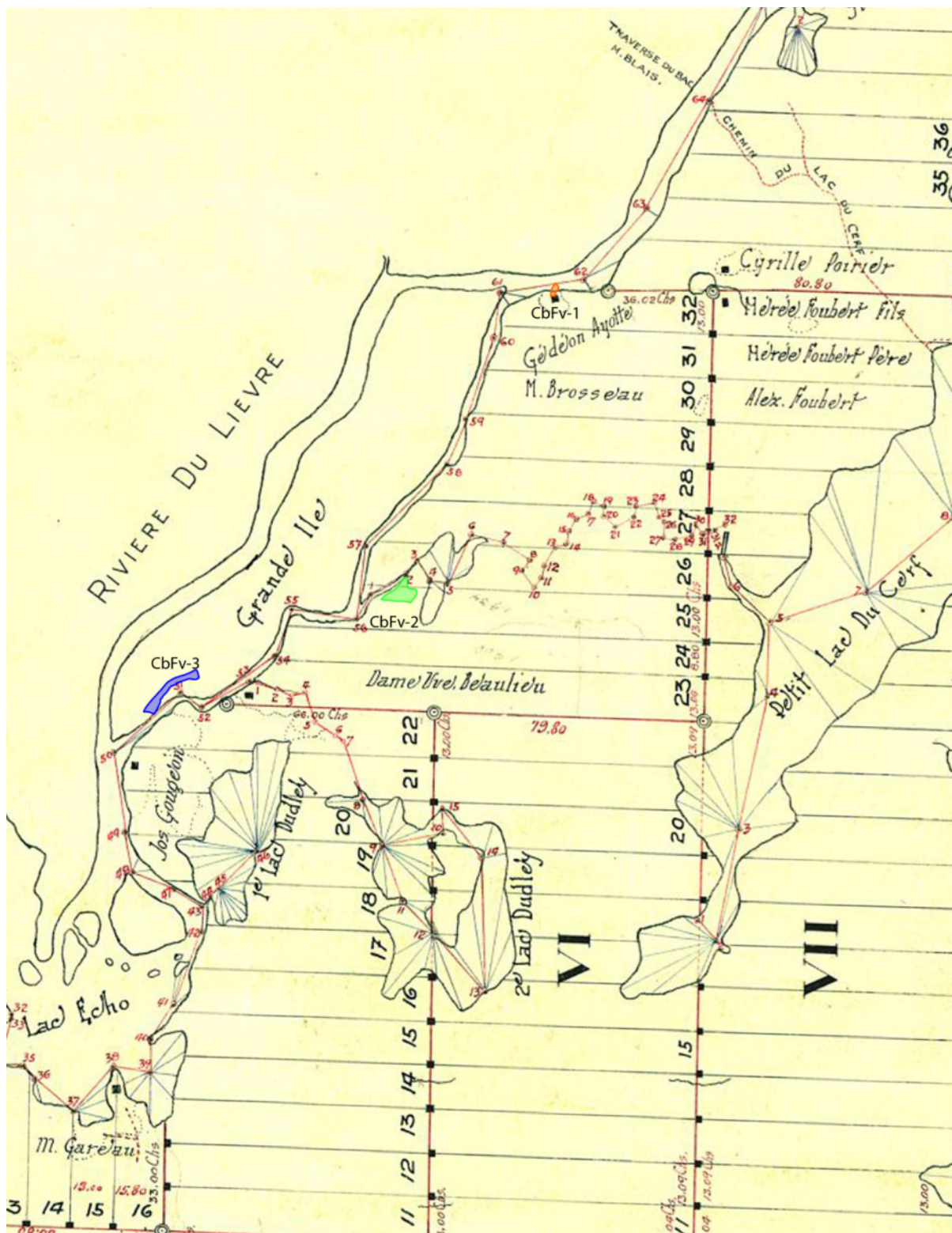


Figure 30 Localisation approximative des sites inventoriés en 2021 sur un extrait de la carte de John Bourgeois de 1917 Canton Dudley, Comté Labelle. Plan indiquant par une teinte rouge les lignes tracées et renouvelées par le sousigné.

4.2.1 Inventaire archéologique du côté est de la rivière du Lièvre (site CbFv-1)

L'inventaire archéologique réalisé sur la propriété de Mme Lorayne Dicaire a permis d'investiguer une portion de terrain située à quelques centaines de mètres en amont de l'île Longue et uniquement accessible par bateau (photo 17). À l'origine, ce secteur boisé se terminant par un cap rocheux qui se trouvait aux pieds de rapides qui obligeait les voyageurs à effectuer un court portage (voir figure 29). Au XIX^e siècle, les lieux avaient été aménagés par les entreprises forestières actives sur la rivière. L'endroit forme encore un rétrécissement de la rivière mais les effets de l'érosion des berges suite à la mise en eau du barrage des Cèdres en 1930 sont manifestes. Lors de ses excursions, M. Louis-Pierre Coursol a recueilli au fil des ans dans la zone herbeuse, lors des épisodes de basses eaux, «de beaux objets en pierre grise» (Louis-Pierre Coursol, communication personnelle). Au total, 27 sondages archéologiques ont été réalisés et 3 de ceux-ci se sont avérés positifs (figure 31).



Photo 17 Vue générale du site CbFv-1 et localisation approximative de la zone où M. Louis-Pierre Coursol a réalisé de nombreuses découvertes fortuites lors de périodes de basses eaux. Vue vers l'est (modification de CbFv1-2021_NUM1-075)



Figure 31 Localisation des sondages et limites du site CbFv-1. Les sondages positifs sont surlignés en blanc et rouge.

Les trois sondages positifs (LD13, LD18 et LD26) se trouvaient concentrés sur la berge de la rivière, sur la portion de terre ferme tout juste en retrait de la zone de découvertes fortuites indiquées par M. Coursol.

Lors de l'inventaire, le sondage LD13 avait rapidement permis la mise au jour d'éclats de chert Kichisipi, d'os blanchis et de pierres rougies fracturées. Comme l'ensemble indiquait clairement la présence d'un aménagement ancien d'une aire de combustion et que l'érosion marquée de la berge menaçait l'intégrité des vestiges en place, la décision a rapidement été prise d'élargir le sondage en un puits de 1 m², afin de recueillir le plus d'informations possibles avant sa destruction imminente (photo 18).



Photo 18 En avant-plan, sondage LD26. En arrière-plan, agrandissement du sondage LD13. Vue vers le nord (CbFv1-2021_NUM1-055)

La fouille du sondage LD13 a permis la mise au jour de 34 éclats et fragments essentiellement de chert Kichisipi, de deux nucléus en chert Kichisipi, de deux fragments de graphite, d'un percuteur et d'un broyeur faits de matériaux indéterminés, ainsi que de 120 petits fragments d'os blanchis.

Tous les artefacts et écofacts mis au jour sont en étroite relation avec une aire de combustion composée de pierres rougies fracturées et d'une cuvette de foyer (photos 19 et 20, figure 32). L'ensemble de l'aménagement suit très approximativement un axe nord-est sud-ouest et, comme il se poursuit dans chaque direction, ses dimensions complètes ne sont pas connues. Vers le nord-est, la totalité des sols a été emportée par l'érosion tandis que vers le sud-ouest, le foyer ne se poursuit manifestement pas sur une distance de plus de 2 m, le sondage LD 26 placé dans l'axe n'ayant pas montré la présence de la continuité de cet aménagement.



Photo 19 Fouille du sondage LD13, vue vers le nord (CbFv1-2021_NUM1-061)



Photo 20 Aménagement de foyer dans le sondage LD13 (modification de CbFv1-2021_NUM1-066)

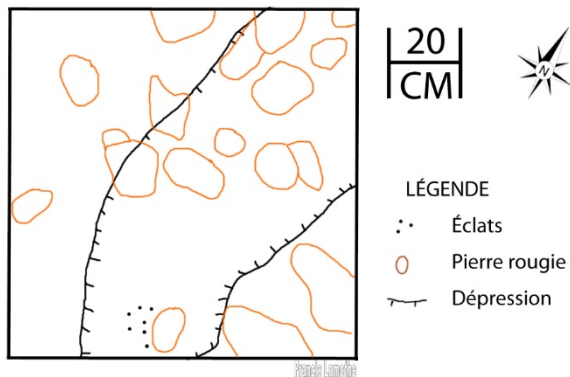
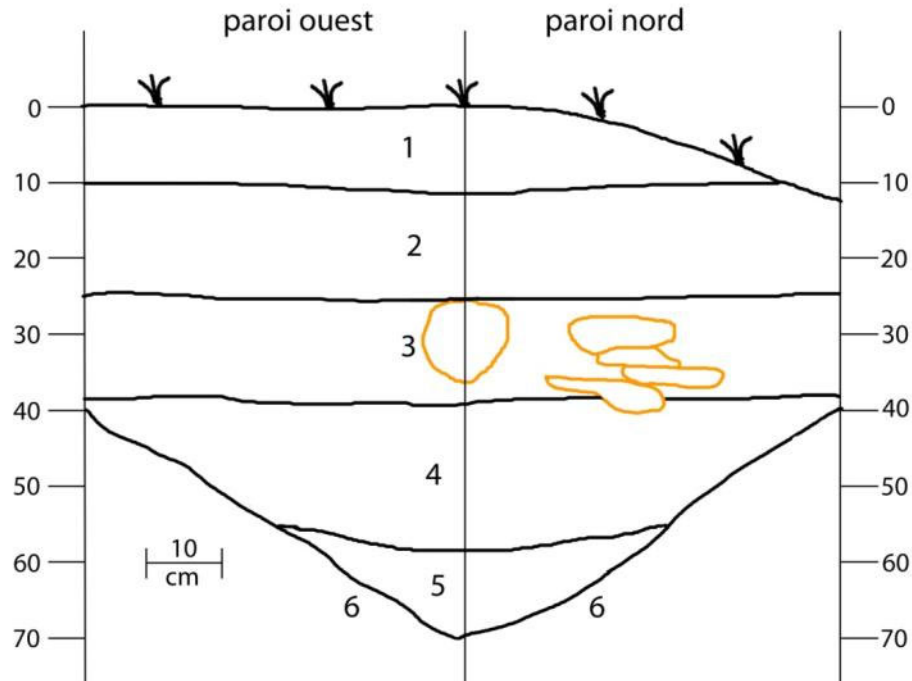


Figure 32 CbFv-1, sondage LD13, croquis de l'aménagement de la fosse de combustion

L'aire de combustion prend une forme clairement allongée plutôt que circulaire, ce qui lui donne l'aspect d'une petite tranchée.

La stratigraphie présente une succession de 6 niveaux pédologiques distincts (figure 33). C'est à la base de la couche associée à l'horizon humique (Ah, couche 2), d'une épaisseur moyenne d'environ 15 cm, qu'apparaît le sommet des pierres rouges fracturées. La majorité des pierres se trouvent entièrement enfouies dans la couche suivante (couche 3), qui correspond au niveau supérieur de la matrice du foyer. Sous la base des pierres, la matrice principale de la cuvette (couche 4), grasse et pâteuse, présente plusieurs variations : portions rubéfiées, d'autres légèrement rosées ou noircies, avec de petites concentrations d'os blanchis et d'artefacts lithiques. Le fond de la cuvette (couche 5), qui ne contenait pas d'artefacts ou d'écofacts, repose sur le limon brun orangé de l'horizon B (couche 6).

Figure 33 CbFv-1
 Sondage LD13
 Coupe stratigraphique des parois ouest et nord



- 1- Fibre de bois de souche et litière partiellement décomposées contenant de nombreuses racines et radicelles
- 2- Limon brun foncé organique gras et pâteux, homogène contenant de très nombreuses racines et radicelles; horizon humique (Ah)
- 3- Limon brun-beige, pâteux, plutôt hétérogène, contenant des pierres rougies fracturées et de très nombreuses racines et radicelles; sommet de la structure de foyer
- 4- Matrice pâteuse de limon brun-rosé taché de gris foncé, contenant des particules de charbon de bois, des os blanchis, des racines et des radicelles; rubéfaction et combustion dans une cuvette de foyer
- 5- Limon gris, homogène et tendre; base du foyer
- 6- Limon argileux brun orangé homogène et ferme; horizon naturel stérile (B)

La fonction précise de la tranchée de combustion n'est pas connue et il serait intéressant d'y consacrer éventuellement des recherches approfondies. Cela dit, parmi plusieurs possibilités, la forme allongée de l'aire de combustion évoque celle encore employée chez certaines communautés autochtones pour la cuisson du castor et de l'outarde (figure 34).



Figure 34 Cuisson outardes et castors chez les Innus, rivière aux Écorces, 2005 (photo Pierre Gill) <http://www.surlestracesilnu.ca/fr/image/photo/technique-trappe-castor.html>

En ce qui concerne les sondages LD18 et LD26 placés à environ 2 m du sondage LD13, ils ont permis de constater une baisse notable des artefacts qui se limitaient à quelques éclats lithiques. Selon toute apparence, le site se poursuivait vers les anciennes berges aujourd'hui érodées et le sondage LD13 constitue ce qui était la portion la plus reculée de l'aire d'occupation.

L'analyse macroscopique des éclats a permis de constater que presque tous correspondent à du chert Kichisipi (tableau 13), originaire de l'Outaouais central et dont la distribution se limite pratiquement à la vallée de l'Outaouais (Laliberté 2011, Cadieux 2011). Il s'agit d'un matériau particulièrement abondant, à défaut d'être de bonne qualité. Les recherches de dernières années indiquent par ailleurs une distribution notable de celui-ci dans l'hinterland laurentidien (Taché et Lamothe 2019, 2020, 2021).

Tableau 13 CbFv-1, localisation générale et identification des éclats lithiques

	Chert Kichisipi	Quartz	Indéterminé/ altéré	Total
LD13	33	1		34
LD18	1	1	3	5
LD26	1		2	3
Total	35	2	5	42

Six artefacts autres que des éclats ont également été mis au jour, soit deux nucléus en chert Kichisipi, 2 fragments de graphite ainsi qu'un percuteur et un broyeur dont le matériau est indéterminé (tableau 14, planche 4).

Tableau 14 CbFv-1, liste des artefacts lithiques

Puits/ sondage	Quadrant	Outils	No catalogue	État	Matériau
LD13	NE	Nucléus	3	fragment	Chert Kichisipi
LD13	SE	Nucléus	6	fragment	Chert Kichisipi
LD13	NE	Indéterminé	8 et 10	fragment	Fragments de graphite
LD13	NE	Percuteur	12	entier	Indéterminé
LD13	SW	Broyeur	16	entier	Indéterminé



Planche 4 Sélection d'artefacts provenant du sondage LD13 du site CbFv-1 : fragment de nucléus en chert Kichisipi (.003), nucléus en chert Kichisipi (.006), fragment de graphite (.008), fragment de percuteur (.012), possible broyeur (.016) (photographies Olivier Pilette, montage et infographie Francis Lamothe)

Selon les recherches réalisées dans la vallée de l'Outaouais, le chert Kichisipi semble être associé aux contextes du Sylvicole moyen et dans une moindre mesure du Sylvicole supérieur (Laliberté 2011, Cadieux 2011). Notons toutefois que des interventions archéologiques réalisées à proximité du delta de la Gatineau ont également révélé d'importants assemblages de chert Kichisipi associés à l'Archaique (Ouellet 2017). Sur la base de ces observations, il demeure donc difficile d'associer le site CbFv-1 à une période spécifique de l'occupation du territoire par les populations paléohistoriques.

Les fragments de graphite sont pour leur part particulièrement intrigants, surtout qu'il existe à proximité du site des sources de ce matériau qui sont exploitées commercialement, notamment la carrière opérée par Timcal Canada Inc., situé à Saint-Aimé-du-Lac-des-Îles. Ceux-ci font également écho aux découvertes effectuées au Grand lac Nominique où des artefacts en graphite ont été mis au jour en 2020 et en 2021.

4.2.2 Inventaire archéologique à l'embouchure du ruisseau du Cerf (CbFv-2)

L'inventaire réalisé le long de l'embouchure du ruisseau du Cerf, face à l'île Longue, était situé dans un secteur à proximité duquel M. Louis-Pierre Coursol a trouvé au fil des ans plusieurs artefacts, d'où l'intérêt de la mise en place d'une investigation archéologique. Cela dit, sur les rives immédiates du site, le seul artefact ramassé à l'époque par M. Coursol est un fragment de biface en chert Onondaga (planche 5).



Comme partout dans cette portion de la rivière du Lièvre, les effets de l'érosion suite à la construction du barrage des Cèdres sont importants, ce qui a grandement modifié le secteur par rapport à sa morphologie originale (voir figure 15). On remarque en particulier que l'aire investiguée se trouvait avant 1930 nettement en retrait par rapport à la rivière du Lièvre et que la confluence du ruisseau du Cerf et de la rivière du Lièvre semble précédée d'un rapide (figure 35). À cet égard, l'appréciation du terrain en fonction de ses caractéristiques actuelles doit être abordée avec prudence.

Planche 5 Fragment de biface en chert Onondaga récupéré par M. Louis-Pierre Coursol sur les berges du site CbFv-2 (photographie Olivier Pilette, infographie Francis Lamothe)



Figure 35 Superposition approximative du site CbFv-2 sur la carte aérienne de 1928 (détail)



Photo 21 Localisation du site CbFv-2, vue vers le sud-ouest (photographie Karine Taché)

Le secteur ciblé lors de l'inventaire forme une pointe dont la portion longeant la rivière du Lièvre est surélevée d'un à deux mètres par rapport à la berge tandis que la portion suivant le ruisseau du Cerf offre des berges facilement accessibles pour les canots (photos 21 et 22). Le relief général du terrain est constitué d'une vaste terrasse assez plane, bien drainée et cernée de buttes rocheuses. Le couvert forestier est pour sa part assez varié et composé de plusieurs essences : sapins, bouleaux jaunes, érables à sucre ainsi que quelques cèdres et pruches (photo 23).

Au total, 41 sondages ont été réalisés lors de l'inventaire archéologique (RC1 à RC41) dont trois se sont avérés positifs, ce qui a permis l'attribution du code Borden CbFv-2 (figure 36).



Photo 22 Zone d'accostage (CbFv2-2021_NUM1-004)



Photo 23 Aspect général du couvert forestier et fouilles de sondages sur la terrasse principale, vue vers le sud (CbFv2-2021_NUM1-039)



Figure 36 Localisation des sondages et limites du site CbFv-2. Les sondages positifs sont surlignés en blanc et rouge.

Les trois sondages positifs (RC1, RC7 et RC18) ont livré un assemblage archéologique modeste par rapport au potentiel archéologique anticipé.

Dans le sondage RC1 (photo 24), ce sont 4 petits os blanchis désagrégés qui ont été mis au jour dans la couche associée à l'horizon humique. La présence de nodules épars de charbon de bois et de quelques pierres rougies fracturées indique qu'il pourrait s'agir d'une aire de foyer, bien qu'aucun aménagement clair n'ait été circonscrit.



Photo 24 Fouille du sondage RC1, vue vers le sud (modification de CbFv2-2021_NUM1-001)

Le sondage RC7, situé à quelques dizaines de mètres plus au sud, aux abords du talus faisant face à la Lièvre, a livré des résultats plus concluants, 5 éclats ayant été récupérés lors de la fouille du niveau de l'horizon humique. Leur analyse microscopique a permis d'observer un chert calcaire siliceux brun qui pourrait correspondre à la variabilité des basses-terres de la baie d'Hudson. La stratigraphie de ce sondage correspondait également, à quelques variations près, à l'aspect général des sols investigués du secteur, soit : un niveau supérieur de litière (1); un horizon humique limoneux brun-gris (2); et un limon argileux brun (3) qui reposait sur une argile grise limoneuse compact (4) (photo 25).

Le dernier sondage positif identifié (RC18) se trouvait nettement plus en retrait des berges actuelles, ce qui le rendait particulièrement éloigné des rives d'origine. Dans ce sondage la fouille a révélé la présence d'un unique fragment de quartzite.



Photo 25 Sondage RC7, paroi sud (modification de CbFv2-2021_NUM1-017)

Tous les autres sondages se sont avérés négatifs. La seule particularité notable qui mérite d'être soulignée pour plusieurs d'entre eux est que l'aspect des sols limoneux organiques associés à l'horizon humique, par leur épaisseur et leur uniformité, pourrait suggérer la présence d'anciens labours.

Comme on peut le voir, l'inventaire réalisé sur le site CbFv-2 n'a livré que quelques traces d'occupation autochtone ancienne. L'absence d'outils et le type de matériau lithique représentés font que les éclats de chert siliceux et de quartzite se distinguent notablement du fragment de biface en chert Onondaga récupéré des années auparavant sur les berges érodées du site. La pauvreté des assemblages archéologiques mis au jour est clairement attribuable à l'érosion marquée de toute cette portion de la rivière du Lièvre depuis 1930. Dans le cas spécifique du site CbFv-2, la montée des eaux a eu pour effet d'emporter les sols riverains et sans doute les contextes archéologiques les plus significatifs. Signalons finalement que l'intérêt du secteur pour l'occupation humaine reste encore à démontrer, étant donné que les découvertes fortuites proviennent de la rive nord du ruisseau du Cerf, à proximité de ce qui constituait à l'origine la confluence de celle-ci avec la rivière di Lièvre.

4.2.3 Inventaire archéologique sur l'île Longue (CbFv-3)

L'île Longue correspond à un autre secteur de fréquentation importante des populations autochtones paléohistoriques le long de la Lièvre, comme en témoigne l'importante collection récupérée sur ses rives par M. Coursol aux cours des dernières décennies (planche 6).



Planche 6 Sélection d'artefacts récupérés sur les rives à proximité de l'extrémité sud de l'île Longue en périodes de basses eaux par M. Louis-Pierre Coursol (photographies Olivier Pilette, montage et infographie Francis Lamothe).

Comme partout ailleurs, la forte érosion causée par la construction du barrage des Cèdres a grandement affectée l'ensemble de l'île dont les berges se trouvent maintenant en retrait de plusieurs dizaines de mètres par rapport à leur état d'origine (figure 37).



Figure 37 Superposition approximative du site CbFv-3 sur la carte aérienne de 1928 (détail)

Dans son état actuel, le secteur ayant fait l'objet de l'inventaire présentait deux zones aux environnements passablement différents (photos 26 et 27). D'une part, la partie sud-est correspond à deux terrasses successives dominées par les hautes herbes et couvertes par endroits de framboisiers, de vinaigriers et d'aubépines. La terrasse inférieure devient marécageuse à proximité de la plage d'accostage et remonte progressivement le long de l'imposant talus argileux en cours d'érosion faisant face au chenal est de la rivière.



Photo 26 Terrasse supérieure et en arrière-plan plage d'accostage et basse-terrace de la zone d'inventaire, vue vers le nord-est (CbFv3-2021_NUM1-009)



Photo 27 Replat boisé de la zone d'inventaire, vue vers l'ouest (CbFv3-2021_NUM1-014)

La partie sud-ouest est composée pour sa part d'un replat boisé (érables à sucre, tilleuls, chênes blancs), passablement rocheux et appuyé sur un escarpement qui mène à une crête surplombant le chenal ouest de la rivière.

Au total, 50 sondages ont été réalisés lors de l'inventaire archéologique effectué sur l'Île Longue (figure 38). Cinq de ceux-ci se sont avérés positifs et tous sont associés à des contextes historiques. Par conséquent, le code Borden CcFb-3 a été attribué.



Figure 38 Localisation des sondages et limites du site CbFv-3. Les sondages positifs sont surlignés en blanc et rouge.

Tous les sondages positifs (IL 38 à IL42) se trouvaient alignés le long de l'axe du talus d'érosion faisant face au chenal est de la rivière. Invariablement, ce sont des fragments d'artefacts historiques qui ont été mis au jour : clous et fil de fer tréfilés, lanières métalliques, terre cuite fine blanche, tessons de bouteille de gin, piquets de tente en plastique. La collection rassemblée évoquait une chronologie assez récente située entre le début et la fin du XX^e siècle. Dans cette zone, tous les sondages présentaient une séquence stratigraphique assez semblable, soit un limon brun-gris organique plutôt meuble correspondant à un ancien niveau de labour qui reposait sur l'imposant dépôt d'argile qui constitue la matrice principale de l'Île Longue (photo 28).



Photo 28 Paroi sud du sondage IL47, stratigraphie-type des sondages de la zone des terrasses supérieure et inférieure (CbFv3-2021_NUM1-064)

Dans la zone du replat boisé, tous les sondages réalisés se sont avérés négatifs. Les sols fouillés présentaient pour quelques-uns une séquence assez caillouteuse où se superposaient litière, humus et limon brun-pâle reposant soit sur un fond caillouteux à proximité de la pointe rocheuse soit sur un fond d'argile grise compacte. Pour quelques autres, la séquence était plus sableuse sans que le fond d'argile n'ait été atteint à environ 0,45 m de profondeur. Enfin, malgré le couvert forestier, les sondages les plus éloignés de la pointe rocheuse présentaient un niveau de labour indiquant que cette portion avait été à une certaine époque défrichée et exploitée.

L'inventaire archéologique réalisé à l'île Longue n'a donc pas permis la mise au jour de contextes d'occupation autochtone paléohistorique malgré les nombreuses découvertes réalisées en période de basses eaux par le collectionneur Louis-Pierre Coursol. A posteriori, il aurait pu être approprié de réaliser quelques sondages tout près de la zone d'accostage des canots même si celle-ci est passablement humide et partiellement marécageuse. Encore une fois, les effets de la hausse du niveau d'eau depuis 1930 font en sorte que la topographie actuelle de l'île n'a rien en commun avec son état d'origine et peut être que quelques contextes d'occupation pourraient subsister dans des zones qui semblent de nos jours peu invitantes.

5. CONCLUSION

Les interventions archéologiques effectuées au Grand lac Nominingue et sur la rivière du Lièvre ont une fois de plus permis d'enrichir nos connaissances sur la dynamique de l'occupation du très vaste territoire des Hautes-Laurentides par les populations autochtones anciennes.

L'intervention archéologique effectuée en 2021 a permis de poursuivre les travaux archéologiques sur le site CcFr-1 et de documenter une des zones au potentiel le plus intéressant du site. La fouille en damier de 8 puits de fouilles a permis de rassembler une collection de témoins archéologiques variés, qu'il s'agisse d'outils lithiques, de tessons de céramique ou de restes osseux. L'analyse de la collection a entre autres permis de dénombrer 48 outils et plus de 767 éclats de taille répartis en plusieurs matériaux. L'analyse de l'assemblage céramique a quant à elle permis d'identifier 6 nouvelles unités de vase appartenant à plusieurs grandes familles typologiques associées au Sylvicole moyen ancien, au Sylvicole moyen récent et au Sylvicole supérieur. La fouille a également révélé la présence de plusieurs aires de combustion même si l'état des contextes ne permet pas d'établir un décompte précis. On note en particulier, dans l'axe nord-sud des sondages 51N103E et 50N104E, la présence d'une anomalie ayant l'aspect d'une profonde tranchée qui serait le résultat d'un événement naturel de chablis. Les sondages complémentaires réalisés sur la plage ont permis de documenter une portion du terrain où de nombreuses découvertes fortuites ont été rapportées au cours des dernières années. Quatre outils lithiques en quartz et en chert Onondaga ont également été mis au jour dans le sondage J47. L'investigation des sols de la plage ont particulièrement permis d'observer la persistance de sols en place probablement associés à d'anciens niveaux de paléoplage. Selon les données actuelles, les artefacts mis au jour semblent le résultat de deux phénomènes distincts, soit des traces d'occupations anciennes s'étant déroulés directement sur la plage ainsi que la présence intrusive d'artefacts provenant de l'érosion progressive de la terrasse.

L'inventaire complémentaire effectué sur la propriété du Dr Raymond Cartier a démontré la pertinence de procéder à des recherches archéologiques sur le site CcFr-5 et, plus largement, dans ce secteur du Grand lac Nominingue. Les artefacts sont disséminés un peu partout autour de la maison et sur la basse terrasse adjacente à la plage. Toutefois, les recherches réalisées cette année permettent de constater que le potentiel archéologique de la partie du terrain située à l'est du chemin d'entrée et du hangar à bateau s'avère faible, voire nul. C'est

à cet endroit que le propriétaire prévoit construire un nouveau garage. Si ce dernier s'en montre intéressé, un inventaire circonscrit à la zone impactée par la construction du bâtiment est envisageable. Outre cette possible intervention de sauvetage, nous recommandons de concentrer la poursuite de l'inventaire au nord et au sud du chalet, et près de la plage, où le potentiel archéologique est beaucoup plus élevé. À cet égard, mentionnons que M. Cartier a aussi signalé un éventuel déplacement du chalet en direction sud-est, dans le champ.

Les données archéologiques actuelles récoltées sur les sites des environs immédiats de l'Île Longue indiquent que malgré les nombreuses découvertes fortuites effectuées dans ce secteur au fil des ans, l'érosion consécutive à la mise en activité du barrage des Cèdres en 1930 a fortement dégradé l'intégrité des sites archéologiques qu'on y retrouve.

Sur le site CbFv-1, la mise au jour de plusieurs témoins matériels lithiques et d'une fosse de combustion enrichit nos connaissances sur l'occupation humaine ancienne de la région. La présence d'éclats de taille en chert Kichisipi et de fragments de graphite témoigne de l'utilisation au moins occasionnelle de matériaux provenant de sources locales et régionales.

L'inventaire archéologique réalisé un peu en aval sur la rivière du Lièvre, soit à l'embouchure du ruisseau du Cerf (site CbFv-2) et sur la pointe sud de l'Île Longue (site CbFv-3) ont pour leur part permis de circonscrire respectivement un petit site paléohistorique ainsi que des traces d'occupation eurocanadienne du XX^e siècle.

La découverte de fragments de graphite réalisée en 2021 à la fois au Grand lac Nominique et sur la rivière du Lièvre est particulièrement intéressante, étant donné qu'il s'agit d'artefacts relativement peu communs. Un fragment avait également été mis au jour au Grand lac Nominique en 2020, sur le site CcFr-6. Leur présence sur des sites de taille plutôt modeste suggère donc une certaine accessibilité de ce matériau et la manifestation de comportements culturels spécifiques aux populations locales anciennes qui y ont accès. La question mériterait une recherche approfondie mais une rapide vérification permet quand même de voir que le graphite s'avère être un matériau assez fréquemment rencontré dans les Laurentides.

Géologiquement, le sous-sol des Laurentides, avec ceux de Lanaudière et de l'Outaouais, renferme les gisements de graphite les plus riches du Canada, bien qu'il ne soit pas possible de déterminer lesquels constituaient anciennement des sources exploitables par les populations paléohistoriques. En 1858, William Logan observe des affleurements de graphite à la Chute-aux-Bleuets et il relève que les Anishinabeg nomment le lieu *Aboujnoumeneci pawitik* « Chute au plomb noir » (Geological Survey of Canada 1859). Au début du XX^e siècle, une mine exploite d'ailleurs ce minerai à l'intérieur du village, de même qu'en périphérie des municipalités de St-Rémi-d'Amherst et de Labelle, situées non loin (Magnan 1913, Cholette 2010). Une mine est par ailleurs actuellement exploitée à Saint-Aimé-du-lac-des-Îles et, depuis que ce matériau est devenu recherché par l'industrie des

véhicules électriques, plusieurs projets sont en préparation, notamment près de Duhamel, Tremblant et Labelle (La Presse 23 juillet 2019, L'Info du Nord 13 avril 2021).

Étant donné l'immensité du territoire des Laurentides, les recherches entamées depuis 2015 n'ont fait que révéler une infime portion de son patrimoine archéologique. Il va sans dire qu'à mesure que les recherches archéologiques et la couverture géographique s'accumuleront, ce sont de nouveaux pans de l'histoire autochtone ancienne spécifique à cette région qui émergeront. C'est dans cette perspective que le programme de recherche en cours a été mis sur pied. De plus, ce projet à long terme a permis cette année l'intégration de participants de la Première Nation Kitigan Zibi Anishinabeg. Ce volet collaboratif qui a permis de tisser des liens avec les premiers occupants du territoire s'est avéré un franc succès et sera reconduit pour les prochaines années.

6. RECOMMANDATIONS

Dans la perspective d'éventuelles interventions archéologiques ou de travaux d'aménagement futurs dans les régions de Nomingue et de l'Île Longue, les données archéologiques récoltées en 2021 nous permettent d'émettre les recommandations qui suivent :

1. Étant donné la présence de contextes archéologiques en place de grande valeur sur les sites du Grand lac Nomingue et de la rivière du Lièvre, tout projet d'aménagement ayant un impact sur le sous-sol devrait être précédé d'une intervention archéologique.
2. Au Grand lac Nomingue, à l'embouchure du ruisseau Jourdain (site CcFr-1), la richesse des assemblages mis au jour souligne l'importance de ce lieu comme emplacement névralgique pour les populations autochtones. La poursuite des recherches archéologiques à cet endroit est par conséquent impérative.
3. Au Grand lac Nomingue, l'éventuelle réalisation de travaux d'aménagement sur le site CcFr-5 pose un important risque de perturbation du tissu archéologique en place, souvent situé à une faible profondeur. Un inventaire archéologique plus serré et systématique devrait être réalisé avant les travaux pour toute l'étendue de la zone qui devrait être affectée par ce projet. Lors du déplacement projeté du chalet, il serait pertinent d'inventorier les sols sous la dalle de béton étant donné que le bâtiment ne possède pas de fondation creusée. Il est possible qu'il y persiste des contextes archéologiques associés à l'occupation humaine ancienne du site.
4. Sur la rivière du Lièvre, les résultats concluants obtenus lors de l'inventaire effectué sur la propriété de Mme Lorayne Dicaire (site CbFv-1) ont confirmé l'utilisation du lieu comme site d'arrêt aux pieds d'un portage. Une courte intervention pourrait permettre éventuellement de compléter la fouille de l'aire archéologique menacée d'érosion imminente.
5. De manière générale, il serait souhaitable que l'initiative de procéder à des supervisions ou des inventaires archéologiques lors de travaux sur les propriétés riveraines soit étendue à l'ensemble du pourtour des lacs et des cours d'eau, en tenant compte des études de potentiel archéologique disponibles et des découvertes fortuites rapportées.

6. Éventuellement, il serait également intéressant d'étendre la couverture géographique des recherches archéologiques dans la région des Hautes-Laurentides afin de mieux documenter l'occupation de ce vaste territoire à travers le temps.
7. À terme, des projets de diffusion et de mise en valeur pourraient être mis en place, l'objectif de la recherche archéologique étant avant tout basé sur l'acquisition et le partage de connaissances sur le passé d'un lieu ou d'une région. À cet égard, le travail exceptionnel effectué par Les Gardiens du patrimoine archéologique des Hautes-Laurentides se doit d'être souligné.

Ouvrages consultés

ANICK, Norman,

1976 *The Fur Trade in Eastern Canada until 1870*, Parcs Canada, travail inédit n° 207, vol. 1 et 2, Ottawa.

ANONYME

1938 *Le Nord de l'Outaouais*, Manuel-Répertoire d'Histoire et de Géographie régionales, Le Droit, Ottawa.

AUCLAIR, Elie.J.

1930 *Le curé Labelle, sa vie et son œuvre ; ce qu'il était devant ses contemporains, ce qu'il est devant la postérité*, Beauchemin, Montréal.

BANFIELD, A.W.F.

1977 *Les Mammifères du Canada*, MNC et Presses de l'Université Laval, Toronto.

BARBEZIEUX, Alexis de

1897 *Histoire de la Province ecclésiastique d'Ottawa et de la colonisation de la Vallée de l'Ottawa*, Cie d'Imprimerie d'Ottawa, Ottawa, 2 vol.

BEAUCHAMP, M. et SIMARD, A.,

2007 *État de l'écosystème aquatique du bassin versant de la rivière du Nord : faits saillants 2004-2006*, Québec, Ministère du Développement durable, de l'Environnement et des Parcs, Direction du suivi de l'état de l'environnement.

BIOFILIA

2012 *Plan directeur en environnement, Municipalité de Lac-des-Seize-Îles*, Biofilia consultants en environnements, Labelle.

BLACK, Jean Meredith

1989 *Nineteenth-Century Algonquin Culture Change*, University of North Carolina/Chapel Hill, p. 62-69.

BOUCHARD, Michel, MALETTE, Sébastien, MARCOTTE, Guillaume

2019 *Les Bois-Brûlés de l'Outaouais : une étude ethnoculturelle des Métis de la Gatineau*, Presses de l'Université Laval, Québec.

BURKE, Adrian

2003 « La provenance des matières premières lithiques et la reconstitution des réseaux d'interactions » in *L'Île aux Allumettes : l'Archaique supérieur dans l'Outaouais*, Paléo-Québec, n° 30, Montréal: Recherches amérindiennes au Québec, Musée canadien des civilisations, p. 187-217.

BURKE, Adrian et CHAPDELAIN, Claude (sous la direction de)

2017 *L'Archaique au Québec : Six millénaires d'histoire amérindienne*, Paléo-Québec, n° 36, Montréal: Recherches amérindiennes au Québec.

CADIEUX, Nicholas

2011 « L'énigmatique pyroclastique! » dans *Recherches amérindiennes au Québec*, n° 24, p. 115-143.

CARON, Ivanhoé

1918 *Journal de l'expédition du chevalier de Troyes à la baie d'Hudson en 1686*, la Cie de l'Éclaireur, Beauceville.

1918 « Relation de ce qui s'est passé à la Baie du Nord, envoyés par le Sieur Patu, sous fermier du Canada (14 novembre 1689) » dans *Journal de l'expédition du chevalier de Troyes à la baie d'Hudson en 1686*, Beauceville, la Cie de l'Éclaireur, appendice K, p. 119-127.

CHAMBERLAND, Roland *et al*

2004 *Terra incognita des Kotakoutouemis. L'Algonquie orientale au XVIIe siècle*, Les Presses de l'Université Laval, Québec.

CHAMBERLIN, B (imprimeur)

1891 *Indian Treaties and Surrenders from 1680 to 1890*, Ottawa.

CHEVALIER, Émile (Gabriel Sagard)

1865 *Le Grand voyage au pays des Hurons*, Tross, Paris.

CHOLETTE, Gilbert

2010 *L'exploitation minière à Labelle*, Société d'histoire de Chute-aux-Iroquois, Labelle.

CLERMONT, Norman,

1998 «Le Sylvicole du Bouclier », *Recherches amérindiennes au Québec*, n° 28 (2), p. 51-57.

CLERMONT, Norman, CHAPDELAIN, Claude, CINQ-MARS, Jacques (textes réunis sous la direction de)

2003 *L'Île aux Allumettes : l'Archaique supérieur dans l'Outaouais*, Paléo-Québec, n° 30, Montréal: Recherches amérindiennes au Québec, Musée canadien des civilisations.

CLERMONT, Norman, CHAPDELAINE, Claude

1998 *Ile Morrison : lieu sacré et atelier de l'Archaïque dans l'Outaouais*, Paléo-Québec, n° 28, Montréal: Recherches amérindiennes au Québec, Musée canadien des civilisations.

CONSTANTINEAU, Marguerite (sous la direction de)

1983 *Notre-Dame-de-Pontmain 1884-1984*, comité du centenaire de Notre-Dame-de-Pontmain, Notre-Dame-de-Pontmain.

COSSETTE, Évelyn *et al*

1985 « Le wapiti et le cougar au Québec : le fugitif et l'évanescent » dans *Recherches amérindiennes au Québec*, n° 15 (3), p. 77-92.

CÔTÉ, Augustin,

1858 *Relations des Jésuites contenant ce qui s'est passé de plus remarquable dans les missions des pères de la Compagnie de Jésus dans la Nouvelle-France (1611-1658)*, Augustin Coté éditeur –imprimeur, Québec, 3 vol.

CÔTÉ, Hélène et LIMOGES, Sophie

2014 « Outaouais » dans *D'escalas en découvertes, l'archéologie raconte le Québec*, Archéo-Québec, p. 21-36.

CÔTÉ, Marc

2010 « L'Archaïque terminal en Abitibi-Témiscamingue, le cas du site Réal » dans *Archéologique*, n° 23, p. 35-52.

COURSOL, Luc

1992 *Lac-du-Cerf: la mémoire du temps*, éditions La paroisse Notre-Dame-de-Lourdes, Lac-du-Cerf.

COURSOL, Maxime

2021 « Exploitation minière : inquiétude généralisée autour des lacs de la région », *L'Info du Nord*, 13 avril.

CROWLEY, M.D.

1990 « 1895 » dans *Vieux temps Stories Lac-Tremblant-Nord, 1915-1990*, Municipalité de Lac-Tremblant-Nord, p. 10-11.

CUOQ, Jean-André

1893 « Antoc Kekon » dans *Mémoires de la Société Royale du Canada*, Section I, p. 135-179.

CYR, Suzanne

2019 « Philomène en 1848 », *La Laurentie*, n° 24, Mont-Laurier, p. 7.

DAY, Gordon M, TRIGGER, Bruce G.

1978 « Algonquin » dans B. Trigger ed., *Northeast, Handbook of North American Indians*, Volume 15, Smithsonian Institution, Washington, p. 792-797.

DELÂGE, Denys

1991 *Le Pays renversé, Amérindiens et Européens en Amérique du Nord-Est – 1600-1664*, Boréal Compact, Québec.

DELÂGE, Denys, HUBERT, Claude

2010 « La mémoire orale contemporaine des Metabenutins Uininis (Algonquins de Trois-Rivières) » dans *Recherches amérindiennes au Québec*, vol. 40, n^{os} 1-2, p. 83-101.

DESJARDINS, Karine

2012 *L'attractivité et l'appropriation des espaces lacustres : géographie structurale appliquée au cas du lac Commandant dans la MRC Papineau*, Mémoire de maîtrise, université du Québec en Outaouais.

D'URBAN, W.S.M, BELL, Robert

1860 « Catalogue of Animals and Plants collected and observed in the Valley of the River Rouge and the neighboring Townships, in the Counties of Argenteuil and Ottawa » dans *Contribution to Natural History*, John Lovell, Montréal, p. 3-19.

ETHNOSCOPIE

1986 *Étude de potentiel archéologique de la MRC d'Antoine Labelle*. Rapport soumis dans le cadre de l'entente entre la MRC d'Antoine Labelle et le Ministère des Affaires culturelles du Québec.

1987 *Plan de gestion des ressources archéologiques des territoires non municipalisés de la MRC d'Antoine Labelle*. Rapport soumis dans le cadre de l'entente entre la MRC d'Antoine Labelle et le Ministère des Affaires culturelles du Québec.

1988 *Inventaire archéologique des espaces-cibles «Lac Iveteaux» et «Lac à la Maison de Pierre» 1988*. Rapport soumis dans le cadre de l'entente entre la MRC d'Antoine Labelle et le Ministère des Affaires culturelles du Québec.

1990 *Inventaire archéologique des espaces-cibles "Gatineau" et "Maison de Pierre", et expertise sur le site CgFs-2 de l'espace-cible "Iveteaux" 1989*. Rapport soumis dans le cadre de l'entente entre la M.R.C. d'Antoine-Labelle et le Ministère des Affaires culturelles du Québec.

1991 *Plan de gestion des ressources archéologiques de la MRC d'Antoine Labelle*. Inventaire archéologique des espaces-cibles «Notawassi» et «Nasigon», Entente MRC d'Antoine Labelle/MAC.

- 1996 *Inventaire archéologique des espaces-cibles Adonis, Mitchinamécus, Rivière Rouge et Lac Rouge dans la M.R.C. d'Antoine-Labelle, été-automne 1995*. Rapport soumis dans le cadre de l'entente entre la M.R.C. d'Antoine-Labelle et le Ministère de la Culture et des Communications du Québec.
- 1997 *L'archéologie de la MRC d'Antoine-Labelle, Contribution à la paléohistoire des Hautes-Laurentides*. Rapport soumis dans le cadre de l'entente entre la MRC d'Antoine Labelle et le Ministère de la Culture et des Communications du Québec.
- 2005 *Étude de potentiel archéologique préhistorique: les environs du Lac Nominingue*. Rapport soumis aux Gardiens du patrimoine archéologique et au Ministère de la Culture, des Communications et de la Condition féminine du Québec, Québec.

FEEST, Johanna E., FEEST, Christian F.

- 1978 « Ottawa », *Northeast, Handbook of North American Indians*, vol. 15, Smithsonian Institution, Washington, p. 772-786.

FITZGERALD, William

- 1990 *Chronology to Cultural Process : Lower Great Lakes Archaeology, 1500-1650*, thèse, Department of Anthropology, McGill University, Montreal.

FORTIN, Jean-Claude

- 1999 *La toponymie des Algonquins*, Commission de toponymie du Québec, Québec.

FRENETTE, Jacques

- 1993 « Kitigan zibi anishinabeg, le territoire et les activités économiques des Algonquins de la rivière Désert (Maniwaki), 1850-1950 » dans *Recherches amérindiennes au Québec*, n° 23 (2-3), p. 39-51.

GAGNON, François-Marc, SENIOR, Nancy

- 2011 *The Codex Canadensis and the Writings of Louis Nicolas: The Natural History of the New World / Histoire Naturelle des Indes Occidentales*, Gilcrease museum et McGill-Queen's University Press, Montréal.

GATES ST-PIERRE, Christian

- 2001 « The Melocheville Tradition: Late Middle Woodland Ceramic Production in Southern Quebec » dans J.-L. Pilon, M. Kirby et C. Thériault (dir.); *A Collection of Papers Presented at the 33rd Annual Meeting of the Canadian Archaeological Association*. Ottawa: Ontario Archaeological Society et Canadian Archaeological Association, p. 48-71.
- 2004 « The Middle Woodland Ancestors of the St. Lawrence Iroquoians » dans J.-L. Pilon et J. V. Wright (dir.); *A Passion for the Past: Papers in Honour of James F. Pendergast*. Mercury Series, n° 164. Ottawa: Archaeological Survey of Canada, Canadian Museum of Civilization, p. 395-417.

2016 « Iroquoians in the St. Lawrence River Valley Before European Contact » dans *Ontario Archaeology*, n°96, p. 47-64.

GEOLOGICAL SURVEY of CANADA

1859 *Survey progress 1858*, imprimé par John Lovell, Montréal.

1902 *Annual Report (New Series) Volume XII Reports A , B , C , G, I , J , M, Q, R, S. 1899*, Ottawa.

GRAHAM, E.J.

1940 « Indian Lore of the Rouge District » dans *Vieux temps Stories Lac-Tremblant-Nord, 1915-1990*, Municipalité de Lac-Tremblant-Nord, p. 12-14.

GRAHAM, Joseph

2008 *Nommer les Laurentides, la petite histoire des cantons du Nord*, Main Street, Lachute.

GRAO (Groupe de recherche en archéologie de l'Outaouais)

2015 *Projet d'évaluation et de fouille archéologique publique du site du Portage Deschênes (BiFw-164) et inspection visuelle du complexe industriel de Deschênes (BiFw-170)*, Association des résidents de Deschêne, Gatineau.

2014 *Les fouilles archéologiques de 2013 sur le site de l'Elbow (BjFs-7)*, Parc national de Plaisance.

2013 *Les recherches archéologiques de 2012, Coup d'œil sur 4000 ans d'histoire au parc national de Plaisance*, SÉPAQ, Parc National de Plaisance, vol. 1.

2012 *Les recherches archéologiques et les activités de mise en valeur de 2011 au parc national de Plaisance*, Plaisance, SÉPAQ et MCCCCFQ, vol. 1.

2011 *Inventaire d'un tronçon de la Route Verte contournant une zone humide, dans les limites du parc national de Plaisance*, Plaisance, CLD Papineau.

GRIFFIN, George T.

1832 *Map of the River Rouge from Lower [...] ace to Upper, as also Lake No. Mining* (BAC H3/310/Rouge (R.)/1832).

GUINDON, François

2009 « Iroquoian Pottery at Lake Abitibi: A Case Study of Relationship Between Huron and Algonquians on the Canadian Shield » dans *Canadian Journal of Archaeology/Journal canadien d'archéologie*, vol. 33, p. 65-91.

HARRINGTON, B.J.

1883 *Life of Sir William E. Logan, Kt., first director of the Geological Survey of Canada*, Dawson Brothers Publishers, Montréal.

HAVARD, Gilles

2003 *Empire et métissages : Indiens et Français dans le Pays d'En-Haut, 1660-1715*, Septentrion/Presses de l'Université de Paris-Sorbonne, Sillery/Paris.

1992 *La Grande Paix de Montréal de 1701. Les voies de la diplomatie franco-amérindienne*, RAQ, Montréal.

HEIDENREICH, Conrad

1971 *Huronnia. A History and Geography of the Huron Indians, 1600-1650*, McClelland and Stewart, Toronto.

HENRY, Alexander

1809 *Travels and adventures in Canada and the Indian territories, between the years 1760 and 1776*, L. Riley publisher, New York.

INGALL, Frederick L, NIXON, H and ADAMS, John

1830 « Journal d'une expédition nommée pour explorer l'étendue de Pays située entre la Rivière Saint-Maurice et la rivière Au Lièvre; compilé par le lieutenant Ingall, d'après les notes prises dans le cours du voyage. » dans *Appendice du XXXIX^e volume des Journaux des chambres de l'assemblée de la province du Bas-Canada, Troisième session du Treizième Parlement Provincial, Appendice S.*

INKSETTER, Leila

2017 *Initiative et adaptation algonquine au XIX^e siècle*, Les éditions du Septentrion, Québec.

2015 *Le chef gagne tous les jours de nouveaux sujets : Pouvoir, leadership et organisation sociale chez les Algonquins des lacs Abitibi et Témiscamingue au 19^e siècle*, Thèse de doctorat, université de Montréal.

LAGRANGE, Richard (sous la direction de)

1981 *La Vallée de la Rouge, circuit patrimonial de la Conception au Lac Sagouay*, Société du patrimoine de la vallée de la Rouge.

LAFORTE, Esther

1987 *Inventaire des sites archéologiques sur 12 territoires de la MRC de Papineau*, vol. 1.

LALIBERTÉ, Marcel

2011 « Une technologie lithique particulière dans la vallée centrale de l'Outaouais au Sylvicole moyen » dans *Recherches amérindiennes au Québec*, n° 24, p. 89-102.

2007a *Évaluation d'un site archéologique potentiel au parc national de Plaisance - Corridor de la Route Verte*, Plaisance, Société des établissements de Plein Air (SÉPAQ), 38 p.

2007b *Inventaire archéologique du tracé de la Route Verte dans les limites du parc national de Plaisance*, Plaisance, SÉPAQ et CLD Papineau, 29 p.

- 2009 *Les recherches archéologiques de 2008 sur le site BjFs-10 - Parc National de Plaisance.*
- 2000 *Recherches archéologiques dans le parc du lac-Leamy 1993-1999.*
- 1999 *Un campement de l'Archaique laurentien dans le parc du lac Leamy, bilan des fouilles de 1998 sur le site BiFw-20. Société d'histoire de l'Outaouais.*

LALIBERTÉ, Marcel et LÉVESQUE, France

- 2000 *Les recherches de 1999 sur le site BiFw-20, parc du Lac-Leamy. Écomusée de Hull.*

LALIBERTÉ Marcel, LÉVESQUE France et MILLER André

- 2011 *Les recherches archéologiques de 2010 au parc national de Plaisance, Plaisance, SÉPAQ et MCCCCFQ, Volume 1.*

LAVERDIÈRE, Charles-Honoré (Samuel de Champlain)

- 1870 *Oeuvres de Champlain, Geo.-E. Desbarats, Québec, volume 5 (1632).*
Oeuvres de Champlain, Geo.-E. Desbarats, Québec, volume 4 (1619).
Oeuvres de Champlain, Geo.-E. Desbarats, Québec, volume 3 (1613).
Oeuvres de Champlain, Geo.-E. Desbarats, Québec, volume 2 (1603).
Oeuvres de Champlain, Geo.-E. Desbarats, Québec, volume 1 (1599).

LÉVEILLÉ, Jean-Thomas

- 2019 « Outaouais : inquiétude autour d'un projet de mine de graphite », *La Presse*, 23 juillet.

MCLEAN, John.

- 1849 *Notes of a twenty-five years' service in the Hudson's Bay Territory (vol. 1), Richard Bentley, London.*

MAGNAN, Hormidas

- 1913 *Monographie paroissiales. Esquisses des paroisses de colonisation de la province de Québec, Département de la colonisation, mines et pêcheries, Québec.*

MANN, Evan *et al*

- 2019 *There Were Pots After All: Production and Use of Ceramic Vessels in the Upper Laurentian Region of Québec, Canada. 84rd Annual Meeting of the Society for American Archaeology, Albuquerque, April 10-14.*

MARCOTTE, Guillaume

- 2015 *Un tracé d'une grande valeur, la carte indienne de Cameron et son potentiel ethnohistorique, RAQ, vol. XLV, nos 2-3.*

MAROIS, Roger

1976 *Notes sur le site BIFs-1 et autres, lac Simon*, Ministère de la Culture et des Communications du Québec.

MCNULTY, Gérard E., GILBERT, Louis

1981 « Attikamek (Tête de Boule) » dans J. Helm ed., *Subarctic, Handbook of North American Indians*, vol. 6, Smithsonian Institution, Washington, p. 208-217.

MILMORE, Tatum

2014 *Les Iroquoiens de Droulers/Tsiionhiakwatha et le cristal de quartz*, Udem, Mémoire présenté à la Faculté des arts et des sciences en vue de l'obtention du grade de M. Sc. en anthropologie, Montréal.

MONTIGNY, Benjamin Antoine Testard de

1886 *Colonisation : Le Nord, L'étendard*, Montréal.

1895 *La Colonisation : Le Nord de Montréal ou la région de Labelle*, C.O. Beauchemin et fils, Montréal.

MORRISSONEAU, Christian

1987 « Le rêve matawinien de l'abbé Provost » dans *Société canadienne d'histoire de l'Église catholique*, vol. 54, 1987, p. 55-67.

MNRF (ministère des Ressources naturelles et de la Faune)

2006 *Portrait territorial – Laurentides*, MNRF, Charlesbourg.

NANTEL, Guillaume Alphonse,

1887 *Notre Nord-Ouest provincial, étude sur la vallée de l'Ottawa*, Eusèbe Sénécal & fils, imprimeurs-éditeurs, Montréal.

OBV RPNS (Organisme des bassins versants des rivières Rouge, Petite Nation et Saumon)

2011 *Portrait préliminaire des bassins versants des rivières Rouge, Petite Nation et Saumon*.

OSBORNE, Fitz F.

1935 *Annual Report of the Quebec Bureau of Mines for the Calender Year 1934*. Part E : Labelle-L'Annonciation Map-Area, Bureau of Mines, Québec.

OUELLET, Jean-Christophe, BURKE, Adrian et CHAPDELAIN, Claude (éditeurs)

2017 « Les occupations de la période Archaïque à l'embouchure de la rivière Gatineau. Le site BiFw-172 » dans Burke et Chapdelaine (sous la direction de), *L'Archaïque au Québec : Six millénaires d'histoire amérindienne*, Paléo-Québec, n° 36, Montréal: Recherches amérindiennes au Québec, p. 115-149.

OUTHET, Rickson sr

1990 « History to 1902 » dans *Vieux temps Stories Lac-Tremblant-Nord, 1915-1990*, Municipalité de Lac-Tremblant-Nord, p. 4-9.

PAPINEAU, Amédée (textes réunis par Georges Aubin)

1998 *Souvenirs de Jeunesse (1822-1837)*, Les éditions du Septentrion, Québec.

1998 *Journal d'un fils de la liberté, 1838-1855*, Les éditions du Septentrion, Québec.

PAPINEAU Lactance (textes réunis par Georges Aubin et Renée Blanchet)

2003 *Journal d'un étudiant en Médecine à Paris*, Les éditions du Septentrion, Québec.

PAQUIN, Jean-Guy

2020 *Un endroit appelé le premier côté du monde*, Jean-Guy Paquin éditeur, Chénéville.

2014 *Au Pays des Weskarinis*, Jean-Guy Paquin éditeur, Chénéville.

2011 *Le pays de Canard Blanc*, Jean-Guy Paquin éditeur, Chénéville.

2010 « Sur les traces de Joseph Commandant » dans *Hier encore, revue d'archives, d'histoire et de patrimoine du Centre régional d'archives de l'Outaouais*, n° 2, p. 32-35.

PATRI-ARCH

2016 *Les fermes forestières*, Patrimoine culturel de la MRC d'Antoine-Labelle.

PENDERGAST, James F.

1999 « The Ottawa River Algonquin Bands » dans *Canadian Journal of Archaeology*, n° 23, p. 63-136.

PERROT, Nicolas

1999 *Mémoire sur les mœurs, coutumes et religion des sauvages de l'Amérique septentrionale*, Comeau et Nadeau, Montréal.

PROVOST, Thomas Stanislas

1883 *La Bourse ou la vie, recueil de renseignements utiles et d'informations exactes sur les cantons du nord et en particulier sur le territoire de Mantawa*, Imprimerie du Collège de Joliette, Joliette.

RATELLE, Maurice,

1993 « La localisation des Algonquins de 1534 à 1650 » dans *Recherches amérindiennes au Québec*, n° 23 (2-3), p. 25-38.

RITCHIE, W.A., MACNEISH, R.S.,

1949 «Pre-Iroquoian pottery of the New York State», *American Antiquity*, n° 15, p. 97-123.

RODIER, Renée O., GIROUARD, Francine

1983 *Nominingue 1883-1983 : 100 ans d'histoire, 100 ans de vie*, Comité des fêtes du centenaire de Nominingue, Ste-Anne-de-Bellevue.

ROETS, Michael, ENGELBRECHT, William, HOLLAND John D.

2014 « Gunflints and Musket Balls: Implications for the Occupational History of the Eaton Site and the Niagara Frontier » dans *Northeast Historical Archaeology*, vol. 43, p. 189-204.

RSC (Sœurs de Sainte-Croix et des sept douleurs)

1938 *Un glorieux passé, 50 ans à Nominigüe 1887-88, 1937-38*, Saint-Laurent.

SAVARD, Rémi

1996 *L'Algonquin Tessouat et la fondation de Montréal - diplomatie franco-indienne en Nouvelle-France : essai*, Montréal : L'Hexagone, Collection Essais.

SAVARD, Rémi, HUBERT, Claude

2006 *Algonquins de Trois-Rivières - l'oral au secours de l'écrit, 1600-2005*, Montréal, Recherches amérindiennes au Québec, Collection Signes des Amériques.

SÉPAQ et MCCCCFQ

2010a *Activités archéologiques au parc national de Plaisance (Automne 2009)*, Plaisance, SÉPAQ, 37 p.

2010b *Les ressources archéologiques de la confluence des rivières Petite-Nation et Outaouais – Parc national de Plaisance - Recherche documentaire*, Plaisance, SÉPAQ, 110 p.

SOUCY, Danielle

1995 *La Vallée de la Diable, de la hache aux canons à neige*, Éditions du Peuplier, Saint-Jovite.

SPECK, Frank G.

1915 *Family Hunting Territories and Social life of Various Algonquians Bands of the Ottawa Valley*, Geographical Survey of Canada, Memoir 70, (coll. Anthropological Series 8), Ottawa.

1929 *Boundaries and Hunting Groups of the River Desert Algonquin*, Museum of the American Indian, Heye Foundation, Indian Notes 6:97-120, New York.

TACHÉ, Karine

2008 *Structure and Regional Diversity of the Meadowood Interaction Sphere*. Thèse de doctorat, Département d'archéologie, Simon Fraser University, Burnaby.

TACHÉ, Karine, LAMOTHE, Francis

2021 *Inventaire archéologiques 2020 au Petit lac Nominigüe (sites CcFs-5 et CcFs-2), et au Grand lac Nominigüe (sites CcFr-1, CcFr5, CcFr-6, CcFr-7 et CcFr-8)*, Rapport soumis aux Gardiens du patrimoine archéologique et au Ministère de la Culture et des Communications du Québec, Québec.

- 2020 *Fouilles et inventaires archéologiques 2019 sur la rivière du Lièvre (sites CcFv-1, CcFv-2, CcFv-3 et CcFu-1), au Grand lac Nominingue (sites CcFr-1 et CcFr-4), et au lac des Seize-Îles, Rapport soumis aux Gardiens du patrimoine archéologique et au Ministère de la Culture et des Communications du Québec, Québec.*
- 2019 *Inventaire archéologiques 2018 sur la rivière du Lièvre, secteur du Wabassee (sites CcFv-1, CcFv-2 et CcFu-1), municipalité de Lac-du-Cerf, MRC Antoine-Labelle et fouilles archéologiques 2018 au Grand lac Nominingue (sites CcFr-1 et CcFr-3, municipalité de Nominingue, MRC Antoine-Labelle, Rapport soumis aux Gardiens du patrimoine archéologique et au Ministère de la Culture et des Communications du Québec, Québec.*
- 2018 *Fouille et inventaire archéologiques 2017 au Grand lac Nominingue (sites CcFr-1 et CcFr-3), Municipalité de Nominingue, MRC Antoine-Labelle, Rapport soumis aux Gardiens du patrimoine archéologique et au Ministère de la Culture et des Communications du Québec, Québec.*
- 2017 *Inventaire archéologique 2016 au Petit lac Nominingue (sites CcFs-1 et CcFs-4), au Grand lac Nominingue (site CcFr-1) et sur la rivière Rouge (site CcFr-2), Municipalités de Nominingue et de Rivière-Rouge, MRC Antoine-Labelle, Rapport soumis aux Gardiens du patrimoine archéologique et au Ministère de la Culture et des Communications du Québec, Québec.*
- 2016 *Inventaire archéologique 2015 à la pointe Monseigneur (site CcFs-2), Petit lac Nominingue, Municipalité de Nominingue, MRC Antoine-Labelle. Rapport soumis aux Gardiens du patrimoine archéologique et au Ministère de la Culture et des Communications du Québec, Québec.*

TOOKER, Elisabeth

- 1987 *Ethnographie des Hurons, 1615-1649, Recherches amérindiennes au Québec, Montréal.*

TREMBLAY, Roland

- 2006 *Les Iroquoiens du Saint-Laurent, Les Éditions de l'homme, Montréal.*
- 2005 « Un petit soupçon dans la Petite Nation: la découverte d'une pierre aviforme en Outaouais » dans *Archéologiques*, n° 18, p. 59-70.

TREYVAUD, Geneviève

- 2011 *Prospection et intervention archéologique dans la municipalité de Nominingue, MRC Antoine Labelle 2011. Rapport soumis aux Gardiens du patrimoine archéologique et au Ministère de la Culture, des Communications et de la Condition féminine du Québec, Québec.*
- 2012 *Rapport d'interventions archéologiques au site CcFs-2 et au Domaine des Beaubien. Rapport soumis aux Gardiens du patrimoine archéologique et au Ministère de la Culture, des Communications et de la Condition féminine du Québec, Québec.*

TRIGGER, Bruce G.

1991 *Les enfants d'Aataentsic, l'histoire du peuple Huron*, Libre expression, Montréal.

1990 *Les Indiens, la fourrure et les Blancs : Français et Amérindiens en Amérique du Nord*, Boréal et Seuil, Montréal et Paris.

THOMAS, Cyrus

1896 *History of the counties of Argenteuil, Que. and Prescott, Ont., from the earliest settlement to the present*, John Lovell & son, Montréal.

TRUDEL, Marcel

1965 « La rencontre des cultures » dans *Revue d'histoire de l'Amérique française*, vol. 18, n° 4, p. 477-516.

VIAU, Roland

2000 *Enfants du néant et mangeurs d'âmes*, Boréal, Montréal.

1993 « Les dieux de la terre: histoire des Algonquins de l'Outaouais, 1600-1650 » dans Marc Côté et Gaétan L. Lessard éd., *Traces du passé, Images du présent, Anthropologie amérindienne du Moyen-nord québécois*, Cégep-Éditeur, Rouyn-Noranda, p. 109-132.

VOORHIS, Ernest

1930 *Historic forts and trading posts of the French regime and of the English fur trading companies*, Department of Interior, National Development Bureau, Ottawa.

WRIGHT, J.V.,

1972 *The Shiel Archaic*, Vol. 3, Musées nationaux du Canada.

Carnets, iconographie et plans anciens

ANONYME (Province de Québec éditeur)

1830 *Geological map, Illustrative of the St. Maurice country*. (BAnQ G/3451/C5/1830/G46 CAR)

ALLBRIGHT, George N.

1856 *Carnet M42, Canton de Montcalm* (BAnQ E21,S60,SS3,PM42)

ALLEN, Samuel

1865 *Plan of the Township of Dudley* (BAnQ E21,S555,SS1,SSS1,PD.23)

BOURGEOIS, John

1917 *Canton Dudley. Comté Labelle. Plan indiquant par une teinte rouge les lignes tracées et renouvelées par le soussigné*. (BAnQ E21,S555,SS1,SSS1,PD.23A)

CHAMPLAIN, Samuel de

1632 *Carte de la Nouvelle France, augmentée depuis la dernière, servant à la navigation faite en son vray meridien, par le Sr. de Champlain capitaine pour le Roy en la Marine lequel depuis l'an 1603 jusques en l'année 1629 ; a descouvert plusieurs costes, terres, lacs, rivières et nations de sauvages, par cy devant incognuës, comme il se voit en ses relations quil a faict imprimer en 1632, ou il se voit cette marque ... ce sont habitations qu'ont faict les François, Carte extraite de: Les voyages de la Nouvelle France occidentale, dicte Canada, faits par le Sr de Champlain, Paris : chez Louis Sevestre, 1632 (Copie BAnQ G/3400/1632/C43 CAR)*

ÉCUYER, Benjamin J.,

1803 *Carnet W41, Canton de Wentworth. (BAnQ E21, S60, SS3, PW41)*

FONDS JAMES MACLAREN COMPANY

1915 *Plan of Wabasse Farm Compiled from Townships Maps, BAnQ P117, S2, P10.01.01*

GAUVIN, C. E, GENEST, P.M.A

1882 *Carte régionale de la province de Québec comprenant les comtés de St. Maurice, Maskinongé, Berthier, Joliette, Montcalm, L'Assomption, Jacques-Cartier, Hochelaga, Laval, Terrebonne, Soulanges, Vaudreuil, Deux-Montagnes, Argenteuil et Ottawa, Québec, Département des Terres de la Couronne. (BAnQ G 3450 s253 C37 2 1882 DCA)*

KAKIDJOUENNE, Paul

1810 *Plan des eaux de la Nation du Nord, (peut-être une copie non datée de Denis-Benjamin Papineau, avant 1880), Fonds famille Joseph Papineau. (BAnQ, P417,S55,P17)*

1810 *Plan des eaux à la Nation du Nord, calque réalisé en 1891 par Benjamin-Nicolas Papineau, à partir de la copie de Denis Benjamin Papineau, Comité des affaires culturelles Papineauville-Sainte-Angélique.*

LAROCHE, William-Patrick

1952 *Canton de Bouthillier. Comté de Labelle. (BAnQ E21,S555,SS1,SSS1,PB.25E)*

LOGAN, William E.

1852-1863 *Explorations of Laurentian Rocks, Atlas, 177 feuillets (BAC RG45M 83403-21; D_VI_1947)*

MCARTHUR, James

1866 *Carnet B59, Canton de Bouthillier (BAnQ E21, S60, SS3, PB59)*

MORENCY, Georges E.

1922 *Cantons Bouthillier, Kensington, Aumont, Robertson et Wabasse, comtés de Labelle et de Hull. (BAnQ E21,S555,SS1,SSS1,PK.2D)*

O'SULLIVAN, Patrick

1915 *Canton Wabassee. Île Longue. Cté. de Labelle. Plan du lotissement de l'île Longue fait par le soussigné.* (BAnQ E21,S555,SS1,SSS1,PW.1B)

QUINN, Owen

1833 *Carnet W11, Canton de Wentworth.* (BAnQ E21,S60,SS3,PW11)

1834 *Carnet H1, Canton de Harrington.* (BAnQ E21,S60,SS3,PH1)

1847 *Carnet M020 Canton de Morin.* (BAnQ E21,S60,SS3,PM20)

1848 *Carnet M16 Canton de Morin.* (BAnQ E21,S60,SS3,PM16)

QUINN, Thomas C.

1871 *Carnet M78, Canton de Montcalm* (BAnQ E21,S60,SS3,PM78)

RAINBOTH, Edward J.

1900 *Carnet B113, Canton de Bouthillier* (BAnQ 03Q E21 S60 SS3 PB113)

1904 *Township of Wabassee. County of Ottawa. Surveyed under instructions from the Department of Lands Mines & Fisheries, Quebec dated February 13th 1902 & September 11th 1903.* (BAnQ E21,S555,SS1,SSS1,PW.1A)

RAUSCHER Rodolf

1867 *Township of Wabassee.* (BAnQ E21,S555,SS1,SSS1,PW.1)

ROY, Jean-Marie

1923 *Bouthillier et Kiamika. Comté de Labelle. Plan montrant le renouvellement d'arpentage dans ces cantons par le soussigné.* (BAnQ E21,S555,SS1,SSS1,PB.25C)

SANSON, Nicolas

1656 *Le Canada, ou Nouvelle-France, Paris, chez Pierre Mariette.* (BAnQ G/3400/1656/S35 DCA)

SINCLAIR, Duncan

1864-1866 *Carnet 57, Rivière Rouge,* (BAnQ, E21,S60,SS2,P57)

1865 *Plan of the River-Rouge in the County of Ottawa.* (BAnQ, plans 5318, 5318A1 et 5318A2)

WELLS, Alphonse

1846 *Partie de la rivière du Lièvre, Division no. 4* (BAnQ E21,S555,SS1,SSS18,P37C.4)

Rivière du Lièvre, Dudley (BAnQ, E21,S555,SS1,SSS18,p37C.8)

1847 *Carnet 29, Rivière du Lièvre* (BAnQ E21,S60,SS2,P29)

1847 *Rough plan of River du Lièvre* (BAnQ O3Q E21,S555,SS1,SSS27,P115A)

Sources électroniques

Alliances et descendance des familles algonquiennes de la Petite-Nation et de la Rouge

<http://www.weskarini.ca/>

Archives de Montréal

<http://archivesdemontreal.com>

Bibliothèque et archives nationales du Québec

<http://www.BAnQ.qc.ca>

Bibliothèque et archives Canada

<http://www.bac-lac.gc.ca>

Canadiana en ligne

<http://www.canadiana.ca>

Dictionnaire biographique du Canada

<http://www.biographi.ca/fr>

Encyclopédie canadienne

<https://www.thecanadianencyclopedia.ca/fr>

Généalogie du Québec et de l'Amérique française

<https://www.nosorigines.qc.ca/genealogie.aspx?lng=fr>

Histoire forestière de l'Outaouais

<http://www.histoireforestiereoutaouais.ca>

Internet Archives

<https://archive.org>

Ministère des Ressources du Canada

<https://www.rncan.gc.ca/cartes-outils-et-publications/imagerie-satellitaire-et-photos-aeriennes/photos-aeriennes/22031>

Municipalité de Saint-Aimé-du-lac-des-îles

<https://www.saint-aimé-du-lac-des-îles.ca/secteur-ferme-rouge-et-wabasse>

Sur les traces de Pekuakamiulnuatsh

<https://www.surlestracesilnu.ca/>

Vidéanthrop Inc.

<http://videanthrop.qc.ca/>

Autres sources

Collection d'archives Greg Piasetzki

Annexes

- Annexe A : Collection céramique du site CcFr-1
- Annexe B : Analyse et référentiel lithique
- Annexe C : Inventaire des artefacts
- Annexe D : Catalogue des photographies

Annexe A Collection céramique du site CcFr-1
(ruisseau Jourdain)

La collection céramique du site CcFr-1 (ruisseau Jourdain)

Au total, 786 tessons de céramique autochtone ont été recueillis au cours de l'intervention de l'été 2021 sur le site du ruisseau Jourdain (CcFr-1). En y ajoutant les 590 tessons recueillis lors des interventions précédentes (2016-2020), la collection de ce site comprend maintenant 1 376 tessons de céramique. Cette augmentation significative du nombre de tessons est liée à l'ampleur de l'intervention de 2021 et, surtout, à la densité artéfactuelle de la zone ciblée. Le replat situé tout juste au sommet de l'ancien talus menant à la plage est effectivement d'un grand intérêt archéologique (Taché et Lamothe 2021 : 78), puisqu'il a manifestement été occupé par des groupes autochtones du Sylvicole qui utilisaient et qui, selon toute vraisemblance, fabriquaient leur propre poterie.

La récolte de 2021 compte 28 tessons de bord, dont 25 décorés et 3 non décorés, et 758 tessons de corps, dont 235 décorés et 523 non décorés. Rappelons qu'un tesson de bord est un tesson où au moins une partie de la lèvre est intacte et que le corps d'un vase inclut tous les autres tessons sans lèvre, c'est-à-dire les tessons de col, de panse et de base. Parmi les tessons de corps non décorés, la majorité sont des fragments relativement petits ($\leq 2 \text{ cm}^2$). En fait, de manière générale, la collection de 2021 présente un taux de fragmentation élevé, la plupart des tessons ayant une superficie inférieure ou égale à 7 cm^2 . D'ailleurs, les unités de vase identifiées cette année sont composées de tessons qui ont souvent été mis au jour dans des puits différents et à des profondeurs variées dans le sol, une conséquence de divers phénomènes taphonomiques qui ont affecté la formation du tissu archéologique jusqu'à aujourd'hui. L'activité d'animaux fouisseurs, l'activité racinaire, les chablis et les travaux d'aménagements sont des exemples d'événements qui ont eu une incidence sur la distribution artéfactuelle dans cette partie du site. Aussi n'est-il pas superflu de rappeler que les dépôts archéologiques du site ont eux-mêmes déjà été des dépôts de surface assujettis à leur propre lot de perturbations. Le remontage de fragments de vases en céramique est donc un exercice utile pour comprendre certains modes de dispersion des vestiges sur un site (Laliberté 1995). Il sera pertinent d'étudier cette question en plus grande profondeur lorsque les puits en quinconce évités en 2021 auront également été fouillés, car il sera alors possible d'avoir une meilleure vue d'ensemble de la dissémination artéfactuelle. Le Tableau 1 montre la provenance des tessons et des unités de vase identifiées en 2021.

Tableau 1 Provenance des tessons et des unités de vase identifiées dans la zone d'intervention de 2021 sur le site CcFr-1

Provenance		Bords	Corps		Total	Unités de vase
			Décorés	Non décorés		
J46			1		1	
J48				1	1	
J50				1	1	
J51				1	1	
50N-102E	NE	2	20	58	80	#17
	NW	3	14	41	58	#19, RdeP
	SE	1	15	62	78	#22, RdeP
	SW		4	25	29	
50N-104E	NE			1	1	
	NW	1	10	15	26	#11, #20
	SE		3	3	6	
	SW		5	11	16	#11
50N-106E	NE	2	6	8	16	#9
	NW		2	5	7	#9
	SE	1	8	6	15	#9
	SW		4	3	7	#9
51N-103E	NE	3	7	17	27	#11, #17, #21
	NW	1	11	33	45	#10, #17, #18
	SE	2	8	22	32	#11, RdeP
	SW	7	18	52	77	#11, #18, #21, #22
	NE+SE		2		2	
51N-105E	NE		2	15	17	
	NW		2	8	10	
	SE			8	8	
	SW		1	7	8	
52N-102E	NE	1	6	4	11	#11
	NW		8	8	16	#11
	SE	1	20	22	43	#10, #11
	SW	2	17	36	55	#11, #21
	?			2	2	
52N-104E	NE		5	7	12	
	NW	1	3	8	12	
	SE					
	SW		2	5	7	#11
	?		2	1	3	#17
52N-106E	NE		20	21	41	#9
	NW		1	1	2	
	SE		6		6	
	SW					
	?			2	2	
Aire de fouilles 2021			2	3	5	
TOTAL		28	235	523	786	

La répartition des 30 tessons qui composent l'unité de vase 11 illustre bien le fait que les contextes archéologiques dans l'aire de fouilles de 2021 ont été mélangés et dispersés à travers le temps, de sorte qu'ils nous apparaissent maintenant comme un palimpseste d'occupations. Si le remontage est correct, des fragments du vase 11 se trouvent dans cinq puits différents qui délimitent une zone d'étalement maximal d'environ 6 m dans l'axe nord-sud sur 3 m dans l'axe est-ouest. Le Tableau 2 met en évidence la zone de concentration principale des tessons dans les puits 51N-103E et 52N-102E. Celle-ci pourrait correspondre à l'endroit où le vase 11 a été abandonné. La distribution verticale des tessons est également significative. Bien que la surface actuelle du sol ne soit pas un point de référence équivalent pour tous les puits dans cette aire, il est clair que les tessons du vase 11 ont été dispersés à des profondeurs variées. Certains événements ont sans doute fait remonter des tessons vers la surface. D'autres, comme le remblayage de la profonde cuvette identifiée dans la moitié ouest du puits 50N-104E, ont fait descendre des tessons dans la colonne du sol. À ce sujet, en tenant uniquement compte de la chronotypologie associée à la céramique, la date la plus ancienne qui puisse être associée au remblayage de cette cuvette est de ± 500 EC, c'est-à-dire le début du Sylvicole moyen tardif, la période pendant laquelle le vase 11 a vraisemblablement été fabriqué.

Tableau 2 Répartition des tessons de l'unité de vase 11

Provenance	Profondeur (cm)*	Nb. tesson(s)	Total
50N-104E	67-71	2	2
51N-103E	0-10	2	17
	0-20	5	
	10-20	3	
	20-30	7	
52N-102E	0-10	1	8
	10-20	2	
	20-23	1	
	20-34	3	
	18-40	1	
52N-104E	20-30	1	1
55N-104E	34-36	2	2

* Profondeur en cm par rapport à la surface du sol

En reprenant l'exercice amorcé avec les collections de 2016 à 2020, soit une analyse des attributs relatifs à la préparation de la pâte, au façonnage, à la morphologie, à la décoration « proprement dite »¹ et à l'utilisation de l'ensemble des fragments de vases recueillis en 2021, nous avons identifié six nouvelles unités de vase (numérotées de 17 à 22) et associé de nouveaux tessons aux unités de vase 9, 10 et 11 (Planche 1, Tableau 4). Plusieurs tessons de

¹ La valeur esthétique d'un vase est subjective et ne se limite donc pas nécessairement au décor. L'expression « décoration proprement dite » est employée par Christian Gates St-Pierre (2006 : 102-103) par souci de « ne pas exclure la valeur esthétique potentielle de certains attributs morphologiques ou décoratifs tels que les parements, les crestellations ou les traitements de surface ».

bord et de corps présentent par ailleurs des similarités avec une unité de vase connue ou nouvelle, mais la prudence est de mise en attendant que de nouvelles pièces viennent s'ajouter au casse-tête.

Plusieurs outils décoratifs hypothétiques sont reconstitués dans l'analyse qui suit à partir des traces qu'ils ont laissées sur certains tessons. Ces reconstitutions devraient être éprouvées de manière expérimentale. L'expérimentation nous permettrait sans doute d'approfondir notre compréhension de la chaîne d'opérations qui structure la fabrication d'un vase et d'ajouter à notre liste d'attributs analysés (Tableau 3). Par exemple, il serait pertinent d'évaluer s'il est possible de déduire la main dominante de la personne qui manipule un outil décoratif. À l'instar de William Hurley (1979), il serait également utile de développer une approche expérimentale à l'analyse des empreintes cordées. Puisqu'elles représentent effectivement l'unique vestige d'une industrie étroitement liée à celle de la poterie pendant certaines sous-périodes du Sylvicole – soit la fabrication de cordes et de tissus –, ces traces nous offrent l'opportunité de pousser l'analyse technologique (au sens large) encore plus loin. En détaillant et en croisant les savoirs techniques qu'une personne met en œuvre, nous parvenons à la connaître davantage.

Tableau 3 Attributs analysés relatifs à la fabrication et à l'utilisation d'un vase en céramique

Étape dans la chaîne opératoire	Attribut
Préparation de la pâte	présence d'inclusions
	forme des inclusions
	grosseur des inclusions
	proportion des inclusions dans la pâte
Façonnage	intégrité
	traces de détérioration
	traitement de surface
	scarification
Mise en forme (morphologie)	forme de la lèvre
	épaisseur de la lèvre
	diamètre d'ouverture
	volume
	forme de la crestellation
	forme de l'ourlure
	forme du parement
	dimensions du parement
	forme du col
	forme de l'épaule
	forme de la panse
	épaisseur de la paroi
forme de la base	
Décoration	présence de décoration
	unité décorative
	dimensions de l'unité décorative
	technique d'application de l'unité décorative
	type de registre
	motif
	sens de torsion de la cordelette
	degré de torsion de la cordelette
état de la pâte lors de l'incision	
Cuisson	couleur
Usage	résidus carbonisés (croûte)
	suie
	traces d'usure
	trou de réparation

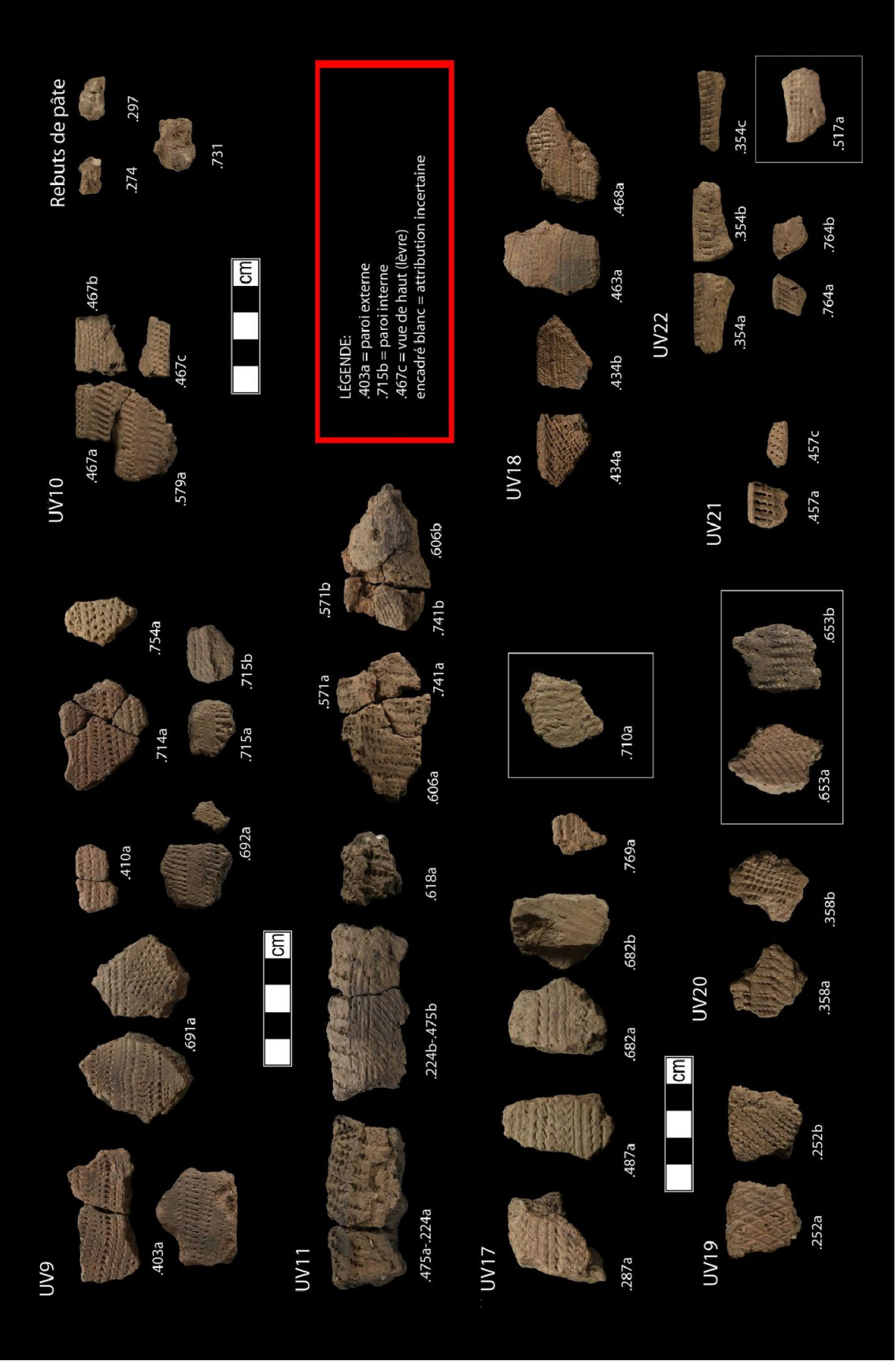


Planche 1 Unités de vase identifiées en 2021 sur le site CcFr-1 (photographies Adrien Cesario, infographie Francis Lamothe)

Tableau 4 Composition des unités de vase identifiées en 2021 sur le site CcFr-1

Unité de vase	Nb. tessons(s)	Année(s)	No. catalogue	Datation approximative*
9	19	2017, 2021	63, 68, 392, 403, 410, 691, 692, 714, 715, 754	SMA
10	9	2017, 2020, 2021	57, 58, 64, 218-2, 442, 467, 579	SMT
11	30	2018, 2020, 2021	96, 97, 218-1, 224, 359, 371, 453, 455, 456, 461, 473, 474, 475, 479, 562, 566, 571, 606, 618, 663, 719, 741, 762, 773, 778	SMT
17	4	2021	287, 487, 682, 769	SMT
18	4	2021	434, 443, 445, 468	SMT ou SSA
19	1	2021	252	SMT
20	1	2021	358	SMT
21	4	2020, 2021	218-3, 457, 619, 766	SMA ou SMT
22	2	2021	354, 764	SMT
Rebuts de pâte	4	2018, 2021	2018-1, 274, 297, 731	-

* Abréviations : SMA (Sylvicole moyen ancien), SMT (Sylvicole moyen tardif), SSA (Sylvicole supérieur ancien)

Unités de vase connues

Vase 9 (Planche 1, Figures 2 et 3)

N^{os} de catalogue : 63, 68, 392, 403, 410, 691, 692, 714, 715, 754

Provenance des tessons de 2017 : 48N-107E (NE), 51N-107E (SE)

Provenance des tessons de 2021 : 50N-106E (NE, NW, SE, SW), 52N-106E (NE)

14 cols, 5 panses

L'unité de vase 9 a été identifiée en 2017 à partir de deux tessons de col provenant des puits 48N-107E (aire A) et 51N-107 (aire B) dans le cadre d'une fouille de sauvetage pendant des travaux d'essouchement. La présence d'impressions ondulantes fines repoussées à la verticale et disposées en bandes horizontales sur ces tessons indique qu'il pourrait s'agir d'une production du Sylvicole moyen ancien (de ± 400 AEC à ± 500 EC). Une analyse de résidus lipidiques a permis d'interpréter la présence de matière grasse d'animal ruminant dans les pores du contenant (Taché et Lamothe 2019).

Lors de l'intervention de 2021, 12 tessons de col et 5 tessons de panse appartenant vraisemblablement au même vase ont été recueillis. La zone d'étalement maximal des fragments du vase 9 couvre actuellement une superficie d'environ 4,5 m dans l'axe nord-sud sur 2 m dans l'axe est-ouest (Figure 1).

UV10 UV11 UV21 Total tessons= 127 <small>S2N102E</small>		UV11 UV17 Total tessons= 34 <small>S2N104E</small>		UV9 Total tessons = 51 <small>S2N106E</small>	
	<small>S1N103E</small> UV10 UV18 UV11 UV21 UV17 UV22 Rebuts de pâte Total tessons= 188		<small>S1N105E</small> Total tessons = 43		UV6 UV8 UV9 UV10 Total tessons = 59 <small>S1N107E (2017)</small>
UV17 UV19 UV22 Rebuts de pâte Total tessons= 245 <small>S0N102E</small>		UV11 UV20 Total tessons = 49 <small>S0N104E</small>		UV9 Total tessons = 45 <small>S0N106E</small>	
				UV7 Total tessons = 18 <small>49N106E (2017)</small>	UV7 Total tessons = 15 <small>49N107E (2017)</small>
				UV7 Total tessons = 4 <small>48N106E (2017)</small>	UV9 Total tessons = 1 <small>48N107E (2017)</small>

Figure 1 Distribution spatiale des unités de vase identifiées et quantification des assemblages

Ces nouveaux tessons nous permettent de dresser un meilleur portrait de la fabrication et de l'utilisation du vase. Pendant la préparation de sa pâte, la potière² du vase 9 a probablement broyé des fragments de roches à l'aide d'un pilon et mortier et les y a ajoutés, ce dont témoigne la forme angulaire des inclusions minérales dans la matrice et leur petite taille (diamètre $\leq 2,5$ mm), qui suggère un tri granulométrique préalable (Rice 1987 : 410). Le tesson no. 68, dont la pâte a été échantillonnée pour l'analyse de résidus lipidiques, nous offre l'opportunité d'observer la composition interne de la matrice et d'estimer la proportion des inclusions de manière plus fiable qu'en observant uniquement les cassures du tesson. La

² Le terme « potière » est employé à titre épïcène. Bien que certains passages dans littérature ethnohistorique du début du XVII^e siècle nous laissent croire que la production céramique est une activité féminine, il n'est pas exclu que des individus d'autres identités de genre (masculin, bispirituel ou autre) aient pu fabriquer la poterie du site CcFr-1. Il n'est également pas exclu que plusieurs individus aient pu participer à la fabrication du même vase. D'un point de vue ethnologique, plusieurs peuples autochtones du Nord-Est américain ont des normes de genre qui se distinguent de celles de cultures allochtones. Imposer *a priori* une certaine vision genrée dans l'interprétation archéologique constitue une projection ethnocentrique.

proportion des inclusions y est d'environ 15 % à 20 %, ce qui reflète bien l'expérience de la potière, puisque, « en général, l'adjonction de dégraissant ne dépasse pas 20 %, une proportion plus élevée risquant de fragiliser le récipient » (Roux et Courty 2017 : 54).

La séquence de façonnage d'un vase peut être plus difficile à discerner avec un examen visuel qu'avec l'imagerie radiographique (St. John 2020). Cette méthode archéométrique met toutefois en évidence le fait que les cassures, les fissures et autres traces de détérioration sur un tessou en céramique ont tendance à suivre les vides entre deux ou plusieurs couches d'argile appliquées les unes sur les autres lors du façonnage, car ces points de jonction représentent des faiblesses structurales. Dans le cas du vase 9, il semble que le col a d'abord été monté par colombine, ce dont témoigne la cassure horizontale du tessou no. 403 et la forme rectangulaire de la bande d'argile qui est visible sur sa paroi interne (Figure 3). Le fait que la paroi externe se prolonge au-dessus de cette bande et que, sur plusieurs autres tessous, la paroi externe semble si compacte qu'elle a l'apparence d'une couche d'argile distincte suggère que la paroi externe a été traitée à l'aide de la technique du battoir et de l'enclume avant d'être lissée et décorée. Selon Owen Rye (1981 : 84-85), l'un des attributs qui permet de reconnaître cette technique est la présence de fractures lamellaires sur le contour d'un tessou (*laminar sherd-edge fracture*). La paroi interne du vase 9, elle, porte des traces parallèles et verticales de scarification (tesson no. 691) et présente une surface lisse (Figure 3). Notons aussi que l'épaisseur de la paroi du vase est constante au niveau du col et de la panse (entre environ 6,5 mm et 8 mm). Le col est légèrement étranglé et l'épaule est arrondie.

En partant du haut du col vers le bas, voici la séquence décorative connue sur la paroi externe du vase 9 : (1) une ligne horizontale d'empreintes dentelées pointues sigillées ou légèrement repoussées suivie d'une bande vide d'environ 4 mm de largeur et d'une bande horizontale d'empreintes ondulantes repoussées vers le bas (tesson no. 715); (2) une bande horizontale d'empreintes ondulantes repoussées vers le haut et dont les terminaisons rejoignent celles des empreintes de la bande supérieure côte à côte et de manière légèrement décalée suivie d'une bande vide d'environ 2,5 mm de largeur, d'une ligne d'empreintes dentelées pointues sigillées ou légèrement repoussées et d'une ligne d'empreintes dentelées pointues repoussées (tesson no. 692); (3) une répétition de deux bandes d'empreintes ondulantes décalées et repoussées en sens opposés à la verticale, d'une bande vide d'environ 2,5 mm de largeur et de deux lignes d'empreintes dentelées pointues légèrement repoussées (tesson no. 403); (4) une troisième série d'empreintes ondulantes suivie d'une ligne d'empreintes dentelées pointues sigillées, d'une ligne d'empreintes dentelées quadrangulaires en forme de « D » et repoussées vers la droite et de deux autres lignes d'empreintes dentelées quadrangulaires repoussées (tessous jointifs no. 403); (5) un champ d'empreintes dentelées quadrangulaires obliques à droite appliquées avec un effet basculant sous l'épaule du vase (tesson no. 691). Plusieurs tessous de corps (p. ex. tessous no. 777) retrouvés dans les mêmes contextes que les tessous de l'unité de vase 9 présentent des empreintes dentelées quadrangulaires à effet basculant. Ils pourraient éventuellement être associés au vase 9 si nous arrivons à démontrer que ce type d'empreinte lui est spécifique dans cette portion du site. La paroi interne du vase est décorée d'un minimum de cinq horizontales d'empreintes dentelées quadrangulaires repoussées (tesson no. 715). Ce décor est confiné dans le haut du col. Quatre tessous de

bord (no. 400, 712, 763 et 768) portent un décor similaire sur leur paroi interne, mais leur paroi externe est érodée ou exfoliée, ce qui nous empêche de confirmer leur association à l'unité de vase 9. Ils ont tous une lèvre d'environ 4 mm à 5 mm d'épaisseur qui est décorée d'empreintes ondulantes verticales. L'ensemble des traces décoratives du vase 9 a probablement été réalisé avec le même outil dentelé. Puisque toutes les empreintes dentelées pointues et ondulantes sont larges d'environ 1 mm et espacées d'environ 1 mm, et puisque la hauteur maximale des empreintes dentelées quadrangulaires est d'environ 2 mm, nous pouvons imaginer que l'outil décoratif utilisé est une sorte de peigne composé de dents très fines qui mesurent 1 mm sur 2 mm et qui sont espacées d'environ 1 mm. Il va sans dire que cet instrument est une œuvre en soi et que l'un des intérêts d'étudier la céramique autochtone est d'arriver à reconstituer le coffre à outils de la potière, c'est-à-dire les technologies et les savoirs connexes à la fabrication d'un pot en terre.

Quelques traces subsistent de l'utilisation du vase 9. Des résidus carbonisés adhèrent encore à la paroi interne du tesson no. 691 et plusieurs tessons sont couverts de suie sur leur paroi interne et/ou externe. Il semble aussi que la paroi interne des tessons no. 714 portent des traces d'usure (Figure 2). Les stries qui la traversent ne sont probablement pas des scarifications puisqu'elles ne sont ni parallèles, ni orientées à la verticale comme celles sur le tesson no. 691 (Figure 3). Si l'on se fie au corpus de données expérimentales de James Skibo (1992 : 132) sur les traces d'usure, il apparaît que ces stries pourraient très bien résulter du nettoyage de la paroi interne du vase à l'aide d'une matière abrasive comme le sable sur le rivage d'un lac. Peut-être a-t-on voulu ôter les résidus carbonisés adhérant à la paroi avant de réutiliser le vase ? Cette trace suggère que le vase 9 a été utilisé plus d'une fois.



Figure 2 Stries et traces d'usure sur la paroi interne des tessons no. 714 du vase 9 (photographie et infographie Adrien Cesario)



Figure 3 Paroi interne du tesson no. 403, fractures lamellaires et scarifications sur le tesson no. 691 du vase 9 (photographies et infographie Adrien Cesario)

Vase 10 (Planche 1, Figure 4)

N^{os} de catalogue : 57, 58, 64, 218-2, 442, 467, 579

Provenance des tessons de 2017 : 51N-107E (NE, SE, SW)

Provenance du tesson de 2020 : Souche 1

Provenance des tessons de 2021 : 51N-103E (NW), 52N-102E (SE)

1 bord, 8 cols

L'unité de vase 10 a été identifiée en 2017 à partir de quatre tessons de col trouvés dans le puits 51N-107E (aire B) dans le cadre d'une fouille de sauvetage pendant des travaux d'essouchement. La présence de cassures au colombin, d'empreintes cordées fines et d'une perforation interprétée comme une ponctuation à bosse intérieure nous portait à croire que ce vase est une production du Sylvicole moyen tardif (de ± 500 EC à ± 1000 EC) de la tradition Melocheville. Une analyse de résidus lipidiques a permis d'interpréter la présence d'huile végétale dans les pores du contenant (Taché et Lamothe 2019).

Aujourd'hui, l'affiliation de la potière du vase 10 à la tradition Melocheville est mise en doute. Puisque la perforation traverse complètement la paroi du vase, qu'aucun relèvement décisif n'est perceptible sur la paroi interne et qu'aucun autre tesson de col ne présente une ponctuation à bosse (notamment le tesson no. 57 qui est jointif à l'un des tessons perforés), il est possible que cette perforation soit plutôt un trou de réparation, comme celui du vase 2 (Taché et Lamothe 2019).

Lors de l'intervention de 2021, 1 tesson de bord et 2 tessons de col appartenant au vase 10 ont été recueillis. Un retour dans les collections céramiques d'années antérieures a permis d'ajouter à l'unité de vase les tessons no. 57 (2017) et 218-2 (2020). La zone d'étalement maximal des fragments du vase 10 couvre actuellement une superficie d'environ 2 m dans l'axe nord-sud sur 6 m dans l'axe est-ouest (Figure 1).

L'unité de vase 10 contient des inclusions minérales angulaires relativement grosses (jusqu'à 9 mm de diamètre) et dispersées les unes des autres dans la matrice selon ce que l'on peut observer sur les cassures des tessons. Le profil de la partie supérieure du vase se caractérise par une lèvre plate et biseauté vers l'extérieur, un bord éversé et un col droit. La lèvre et le col du vase ont une épaisseur d'environ 7 mm à 8 mm. Les parois du vase ont été lissées avant d'être décorées. La paroi interne de deux tessons (no. 218-2 et 442) est couverte de résidus carbonisés.

La décoration du vase 10 a probablement été réalisée à l'aide d'un seul outil : une tige à cordelette (*cord-wrapped stick*). Sur la paroi externe du vase, des empreintes cordées verticales ou légèrement obliques à gauche sont appliquées en bandes horizontales d'environ 8,5 mm de largeur qui sont plus ou moins bien délimitées par des bandes vides larges de 1 mm à 2 mm. À la base de chaque bande d'empreintes se trouve une ligne d'empreintes qui, parce qu'elle est légèrement décalée, semble avoir été appliquée à l'horizontale après l'application des empreintes cordées verticales. Sur la bande vide du tesson no. 579 se trouvent de petites

empreintes linéaires verticales qui vont rejoindre la bande supérieure d'empreintes cordées. L'ensemble de ces traces (Figure 4) forme un décor qui est comparable à celui produit par la corde no. 252 (Figure 5) dans le manuel de référence de Hurley (1979 : 100-101). Cette corde est enroulée autour d'une tige fendue (*split stick*) qui permet de la maintenir en place sans que le nœud ne paraisse lorsque la surface applicable de l'instrument est imprimée sur la paroi du vase. Chaque révolution de corde est ensuite elle-même enroulée de corde en suivant l'axe longitudinal de la tige de manière à créer une ligne de corde segmentée qui est perpendiculaire aux révolutions transversales. Cette ligne de corde est en relief par rapport aux révolutions transversales. Ainsi, lorsque la tige est roulée dans la pâte, l'impression des éléments de corde adjacents à cette ligne est moins marquée et peut produire des traces qui ressemblent à de petites empreintes linéaires. Ceux-ci peuvent aussi ne pas être imprimés du tout, ce qui laisse des espaces vides à proximité de cette ligne perpendiculaire. La lèvre et la paroi interne du vase 10 portent aussi le même type d'empreinte cordée appliquée à la verticale. Une bande d'environ 10 mm orne le haut de la paroi interne immédiatement sous la lèvre et ne semble pas être reproduite plus bas.

Une analyse des traces décoratives sur l'unité de vase 10 nous permet de détailler certaines caractéristiques de la tige à cordelette potentiellement utilisée. Les empreintes cordées sont torsadées en « S » (vers la droite), ce qui signifie que la cordelette utilisée a été torsadée en « Z » (vers la gauche) étant donné que l'impression produit un effet miroir. Selon le même raisonnement, l'orientation oblique à droite des empreintes cordées (observées dans la direction du roulement de la tige) indique que la cordelette a été enroulée autour de la tige suivant une orientation oblique à gauche. Hurley (1979 : 5-6) utilise deux attributs qui permettent d'estimer le degré de torsion d'une cordelette (lâche, intermédiaire, serré) : le nombre de torsions par cm en fonction du diamètre de la corde et l'angle de torsion par rapport à la verticale. Toutes les empreintes cordées du vase 10 sont larges d'environ 1,5 mm, ce qui nous donne le diamètre de la cordelette. L'angle de torsion est d'environ 69° et le nombre de torsions par cm est de huit. En utilisant les mêmes tables de correspondance que Hurley, qui sont fondées sur les résultats d'expérimentations, il s'avère que la cordelette utilisée pour décorer le vase 10 a été torsadée de manière serrée, voire très serrée. Il est aussi possible d'estimer la circonférence (et donc le diamètre, $c = d\pi$) de la tige employée en mesurant la distance entre deux lignes perpendiculaires aux empreintes qui suivent le sens de roulement de la tige. Sur les tessons jointifs no. 467 et 579, cette distance est d'environ 10 mm (Figure 4), ce qui suggère que le diamètre de la tige incluant l'épaisseur de la cordelette est d'environ 3,2 mm et que le diamètre de la tige excluant l'épaisseur de la cordelette est d'environ 0,2 mm. Ce résultat irréaliste suggère que plusieurs lignes de corde longitudinales ont été tressées entre les révolutions de corde sur la tige et que cette mesure de 10 mm ne représente que l'arc entre deux de ces lignes, ou bien que la tige n'a pas été roulée dans la pâte de manière continue sur toute sa circonférence. Il se peut en effet que le même segment de la tige ait été appliqué dans la pâte à répétition. Dans ce cas, il ne serait pas possible d'estimer le diamètre de la tige. Il faudra donc attendre que de nouveaux tessons s'ajoutent à l'unité de vase 10 pour tenter de mieux comprendre la technique d'application de la tige.

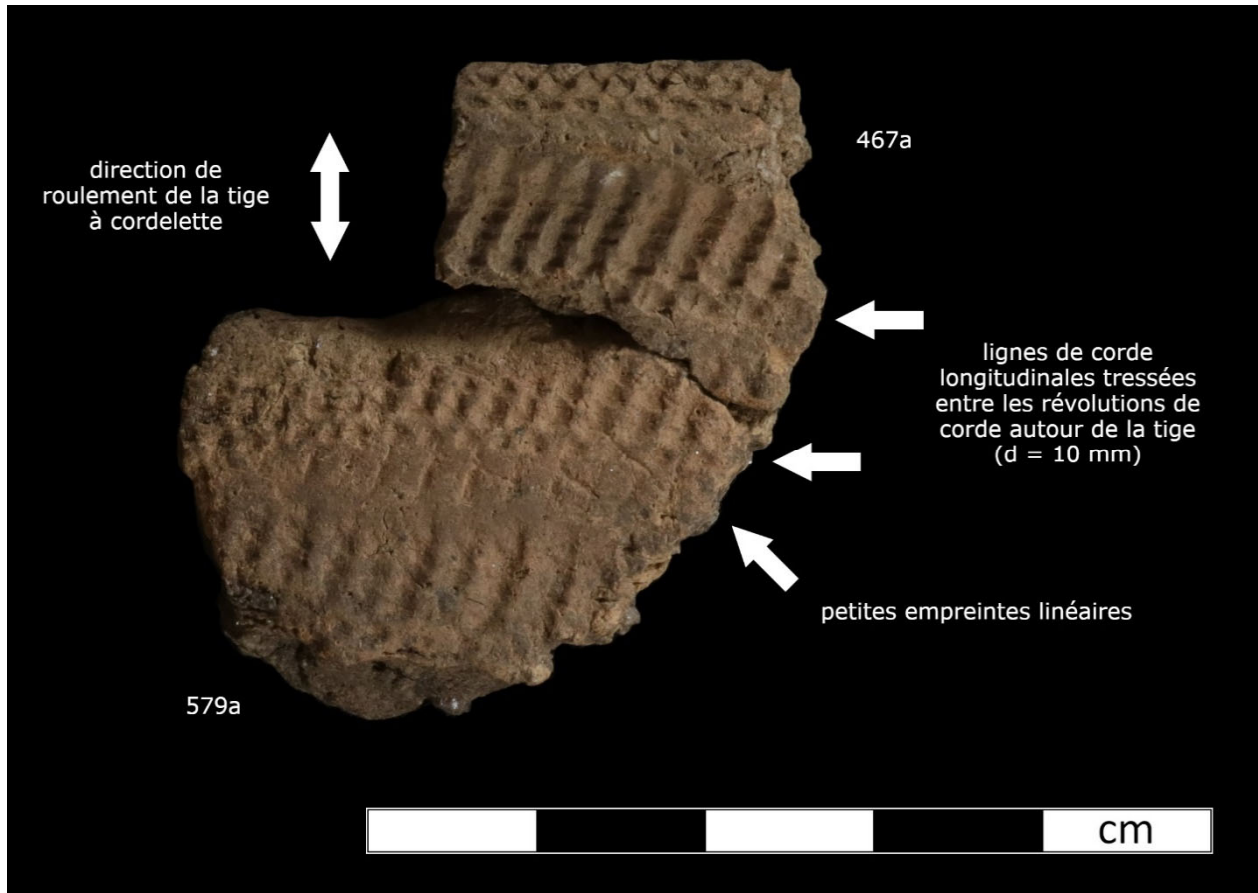


Figure 4 Détail du décor du vase 10 sur la paroi externe des tessons no. 467 et 579 (photographie et infographie Adrien Cesario)

L r Z S
r r S S
252

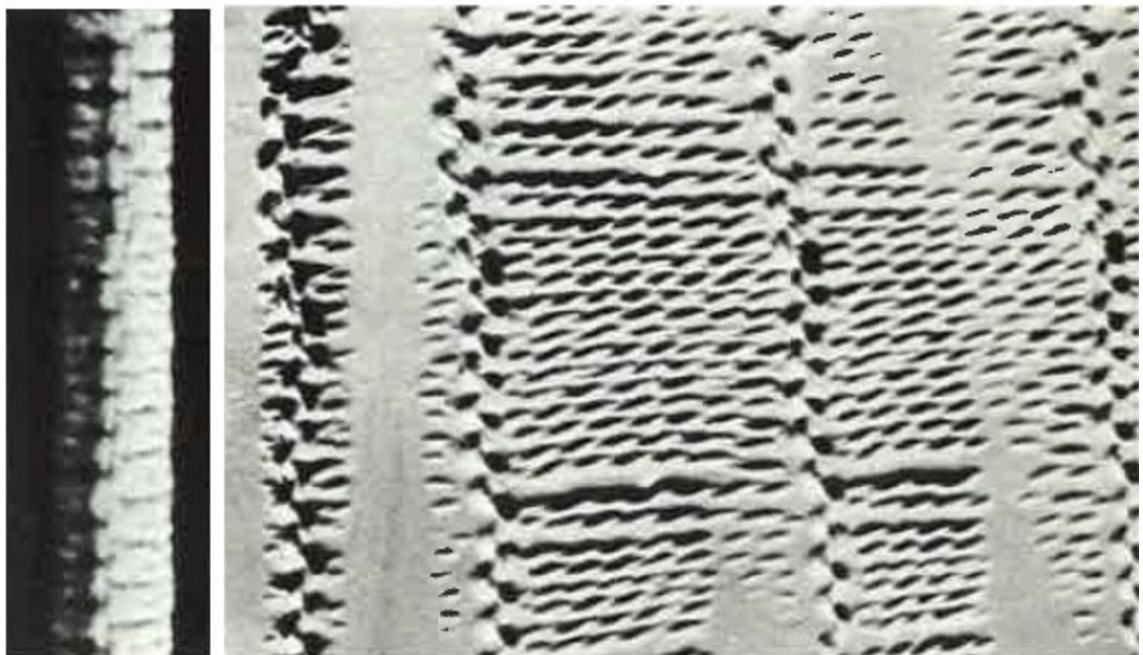
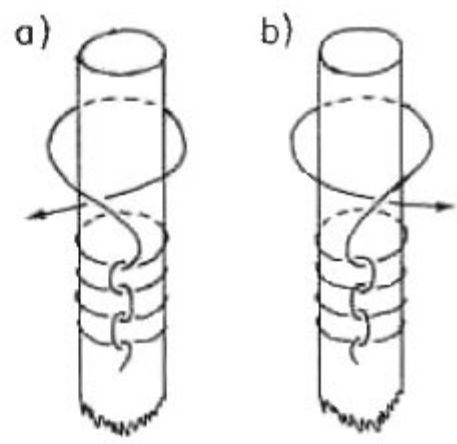


Figure 5 Corde no. 252, extrait de Hurley (1979 : 101)

Vase 11 (Planche 1, Figure 6)

N^{os} de catalogue : 96, 97, 218-1, 224, 359, 371, 453, 455, 456, 461, 473, 474, 475, 479, 562, 566, 571, 606, 618, 663, 719, 741, 762, 773, 778

Provenance des tessons de 2018 : 55N-104E (NE)

Provenance du tesson de 2020 : Souche 1

Provenance des tessons de 2021 : 50N-104E (NW, SW), 51N-103E (NE, SE, SW), 52N-102E (NE, NW, SE, SW), 52N-104E (SW)

12 bords, 4 cols, 14 panses

L'unité de vase 11 a été identifiée en 2018 à partir de deux tessons de col (dont l'épaisseur nous porte aujourd'hui à croire qu'il s'agit plutôt de tessons de panse) et d'un tesson de panse (no. 100) trouvés dans les sondages 55N-104E et 56N-104E (aire E) respectivement. En 2020, quatre nouveaux tessons de bords et un tesson de panse provenant de la zone correspondant à l'emprise de la souche 1 ont été ajoutés à l'unité de vase 11. Son décor composé d'empreintes cordées et d'incisions suggère qu'il a été fabriqué au cours du Sylvicole moyen tardif (de ± 500 EC à ± 1000 EC). Une analyse de résidus lipidiques a permis d'interpréter la présence d'huile végétale ou de ressources aquatiques dans les pores du contenant (Taché et Lamothe 2019).

Lors de l'intervention de 2021, 8 tessons de bord, 4 tessons de col et 11 tessons de panse appartenant vraisemblablement au vase 11 ont été recueillis. Le tesson no. 100 a été exclu de l'unité de vase parce que les empreintes cordées qui s'y trouvent ne correspondent pas à celles du vase 11. La zone d'étalement maximal des fragments du vase couvre actuellement une superficie d'environ 6 m dans l'axe nord-sud sur 3 m dans l'axe est-ouest (Figure 1).

L'unité de vase 11 contient des inclusions minérales angulaires relativement grosses (jusqu'à 8 mm de diamètre) et dispersées les unes des autres dans la matrice selon ce que l'on peut observer sur les cassures des tessons. Les tessons de bord jointifs no. 224 et 475 nous permettent d'estimer le diamètre d'ouverture du vase à 26 cm. En utilisant la formule développée par Robert Whallon (1969) à l'aide de 13 vases complets de type Owasco, nous pouvons estimer grossièrement le volume du vase à environ 16 litres. Le volume peut refléter la taille et la durée de conservation des aliments qui sont cuits ou stockés dans le vase, mais aussi la taille du groupe à nourrir (Warrick 1984 : 113-114). L'épaisseur de la paroi au niveau du bord et du col est d'environ 8 mm à 9 mm et elle atteint 12 mm au niveau de la panse (tesson no. 97). À en juger par l'allure « baveuse » de l'ourlure (Beaulieu 2019 : 77) et des traces décoratives sur la lèvre et les parois interne et externe, le vase a probablement été décoré alors que la pâte était encore relativement humide (Rye 1981 : fig. 47), c'est-à-dire avant de la laisser sécher complètement en vue de la cuisson.

Plusieurs indices nous mènent à croire que le vase 11 a été décoré à l'aide d'un tissu ou d'un filet composé de cordelettes similaire au tissu no. 23 décrit par Hurley (1979 : 115). Cet auteur explique deux principes qui guident l'identification d'empreintes de tissu : « [...] *when fabrics are composed of warps and wefts of unequal diameters, only the thicker and more prominent cords may*

be revealed in the impression. [...] differentiating cord impressions from fabric impressions depends on the ability to detect warps, wefts, cords, or knots that hold sets together » (Hurley 1979 : 109). La clé de notre interprétation se trouve sur la lèvre du vase 11, où l'on observe la séquence suivante (Figure 6) : (1) empreintes cordées obliques à gauche sur le biseau extérieur de la lèvre; (2) empreintes cordées obliques à droite sur l'arête au sommet du vase; (3) empreintes cordées obliques à gauche sur la partie supérieure de la paroi interne. Ce changement d'orientation dans une séquence continue d'empreintes cordées suggère que les cordelettes sont liées entre elles.

Cette hypothèse nous permet d'expliquer certaines autres observations. Les tessons jointifs no. 571, 606 et 741 ainsi que le tesson no. 773 se distinguent des autres tessons plus typiques de l'unité de vase 11. L'ourlure et les empreintes cordées sur la lèvre et le col y sont moins prononcées, comme si les cordelettes utilisées n'ont pas été appliquées avec autant de pression. Cette observation nous a menés à considérer que cet ensemble de tessons pourrait représenter une unité de vase distincte, mais conçue de manière très similaire au vase 11, donc potentiellement par la même potière. Il semble cependant plus juste d'envisager qu'une telle différence d'application peut se retrouver sur le même vase. En effet, le col du tesson no. 606 est plus étranglé que celui des autres tessons de bord de l'unité de vase 11 et c'est notamment dans la partie la plus creuse du col no. 606 que les empreintes cordées sont les plus étroites (1 mm). Si la partie supérieure du vase 11 a été décorée à l'aide d'un tissu, il se peut très bien que les surfaces plus en retrait du vase aient été empreintes moins profondément que les surfaces plus avancées. Cette hypothèse explique aussi l'uniformité dans la largeur des empreintes cordées sur chaque type de surface. Si cette explication est exacte, lorsque de nouveaux tessons de bord jointifs s'ajouteront à l'unité de vase 11, nous devrions pouvoir observer une transition dans la largeur des empreintes qui passe de 3 mm (surface avancée) à 1 mm (surface en retrait). Une autre observation qui pourrait s'accorder avec l'utilisation d'un tissu pour décorer le vase 11 est la distance variable entre les lignes horizontales d'empreintes cordées sur la panse du vase. Elle passe de 2,5 mm (tesson no. 778) à 6,5 mm (tesson no. 218-1) et varie parfois considérablement sur le même tesson (no. 456). En théorie, il est plus difficile de contrôler l'espacement des cordelettes d'un tissu lors de l'impression dans la pâte que l'espacement d'une cordelette fixée sur une tige ou appliquée à main libre.

Quelques autres points méritent d'être notés pour ajouter aux analyses des années précédentes. Le sens de torsion des cordelettes n'est pas net, mais certaines empreintes cordées semblent torsadées vers la droite. L'hypothèse émise dans l'analyse de 2020 concernant l'alternance d'orientation des obliques incisées sur la paroi externe du vase 11 est confirmée par le tesson no. 371, où les deux orientations sont présentes. Les parois internes de plusieurs tessons trouvés en 2021 sont couvertes de résidus carbonisés (no. 371, 453, 461, 474, 475, 606, 663). Six tessons de panse (no. 580, 640, 776, 781) et deux tessons de bord (no. 251 et 288) appartiennent potentiellement à l'unité de vase 11 en raison de la forme similaire de leurs empreintes cordées, mais cet attribut à lui seul n'est pas suffisant pour les y intégrer.



Figure 6 Empreintes cordées sur la paroi interne et sur l'arête au sommet du tesson no. 224 du vase 11 (photographie Adrien Cesario)

Retour sur le vase 12

Aucun nouveau tesson n'est associable à l'unité de vase 12, identifiée en 2018 (Taché et Lamothe 2019). Nous voulons seulement noter une observation pertinente en lien avec celle-ci. Les ponctuations circulaires sur la paroi externe du vase ont potentiellement été produites avec la spire d'une coquille de gastropode (Figure 7). Appelé *shell point punctate* en anglais, ce type d'empreinte a été identifié entre autres dans la vallée du fleuve Savannah dans le Sud-Est américain pendant l'Archaique récent (de ± 3800 AEC à ± 1200 AEC) (Sassaman 1993 : 190-191).



Figure 7 Ponctuations spiralées sur la paroi externe du vase 12 (photographie Adrien Cesario)

Nouvelles unités de vase

Vase 17 (Planche 1)

N^{os} de catalogue : 287, 487, 682, 769

Provenance des tessons de 2021 : 50N-102E (NE), 51N-103E (NE, NW), 52N-104E

4 panses

L'unité de vase 17 est composée de quatre tessons de panse très épais (de 10 mm à 13,5 mm) qui ont été dispersés sur une superficie d'environ 2,5 m dans l'axe nord-sud sur 3 m dans l'axe est-ouest (Figure 1). La pâte contient des inclusions minérales angulaires relativement petites (jusqu'à 3 mm de diamètre). Les tessons no. 487 et 682 ont une couleur brun olive pâle assez distinctive et une paroi interne dont la courbure s'accroît à l'une des extrémités du tesson. Puisque le diamètre d'un vase varie normalement sur le plan vertical, nous pouvons considérer que cette extrémité où la courbure est plus prononcée représente le haut ou le bas du tesson. C'est cette disposition qui a été choisie pour illustrer le vase 17 sur la Planche 1. Toutefois, les cassures horizontales des deux mêmes tessons suggèrent qu'il faut les visualiser dans la direction perpendiculaire. Il n'est donc pas encore clair dans quelle position nous devrions nous représenter les tessons de l'unité de vase 17. La paroi interne du tesson no. 682 porte des traces de scarification. Les parois interne et externe de tous les tessons semblent avoir été lissées, mais seule la paroi externe est décorée. La décoration comporte une variété d'empreintes cordées, ce qui suggère que le vase 17 a été fabriqué pendant le Sylvicole moyen tardif (de ± 500 EC à ± 1000 EC). Le cœur de la pâte du tesson no. 287 est noirci, tandis que les deux parois sont oxydées, indiquant que le vase a été cuit dans une atmosphère oxydante (comme dans un foyer à aire ouverte) et en a été retiré avant que l'oxydation s'achève (Roux et Courty 2017 : 248). La pâte du tesson no. 287 a été échantillonnée pour des analyses de résidus lipidiques. La quantité de lipides est à peine au-delà de la limite interprétable et le profil obtenu ne nous permet malheureusement pas d'identifier la nature des résidus.

Pour l'instant, il est difficile d'interpréter quel type d'instrument à cordelettes a été utilisé pour décorer le vase et de quelle manière il a été appliqué, puisque les tessons disponibles présentent une séquence décorative complexe et sans répétition. La largeur des empreintes cordées varie entre 0,8 mm et 1,6 mm. Des bandes vides d'environ 2 mm de large séparent certaines lignes d'empreintes. Des motifs en chevron semblent avoir été réalisés en juxtaposant des cordelettes dont le sens de torsion est opposé, comme dans le cas de la corde no. 206 dans le manuel de Hurley (1979 : 84-85). Celle-ci est composée de deux cordes torsadées en sens inverses et attachées ensemble aux deux extrémités. Une ligne d'empreintes cordées larges de 0,8 mm et torsadées vers la droite sur le tesson no. 682 est suffisamment nette pour évaluer le degré de torsion de la cordelette qui a laissé cette trace. Son angle de torsion est d'environ 40°, ce qui suggère un degré de torsion serré. Cependant, son nombre de torsions par cm est de six, ce qui, pour une corde dont le diamètre est de 0,8 mm, suggère un degré de torsion lâche. Cette contradiction pourrait résulter du fait que cette mesure de

0,8 mm ne correspond pas au vrai diamètre de la cordelette utilisée – notamment si elle n’a pas été étampée dans la pâte avec assez de pression. Si nous lui attribuons plutôt un diamètre de 1,6 mm (comme celui des empreintes cordées de lignes adjacentes), la mesure de six torsions par cm suggère alors un degré de torsion serré. Il apparaît donc que les empreintes cordées du vase 17 ont pu être réalisées à l’aide de deux cordelettes larges de 1,6 mm et appliquées avec des degrés variables de pression.

Le tesson no. 710 pourrait appartenir à l’unité de vase 17 en raison de sa teinte brun olive pâle particulière et de la nature visiblement similaire des inclusions minérales (bien qu’elles semblent plus denses dans ce tesson-ci). Son épaisseur est de 6,5 mm et sa paroi externe semble avoir été traitée à l’aide d’un battoir cordé au vu du caractère désordonné des empreintes.

Vase 18 (Planche 1, Figure 8)

N^{os} de catalogue : 434, 443, 445, 468

Provenance des tessons de 2021 : 51N-103E (NW, SW)

1 bord, 1 col, 2 panses

L'unité de vase 18 est composée de quatre tessons qui proviennent de la moitié ouest du puits 51N-103E, une aire relativement restreinte dans laquelle une lentille de cendres a été identifiée. La présence d'empreintes cordées sur les tessons suggère que le vase 18 a été fabriqué au cours du Sylvicole moyen tardif (de ± 500 EC à ± 1000 EC). Par contre, l'absence de cassures nettes au colombin, l'apparence compacte de la paroi externe et la finesse des empreintes cordées nous mènent à considérer que ce vase pourrait plutôt dater du Sylvicole supérieur ancien (de ± 1000 EC à ± 1200 EC), puisque les vases de cette période sont parfois montés au battoir et enclume et que les empreintes cordées de cette époque sont généralement plus minces et plus rapprochées entre elles que celles du Sylvicole moyen tardif (Gates St-Pierre et Tremblay 2016). La pâte du tesson no. 443 a été échantillonnée pour des analyses de résidus lipidiques. La quantité de lipides est à peine au-delà de la limite interprétable et le profil obtenu ne nous permet malheureusement pas d'identifier la nature des résidus.

La matrice du vase 18 contient des inclusions minérales angulaires relativement petites (jusqu'à 3 mm de diamètre) et réparties de manière uniforme. Le profil de la partie supérieure du vase se caractérise par une lèvre plate et biseautée vers l'extérieur, un bord éversé et un col légèrement étranglé. L'épaisseur de la paroi au niveau de la panse et du col est d'environ 8 mm. Le col s'amincit graduellement vers la lèvre, dont l'épaisseur est de 5,5 mm. Des traces de suie couvrent une partie de la paroi externe du tesson no. 443.

Les deux parois et la lèvre sont décorées d'empreintes cordées larges de 1 mm qui pourraient avoir été réalisées à l'aide d'une tige à cordelette. Le haut de la paroi interne est décoré d'une série de trois lignes d'empreintes appliquées à l'horizontale suivie d'une bande vide d'environ 1 mm à 1,5 mm de large et d'une série de sept autres horizontales (tesson no. 434). Le tout forme une bande de 15 mm de large qui ne semble pas avoir été reproduite plus bas sur la paroi. La lèvre et le col sont décorés d'empreintes de formes irrégulières appliquées en oblique à gauche (tessons no. 434 et 445). La cordelette qui a produit ces traces a été enfoncée profondément dans la pâte. Plus bas sur la paroi externe se trouve une séquence d'empreintes cordées qui semble avoir été répétée au moins deux fois (Figure 8) : (1) une ligne horizontale d'empreintes de forme quadrangulaire; (2) une bande vide d'environ 2 mm de large; (3) une bande d'empreintes appliquées à l'horizontale avec plus ou moins de pression mesurant environ 9,5 mm de large; (4) une deuxième bande vide d'environ 2 mm de large; (5) deux lignes horizontales d'empreintes si fines qu'elles ressemblent à des empreintes dentelées pointues (tessons no. 443 et 468). La distance entre le premier élément des deux séquences consécutives est d'environ 18,5 mm.



Figure 8 Séquence décorative sur la paroi externe du tesson no. 443 du vase 18 (photographie et infographie Adrien Cesario)

Vase 19 (Planche 1, Figure 9)

N° de catalogue : 252

Provenance du tesson de 2021 : 50N-102E (NW)

1 bord

L'unité de vase 19 est composée d'un tesson de bord. D'autres tessons appartenant au même contenant se trouvent peut-être à l'ouest du puits 50N-102E. Le tesson no. 252 contient des inclusions minérales angulaires relativement petites (jusqu'à 3 mm de diamètre). Vue de profil, sa cassure inférieure est courbée, indiquant que le col a été monté par colombinage. La lèvre est légèrement arrondie et mesure environ 6 mm d'épaisseur. Le bord est éversé. Le col est étranglé et s'épaissit progressivement vers le bas du vase (épaisseur maximale de 8,5 mm). Les parois interne et externe ont été lissées avant d'être décorées. L'allure « baveuse » des traces décoratives suggère que la potière a décoré son vase alors que la pâte était encore relativement humide.

La paroi interne du vase 19 a probablement été décorée à l'aide d'une tige à cordelette (Hurley 1979 : 86-87). Les empreintes cordées sont appliquées en oblique à gauche et ont toute une largeur d'environ 1,6 mm. La distance entre chaque ligne varie de 1 mm à 2,5 mm, indiquant que les révolutions de corde autour de la tige n'étaient pas parfaitement parallèles et équidistantes. La cordelette a été torsadée en « S », puisque les empreintes sont torsadées vers la gauche. L'angle de torsion est d'environ 45° et le nombre de torsions par cm est de quatre, ce qui signifie que la cordelette utilisée avait un degré de torsion intermédiaire à serré.

La paroi externe est décorée d'un registre de croisillons incisés. Les incisions obliques à gauche superposent les incisions obliques à droite. Toutes les incisions sont larges d'environ 1,5 mm, mais la distance entre elles varie de 1 mm à 3,5 mm et les losanges qu'elles délimitent ont des formes irrégulières. Il est donc possible que les incisions aient été tracées dans la pâte individuellement et à la main en utilisant un stylet quelconque. Le motif du croisillon figure sur le premier registre de la paroi externe de plusieurs unités de vase trouvées dans les Hautes-Laurentides. On le retrouve sur l'unité de vase 6 du site CcFr-1 (Taché et Lamothe 2018), sur l'unité de vase 5 du site CcFv-1 (Taché et Lamothe 2020) et sur l'unité de vase 10 de la collection Coursol (Figure 9). Il est également présent en Outaouais au complexe archéologique du Parc du Lac-Leamy, où il sert de critère définitoire au vase de type *Kabeshinàn entrecroisé* (Laliberté 2004 : 28). Au moins sept unités de vase de ce type (dont un petit vase) ont été trouvées dans la strate la plus riche du site BiFw-6 (strate 5), qui est datée aux environs de 400 EC à 500 EC – une période de transition entre la phase ancienne et tardive du Sylvicole moyen. À la différence du vase 19, les croisillons incisés du vase de type *Kabeshinàn entrecroisé* sont accompagnés d'empreintes dentelées quadrangulaires à effet ondulant ou basculant. La présence d'empreintes cordées sur le vase 19 suggère une date de fabrication postérieure, soit pendant le Sylvicole moyen tardif (de ± 500 EC à ± 1000 EC). André Miller (2011) suggère que le décor de type *Kabeshinàn entrecroisé* ait pu caractériser un style régional particulier aux habitants du delta de la rivière Gatineau. Selon les observations

préliminaires de l'auteur, la fréquence de ce décor sur le site BiFw-6 justifierait la création de la phase « Outaouais-Kabeshinàn », une manifestation régionale de la tradition Pointe Péninsule du Sylvicole moyen. Le motif du croisillon semble en effet avoir été utilisé par plusieurs générations de potières du Sylvicole moyen vivant dans les régions actuelles de l'Outaouais et des Hautes-Laurentides. La récurrence de ce motif à travers le temps et sur une vaste étendue géographique suggère qu'il avait une (ou plusieurs) signification³ et que celle-ci était connue d'un grand nombre de potières qui participaient à la même sphère d'interaction. Précisons toutefois que le motif du croisillon n'est pas spécifique à ces deux régions. On le retrouve dans plusieurs autres parties du Nord-Est américain, où il orne presque toujours le premier registre de la paroi externe d'un vase. Gates St-Pierre (2003 : 258-326) note la fréquence de cet attribut pendant le Sylvicole moyen tardif sur certains sites de la Pointe-du-Buisson (351 sur 3173 vases, soit 11 %), de la Plaine de Montréal (21 sur 93 vases, soit 23 %), de l'est du Québec (16 sur 115 vases, soit 14 %), du sud-est du Québec et du nord de la Nouvelle-Angleterre (5 sur 64 vases, soit 8 %), de la vallée de la rivière Hudson (2 sur 175 vases, soit 1 %), du centre de l'État de New York (53 sur 788 vases, soit 7 %) et du sud de l'Ontario (20 sur 307 vases, soit 7 %).

³ Il est de notre avis que la décoration « proprement dite » d'un vase soit investie d'une fonction symbolique, c'est-à-dire qu'elle communique un message ou une histoire. Il nous est difficile de croire qu'une potière fournisse autant d'effort dans cette étape de la fabrication de sa poterie (qui implique aussi la fabrication de ses outils décoratifs) simplement pour l'enjoliver (*art for art's sake*). La récurrence de motifs, d'unités décoratives et de techniques d'application à travers le Nord-Est américain au cours du Sylvicole suggère que la décoration était, au moins en partie, une activité normée. Pourquoi réglementer et valoriser une pratique si elle n'a aucune signification ?

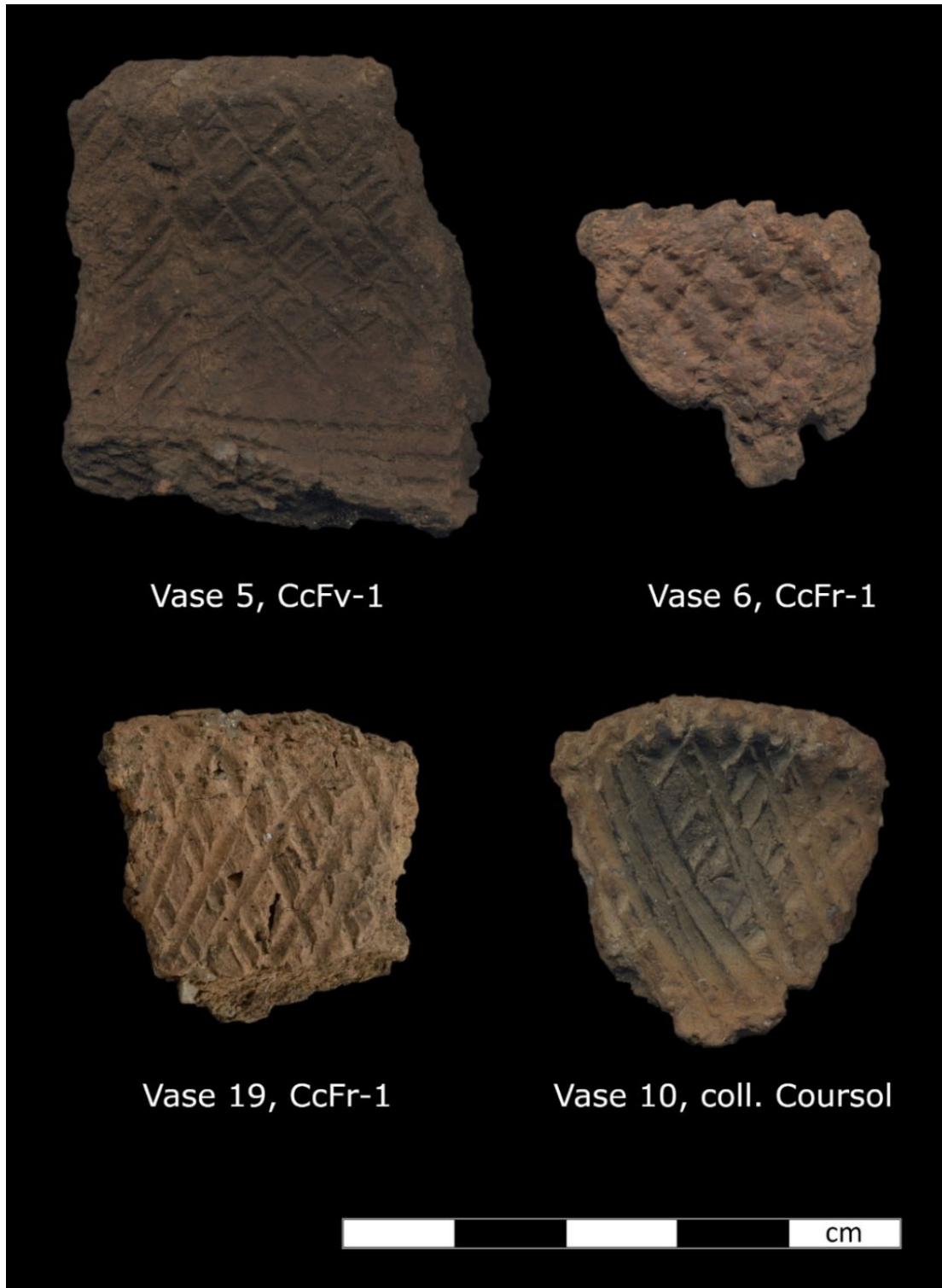


Figure 9 Motif du croisillon sur le premier registre de la paroi externe de vases trouvés dans les Hautes-Laurentides (CcFv-1, CcFr-1 et coll. Coursol, secteur des rapides du Wabassée) (photographies et infographie Adrien Cesario)

Vase 20 (Planche 1)

N° de catalogue : 358

Provenance du tesson de 2021 : 50N-104E (NW)

1 bord

L'unité de vase 20 est composée d'un tesson de bord. Sa matrice contient très peu d'inclusions minérales (moins de 5 %). Celles qui sont visibles ont un diamètre de 1 mm ou moins. La technique de façonnage n'est pas aisément identifiable à partir des traces de détérioration. La lèvre est plate et biseautée vers l'extérieur et elle a la même épaisseur que le col, soit environ 7 mm. Le bord est éversé et le col est étranglé. Les parois et la lèvre ont été lissées avant d'être décorées d'empreintes cordées, ce qui situe probablement la fabrication du vase 20 au cours du Sylvicole moyen tardif (de ± 500 EC à ± 1000 EC).

La décoration du vase 20 a sans doute été réalisée à l'aide d'une tige à cordelette ou d'un tissu. Toutes les empreintes cordées sont larges d'environ 1,5 mm à 2 mm. Certaines semblent torsadées vers la gauche. La paroi interne est ornée d'un registre d'empreintes obliques à gauche. La moitié droite de chaque oblique est plus profonde que sa moitié gauche, indiquant que la cordelette utilisée a été inclinée au moment de l'impression. En théorie, il est plus facile de produire cette inclinaison à l'aide d'une tige que d'un tissu, puisque le tissu se manipule moins bien. La lèvre et le haut du col sont décorés d'empreintes verticales. Le deuxième registre sur la paroi externe comporte des empreintes obliques à gauche. Elles rejoignent la base des empreintes verticales supérieures. Toutes les empreintes sur la lèvre et la paroi externe sont espacées de 2 mm à 2,5 mm sauf dans la partie gauche du premier registre de la paroi externe. Ici, on retrouve deux empreintes verticales pour chaque oblique du registre inférieur.

Le tesson no. 653 pourrait appartenir à l'unité de vase 20 en raison de son décor similaire. Sur la paroi interne se trouvent deux registres d'empreintes cordées imprimées de manière inclinée. La paroi externe est décorée d'un registre d'empreintes droites (verticales ou horizontales) et d'un registre d'empreintes obliques (à droite ou à gauche) qui se rejoignent.

Vase 21 (Planche 1)

N^{os} de catalogue : 218-3, 457, 619, 766

Provenance du tesson de 2020 : Souche 1

Provenance des tessons de 2021 : 51N-103E (NE, SW), 52N-102E (SW)

3 bords, 1 col

L'unité de vase 21 est composée de trois tessons de bord trouvés en 2021 (dont un fragment de lèvre) et d'un tesson de col trouvé en 2020. La zone d'étalement maximal des fragments du vase couvre actuellement une superficie d'environ 1,5 m dans l'axe nord-sud sur 1,5 m dans l'axe est-ouest (Figure 1). La matrice contient des inclusions minérales angulaires relativement grosses (jusqu'à 7,5 mm de diamètre) et dispersées les unes des autres selon ce que l'on peut observer sur les cassures des tessons. La paroi interne des tessons no. 218-3, 457 et 766 et la paroi externe du tesson no. 218-3 sont exfoliées. La forme du fragment de lèvre no. 619 et la cassure horizontale supérieure du tesson de col no. 218-3 suggèrent que le bord du vase a été monté au colombin. La lèvre, de forme plate, mesure environ 7,5 mm d'épaisseur et est probablement légèrement biseauté vers l'extérieur parce que le bord semble éversé. Le col est légèrement étranglé et s'épaissit graduellement vers le bas du vase (jusqu'à 9,5 mm d'épaisseur sur le tesson no. 218-3). La lèvre et la paroi externe du vase ont été lissées avant d'être décorées d'empreintes dentelées quadrangulaires. Ce type d'empreinte est commun sur les vases du Sylvicole moyen ancien et tardif.

Toutes les empreintes dentelées quadrangulaires forment des séries de quatre. La dernière empreinte dans chaque série est plus fine et moins profonde. L'outil dentelé utilisé semble donc avoir été incliné au moment de l'impression. La lèvre est décorée d'obliques à gauche dont la largeur varie entre 0,5 mm et 1 mm en fonction de la profondeur des traces. Chaque série d'empreintes a une longueur de 7 mm et la dernière empreinte plus fine se trouve toujours du côté de la paroi externe. Toutes les séries d'empreintes sur l'unité de vase 21 sont espacées de 1,5 mm à 2 mm à l'exception de deux séries immédiates sur la lèvre du tesson no. 457. La paroi externe semble décorée d'au moins deux bandes horizontales composées de séries verticales d'une longueur de 9 mm. La dernière empreinte dans chaque série est située au bas du registre.

Vase 22 (Planche 1)

N^{os} de catalogue : 354, 764

Provenance des tessons de 2021 : 50N-102E (SE), 51N-103E (SW)

2 bords

L'unité de vase 22 est composée de deux tessons de bord. La zone d'étalement maximal des fragments du vase couvre actuellement une superficie d'environ 1,5 m dans l'axe nord-sud sur 1 m dans l'axe est-ouest (Figure 1). La pâte contient très peu d'inclusions minérales (moins de 5 %). Celles qui sont visibles ont un diamètre de 3 mm ou moins et une forme angulaire. La cassure inférieure du tesson no. 354 est courbée, indiquant que le bord a probablement été monté au colombin. La lèvre a une épaisseur de 6 mm ainsi qu'une forme plate et biseautée vers l'extérieur. Les parois interne et externe et la lèvre ont été lissées avant d'être décorées d'empreintes cordées. Ces attributs suggèrent que le vase 22 a été fabriqué au cours du Sylvicole moyen tardif (de ± 500 EC à ± 1000 EC).

Toutes les empreintes cordées ont une largeur d'environ 1 mm et sont espacées de 1 mm à 2 mm. Elles pourraient avoir été produites avec une tige à cordelette. La paroi interne est décorée d'empreintes verticales ou légèrement obliques à gauche. Elles forment une bande horizontale d'environ 6,5 mm de large. L'extrémité supérieure de ces empreintes est particulièrement fine, de sorte que le sens de torsion en « Z » y est visible (tesson no. 764). La lèvre est décorée d'empreintes verticales ou légèrement obliques à droite. La paroi externe semble être décorée d'empreintes verticales, mais elle est trop incomplète pour que nous ayons une compréhension fidèle de son décor.

Le tesson no. 517 pourrait appartenir à l'unité de vase 22. Il a la forme d'un colombin, il contient très peu d'inclusions minérales et sa paroi externe (la seule qui est préservée) est décorée d'empreintes cordées verticales larges de 1 mm et espacées d'environ 1 mm.

Autres tessons

Tesson no. 596 (Figure 10)

Provenance : 52N-102E (NW)

Ce tesson de col présente de nombreuses similarités avec l'unité de vase 6, trouvée en 2017 dans le puits 51N-107E et datée au Sylvicole moyen tardif (de ± 500 EC à ± 1000 EC) (Taché et Lamothe 2018). La distance d'environ 5 m qui sépare leur contexte de découverte respectif et une incertitude relative au motif décoratif sur la paroi externe du tesson nous mènent cependant à ne pas les associer définitivement pour l'instant.

La paroi externe du tesson no. 596 est décorée d'empreintes cordées, mais il n'est pas certain qu'elles forment des croisillons comme sur le tesson no. 62. Seules les obliques à gauche sont clairement identifiables. La paroi interne est décorée d'impressions à la cordelette en obliques à gauche comme sur le tesson no. 61. Au moins deux séries de ponctuations produisant des bosses sur la paroi externe du tesson no. 596 sont également visibles sur la paroi interne. Les ponctuations ont une forme quadrangulaire et un diamètre maximal d'environ 2,8 mm. Un espace de 5,5 mm sépare chaque ponctuation dans la même série horizontale. Les deux séries sont décalées, de sorte que les ponctuations semblent marquer les sommets de losanges adjacents (bien qu'il faille imaginer une troisième série pour compléter ces losanges). La cassure supérieure du tesson révèle des traces de ponctuations parallèles aux parois, comme si la potière a voulu texturer le haut du col avant de poser la lèvre. Cette technique aurait peut-être permis de solidifier le joint entre ces deux parties du vase.



Figure 10 Tesson no. 596 (photographies et infographie Adrien Cesario)

Tessons no. 298, 654, 656 et 782 (Figure 11)

Provenance : 50N-102E (SE), 52N-102E (SE), 52N-104E (NE, NW)

Cet ensemble de tessons appartient sans doute à la même unité de vase. Son décor s'apparente à celui de l'unité de vase 5, qui date probablement du Sylvicole moyen ancien (de ± 400 AEC à ± 500 EC), mais leur contexte de découverte respectif rend peu probable l'argument de leur association. Présentement, aucun tesson de bord ne peut donc être associé à cet ensemble de tessons avec certitude. Ainsi, nous préférons attendre la poursuite des fouilles dans cette partie du site avant d'en faire une unité de vase définitive.

La paroi externe est décorée de petites bandes d'empreintes ondulantes repoussées (certains céramologues diraient des empreintes dentelées à effet ondulant) larges de 3 mm à 4 mm et d'un registre d'empreintes à la fois dentelées et linéaires appliquées avec un mouvement de bascule (tesson no. 656). La paroi interne n'est pas décorée. Celle du tesson no. 656 est couverte de résidus carbonisés.

Notons que cette alternance de bandes vides et de courtes bandes d'empreintes ondulantes appliquées à la verticale sur le premier registre de la paroi externe est un motif récurrent dans les Hautes-Laurentides et en Outaouais pendant le Sylvicole moyen ancien. On le retrouve sur l'unité de vase 5 du site CcFr-1 (Taché et Lamothe 2018, 2019), sur l'unité de vase 11 de la collection Coursol (Figure 12) et sur les six vases de type *Kabeshinàn à bandes dentelées* du site BiFw-6 (Laliberté 2004 : 31). Le décor sur l'unité de vase 3 du site CcFv-1 (Taché et Lamothe 2019) et sur l'unité de vase 13 de la collection Coursol pourrait représenter des variantes de ce motif.



Figure 11 Paroi externe des tessons no. 298, 654, 656 et 782 (photographies et infographie Adrien Cesario)

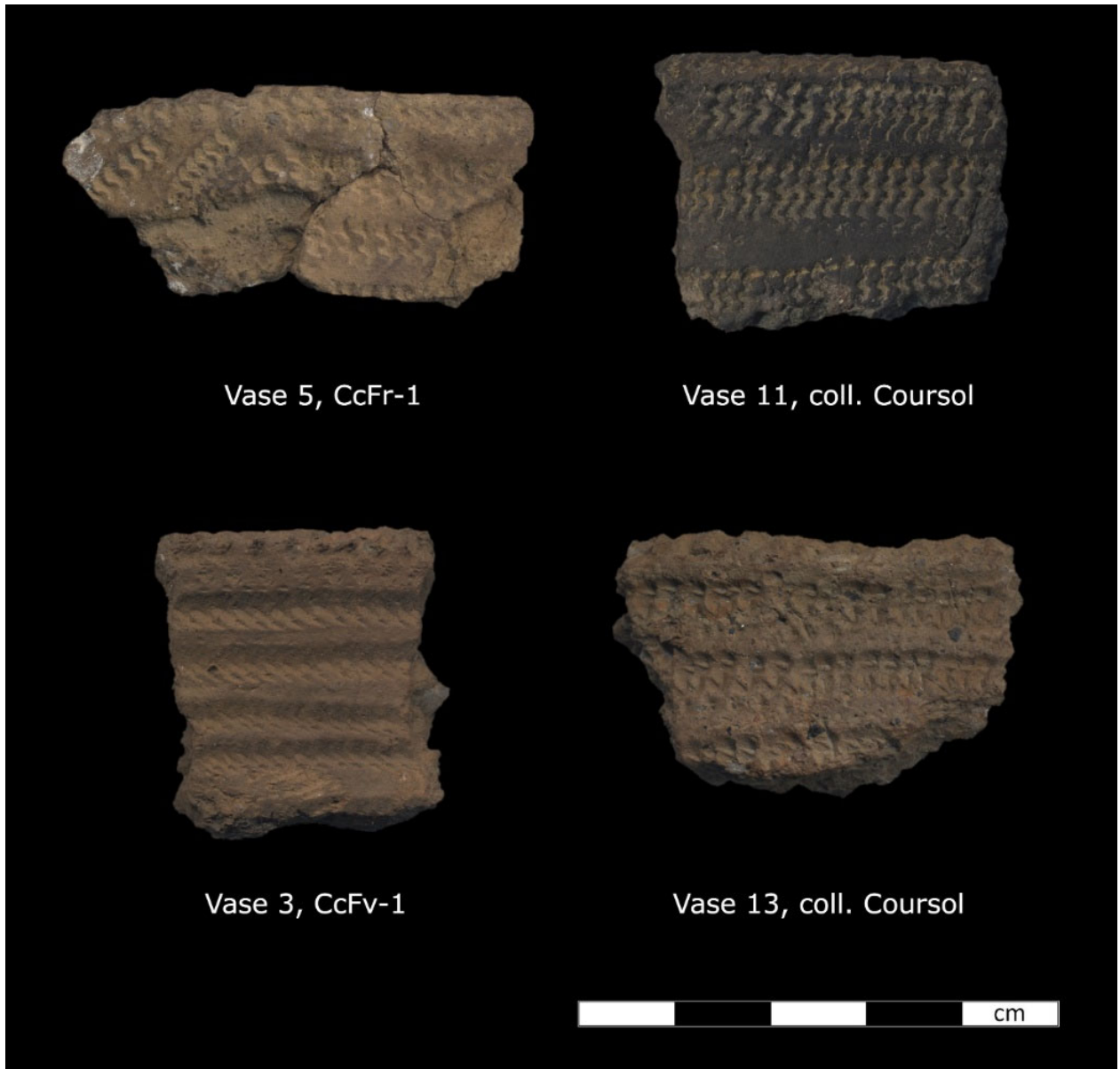


Figure 12 Série de courtes bandes d'empreintes ondulantes sur le premier registre de la paroi externe de vases trouvés dans les Hautes-Laurentides (CcFv-1, CcFr-1 et coll. Coursol, secteur des rapides du Wabassée) (photographies et infographie Adrien Cesario)

Rebut de pâte (Planche 1)

N^{os} de catalogue : 2018-1, 274, 297, 731

Provenance du rebut de 2018 : 55N-104E (NE)

Provenance des rebuts de 2021 : 50N-102E (NW, SE), 51N-103E (SE)

Trois nouveaux rebuts de pâte s'ajoutent à celui trouvé en 2018. Aucun d'entre eux ne semble contenir d'inclusions minérales et leurs surfaces ne semblent pas résulter de cassures. Ils ont été trouvés à proximité de tessons appartenant à plusieurs unités de vase (Tableau 1). On ne saurait donc les associer à un vase particulier.

Le rebut no. 274 a une face plate et une face de forme irrégulière, qui est marquée de petites stries. Il mesure environ 14 mm sur 8,5 mm et a une épaisseur maximale de 5 mm.

Le rebut no. 297 a une forme quasi-cylindrique qui s'apparente à celle d'un colombin. Il pourrait donc représenter un déchet de façonnage (Corbeil 1990). Il mesure environ 11 mm sur 18 mm et a une épaisseur maximale de 9 mm.

Le rebut no. 731 a la forme approximative d'un prisme rectangulaire et semble porter des traces de pincement. Il mesure environ 20 mm sur 13 mm et a une épaisseur maximale de 15 mm.

Ces objets témoignent vraisemblablement de la fabrication *in situ* de poterie sur le site CcFr-1. Leur présence suggère aussi une occupation estivale du site, puisque l'argile est principalement accessible pendant la saison chaude (Corbeil 1990 : 44).

Considérations chronologiques

La collection céramique du site CcFr-1 témoigne d'une occupation de l'embouchure du ruisseau Jourdain entre le Sylvicole moyen ancien (de ± 400 AEC à ± 500 EC) et la fin du Sylvicole supérieur (de ± 1000 EC et ± 1600 EC). Parmi les six nouvelles unités de vase identifiées en 2021, quatre datent probablement du Sylvicole moyen tardif (vases 17, 19, 20 et 22), l'une date potentiellement du Sylvicole moyen tardif ou du Sylvicole supérieur ancien (vase 18) et l'une date sans doute du Sylvicole moyen (vase 21), sans qu'il soit possible d'établir une distinction chronologique plus précise à l'intérieur de cette période. En général, parmi les unités de vase du site qui sont associables à une phase chronologique particulière (excluant le vase 18), 16/18 sont caractéristiques des productions du Sylvicole moyen, dont 4/16 sont attribuables à la phase ancienne et 11/16 sont attribuables à la phase tardive, et 2/18 sont caractéristiques des productions du Sylvicole supérieur (Tableau 5). Il faut noter cependant que la chronotypologie pour la céramique autochtone trouvée dans le sud du Québec est approximative et que la datation radiométrique d'échantillons de charbon associés à certaines unités de vase ou de croûte carbonisée adhérent à leur paroi nous permettra sans doute de préciser leur âge.

Tableau 5 Profil chronologique des unités de vase identifiées sur le site CcFr-1

Unité de vase	Datation approximative*
1	SMA
2	SSR
3	SMT
4	SS
5	SMA
6	SMT
7	SMT
8	SMT
9	SMA
10	SMT
11	SMT
12	?
13	SMT
14	?
15	?
16	SMA
17	SMT
18	SMT ou SSA
19	SMT
20	SMT
21	SM
22	SMT

* Abréviations : SM (Sylvicole moyen), SMA (Sylvicole moyen ancien), SMT (Sylvicole moyen tardif), SS (Sylvicole supérieur), SSA (Sylvicole supérieur ancien), SSR (Sylvicole supérieur récent).

Conclusion

Un minimum de 22 vases en céramique ont été identifiés jusqu'à présent sur le site CcFr-1. La présence de suie et de résidus carbonisés sur une grande partie des tessons recueillis suggère que ces vases ont servi d'ustensiles de cuisine. En les situant dans leur contexte archéologique respectif – à proximité de traces de charbon, de pierres rougies et fracturées par le feu, de restes fauniques et d'outils lithiques –, il apparaît que l'embouchure du ruisseau Jourdain à la tête du Grand lac Nomingue a servi de site de campement pour de petits groupes d'individus (à en juger par la quantité de vestiges mis au jour), potentiellement des familles, à plusieurs moments dans l'ère de la céramique. Les siècles qui nous séparent d'eux nous contraignent à imaginer de quoi ils parlaient le temps d'un repas.

Bibliographie

BEAULIEU, G., 2019, *Les cultures Laurel et Blackduck en Abitibi-Témiscamingue : portrait d'une transition technologique vers la fin du Sylvicole moyen tardif*, mémoire de maîtrise, Département d'anthropologie de l'Université de Montréal.

CORBEIL, P., 1990, « Pour une analyse systématique des sous-produits de la technologie céramique : les rebuts de pâte du site Hector Trudel », *Recherches amérindiennes au Québec*, 20, 1 : 37-46.

GATES ST-PIERRE, C., 2003, *Variabilité, stase et régionalisation stylistiques : la céramique du site Hector-Trudel et du Nord-Est américain au Sylvicole moyen tardif (500 à 1000 ap. J.-C.)*, thèse doctorale, Département d'anthropologie de l'Université de Montréal.

GATES ST-PIERRE, C., 2006, *Potières du buisson : la céramique de tradition Melocheville sur le site Hector-Trudel*. Gatineau, Société du Musée canadien des civilisations.

GATES ST-PIERRE, C. et R. TREMBLAY, 2016, « Terre cuite amérindienne du Sylvicole supérieur ancien » : 47-48, dans L. J. Métreau (éd.), *Identifier la céramique au Québec*. Québec, Centre interuniversitaire d'études sur les lettres, les arts et les traditions.

HURLEY, W. M., 1979, *Prehistoric Cordage : Identification of Impressions on Pottery*. Taraxacum, Washington.

LALIBERTÉ, M., 1995, « Quand le sol s'emmêle – Problèmes de chronologie dans un sol alluvial », *Archéologiques*, 9 : 6-11.

LALIBERTÉ, M., 2004, *Projet Kabeshinan. Fouilles archéologiques de 2003 sur le site BiFw-6*. Rapport présenté au Musée canadien des civilisations et au Conseil d'éducation de Kitigan Zibi.

MILLER, A., 2011, « Le site BiFw-6, au carrefour des influences culturelles : nouveau regard sur le Sylvicole moyen de la vallée de l'Outaouais », *Archéologiques*, 24 : 103-114.

RICE, P. M., 1987, *Pottery Analysis : A Sourcebook*. Chicago, The University of Chicago Press.

ROUX, V. et M.-A. COURTY, 2017, *Des céramiques et des hommes*. Paris, Presses universitaires de Paris Nanterre.

RYE, O. S., 1981, *Pottery Technology : Principles and Reconstruction*. Washington, Taraxacum.

SASSAMAN, K. E., 1993, *Early Pottery in the Southeast : Tradition and Innovation in Cooking Technology*. Tuscaloosa, University of Alabama Press.

SKIBO, J. M., 1992, *Pottery Function : A Use-Alteration Perspective*. New York, Plenum Press.

ST. JOHN, A., 2020, *Inside Perspectives on Ceramic Manufacturing: Visualizing Ancient Potting Practices through Micro-CT Scanning*, thèse de doctorat, Department of Anthropology of the University of Western Ontario.

TACHÉ, K. et F. LAMOTHE, 2018, *Fouille et inventaire archéologiques 2017 au Grand lac Nominingue (sites CcFr-1 et CcFr-3), Municipalité de Nominingue, MRC Antoine-Labelle*. Rapport remis au ministère de la Culture et des Communications du Québec.

TACHÉ, K. et F. LAMOTHE, 2019, *Inventaire archéologique 2018 sur la rivière du Lièvre, secteur du Wabassee (sites CcFv-1, CcFv-2 et CcFu-1), Municipalité de Lac-du-Cerf, MRC Antoine-Labelle, et Fouilles archéologiques 2018 au Grand lac Nominingue (sites CcFr-1 et CcFr-3), Municipalité de Nominingue, MRC Antoine-Labelle*. Rapport remis au ministère de la Culture et des Communications du Québec.

TACHÉ, K. et F. LAMOTHE, 2021, *Inventaires archéologiques 2020 au Petit lac Nominingue (sites CcFs-5 et CcFs-2), et au Grand lac Nominingue (sites CcFr-1, CcFr5, CcFr-6, CcFr-7 et CcFr-8)*. Rapport remis au ministère de la Culture et des Communications du Québec.

WARRICK, G. A., 1984, *Reconstructing Ontario Iroquoian Village Organization*. Collection Mercure, no. 124. Ottawa, Musée national de l'homme.

WHALLON, R. J., 1969, « Rim Diameter, Vessel Volume, and Economic Prehistory », *Michigan Academician*, 2 : 89-98.

À titre indicatif, les lignes suivantes dans les inventaires de 2018 et de 2020 ont été modifiées.

- Inventaire 2018 (Taché et Lamothe 2019) :

55N104E	NE	3	1.1.1.991	Céramique de type autochtone	contenant	1	1	4.99	Consommation ind.	Frag	Tesson de panse décoré, jointif à 97, unité de vase 11	1	96
55N104E	NE	3	1.1.1.991	Céramique de type autochtone	contenant	1	1	4.99	Consommation ind.	Frag	Tesson de panse décoré, jointif à 96, unité de vase 11	1	97
55N104E	NE	3	1.1.1.991	Céramique de type autochtone	contenant	1	1	4.99	Consommation ind.	Frag	Tessons de panse non décorés, le no. catalogue du rebut de pâte est 2018-1	1	
56N104E	SE	3a	1.1.1.991	Céramique de type autochtone	contenant	1	1	4.99	Consommation ind.	Frag	Tesson de panse décoré	1	100

- Inventaire 2020 (Taché et Lamothe 2021) :

Souche 1		0-20	1.1.1.991	Céramique de type autochtone	contenant (tpd)	11	?	4.99	Consommation ind.	Frag	Tessons décorés	1	218
Souche 1		0-20	1.1.1.991	Céramique de type autochtone	contenant (tpd)	1	1	4.99	Consommation ind.	Frag	Tesson décoré, unité de vase 11	1	218-1
Souche 1		0-20	1.1.1.991	Céramique de type autochtone	contenant (tpd)	1	1	4.99	Consommation ind.	Frag	Tesson décoré, unité de vase 10	1	218-2
Souche 1		0-20	1.1.1.991	Céramique de type autochtone	contenant (tpd)	1	1	4.99	Consommation ind.	Frag	Tesson décoré, unité de vase 21	1	218-3

Annexe B Analyse et référentiel lithique

ANALYSE MACROSCOPIQUE LITHIQUE

Méthodologie

La méthodologie d'analyse utilisée pour décrire les matières premières des artefacts lithiques est fondée sur l'observation de certaines caractéristiques visuelles macroscopiques, c'est-à-dire observables à l'œil nu ou au microscope à faible grossissement. Dans la présente étude, nous utilisons un binoculaire (6x à 40x) ainsi qu'un microscope électronique USB Dino-Lite Edge 1,3 mp (1x à 220x). En ce qui concerne les attributs des matières premières à documenter, il existe plusieurs références en pétroarchéologie macroscopique. Nous nous sommes basés sur les travaux de Codère (1996; 1998) et de Luedtke (Luedtke 1992). Bien qu'il en existe d'autres, nous n'avons utilisé que quatre critères, en plus d'une description générale de la matière comprenant des commentaires sur les inclusions dans la roche :

1 - Couleur

Il s'agit de la couleur à la surface de l'objet. La terminologie est inspirée du code Munsell sans utiliser ses codes alphanumériques.

2 - Transparence

La matière peut être **opaque**, **semi-translucide** (les arêtes de l'objet sont translucides et non le reste) ou **translucide** lorsque la lumière passe à travers toutes ou presque toutes les parties de l'objet.

3 - Structure

La structure est créée par la distribution inégale de la couleur, du lustre (variable omise dans la présente analyse), de la texture et de la transparence qui se produit pendant le processus de diagénèse (Luedtke 1992). Elle peut être **homogène** si aucune variation n'est macroscopiquement discernable dans la matrice de la roche, **tachetée** si des taches définies sont identifiables individuellement, **moutonnée** s'il s'agit de nuages de couleur différente de la matrice, **rubanée** lorsque des rubans sont différents de la matrice, **laminée** lorsque les rubans sont très minces, **veinée** lorsque la pierre est traversée d'une veine (généralement les pierres siliceuses), **filigranée** lorsqu'il y a un enchevêtrement de veines, **enfumée** lorsqu'il s'agit de nuages informes et translucides, **bréchiique** lorsque la matrice contient des fragments anguleux d'autres pierres, **intraclastique** lorsque la matrice contient des fragments anguleux du même type que l'ensemble de la pierre, **vacuolaire** si elle possède des cavités/poches découlant de la dissolution de minéraux, **amygdalaire** lorsqu'il y a présence de poches rondes ou ovales formées de matériaux siliceux, **spérolithique** pour les pierres volcaniques à sphérules (sphères siliceuses ayant une ou deux zones concentriques), **péloïdale** si formée de grains ronds entassés, **oolithique** si formée de zones rondes concentriques constituées d'hématite ou de magnétite. Ces types de structures sont décrits plus en détails dans Codère (1996).

4 - Description

La colonne de description sert à recueillir des informations contextuelles et générales sur d'autres attributs de la matière lithique ou toute autre information pertinente. Toutefois, elle sert principalement à documenter les composantes macroscopiquement observables, soit ce que Codère appelle les « inclusions » (Codère 1996, 24). Celles-ci sont particulièrement importantes pour l'identification de certaines pierres comme les cherts ou certaines rhyolites. Plusieurs phénomènes géologiques sont susceptibles d'être observés. Les **radiolaires**, des animaux unicellulaires (protozoaires) marins de la superclasse des Actinopodes ont une taille comprise entre 50 à 300 micromètres, et font partie du zooplancton. Beaucoup présentent un squelette siliceux dont la forme est très variée en fonction des espèces (De Wever 2021). Les radiolaires peuvent être remplacés par des **carbonates** (blanc), de la **calcédoine** (bleuté) ou de la **silice** (incolore). Ils peuvent être lessivés laissant place à une cavité ronde. Les **fossiles** sont un autre élément important de l'identification des cherts, une pierre d'origine sédimentaire. On peut observer des fossiles d'invertébrés marins, de coraux ou d'algues/végétaux dont la présence indique l'âge de la roche et peut permettre de faire un rapprochement avec l'origine géologique régionale de la pierre. On peut ensuite observer des fragments anguleux de pierre au sein de la matrice (ex. : pyroclastique). Certaines pierres volcaniques peuvent avoir des **phénocristaux** (cristaux assez gros pour être observables à l'oeil nu) de quartz, de calcédoine ou de feldspath, ce qui donne un indice sur la vitesse de refroidissement du magma dans le cas des roches ignées extrusives. Le quartz peut être identifié en veine ou en cristaux et la calcédoine en poche ou également en veine. Les rhomboèdres de carbonates sont identifiables à leur forme de parallélogramme et à leur teinte blanchâtre ou jaunâtre et leur présence peut indiquer l'origine calcaire de certains cherts. On note les inclusions rondes comme les **oolithes**, des éléments carbonatés ayant des anneaux concentriques de cristaux de calcite (Guillemot 1986), et les **péloïdes**, terme général attribués à des agrégats de carbonates cryptocristallins (Mckee et Gutschick 1969). On note enfin toute **inclusion minérale** de couleur rouille, rouge, blanc, vert, foncée ou noire, ainsi que la présence de **vacuoles** (minéraux lessivés).

Construction du référentiel

À chaque nouvelle observation de matière première, un code (une nouvelle entrée) est créé dans le référentiel lithique. La localisation (site, puits/sondage, position stratigraphique) de l'artefact décrit est inscrite dans le référentiel afin de pouvoir effectuer une éventuelle rétroaction vers l'artefact-référence. Les codes inscrits dans le référentiel sont utilisés pour la description des artefacts dans l'inventaire général des sites archéologiques documentés dans le rapport. Il est important de souligner que les observations macroscopiques ne permettent pas d'établir l'origine géologique de la matière première décrite, mais permettent plutôt de distinguer les matières entre elles. Par contre, lorsque possible, nous comparons les enregistrements de notre base de données avec des échantillons lithiques dont l'origine géologique est connue et claire. Nous proposons une attribution pétrologique parfois spécifique, parfois générale à chacune des matières lithiques rencontrées. Enfin, un corpus de plusieurs dizaines de microphotographies réalisées à l'aide d'un microscope électronique est fourni de façon complémentaire au référentiel lithique. Ces images numériques sont représentatives de la matière décrite.

RÉFÉRENCES

CODÈRE, Yvon. 1996. « Des pierres et des hommes : première mise en valeur des collections de la Réserve nationale du Ministère de la Culture et des Communications du Québec ». Québec: Ministère de la Culture et des Communications du Québec.

CODÈRE, Yvon. 1998. « Des pierres et des hommes phase 2, Unités Borden CE, CF et CG ». Rapport inédit. Ministère de la culture et des communications du Québec.

DE WEVER, Patrick. 2021. « Radiolaires ». Dans *Encyclopædia Universalis*. <http://www.universalis-edu.com/encyclopedie/radiolaires/>.

GUILLEMOT, Jacques. 1986. *Éléments de géologie*. 4^e éd. Publications de l'Institut français du pétrole. Paris : Technip.

LUEDTKE, Barbara E. 1992. *An Archaeologist's Guide to Chert and Flint*. Archaeological Research Tools 7. Los Angeles : Cotsen Institute of Archaeology Press.

MCKEE, Edwin D., et Raymond C. Gutschick. 1969. *History of the Redwall Limestone of Northern Arizona*. Memoir 114. The Geological Society of America.

RÉFÉRENTIEL ET INVENTAIRE LITHIQUE

Exemples de microphotographies (grossissement $\pm 200X$)

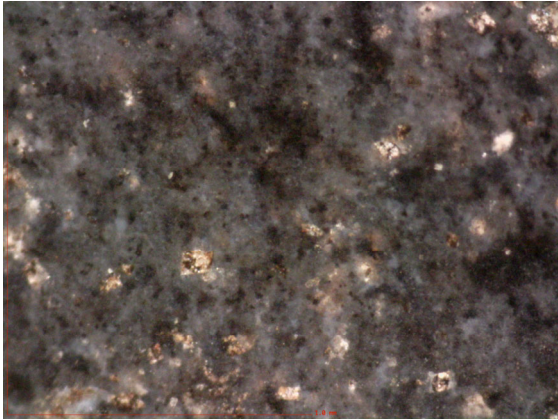


Figure 1. Chert calcaire de Trenton Kichisipi (CH-007, CcFr-1, cat. 390)

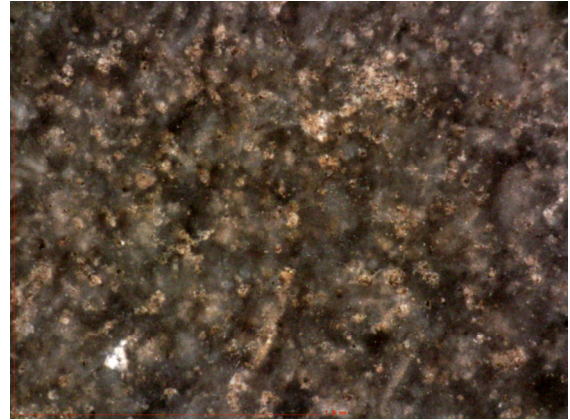


Figure 2. Chert calcaire de Trenton Kichisipi (CH-002, CcFr-1, cat. 586)

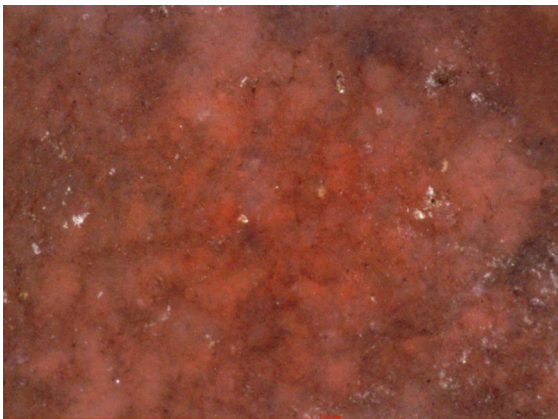


Figure 3. Chert rouge brunâtre foncé (CH-008, CcFr-1, cat. 345)

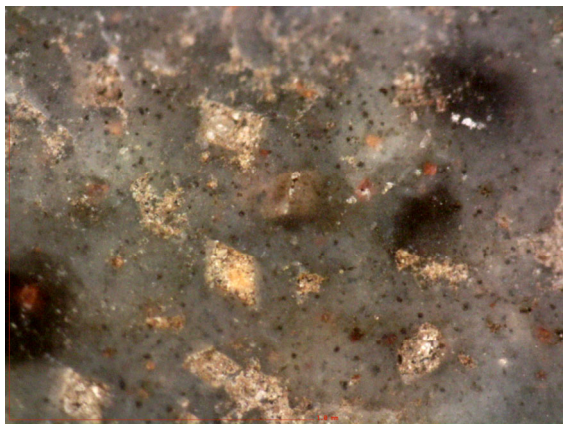


Figure 4. Chert calcaire indéterminé (CH-011, CcFr-1, cat. 408)



Figure 5. Chert Onondaga (ONO-001, CcFr-1, cat. 295)

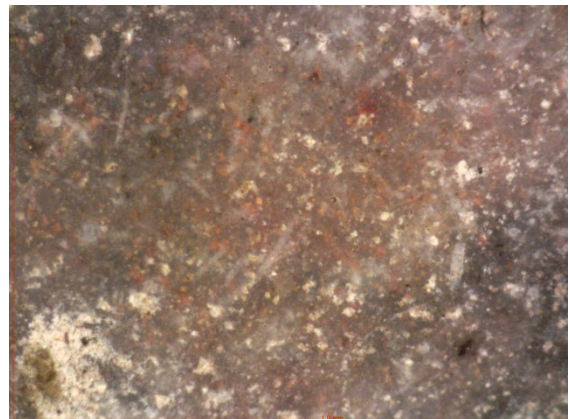


Figure 6. Chert Onondaga (ONO-003, CcFr-1, cat. 376)

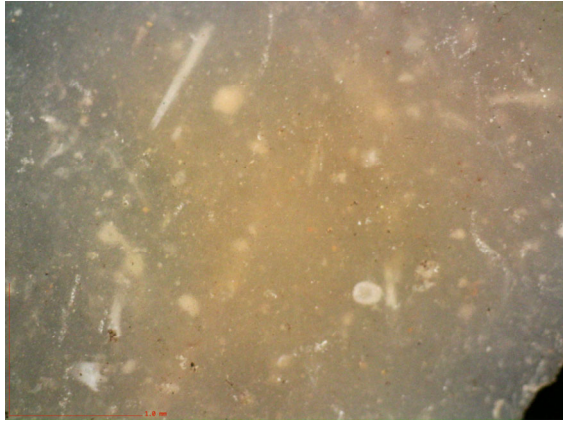


Figure 7. Chert siliceux brun (CH-012, CcFr-1, cat. 264)

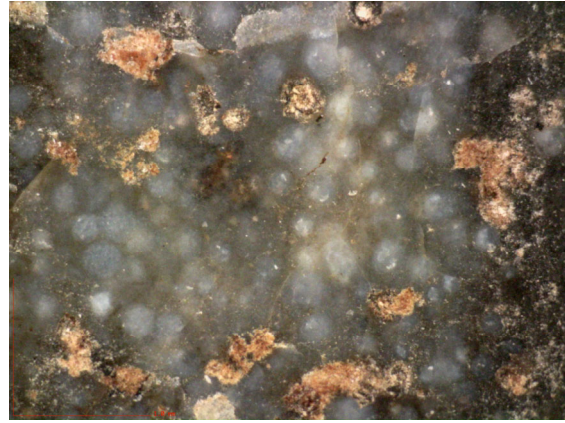


Figure 8. Chert à radiolaires brun très foncé (CH-039, CcFr-1, cat. 697)

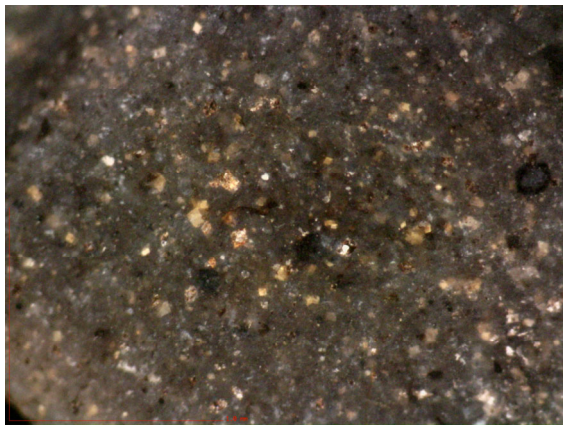


Figure 9. Chert calcaire indéterminé (CH-037, CcFr-1, 587)

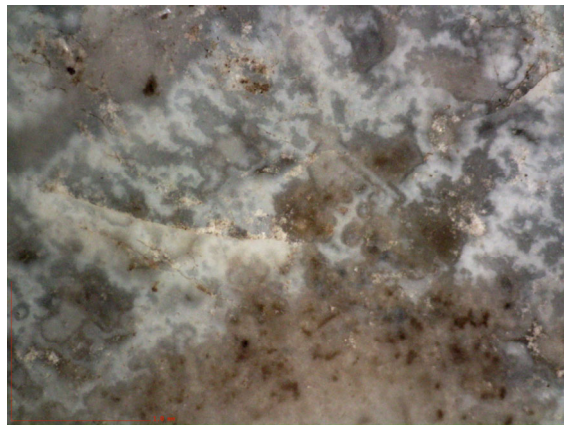


Figure 10. Calcédoine (CALC-002, CcFr-5, cat. 045)



Figure 11. Chert fossilifère beige pâle (CH-040, CcFr-5, cat. 025)

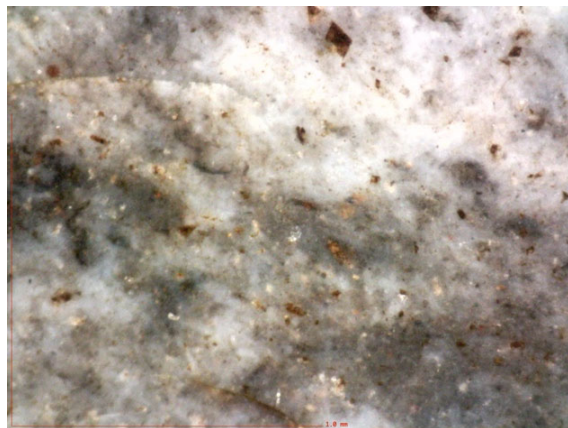


Figure 12. Chert Onondaga (CH-034, CcFr-1, cat. 477)

RÉFÉRENTIEL LITHIQUE SUR MATÉRIAUX 2021								
CATÉGORIE	CODE	COULEUR	TRANSPARENCE	STRUCTURE	GRAIN	DESCRIPTION	SITE	STRATE_REF
Chert Kichisipi Chert de Hull Chert du groupe de Trenton	CH-002	Gris très foncé, gris foncé légèrement bleuté	Opaque, semi-translucide	Homogène	Fin	Origine calcaire, matrice blanchâtre, avec taches et picots noirs, rhomboédres de carbonates, quelques fossiles	CcFr-1	50N-102E_NE_niv3
	CH-003	Gris foncé brunâtre	Semi-translucide	Homogène, peut être légèrement tacheté	Fin	Rhomboédres de carbonates, taches foncées et blanches, veine de silice ou calcédoine	CcFr-1	50N-102E_NW_niv3
	CH-004	Gris foncé	Opaque	Homogène	Fin	Rhomboédres de carbonates, fossiles, minéraux foncés	CcFr-1	50N-102E_SE_niv4
	CH-007	Gris foncé, gris foncé brunâtre, noir, gris bleuté	Opaque	Homogène	Fin	Rhomboédres de carbonates, taches blanches parfois de calcédoine, taches foncées, parfois présence de fossiles. Matrice tachetée ou marbrée. Chert Kichisipi	CcFr-1	50N-104E_SE_niv2
	CH-009	Gris, gris foncé	Opaque	Homogène	Fin	Patiné. Quelques rares rhomboédres de carbonates dissous en surface, taches blanches qui sont de possibles comblement de calcédoine	CcFr-1	50N-104E_NW_niv3
	CH-014	Gris foncé	Semi-translucide	Moutonné	Fin	Moutonné de taches blanches.	CcFr-1	50N-102E_SW_niv2
	CH-016	Noir brunâtre	Opaque, semi-translucide	Homogène?	Fin	Riche en rhomboédres de carbonates et petites taches blanches	CcFr-1	50N-102E_SW_niv2
	CH-017	Gris, gris foncé	Opaque, semi-translucide	Homogène	Fin	Rhomboédres de carbonates dissous en surface, parfois colorés rouge, marbré de taches blanches et noires généralement diffuses.	CcFr-1	50N-102E_SW_niv2
	CH-022	Gris foncé	Opaque	Homogène	Fin	Rhomboédres blancs, taches blanches diffusions sur fond foncé, structure de fossiles décomposées?	CcFr-1	50N106E_NW_niv1
	CH-023	Gris très foncé	Opaque	Homogène	Fin	Rhomboédres dissouts en surface, taches foncées, taches noires, poches de calcédoine	CcFr-1	50N106E_NW_niv1
	CH-024	Gris foncé, noir	Opaque	Homogène	Fin	Rhomboédres dissouts en surface, taches blanc bleuté diffuses	CcFr-1	50N106E_NW_niv2
	CH-031	Brun foncé grisâtre, noir	Opaque	Moutonné?	Fin	Riches en fossiles, taches blanches	CcFr-1	51N-103E_SW_niv3
	CH-032	Brun grisâtre	Opaque	Homogène	Moyen à fin	Riches en rhomboédres de carbonates, taches blanches et noires	CcFr-1	51N-103E_SW_niv3
CH-042	Gris très foncé légèrement bleuté	Opaque	Homogène	Fin	Nombreuses petites taches foncées dans une matrice plus pâle	CcFr-1	50N-102E_NE_niv1	
Variabilité incertaine du chert Kichisipi	CH-025	Gris foncé	Semi-translucide	Légèrement moutonné	Fin	Taches blanches de calcédoine, inclusions foncées, fossiles décomposés, vacuoles en surface, très rares rhomboédres de carbonates et possiblement quelques phénocristaux de quartz	CcFr-1	50N-106E_NE_niv2
	CH-033	Gris foncé brunâtre	Opaque	Homogène	Fin	Apparence marbrée à 200x	CcFr-1	51N-103E_NW_niv3
	CH-035	Gris foncé, noir	Opaque	Tacheté	Fin	Rhomboédres de carbonates, taches blanches, filigrané de blanc.	CcFr-1	51N-103E_NE_niv3
	CH-038	Gris très foncé brunâtre	Opaque	Légèrement moutonné	Fin	Fossiles transformés en calcédoine, rhomboédres de carbonates blancs et rouges	CcFr-1	52N-104E_NE_niv4_cuvette
	CH-045	Gris bleuté	Opaque	Homogène	Fin	Quelques rhomboédres de carbonate, nombreuses petites poches de cristallisation de calcédoine bien circonscrites, taches noires	CbFv-1	LD13_NE_couche2-3
Chert Onondaga	ONO-001	Gris, gris brunâtre, gris bleuté	Semi-translucide	Homogène, moutonné	Fin	Rhomboédres de carbonates, fossiles, petites taches noir ou brun très foncé, petites veinules de calcédoine. Aspect gris bleuté est distinctif	CcFr-1	50N-102E_SW_niv2
	ONO-002	Gris brunâtre foncé	Translucide	Homogène	Moyen à fin	Rhomboédres de carbonates blancs et jaunâtres, taches blanches, taches foncées. Aspect généralement brunâtre est distinctif	CcFr-1	J49
	ONO-003	Gris foncé, brun	Semi-translucide	Moutonné	Fin à aphanitique	Rhomboédres de carbonates blancs, jaunâtres et rougeâtres, taches blanches, taches foncées. Aspect généralement rougeâtre est distinctif	CcFr-1	50N-104E_SW_niv3
	CH-034	Gris, gris foncé	Semi-translucide	Moutonné	Fin	Rhomboédres de carbonates, fossiles, beaucoup d'inclusions foncées. Peut aisément se confondre avec la variabilité CH-014 du chert Kichisipi	CcFr-1	51N-103E_NE_niv3
	CH-005	Gris foncé légèrement brunâtre	Opaque		Fin	Riche en fossiles, carbonates dissous en surface, quelques taches noires. Éclat de référence trop petit pour qualifier la structure.	CcFr-1	50N-102E_SW_niv4
	CH-006	Gris foncé, parfois bleuté	Semi-translucide	Fines marbrures	Fin	Rhomboédres dissouts en surface	CcFr-1	50N-104E_NE_niv1
	CH-011	Gris, gris beige	Opaque	Homogène	Moyen à fin	Texture de la surface grossière. Rhomboédres dissouts en surface, inclusions noir, taches rougeâtres, sphérule?, fracture subconchoïdale.	CcFr-1	50N-106E_SW_niv2

RÉFÉRENTIEL LITHIQUE SUR MATÉRIAUX 2021								
CATÉGORIE	CODE	COULEUR	TRANSPARENCE	STRUCTURE	GRAIN	DESCRIPTION	SITE	STRATE REF
Cherts calcaires indéterminés	CH-015	Gris brunâtre	Opaque, semi-translucide	Homogène	Fin	Taches blanches, inclusions rouges, possible rhomboédres de carbonates	CcFr-1	50N-102E_SW_niv2
	CH-019	Gris beige	Semi-translucide	Homogène	Fin	Rhomboédres de carbonates jaunâtres et rougeâtres, fossiles, veines de calcédoine, inclusions rouge. Apparenté à CH-015?	CcFr-1	50N-104E_SW_niv3
	CH-030	Gris	Semi-translucide	Homogène, légèrement moutonné	Fin	Riche en rhomboédres de carbonates, quelques rares fossiles. Peut-être du chert Onondaga?	CcFr-1	51N-103E_NW_niv3
	CH-036	Gris, gris pâle	Semi-translucide	Moutonné	Fin	Rhomboédres de carbonates, taches foncées.	CcFr-1	51N-103E_NE_niv3
	CH-037	Gris foncé	Semi-translucide	Homogène	Fin à aphanitique	Rhomboédres de carbonates, taches foncées, inclusions rougeâtres.	CcFr-1	52N-102E_SW_niv2
	CH-043	Gris foncé, gris brunâtre foncé	Translucide	Homogène	Fin à aphanitique	Veines noir, taches blanches et jaunâtres (rhomboédres?), rares inclusions foncées.	CcFr-1	51N-105E_NE_niv1
Chert siliceux brun	CH-012	Brun, beige, brun grisâtre	Translucide	Homogène, parfois moutonné	Fin à aphanitique	Taches blanches et brunes, riche en fossiles (spicules).	CcFr-1	50N-102E_SE_niv1
	CH-013	Brun	Translucide	Homogène	Aphanitique	Taches blanches laiteuses, petites taches foncées, quelques fossiles et vacuoles, rhomboédres noirs (?)	CcFr-1	50N-102E_NE_niv2
	CH-028	Brun foncé	Semi-translucide	Moutonné et tacheté	Fin à aphanitique	Fossiles, veines de calcédoine, taches brunes foncées, aspect siliceux et lustré	CcFr-1	51N-103E_NW_remb lai
	CH-029	Brun pâle	Translucide	Homogène	Aphanitique	Fossile?	CcFr-1	51N-103E_SE_remb lai
	CH-041	Brun grisâtre foncé	Semi-translucide	Légèrement moutonné à 200x	Fin	Taches blanches diffuses, quelques inclusions foncées, fossile, inclusions de calcédoine? BTBH?	CcFr-1	50N_104E_SW_niv3
Autres cherts caractéristiques	CH-008	Rouge brunâtre foncé	Translucide	Homogène	Fin à aphanitique	Aspect cireux, matrice rouge foncé avec taches blanchâtres à certains endroits. Semble riche en silice. Munsungun?	CcFr-1	50N-104E_SE_niv2
	CH-027	Brun jaunâtre ou orangé, verdâtre	Semi-translucide	Homogène	Aphanitique	Cireux. Petites taches un peu plus foncées que la matrice partout. Il est possible que cette matière soit le résultat de la chauffe de CH-008	CcFr-1	50N-106E_NW_niv3
	CH-039	Brun très foncé	Opaque	Homogène	Fin	Très riche en radiolaires à couleur parfois bleuté. Certains sont dissous et on laissé des vacuoles en surface	CcFr-1	52N106E-SE-niv2
	CH-040	Beige très pâle	Translucide	Homogène	Fin	Très riche en fossiles et péloïdes (?) remplacés par silice	CcFr-5	BC53
	CH-047	Gris	Translucide	Moutonné	Fin à aphanitique	Peites inclusions ronges concentrées dans bande gris foncé, inclusions foncées, matrice légèrement marbrée possiblement due à la silicification	CcFr-5	BC58
Chert indéterminé	CH-000	Tons variant de blanchâtre à noirâtre		Homogènes		Catégorie générale des cherts indéterminés gris foncés, sans caractéristiques visuelles distinctives. Certains sont d'origine calcaire		
	CH-001	Gris	Semi-translucide	Homogène, tacheté	Fin	Nombreuses taches blanches aux limites diffuses	CcFr-1	50N-102E_SE_niv2
	CH-010	Noir	Opaque	Homogène	Aphanitique	Matrice très fine, inclusions blanches et foncées. Des taches foncées pourraient être des restes de fossiles	CcFr-1	50N-104E_NW_niv3
	CH-018	Beige	Semi-translucide	Homogène	Fin	Inclusions foncées, péloïdes?, rhomboédres jaunâtres?, fossile	CcFr-1	50N-104E_SW_niv3
	CH-020	Gris beige	Translucide	Homogène	Fin	Cireux, fossiles (spicules?), taches blanches	CcFr-1	50N-104E_SW_niv3
	CH-026	Gris foncé	Opaque	Homogène	Aphanitique	Petites taches blanches, fossiles?, minéraux foncés	CcFr-1	50N-106E_SE_niv2
Calcédoine	CALC-001	Gris, blanc	Translucide	Moutonné, veiné	Fin	Rhomboédres rougeâtres et jaunâtres (?), enfumures, très cristallisés, apparence bleutée. Une calcédoine ou un quartzite chauffé?	CcFr-1	51N-103E_NW_niv3
	CALC-002	Gris pâle, gris bleuté	Semi-translucide	Tacheté	Fin	Fossiles, taches gris brun, apparence bleutée saillante, très nombreuse poche de calcédoine. Calcédoine du LSJ ?	CcFr-5	BC58
Quartzite	Quartzite		Translucide			Catégorie générale des quartzites variés		
	QTZT-001	Gris verdâtre	Translucide	Tacheté?	Moyen	Taches blanches	CcFr-1	51N-103E_SW_niv3

RÉFÉRENTIEL LITHIQUE SUR MATÉRIAUX 2021								
CATÉGORIE	CODE	COULEUR	TRANSPARENCE	STRUCTURE	GRAIN	DESCRIPTION	SITE	STRATE_REF
	QTZT-002	Tons de blanc ou gris pâle	Translucide			Enfumé		
	MISTA	Blanc, gris, gris foncé	Translucide	Homogène, parfois enfumé	Aphanitique	Quartzite de Mistassini		
Quartz		Blanc, gris	Translucide		Aphanitique	Matière d'origine locale		
Quartz hyalin		Incolore	Translucide		Aphanitique	Quartz très pur et d'apparence vitreuse, sans forme cristalline spécifique		
Ignée	IGN-001	Gris foncé verdâtre	Opaque	Bréchique?	Grossier	Riche en inclusions grises foncées ogivales étirées, taches blanches siliceuses, phénocristaux de quartz. Une rhyolite?	CcFr-1	J46
Métamorphique						Catégorie générale des roches métamorphiques variées		
Shale						Catégorie générale des shales, roches schisteuses et ardoises		
Matière incertaine	GR-001	Gris pâle rosâtre à rouge brunâtre	Translucide	Moutonné et enfumé	Aphanitique	Pourrait être un grès recristallisé, grains détritiques, inclusions foncées dans matrice cristalline. Jaspe de Pennsylvanie?	CcFr-5	BC58

AUTRES MATIÈRES DU RÉFÉRENTIEL LITHIQUE 2011-2022 (EN DÉVELOPPEMENT)

CATÉGORIE	CODE	COULEUR	TRANSPARENCE	STRUCTURE	GRAIN	DESCRIPTION	SITE	STRATE_REF
Pyroclastique	PYR	Gris, gris foncé	Opaque	Bréchique	Moyen à fin	Roche ignée brun très foncé, gris foncé verdâtre à noir, généralement avec nombreuses inclusions visibles à l'oeil nu		

CbFv-1 - 2021 - CULTURE MATÉRIELLE LITHIQUE AVEC CODES DE RÉFÉRENCE

PUIT/SONDAGE	QUADRANT	NIVEAU	QTE	DESCRIPTION + CODES	CAT
LD5			1	Quartz et granit?	1
LD13	SW	10-15	3	3 CH-007	2
LD13	NE	2/3 15	1	Gros nucléus de chert CH-007	3
LD13	NE	2/3 15-20	2	2 CH-045	4
LD13	SE	15-30	6	6 CH-007 ou CH-045	5
LD13	SE	15-30	1	Nucléus CH-007	6
LD13	NE	3 20-25	2	2 CH-044	7
LD13	NE	foyer 34	1	Gros morceau de graphite	8
LD13	NE	foyer 25-55	5	1 quartz, 4 CH-007	9
LD13	NE	foyer 25-55	1	Petit fragment de graphite	10
LD13	NE	foyer 52	1	Percuteur, matière indéterminée	12
LD13	SE	foyer	2	2 CH-007	13
LD13	SW	foyer 40	1	Broyeur? Matière indéterminée. 45N-60W	16
LD13	SW	foyer 20-55	9	9 fragments et éclats en chert CH-007	17
LD18		15-20	5	1 gros fragment de chert CH-007, 1 fragment de quartz laiteux, 3 indéterminés	21
LD26		5-10	1	1 CH-007	22
LD26		10-17	2	Gros fragments granitiques/gabbro? fracturés aspects enlèvements	23

CbFv-2 - 2021 - CULTURE MATÉRIELLE LITHIQUE AVEC CODES DE RÉFÉRENCE

PUIT/SONDAGE	QUADRANT	NIVEAU	QTE	DESCRIPTION + CODES	CAT
RC7		10-12 cm	5	5 CH-041	2
RC18		8 cm	1	Quartzite fin gris pâle, translucide (Mista?)	3

CcFr-1 - 2021 - CULTURE MATÉRIELLE LITHIQUE AVEC CODES DE RÉFÉRENCE

PUIT/SONDAGE	QUADRANT	NIVEAU	QTE	DESCRIPTION + CODES	CAT
NA			1	Roche métamorphique ind., galet de 140,6 g avec usure aux deux extrémités distales, chauffé, découverte hors contexte dans le tas de sable à la fin du chantier	291
sondage J45		± 15-30	5	4 quartz, 1 ONO-001	226
sondage J46		0-20	6	2 quartz hyalin, 2 ind. beige grisâtre, 2 IGN-001	227
sondage J46		20-30	3	1 ONO-001, 2 ind.	230
sondage J47		0-20	1	Fragment d'outil bifacial en chert ONO-001. 18X12mm	233
sondage J47		20-30	1	ONO-001	234
sondage J47		± 25	1	Grattoir sur éclat en quartz. 40x36mm.	237
sondage J47		± 30	1	Grattoir sur éclat en quartz. 44X39mm	238
sondage J47		± 30	1	Fragment d'outil bifacial en quartz. 52x21mm	239
sondage J48		2/20-30	2	1 MISTA enfumé, 1 CH-000	240
sondage J49		2/± 20-30	2	1 quartz hyalin, 1 ONO-002	242
sondage J50		1/0-15	1	1 CH-000	244
sondage J50		3/15-35	2	1 quartz à mica, 1 CH-000	247
50N102E	NW	1/0-10	9	3 ONO-001, 1 CH-004, 1 CH-007, 4 CH-000	253
50N102E	NE	1/0-10	18	1 quartz, 1 MISTA, 5 ONO-001, 1 CH-003, 1 CH-016, 1 CH-042, 1 calcaire beige, 7 CH-000	259
50N102E	SE	1/0-10	24	2 quartz, 5 hyalins, 4 Mista, 1 CH-012, 6 ONO-001, 1 CH-009, 1 CH-022, 4 CH-000	264
50N102E	SW	1/0-10	17	5 quartz, 3 hyalins, 2 chert blanc, 3 ONO-001, 1 CH-007, 1 CH-022, 1 CH-034, 1 CH-000	271
50N102E	SW	1/0-10	1	Fragment distal de grattoir en chert ONO-001. 17x4mm.	284
50N102E	NW	2/10-20	64	11 quartz, 1 hyalin, 1 quartzite à grain moyen blanc, 19 ONO-001, 2 MISTA, 4 CH-012, 5 CH-007, 3 CH-014, 17 CH-000, 1 shale gris (?)	278
50N102E	NW	2/10-20	1	Grattoir sur éclat en chert CH-007. 17X14mm	292
50N102E	NW	2/10-20	1	Quartz. 26x20mm.	279
50N102E	NW	2/10-20	1	Grattoir unimarginal sur éclat en chert ONO-001. 16X14mm	280
50N102E	NE	2/10-20	55	7 quartz, 5 Mista, 2 CH-012, 1 CH-002, 19 ONO-001, 4 CH-013, 17 CH-000	289
50N102E	SW	2/10-20	12	1 Mista, 1 quartz, 1 ind.beige pâle, 3 ONO-001, 2 CH-014, 1 CH-015, 1 CH-016, 2 CH-017	295
50N102E	SE	2/10-20	21	2 quartz, 1 hyalin, 1 quartzite translucide à grain moyen, 3 QTZT-002, 1 CH-001, 1 CH-017, 6 ONO-002, 5 CH-000, 1 CH-014	299
50N102E	NE	3/20-25	6	1 quartz, 2 pierres gris pâle à fracture fissile, 1 CH-013, 1 ONO-002, 1 CH-002	302
50N102E	NW	3/20-25	6	1 quartz, 1 CH-003, 1 ONO-001, 1 ONO-002, 1 CH-000, 1 shale gris	305
50N102E	SE	3/20-25	1	Quartz	308
50N102E	NE	4/25-40	1	CH-014	310
50N102E	NW	4/25-40	3	1 quartzite, 1 ind. beige à fracture fissile à subconchoïdale, 1 CH-000	313
50N102E	SE	4/25-40	6	1 quartz, 1 CH-013, 1 QTZT-001, 1 nd gris, 1 CH-014, 1 CH-004	316
50N102E	SW	4/25-40	1	Grattoir unimarginal sur éclat en chert ONO-001. 10x10mm.	319
50N102E	SW	4/25-40	5	2 quartz, 1 ind. beige brunâtre, 1 CH-005, 1 ONO-001	320
50N104E	NE	1/0-10	4	1 quartz, 1 ONO-001, 2 CH-000	325
50N104E	SE	1/0-10	1	Quartz	330
50N104E	SW	1/0-10	1	Pierre schisteuse gris vert, à fracture fissile. Proviendrait des pierres de l'escalier menant à la plage.	333
50N104E	NW	2/10-20	2	1 ONO-001, 1 Mista	341
50N104E	SE	2/10-20	7	2 ONO-001, 3 CH-000, 1 CH-008, 1 CH-007	345
50N104E	SW	2/10-20	4	2 quartz, 1 ONO-001, 1 CH-002	353

CcFr-1 - 2021 - CULTURE MATÉRIELLE LITHIQUE AVEC CODES DE RÉFÉRENCE

PUIT/SONDAGE	QUADRANT	NIVEAU	QTE	DESCRIPTION + CODES	CAT
50N104E	NW	3 pr-1/93	1	Petit grattoir en quartz, 10x10mm. 89N6E.	361
50N104E	NW	3 pr-1/83	1	Petit grattoir en chert CH-009, 10x15mm. 94N10E.	362
50N104E	NW	3/20-84	55	11 quartz, 1 nodule quartzite blanc gris fin, 6 Mista, 4 calcaire beigâtre, 1 CH-012, 1 CH-041, 1 CH-003, 5 CH-007, 5 ONO-002, 4 ONO-003, 1 CH-010, 13 CH-000	363
50N104E	SW	3/20-84	2	Grattoir en quartz grossier. 10X10mm	373
50N104E	SW	3/20-84	2	Grattoir unimarginal sur éclat en chert ONO-001. 10X8mm	374
50N104E	SW	3 pr-1/93	1	Éclat en chert ONO-001. Provient de la fosse du niveau 3. 19N29E	375
50N104E	SW	3/20-84	20	4 quartz, 1 CH-008, 7 ONO-001, 2 ONO-002, 1 ONO-003, 1 CH-020, 4 CH-000	376
50N106E	NW	1/0-10	3	1 Mista, 1 CH-022, 1 CH-023	388
50N106E	NE	1/0-10	3	1 ONO-001, 2 CH-007	390
50N106E	SE	1/0-10	7	1 quartz hyalin, 1 Mista, 1 CH-006, 1 CH-022, 3 CH-007	393
50N106E	SW	1/0-10	1	ONO-001 riche en calcaire	396
50N106E	SW	1/0-10	1	Nucléus? Chert CH-015	397
50N106E	NW	2/10-20	1	Grattoir unimarginal sur éclat en chert CH-024. 10x8mm. N71E31	399
50N106E	NE	2/10-20	1	Outil sur éclat en chert CH-025. 15X9mm	401
50N106E	SE	2/10-20	4	1 CH-000, 1 CH-006, 1 CH-017, CH-026	404
50N106E	SW	2/10-20	2	1 CH-023, 1 CH-007	407
50N106E	SW	2 pr-2/18	1	Partie proximale outil bifacial emmanché à encoches latérales évasées. 34X33mm Chert CH-011. 20N05E.	408
50N106E	NW	3/20-30	7	2 quartz, 1 Mista d'amincissement bifacial, 1 CH-024, 1 CH-016, 1 CH-003, 1 CH-027	411
50N106E	NW	3/20-30	1	Outil sur éclat en roche métamorphique gris rouge. 16X8mm	412
50N106E	SE	3 pr-2/28	1	Grattoir sur nucléus (bifacial?). 41x34mm. Chert ONO-001 patiné. 4N68E. Aurait été trouvé dans un Ah	415
50N106E	SE	3 pr-2/27	1	Fouille extension du puit (paroi sud). Fragment distal grattoir en chert ONO-001. 19x10mm. 3N70E.	418
51N103E	NW	1/remblai-2020	6	1 quartz, 2 CH-000, 1 CH-007, 1 ONO-001, 1 CH-028	421
51N103E	NE	1/remblai-2020	2	1 ONO-001, 1 ONO-002	423
51N103E	SE	1/remblai-2020	5	1 quartzite gris pâle à grain moyen/fin (Mista?), 1 CH-000, 1 CH-007, 2 CH-029	425
51N103E	SW	1/remblai-2020	2	1 quartz, 1 CH-022	428
51N103E	SW	1/0-10	4	4 CH-000. Sol naturel du quadrant (tourbe)	435
51N103E	NW	2/8-10	3	1 quartz, 1 CH-007, 1 ONO-001	438
51N103E	SW	2/8-10	2	1 quartz, 1 CH-012	440
51N103E	NW	3/10-20	15	5 quartz, 1 quartzite moyen-grossier gris blanc, 1 quartzite grain moyen-fin gris blanc (Mista?), 2 ind. gris, 2 CH-029, 1 CH-012, 1 CH-015, 1 CH-006, 1 CH-030	446
51N103E	NW	3/10-20	1	Fragment d'outil sur éclat en chert CH-028. 8x7mm	447
51N103E	NE	3/10-20	5	4 ONO-001, 1 CH-000	450
51N103E	SE	3/10-20	1	Prof. : 10-15. Grattoir sur éclat en quartz hyalin. 11X8mm	463
51N103E	SE	3/10-20	1	Prof. : 10-15. Grattoir sur éclat en quartz hyalin. 9X8mm	464
51N103E	SE	3/10-20	3	Prof. : 10-15. 1 quartz, 1 CH-017, 1 ONO-001	465
51N103E	SW	3/10-20	13	1 quartz, 1 quartz laiteux, 1 QTZT-001, 3 CH-000, 3 ONO-001, 1 CH-022, 1 CH-007, 1 CH-031, 1 CH-032	458
51N103E	SW	3 pr-1/33	1	Gros éclat de quartz. 22N02E	459

CcFr-1 - 2021 - CULTURE MATÉRIELLE LITHIQUE AVEC CODES DE RÉFÉRENCE					
PUIT/SONDAGE	QUADRANT	NIVEAU	QTE	DESCRIPTION + CODES	CAT
51N103E	NW	3 pr-1/42	1	Fragment proximal d'outil bifacial en CALC-001, ou quartzite chauffé?. 97N08E	470
51N103E	NW	3/20-30	4	1 quartz, 1 quartzite gris pâle à grain moyen, 1 ONO-001, 1 CH-007	471
51N103E	NE	3/20-30	16	4 quartz, 3 quartzite gris pâle à grain moyen, 2 CH-000, 4 ONO-001, 2 CH-022, 1 CH-034	476
51N103E	NE	3/20-30	1	Outil sur éclat unimarginal en chert CH-034. 14x9mm	477
51N103E	SE	3/20-30	3	2 quartz, 1 ONO-002	480
51N103E	SE	3/20-30	1	Fragment d'outil bifacial en chert CH-012. 14x8mm	481
51N103E	SW	3/20-30	6	2 quartz dont un pourrait être un nucléus, 1 hyalin, un quartzite gris pâle à grain moyen à fracture subconchoïdale, 1 CH-034, 1 CH-033	484
51N103E	NE	3/30-40@55	29	8 quartz, 2 Mista, 9 CH-000, 1 ind. blanc (chauffé?), 1 CH-035, 1 CH-036, 1 CH-024, 1 ONO-002, 2 CH-003, 1 CH-022, 2 CH-007	490
51N103E	SE	3/30-40@55	20	8 quartz, 2 CH-000, 1 Mista, 2 quartzite à grain moyen-fin gris blanc (Mista?), 1 CH-008, 3 ONO-002, 1 CH-003, 1 CH-007, 1 CH-036	493
51N103E	NE	3/40@55-75	7	3 quartz, 1 quartzite grain moyen-fin gris blanc (Mista?), 2 CH-000, 1 ONO-002	497
51N103E	SE	3/40@55-75	9	Prof. : 55-60. 2 quartz, 3 quartzite, 2 CH-007, 2 ONO-001	501
51N103E	SE	3/40@55-75	7	Prof. : 60-70. 1 ind. beige avec mica, 1 Mista, 1 CH-000, 1 quartzite à grain moyen-fin gris, 2 ONO-001, 1 CH-041	502
51N103E	SE	4/±40-75	2	Prof. : 70-75. 1 quartz hyalin, 1 Mista	508
51N103E	NE+SE	NA	2	Nettoyage de paroi. 1 CH-006, 1 ONO-001	518
51N105E	NW	1/0-10	5	3 quartz, 1 CH-025, 1 ONO-001	521
51N105E	NE	1/0-10	2	1 ONO-001, 1 CH-043	524
51N105E	SW	1/0-10	1	Fragment d'outil bifacial en chert CH-000. 19x10mm	529
51N105E	SW	1/0-10	1	Fragment de grattoir en chert ONO-001. 12x8mm	530
51N105E	SW	1/0-10	1	Quartz	531
51N105E	NW	2/10-20	10	3 quartz, 1 CH-000, 1 Mista, 1 CH-007, 2 ONO-001, 1 CH-002, 1 CH-012	534
51N105E	NE	2/10-20	3	2 quartz, 1 CH-034	537
51N105E	SE	2/10-20	1	Quartz	539
51N105E	SW	2/10-20	2	1 ind. beige, 1 CH-006	544
51N105E	NE	3/20-30	5	2 quartz, 2 ONO-002, 1 CH-007	550
51N105E	NE	4/30-435	1	Quartz hyalin	554
51N105E	SW	4/30-435	1	1 ONO-001 gris foncé	556
52N102E	SE	1/0-10	3	1 Mista, 1 ONO-001, 1 CH-007	560
52N102E	SW	1/0-10	1	Quartz	563
52N102E	SW	1/0-10	1	Percuteur dur. 100x55x37mm	564
52N102E	NW	2/10-20	48	25 quartz, 3 quartzite grain moyen-fin gris blanc (Mista?), 6 CH-000, 6 ONO-002, 1 CH-006, 1 CH-014, 2 CH-022, 3 CH-007, 1 CH-024	567
52N102E	NW	2/10-20	1	Fragment de grattoir sur éclat en chert ONO-001. 19x11mm	568
52N102E	NE	2/10-20	9	3 quartz, 2 quartzite, 1 CH-023, 1 CH-043, 2 CH-000	572
52N102E	SE	2 pr-1/34	1	Fragment d'outil bifacial en chert CH-009. 21x17mm. 21N62E. "Pièce esquillée"	581
52N102E	SE	2/10-20	13	6 quartz, 1 quartzite grain moyen-fin gris blanc (Mista?), 1 ind. blanc, 1 chert gris foncé calcaire, 1 quartzite grain moyen-fin gris légèrement verdâtre tacheté, 3 ONO-001	582
52N102E	SW	2/10-20	24	11 quartz, 1 quartzite grain moyen-fin gris blanc (Mista?), 3 CH-000, 6 ONO-001, 1 CH-002, 2 CH-003	586
52N102E	SW	2/10-20	1	Très petit fragment d'outil sur support inconnu, peut-être un éclat, en chert CH-037	587
52N102E	SW	2/10-20	1	Fragment de grattoir sur éclat en chert ONO-001. 14x7mm	588

CcFr-1 - 2021 - CULTURE MATÉRIELLE LITHIQUE AVEC CODES DE RÉFÉRENCE

PUIT/SONDAGE	QUADRANT	NIVEAU	QTE	DESCRIPTION + CODES	CAT
52N102E	SW	2/10-20	1	Fragment de grattoir sur éclat en chert CH-022. 11x8mm	589
52N102E	SW	2/10-20	1	Très petit fragment de grattoir sur éclat en chert CH-016. 10x3mm	590
52N102E	SW	2/10-20	1	Fragment d'outil bifacial en chert CH-003. 25x11mm	591
52N102E	SW	2/10-20	1	Fragment d'outil (grattoir?) sur éclat en chert CH-003. 20x11mm	592
52N102E	SW	2/10-20	1	Grattoir sur éclat en calcaire gris. 15x15mm	595
52N102E	NW	3/20-34	24	8 quartz, 2 quartzite grain moyen-fin gris blanc (Mista?), 1 quartzite à grain moyen-fin blanc enfumé (Mista?), 5 CH-000, 3 ONO-002, 1 CH-002, 2 CH-007, 1 CH-014, 1 éclat lamellaire CH-007.	597
52N102E	NW	3/20-34	1	Fragment d'outil (grattoir?) sur éclat en chert CH-034. 18x13mm	598
52N102E	NE	3/20-34	30	8 quartz, 7 Mista, 4 ind. gris, 1 CH-000, 3 ONO-001, 1 ONO-002, 3 CH-022, 1 CH-002, 1 CH-007, 1 CH-014	602
52N102E	NE	3/20-34	1	Grattoir sur éclat en chert ONO-001 beige. 12x11mm	603
52N102E	SE	3/20-34	6	1 quartz, 1 quartzite grain moyen-fin gris blanc (Mista?), 1 CH-000, 2 CH-007, 1 ONO-001	607
52N102E	SW	3/20-34	16	3 quartz, 2 quartzite grain moyen-fin gris blanc (Mista?), 4 ONO-001, 1 CH-002, 1 CH-007, 1 CH-009, 1 CH-024, 3 CH-000	610
52N102E	SW	3/20-34	1	Grattoir sur éclat en chert CH-007. 11x9mm	611
52N102E	SW	3/20-34	1	Fragment de grattoir sur éclat en chert CH-007. 14x6mm	612
52N102E	NE	4/20-22@23	7	2 quartz, 2 Mista, 1 CH-041, 1 ONO-001, 1 CH-000	615
52N102E	SW	4 pr-1/40	1	Nodule de graphite à plusieurs faces, dont 4 subplanaires. Ce manuport semble avoir été frotté lui donnant ainsi sa forme polygonale. 22x13x11. 40N44E.	620
52N102E	NW	5/18-40	1	Mistassisni	622
52N102E	NE	5/18-40	1	1 quartzite grain moyen-fin gris blanc (Mista?)	625
52N102E	SE	5/18-40	2	1 Mista, 1 quartzite grain moyen-fin gris blanc (Mista?)	628
52N102E	SW	5/18-40	5	1 quartz, 1 quartzite grain moyen gris blanc, 1 quartzite grain moyen-fin gris blanc (Mista?), 1 CH-007, 1 CH-000	632
52N104E	SW	1/0-10	1	ONO-001	638
52N104E	NW	2/10-20	5	1 quartz, 1 ONO-002, 2 CH-014, 1 CH-022	641
52N104E	NE	2/10-20	1	Fragment de grattoir sur éclat en quartz hyalin. 20x14mm	644
52N104E	NE	2/10-20	2	1 ONO-001, 1 CH-007	645
52N104E	SW	2/10-20	1	CH-022	650
52N104E	SW	2/10-20	1	Grattoir sur éclat en chert CH-016. 14X9mm	651
52N104E	NE	3/20-30	6	3 quartz, 1 CH-006, 2 ONO-001	658
52N104E	NE	3/20-30	1	Grattoir sur éclat en quartz. 16x16mm	659
52N104E	NE	3/20-30	1	Fragment d'outil sur éclat en quartz hyalin. 20x18mm	660
52N104E	NE	3/20-30	1	Fragment d'outil sur éclat en chert ONO-001. 11x5mm	661
52N104E	SE	3/20-30	1	CH-000	662
52N104E	SW	3/20-30	1	CH-012	664
52N104E	NE	4/cuvette	9	5 quartz, 1 ONO-001, 2 CH-000, 1 quartzite	667
52N104E	NE	4/cuvette	1	Fragment de grattoir sur éclat en quartz. 17x14mm	668
52N104E	NE	4/cuvette	1	Fragment de grattoir sur éclat en chert CH-038. 17x14mm	669
52N104E	NE	4 pr-1/54	1	Grattoir sur éclat en roche métamorphique schisteuse gris foncé à fracture fissile. 51x42mm. 67N68E	670
52N104E	NW	5 pr-1/38-68	2	2 ONO-001	674
52N104E	SW	5 pr-1/38-68	2	1 quartz, 1 ONO-001	675
52N104E	SW	5 pr-1/38-68	1	Grattoir sur éclat en chert CH-016. 18x14mm	676
52N104E	paroi		2	1 Mista, 1 CH-002	680

CcFr-1 - 2021 - CULTURE MATÉRIELLE LITHIQUE AVEC CODES DE RÉFÉRENCE

PUIT/SONDAGE	QUADRANT	NIVEAU	QTE	DESCRIPTION + CODES	CAT
52N106E	NE	1/0-10	1	Quartz	683
52N106E	NE	1/0-10	1	Fragment distal d'outil bifacial, potentiellement une pointe de projectile, en roche métamorphique brun foncé à fracture subconchoïdale. 20x16mm	684
52N106E	SE	1/0-10	1	Mista	686
52N106E	NW	2/10-17@20	2	1 quartz, 1 CH-014	688
52N106E	NE	2/10-17@20	6	3 quartz, 1 Mista, 1 CH-007, 1 CH-037	693
52N106E	SE	2/10-17@20	1	Quartz	695
52N106E	SE	2 pr-2/24	1	Pièce esquillée en chert CH-039. 30x29mm. 29N68E	697
52N106E	NW	3/17@20-20@30	1	CH-024	700
52N106E	SE	3/17@20-20@30	1	ONO-001	704

CcFr-5 - 2021 - CULTURE MATÉRIELLE LITHIQUE AVEC CODES DE RÉFÉRENCE

PUIT/SONDAGE	QUADRANT	NIVEAU	QTE	DESCRIPTION + CODES	CAT
BC53			3	1 quartz, 1 ONO-001, un gros éclat d'amincissement bifacial en chert CH-040 possiblement chauffé	25
BC55			2	1 quartz, 1 CH-000	27
BC56		0-6	5	Quartz	28
BC56		6-11	3	Quartz hyalin	30
BC56		6-11	1	Fragment de grattoir sur éclat en quartz hyalin. 12X7mm	31
BC57		4	25	Quartz	34
BC57		4	1	Fragment de grattoir sur éclat en quartz hyalin. 19x9mm	35
BC57		paroi	2	1 quartz, 1 CH-000	37
BC58		33-39	12	2 quartz, 4 CH-008, 3 CALC-002, 1 CH-047, 6 GR-001	38
BC60		1/0-16	1	Nucléus en quartz	39
BC60		1/0-16	6	2 quartz, 1 quartz très grossier rosé, 3 CH-000	40
BC60		1/0-16	1	Fragment de grattoir multimarginal sur éclat en quartz hyalin. 12x8mm	41
BC60		1/0-16	1	Fragment d'outil bifacial en quartz hyalin	42
BC60		1/0-16	1	Fragment mesio-proximal d'une pointe à encoches en coin et base convexe en chert CH-008. 20X17mm. Prof 10 cm. Loc : 22 cm depuis coin NW	43
BC60		2	5	2 quartz, 2 quartzite gris rose, 1 CH-000	45
BC62		1	1	Quartz	48
BC62		2	1	CH-000 probablement chauffé	50
BC62		2	1	Micro grattoir sur éclat en quartz hyalin. 10X10mm	51
BC67			1	1 possible nucléus en quartz. 4 petits fragments de quartz NON CONSERVÉS	56
BC71			3	1 fragment anguleux de quartz, 1 quartz, 1 quartz hyalin	58
BC71			2	2 fragments de cristal de quartz	59
BC73			1	1 gros éclat de dégrossissage en quartz	60

Annexe C Inventaire des artefacts et écofacts

Site : Lauraine Dicaire

Code : CbFv-1

Inventaire des artefacts et écofacts

Archéologues: Karine Taché-Francis Lamothe

Analystes: Francis Lamothe-Karine Taché-Roland Tremblay-Adrien Cesario-Olivier Pilette

Date : octobre 2021

Collection :

Puits/sondage	Quadrant	Niveau	Code mat.	Matériau	Objet	No. frag.	No. obj.	Code fonction	Fonction	Intégrité	Commentaires	No. Bte	No. Cat.
LD5			4.1	Matières premières	Indéterminé	1	?	7.1	Indéterminé	Frag	Quartz et granit?	1	1
LD13	SW	10-15	4.1	Matières premières	Éclats	3	?	7.1	Indéterminé	Frag	3 Kichisipi	1	2
LD13	NE	2/3 15	4.1	Matières premières	Nucléus	1	1	1.1.1.1	Pierre, dure, outil	Frag	Gros nucléus de Kichisipi	1	3
LD13	NE	2/3 15-20	4.1	Matières premières	Éclats	2	?	7.1	Indéterminé	Frag	2 Kichisipi incertain (CH-045)	1	4
LD13	SE	15-30	4.1	Matières premières	Éclats	6	?	7.1	Indéterminé	Frag	6 Kichisipi	1	5
LD13	SE	15-30	4.1	Matières premières	Nucléus	1	1	1.1.1.1	Pierre, dure, outil	Frag	Nucléus de Kichisipi	1	6
LD13		15-30	5.1.1	Os	ossements	7	?	6.1.1	Animaux sauf mollusques	Frag	Petits fragments blanchis	1	24
LD13	NE	3 20-25	4.1	Matières premières	Éclats	2	?	7.1	Indéterminé	Frag	2 Kichisipi incertain (CH-044)	1	7
LD13	NE	foyer 34	4.1	Matières premières	Graphite	1	1	1.1.2.4	Pierre tendre, techno-témoin	Frag	Gros morceau de graphite	1	8
LD13	NE	foyer 25-55	4.1	Matières premières	Éclats	5	?	7.1	Indéterminé	Frag	1 quartz, 4 Kichisipi	1	9
LD13	NE	foyer 25-55	4.1	Matières premières	Graphite	1	1	1.1.2.4	Pierre tendre, techno-témoin	Frag	Petit fragment de graphite	1	10
LD13	NE	foyer 25-55	5.1.1	Os	ossements	36	?	6.1.1	Animaux sauf mollusques	Frag	Petits fragments blanchis	1	11
LD13	NE	foyer 52	4.1	Matières premières	Percuteur	1	1	1.1.1.1	Pierre, dure, outil	Frag	Percuteur, matière indéterminée	1	12
LD13	SE	foyer	4.1	Matières premières	Éclats	2	?	7.1	Indéterminé	Frag	2 Kichisipi	1	13
LD13	SE	foyer	5.1.1	Os	ossements	82	?	6.1.1	Animaux sauf mollusques	Frag	Petits fragments blanchis	1	14
LD13	SE	foyer	5.1.6	Charbon	charbon bois	1	?	7.4	Témoins de combustion	Frag	Échantillon de charbon	1	15
LD13	SW	foyer 40	4.1	Matières premières	Broyeur?	1	1	1.1.1.1	Pierre, dure, outil	Frag	Broyeur?, matière indéterminée 45N-60W	1	16
LD13	SW	foyer 20-55	4.1	Matières premières	Éclats	9	?	7.1	Indéterminé	Frag	9 fragments et éclats Kichisipi	1	17
LD13	SW	foyer 20-55	5.1.1	Os	ossements	4	?	6.1.1	Animaux sauf mollusques	Frag	Petits fragments blanchis	1	18
LD13	SW	foyer 20-55	5.1.6	Charbon	charbon bois	1	?	7.4	Témoins de combustion	Frag	Échantillon de charbon	1	19
LD18		15-20	5.1.1	Os	ossements	3	?	6.1.1	Animaux sauf mollusques	Frag	Petits fragments noircis	1	20
LD18		15-20	4.1	Matières premières	fragments	5	?	7.1	Indéterminé	Frag	1 gros fragment de Kichisipi, 1 fragment de quartz lailleux, 3 matière ind.	1	21
LD26		5-10	4.1	Matières premières	Éclats	1	?	7.1	Indéterminé	Frag	Kichisipi	1	22
LD26		10-17	4.1	Matières premières	Blocs	2	?	7.1	Indéterminé	Frag	Gros fragments granitiques/gabbro? fracturés aspects enlèvements	1	23

Site : rivière du Lièvre, ruisseau du Cerf, site CbFv-2

Code : CbFv-1

Inventaire des artefacts et écofacts

Archéologues: Karine Taché - Francis Lamothe
Analystes: Francis Lamothe - Karine Taché - Olivier Pilette

Date : octobre 2021

Collection :

Puits/sondage	Quadrant	Niveau	Code mat.	Matériau	Objet	No. frag.	No. obj.	Code fonction	Fonction	Intégrité	Commentaires	No. Bte	No. Cat.
RC1		5-15 cm	5.1.1	Os	ossements	4	?	6.1.1	Animaux sauf mollusques	Frag	Petits fragments blanchis (désagrégés)	1	1
RC7		10-12 cm	4,1	Matières premières	Éclats	5	?	7,1	Indéterminé	Frag	5 chert siliceux brun (CH-041)	1	2
RC18		8 cm	4,1	Matières premières	Éclat	1	?	7,1	Indéterminé	Frag	Quartzite	1	3

Site :Ruisseau Jourdain, propriété Robert Bélanger
Code : CcFr-1

Inventaire des artefacts et écofacts

Archéologues: Karine Taché-Francis Lamothe
Analystes: Francis Lamothe-Karine Taché-Adrien Cesario-Olivier Pilette

Date : mai 2022
Collection :

Puits/sondage	Quadrant	Niveau	Code mat.	Matériau	Objet	No. frag.	No. obj.	Code fonction	Fonction	Intégrité	Commentaires	No. Bte	No. Cat.
sondage J45		± 15-30	5.1.1	Os	ossement	1	1	6.1.1	Animaux sauf mollusques	Frag	Petit fragment blanchi	1	225
sondage J45		± 15-30	4,1	Matières premières	éclats	5	?	7,1	Indéterminé	Frag	4 quartz, 1 Onondaga	1	226
sondage J46		0-20	4,1	Matières premières	éclats	6	5	7,1	Indéterminé	Frag	2 quartz hyalin, 2 ind. beige grisâtre, 2 ignée (IGN-001)	1	227
sondage J46		0-20	5.1.1	Os	ossements	12	?	6.1.1	Animaux sauf mollusques	Frag	Petits fragments blanchis, un os frais	1	228
sondage J46		20-30	5.1.1	Os	ossement	1	1	6.1.1	Animaux sauf mollusques	Frag	Petit fragment blanchi	1	229
sondage J46		20-30	4,1	Matières premières	éclats	3	2	7,1	Indéterminé	Frag	1 chert Onondaga, 2 ind.	1	230
sondage J46		20-30	1.1.1.991	Céramique de type autochtone	contenant (tpd)	1	1	4,99	Consommation ind.	Frag	Petit tesson décoré	1	231
sondage J47		0-20	5.1.1	Os	ossements	8	?	6.1.1	Animaux sauf mollusques	Frag	Petits fragments blanchis, un os avec traces de découpe	1	232
sondage J47		0-20	4,1	Matières premières	outil	1	1	1.1.1.1	Pierre, dure, outil	Frag	Fragment d'outil bifacial en chert Onondaga. 18x12mm	1	233
sondage J47		20-30	4,1	Matières premières	éclat	1	1	7,1	Indéterminé	Frag	Onondaga	1	234
sondage J47		20-30	5.1.1	Os	ossements	6	?	6.1.1	Animaux sauf mollusques	Frag	Petits fragments blanchis, coin SE du sondage	1	235
sondage J47		20-30	2.3.1.1	V Coul transp vert foncé	verre de couleur, transparent, vert foncé	2	1	4.2.1.2	Boissons, conservation/entréposage	Frag	1 tesson de verre vert style gin. fragments jointifs coin s-e	1	236
sondage J47		± 25	4,1	Matières premières	grattoir	1	1	1.1.1.1	Pierre, dure, outil	Frag	Grattoir sur éclat en quartz. 40x36mm	1	237
sondage J47		± 30	4,1	Matières premières	grattoir	1	1	1.1.1.1	Pierre, dure, outil	Frag	Grattoir sur éclat en quartz. 44x39mm	1	238
sondage J47		± 30	4,1	Matières premières	outil	1	1	1.1.1.1	Pierre, dure, outil	Frag	Fragment d'outil bifacial en quartz. 52x21mm	1	239
sondage J48		2/20-30	4,1	Matières premières	éclats	2	2	7,1	Indéterminé	Frag	1 quartzite de Mistassini enfumé, 1 CH-000	1	240
sondage J48		2/20-30	1.1.1.991	Céramique de type autochtone	contenant (tpnd)	1	1	4,99	Consommation ind.	Frag	Tesson non décoré	1	241
sondage J49		2± 20-30	4,1	Matières premières	éclats	2	2	7,1	Indéterminé	Frag	1 quartz hyalin, 1 chert Onondaga	1	242
sondage J49		2± 20-30	5.1.1	Os	ossements	6	?	6.1.1	Animaux sauf mollusques	Frag	Petits fragments blanchis, un os noirci	1	243
sondage J50		1/0-15	4,1	Matières premières	éclat	1	1	7,1	Indéterminé	Frag	1 CH-000	1	244
sondage J50		0-15	5.1.1	Os	ossement	1	1	6.1.1	Animaux sauf mollusques	Frag	Petit fragment blanchi	1	245
sondage J50		15-35	1.1.1.991	Céramique de type autochtone	contenant (tpnd)	1	1	4,99	Consommation ind.	Frag	Tesson non décoré, cassure au colombin	1	246
sondage J50		3/15-35	4,1	Matières premières	éclats	2	2	7,1	Indéterminé	Frag	1 quartz à mica, 1 CH-000	1	247
sondage J51		1/0-10	1.1.1.991	Céramique de type autochtone	contenant (tpnd)	1	1	4,99	Consommation ind.	Frag	Petit tesson non décoré, présence de suie	1	248
50N102E	NW	1/0-10	1.1.1.991	Céramique de type autochtone	contenant (tpnd)	5	?	4,99	Consommation ind.	Frag	Petits tessons non décorés	1	249
50N102E	NW	1/0-10	1.1.1.991	Céramique de type autochtone	contenant (tpd)	2	1	4,99	Consommation ind.	Frag	Tessons décorés, jointifs, présence de croûte carbonisée	1	250
50N102E	NW	1/0-10	1.1.1.991	Céramique de type autochtone	contenant (tbd)	1	1	4,99	Consommation ind.	Frag	Tesson de bord décoré, potentiellement associé à UV11	1	251
50N102E	NW	1 pr-1/30	1.1.1.991	Céramique de type autochtone	contenant (tbd)	1	1	4,99	Consommation ind.	Frag	Tesson de bord décoré, UV19, localisation 73N18E	1	252
50N102E	NW	1/0-10	4,1	Matières premières	éclats	9	?	7,1	Indéterminé	Frag	3 Onondaga, 2 Kichisipi, 4 CH-000	1	253
50N102E	NW	1/0-10	5.1.1	Os	ossements	55	?	6.1.1	Animaux sauf mollusques	Frag	Fragments blanchis	1	254
50N102E	NE	1/0-10	1.1.1.991	Céramique de type autochtone	contenant (tpnd)	11	?	4,99	Consommation ind.	Frag	Tessons non décorés, présence de croûte carbonisée, même unité de vase que 261 et 262 ?	1	255
50N102E	NE	1/0-10	1.1.1.991	Céramique de type autochtone	contenant (tpd)	5	?	4,99	Consommation ind.	Frag	Tessons décorés, deux jointifs, présence de croûte carbonisée sur un tesson	1	256
50N102E	NE	1/0-10	1.1.1.991	Céramique de type autochtone	contenant (tpnd)	2	?	4,99	Consommation ind.	Frag	Tessons non décorés, cassure au colombin	1	257

Puits/sondage	Quadrant	Niveau	Code mat.	Matériau	Objet	No. frag.	No. obj.	Code fonction	Fonction	Intégrité	Commentaires	No. Bte	No. Cat.
50N102E	NE	1/0-10	1.1.1.991	Céramique de type autochtone	contenant (tpd)	1	1	4,99	Consommation ind.	Frag	Tesson décoré, cassure au colombin	1	258
50N102E	NE	1/0-10	4,1	Matières premières	éclats	18	?	7,1	Indéterminé	Frag	1 quartz, 1 quartzite de Mistassini, 5 Onondaga, 3 Kichisipi, 1 calcaire beige, 7 CH-000	1	259
50N102E	NE	1/0-10	5.1.1	Os	ossements	32	?	6.1.1	Animaux sauf mollusques	Frag	Fragments blanchis	1	260
50N102E	SE	1/0-10	1.1.1.991	Céramique de type autochtone	contenant (tpnd)	27	?	4,99	Consommation ind.	Frag	Petits tessons non décorés, présence de croûte carbonisée, même unité de vase que 255 et 262 ?	1	261
50N102E	SE	1 pr-1/33	1.1.1.991	Céramique de type autochtone	contenant (tpnd)	1	1	4,99	Consommation ind.	Frag	Tesson non décoré, présence de croûte carbonisée, même unité de vase que 255 et 261 ?, localisation 28N93E	1	262
50N102E	SE	1/0-10	1.1.1.991	Céramique de type autochtone	contenant (tpd)	9	?	4,99	Consommation ind.	Frag	Tessons décorés, un potentiel tesson de bord mais lèvres manquantes	1	263
50N102E	SE	1/0-10	4,1	Matières premières	éclats	24	?	7,1	Indéterminé	Frag	2 quartz, 2 quartz hyalin, 4 quartzite de Mistassini, 6 Onondaga, 1 chert siliceux brun, 2 Kichisipi, 4 CH-000	1	264
50N102E	SE	1/0-10	2.3.1	V de Couleur - transparent	verre de couleur, transparent	3	3	4,1	Alimentation	Frag	Petits fragments de verre transparent 1 incolore, 1 vert et 1 rosé	1	265
50N102E	SE	1/0-10	1.1.2.41	TCF argileuse blanche	pipe	1	1	4.2.2	Tabac	Frag	Fragment de fourneau sans marque ni décor	1	266
50N102E	SE	1/0-10	3.1.1.13	Fer tréfilé	clou	1	1	4.7.2.3	Fixations-clos	Ent	Corrodé	1	267
50N102E	SE	1/0-10	5.1.1	Os	ossements	112	?	6.1.1	Animaux sauf mollusques	Frag	Petits et moyens fragments blanchis, quelques uns identifiables, un os avec traces de découpe	1	268
50N102E	SW	1/0-10	1.1.1.991	Céramique de type autochtone	contenant (tpnd)	16	?	4,99	Consommation ind.	Frag	Tessons non décorés	1	269
50N102E	SW	1/0-10	1.1.1.991	Céramique de type autochtone	contenant (tpd)	1	1	4,99	Consommation ind.	Frag	Petit tesson décoré	1	270
50N102E	SW	1/0-10	4,1	Matières premières	éclats	17	?	7,1	Indéterminé	Frag	5 quartz, 3 quartz hyalin, 4 Onondaga, 2 Kichisipi, 3 CH-000	1	271
50N102E	SW	1/0-10	4,1	Matières premières	grattoir	1	1	1.1.1.1	Pierre, dure, outil	Frag	Fragment distal de grattoir en chert Onondaga. 17x4mm	1	284
50N102E	SW	1/0-10	2.3.1	V de Couleur - transparent	verre de couleur, transparent	1	1	4,1	Alimentation	Frag	Petit fragment	1	272
50N102E	SW	1/0-10	5.1.1	Os	ossements	103	?	6.1.1	Animaux sauf mollusques	Frag	Petits fragments blanchis, trois très petits fragments carbonisés	1	273
50N102E	NW	2/10-20	1.1.1.991	Céramique de type autochtone	contenant (tpnd)	33	?	4,99	Consommation ind.	Frag	Petits tessons non décorés, un potentiel rebut de pâte (aucunes inclusions et forme indéterminée)	1	274
50N102E	NW	2/10-20	1.1.1.991	Céramique de type autochtone	contenant (tpd)	11	?	4,99	Consommation ind.	Frag	Tessons décorés, un tesson très épais (base du contenant ?), même unité de vase que 276 et que 286 ?	1	275
50N102E	NW	2 pr-1/34	1.1.1.991	Céramique de type autochtone	contenant (tpd)	1	1	4,99	Consommation ind.	Frag	Tesson décoré, même unité de vase que 275 et 286 ?, localisation 68N22E	1	276
50N102E	NW	2/10-20	1.1.1.991	Céramique de type autochtone	contenant (tbd)	1	1	4,99	Consommation ind.	Frag	Tesson de bord décoré	1	277
50N102E	NW	2/10-20	4,1	Matières premières	éclats	64	?	7,1	Indéterminé	Frag	11 quartz, 1 quartz hyalin, 1 quartzite, 19 Onondaga, 2 Mistassini, 4 chert siliceux brun, 8 Kichisipi, 17 CH-000, 1 shale gris (?)	1	278
50N102E	NW	2/10-20	4.1.16	Matières premières	grattoir	1	1	1.1.1.1	Pierre, dure, outil	Frag	Grattoir sur éclat en chert Kichisipi. 17x14mm	1	292
50N102E	NW	2/10-20	4.1.10	Matières premières	pièce esquillée	1	1	1.1.1.1	Pierre, dure, outil	Ent	Quartz. 26x20mm.	1	279
50N102E	NW	2/10-20	4.1.16	Matières premières	grattoir	1	1	1.1.1.1	Pierre, dure, outil	Frag	Grattoir unimarginal sur éclat en chert Onondaga. 16x14mm	1	280
50N102E	NW	2/10-20	5.3.1	Plastique	solides semi-plastiques, plastique	1	1	4.7.2.4	Fixations - divers	Ent	Élément de fixation ind. genre rivet	1	281
50N102E	NW	2/10-20	5.1.1	Os	ossements	503	?	6.1.1	Animaux sauf mollusques	Frag	Petits et moyens fragments blanchis, quelques uns identifiables	1	282
50N102E	NW	2/10-20	5	Matières organiques	noix	1	1	6,2	Végétaux	Frag	Écale de noix carbonisée à identifier	1	283
50N102E	NE	2/10-20	1.1.1.991	Céramique de type autochtone	contenant (tpnd)	42	?	4,99	Consommation ind.	Frag	Tessons non décorés, un tesson de col avec croûte carbonisée (même unité de vase que 255, 261 et 262 ?), deux tessons scarifiés puis lissés	1	285
50N102E	NE	2/10-20	1.1.1.991	Céramique de type autochtone	contenant (tpd)	11	?	4,99	Consommation ind.	Frag	Tessons décorés, 9 tessons décorés à la cordelette mais ressemblance à un traitement au battoir cordé (caractère désordonné des traces), un tesson de la même unité de vase que 275 et 276 ?	1	286
50N102E	NE	2 pr-1/31	1.1.1.991	Céramique de type autochtone	contenant (tpd)	1	1	4,99	Consommation ind.	Frag	Tesson décoré épais, échantillonné pour analyse lipidique, UV17, localisation 78N70E	1	287
50N102E	NE	2/10-20	1.1.1.991	Céramique de type autochtone	contenant (tbd)	1	1	4,99	Consommation ind.	Frag	Fragment de lèvre décorée, potentiellement associé à UV11	1	288

Puits/sondage	Quadrant	Niveau	Code mat.	Matériau	Objet	No. frag.	No. obj.	Code fonction	Fonction	Intégrité	Commentaires	No. Bte	No. Cat.
50N102E	NE	2/10-20	1.1.1.991	Céramique de type autochtone	contenant (tbnd)	1	1	4,99	Consommation ind.	Frag	Fragment de lèvre non décorée	1	346
50N102E	NE	2/10-20	4,1	Matières premières	éclats	55	?	7,1	Indéterminé	Frag	7 quartz, 5 quartzite, 6 chert siliceux brun, 1 Kichisipi, 19 Onondaga, 17 CH-000	1	289
50N102E	NE	2/10-20	5.1.1	Os	ossements	379	?	6.1.1	Animaux sauf mollusques	Frag	Petits et moyens fragments blanchis, quelques uns identifiabiles	1	290
50N102E	SW	2/10-20	5.1.1	Os	ossements	181	?	6.1.1	Animaux sauf mollusques	Frag	Petits et moyens fragments blanchis, quelques uns identifiabiles	1	293
50N102E	SW	2/10-20	1.1.1.991	Céramique de type autochtone	contenant (tpnd)	2	?	4,99	Consommation ind.	Frag	Tessons non décorés	1	347
50N102E	SW	2/10-20	1.1.1.991	Céramique de type autochtone	contenant (tpd)	2	?	4,99	Consommation ind.	Frag	Petits tessons décorés	1	294
50N102E	SW	2/10-20	4,1	Matières premières	éclats	12	?	1.1.1.1	Indéterminé	Frag	1 quartz, 1 Mistassini, 3 Onondaga, 5 Kichisipi, 1 chert calcaire ind. (CH-015), 1 ind. beige pâle	1	295
50N102E	SE	2/10-20	5.1.1	Os	ossements	263	?	6.1.1	Animaux sauf mollusques	Frag	Petits fragments	1	296
50N102E	SE	2/10-20	1.1.1.991	Céramique de type autochtone	contenant (tpnd)	28	?	4,99	Consommation ind.	Frag	Tessons non décorés, un petit tesson scarifié, un petit tesson avec traitement de surface indéterminé (battoir cordé ?), un potentiel rebut de pâte (colombin), un tesson avec trace de superposition de deux bandes d'argile	1	297
50N102E	SE	2/10-20	1.1.1.991	Céramique de type autochtone	contenant (tpd)	1	1	4,99	Consommation ind.	Frag	Tessons décorés, même unité de vase que 654, 656 et 782	1	298
50N102E	SE	2/10-20	1.1.1.991	Céramique de type autochtone	contenant (tpd)	2	?	4,99	Consommation ind.	Frag	Tessons décorés, potentiellement associés à UV10	1	785
50N102E	SE	2/10-20	1.1.1.991	Céramique de type autochtone	contenant (tpd)	2	?	4,99	Consommation ind.	Frag	Tessons décorés	1	786
50N102E	SE	2 pr-1/37	1.1.1.991	Céramique de type autochtone	contenant (tbd)	1	1	4,99	Consommation ind.	Frag	Tesson de bord décoré, UV22, localisation 41N90E	1	354
50N102E	SE	2/10-20	4,1	Matières premières	éclats	21	?	1.1.1.1	Indéterminé	Frag	2 quartz, 1 quartz hyalin, 1 quartzite, 3 QTZ-002, 6 Onondaga, 2 Kichisipi, 1 chert ind. (CH-001), 5 CH-000	1	299
50N102E	NE	3/20-25	5.1.1	Os	ossements	35	?	6.1.1	Animaux sauf mollusques	Frag	Petits fragments blanchis	1	300
50N102E	NE	3/20-25	1.1.1.991	Céramique de type autochtone	contenant (tpnd)	3	?	4,99	Consommation ind.	Frag	Petits tessons non décorés	1	301
50N102E	NE	3/20-25	1.1.1.991	Céramique de type autochtone	contenant (tpd)	2	?	4,99	Consommation ind.	Frag	Tessons décorés, cassure au colombin, un tesson avec croûte carbonisée	1	360
50N102E	NE	3/20-25	4,1	Matières premières	éclats	6	?	7,1	Indéterminé	Frag	1 quartz, 1 Onondaga, 1 chert siliceux brun, 1 Kichisipi, 2 roches gris pâle à fracture fissile	1	302
50N102E	NW	3/20-25	5.1.1	Os	ossements	28	?	6.1.1	Animaux sauf mollusques	Frag	Petits fragments blanchis	1	303
50N102E	NW	3/20-25	1.1.1.991	Céramique de type autochtone	contenant (tpnd)	1	1	4,99	Consommation ind.	Frag	Tesson non décoré	1	304
50N102E	NW	3/20-25	4,1	Matières premières	éclats	6	?	1.1.1.1	Indéterminé	Frag	1 quartz, 2 Onondaga, 1 Kichisipi, 1 CH-000, 1 shale gris	1	305
50N102E	SE	3/20-25	5.1.1	Os	ossements	38	?	6.1.1	Animaux sauf mollusques	Frag	Petits fragments blanchis	1	306
50N102E	SE	3/20-25	1.1.1.991	Céramique de type autochtone	contenant (tpnd)	4	?	4,99	Consommation ind.	Frag	Petits tessons non décorés	1	307
50N102E	SE	3/20-25	1.1.1.991	Céramique de type autochtone	contenant (tpd)	1	1	4,99	Consommation ind.	Frag	Petit tesson décoré à la cordelette mais ressemblance à un traitement de surface au battoir cordé	1	758
50N102E	SE	3/20-25	4,1	Matières premières	éclat	1	1	7,1	Indéterminé	Frag	Quartz	1	308
50N102E	NE	4/25-40	5.1.1	Os	ossements	23	?	6.1.1	Animaux sauf mollusques	Frag	Petits fragments blanchis	1	309
50N102E	NE	4/25-40	4,1	Matières premières	éclat	1	1	7,1	Indéterminé	Frag	Kichisipi	1	310
50N102E	NW	4/25-40	5.1.1	Os	ossements	56	?	6.1.1	Animaux sauf mollusques	Frag	Petits fragments blanchis	1	311
50N102E	NW	4/25-40	1.1.1.991	Céramique de type autochtone	contenant (tpnd)	2	?	4,99	Consommation ind.	Frag	Tessons non décorés	1	312
50N102E	NW	4/25-40	4,1	Matières premières	éclats	3	3	7,1	Indéterminé	Frag	1 quartzite, 1 ind. beige à fracture fissile à subconchoïdale, 1 CH-000	1	313
50N102E	SE	4/25-40	5.1.1	Os	ossements	28	?	6.1.1	Animaux sauf mollusques	Frag	Petits fragments blanchis	1	314

Puits/sondage	Quadrant	Niveau	Code mat.	Matériau	Objet	No. frag.	No. obj.	Code fonction	Fonction	Intégrité	Commentaires	No. Bte	No. Cat.
50N102E	SE	4/25-40	1.1.1.991	Céramique de type autochtone	contenant (tpnd)	2	?	4,99	Consommation ind.	Frag	Tessons non décorés	1	315
50N102E	SE	4/25-40	4,1	Matières premières	éclats	6	?	7,1	Indéterminé	Frag	1 quartz, 1 QTZ-001, 1 chert siliceux brun, 2 Kichisipi, 1 roche ind. gris	1	316
50N102E	SW	4/25-40	5.1.1	Os	ossements	89	?	6.1.1	Animaux sauf mollusques	Frag	Petits fragments blanchis	1	317
50N102E	SW	4/25-40	1.1.1.991	Céramique de type autochtone	contenant (tpnd)	7	?	4,99	Consommation ind.	Frag	Tessons non décorés, deux tessons avec cassure au colombin	1	318
50N102E	SW	4/25-40	1.1.1.991	Céramique de type autochtone	contenant (tpd)	1	1	4,99	Consommation ind.	Frag	Petit tesson décoré à la cordelette mais ressemblance à un traitement de surface au battoir cordé	1	759
50N102E	SW	4/25-40	4,1	Matières premières	grattoir	1	1	1.1.1.1	Pierre, dure, outil	Ent	Grattoir unimarginal sur éclat en chert Onondaga. 10x10mm	1	319
50N102E	SW	4/25-40	4,1	Matières premières	éclats	5	?	7,1	Indéterminé	Frag	2 quartz, 1 Onondaga, 1 chert calcaire ind. (CH-005), 1 ind. beige brunâtre	1	320
50N104E	NE	1/0-10	3.1.1.13	Fer tréfilé	clou	1	1	4.7.2.3	Fixation-clos	Ent	Longueur 2 1/2 pouces	1	321
50N104E	NE	1/0-10	2.3.1	V de Couleur - transparent	verre de couleur, transparent	3	3	4,1	Alimentation	Frag	Petits fragments de verre transparent 1 incolore, 1 vert et 1 vert foncé	1	322
50N104E	NE	1/0-10	5.1.1	Os	ossements	3	?	6.1.1	Animaux sauf mollusques	Frag	Petits fragments blanchis	1	323
50N104E	NE	1/0-10	3.1.2	Métaux et alliages cuivreux	oeillet	1	1	4.7.2.4	Fixations - divers	Frag	Petit oeillet	1	324
50N104E	NE	1/0-10	4,1	Matières premières	éclats	4	?	7,1	Indéterminé	Frag	1 quartz, 1 chert Onondaga, 2 CH-000	1	325
50N104E	NW	1/0-10	5.1.1	Os	ossement	1	1	6.1.1	Animaux sauf mollusques	Frag	Très petit	1	326
50N104E	SE	1/0-10	5.1.1	Os	ossements	3	?	6.1.1	Animaux sauf mollusques	Frag	Petits fragments	1	327
50N104E	SE	1/0-10	2.3.1	V de Couleur - transparent	verre de couleur, transparent	2	2	4.7.1.1	Matériaux de base - vitre	Frag	Verre plat, verre à vitre	1	328
50N104E	SE	1/0-10	1.1.1.991	Céramique de type autochtone	contenant (tpnd)	1	1	4,99	Consommation ind.	Frag	Petit tesson non décoré	1	329
50N104E	SE	1/0-10	4,1	Matières premières	éclats	1	1	7,1	Indéterminé	Frag	Quartz	1	330
50N104E	SW	1/0-10	5.1.1	Os	ossements	4	?	6.1.1	Animaux sauf mollusques	Frag	Petis fragments	1	331
50N104E	SW	1/0-10	3.1.2	Métaux et alliages cuivreux	cartouche	1	1	3.9.2.1	Chasse/guerre, munitions	Ent	Douille Dominion Cartridge co (D), calibre .22	1	332
50N104E	SW	1/0-10	4,1	Matières premières	éclat	1	1	1.1.1.2	Indéterminé	Frag	Pierre schisteuse gris vert, à fracture fissile. Proviendrait des pierres de l'escalier menant à la plage.	1	333
50N104E	NE	2/10-20	5.1.1	Os	ossement	1	1	6.1.1	Animaux sauf mollusques	Frag	Petit fragment	1	334
50N104E	NE	2/10-20	2.3.1.1	V Coul transp vert foncé	verre de couleur, transparent, vert foncé	1	1	4.2.1.2	Boissons, conservation/entr eposage	Frag	Fragment	1	335
50N104E	NW	2/10-20	5.1.1	Os	ossements	8	?	6.1.1	Animaux sauf mollusques	Frag	Petits fragments	1	336
50N104E	NW	2/10-20	2.3.1	V de Couleur - transparent	verre de couleur, transparent	1	1	4,1	Alimentation	Frag	Petit fragment rosé voir idem cat 265	1	337
50N104E	NW	2/10-20	3.1.2	Métaux et alliages cuivreux	oeillet	2	2	4.7.2.4	Fixations - divers	Frag	Petits oeillets idem 324 et autres	1	338
50N104E	NW	2/10-20	3.1.1	Métaux et alliages ferreux	divers	4	?	4.7.1	Matériaux de construction	Frag	4 fragments ind. dont tige fer tréfilé	1	339
50N104E	NW	2 pr-1/36	1.1.1.991	Céramique de type autochtone	contenant (tpnd)	1	1	4,99	Consommation ind.	Frag	Tesson non décoré avec traces de scarification et d'un autre traitement de surface indéterminé (battoir cordé ?), localisation 57N47E	1	340
50N104E	NW	2/10-20	4,1	Matières premières	éclats	2	2	7,1	Indéterminé	Frag	1 Onondaga, 1 Mistassini	1	341
50N104E	SE	2/10-20	5.1.1	Os	ossements	8	?	6.1.1	Animaux sauf mollusques	Frag	Petits fragments	1	342
50N104E	SE	2/10-20	2.3.1	V de Couleur - transparent	verre de couleur, transparent	1	1	4.2.1.2	Boissons, conservation/entr eposage	Frag	Tesson corps, bouteille	1	343
50N104E	SE	2/10-20	1.1.1.991	Céramique de type autochtone	contenant (tpnd)	1	1	4,99	Consommation ind.	Frag	Petit tesson non décoré	1	344
50N104E	SE	2/10-20	1.1.1.991	Céramique de type autochtone	contenant (tpd)	2	?	4,99	Consommation ind.	Frag	Petits tessons décorés	1	364

Puits/sondage	Quadrant	Niveau	Code mat.	Matériau	Objet	No. frag.	No. obj.	Code fonction	Fonction	Intégrité	Commentaires	No. Bte	No. Cat.
50N104E	SE	2/10-20	4,1	Matières premières	éclats	7	?	7,1	Indéterminé	Frag	2 Onondaga, 1 Kichisipi d'amincissement bifacial, 1 CH-008, 3 CH-000	1	345
50N104E	SW	2/10-20	3.1.1	Métaux et alliages ferreux	divers	3	?	4.7.1	Matériaux de construction	Frag	Très corrodé	1	348
50N104E	SW	2/10-20	3.1.1.13	Fer tréfilé	clou	1	1	4.7.2.3	Fixations-clous	Ent	1 gros clou corrodé longueur 4 pouce, plié à 3 pouces	1	349
50N104E	SW	2/10-20	2.3.1	V de Couleur - transparent	verre de couleur, transparent	2	2	4,1	Alimentation	Frag	1 tesson bouteille verre vert, 1 fragment vitre incolore	1	350
50N104E	SW	2/10-20	5.1.1	Os	ossements	9	?	6.1.1	Animaux sauf mollusques	Frag	Petits fragments	1	351
50N104E	SW	2/10-20	1.1.1.991	Céramique de type autochtone	contenant (tpnd)	2	?	4,99	Consommation ind.	Frag	Petits tessons non décorés	1	352
50N104E	SW	2/10-20	1.1.1.991	Céramique de type autochtone	contenant (tpd)	1	1	4,99	Consommation ind.	Frag	Petit tesson décoré	1	365
50N104E	SW	2/10-20	4,1	Matières premières	éclats	4	?	7,1	Indéterminé	Frag	2 quartz, 1 Onondaga, 1 Kichisipi	1	353
50N104E	NW	3/20-84	1.1.1.991	Céramique de type autochtone	contenant (tpnd)	14	?	4,99	Consommation ind.	Frag	Petits tessons non décorés, 4 tessons scarifiés	1	356
50N104E	NW	3/20-84	1.1.1.991	Céramique de type autochtone	contenant (tpd)	6	?	4,99	Consommation ind.	Frag	Tessons décorés	1	760
50N104E	NW	3 pr-1/51	1.1.1.991	Céramique de type autochtone	contenant (tpd)	2	1	4,99	Consommation ind.	Frag	Deux fragments jointifs d'un tesson décoré, localisation 78N36E	1	357
50N104E	NW	3 pr-1/75	1.1.1.991	Céramique de type autochtone	contenant (tbd)	1	1	4,99	Consommation ind.	Frag	Tesson de bord décoré associé à l'échantillon de charbon #3 (no. cat. 369) et à l'échantillon de sol du niveau 3 (no. cat. 370), UV20, localisation 69N6E	1	358
50N104E	NW	3 pr-1/82	1.1.1.991	Céramique de type autochtone	contenant (tpd)	1	1	4,99	Consommation ind.	Frag	Tesson décoré, UV11, localisation 75N14E	1	359
50N104E	NW	3 pr-1/95	1.1.1.991	Céramique de type autochtone	contenant (tpd)	1	1	4,99	Consommation ind.	Frag	Tesson décoré à la cordelette mais ressemblance à un traitement au battoir cordé, potentiellement associé à UV17, localisation 51N9E	1	710
50N104E	NW	3 pr-1/93	4,1	Matières premières	grattoir	1	1	1.1.1.1	Pierre, dure, outil	Ent	Petit grattoir en quartz, 10x10mm. 89N6E.	1	361
50N104E	NW	3 pr-1/83	4,1	Matières premières	grattoir	1	1	1.1.1.1	Pierre, dure, outil	Frag	Petit grattoir en chert Kichisipi. 10x15mm. 94N10E.	1	362
50N104E	NW	3/20-84	4,1	Matières premières	éclats	55	?	7,1	Indéterminé	Frag	11 quartz, 1 nodule en quartzite, 6 Mistassini, 9 Onondaga, 4 calcaire beigâtre, 2 chert siliceux brun, 6 Kichisipi, 13 CH-000, 1 chert ind. (CH-010)	1	363
50N104E	NW	3/20-84	2.3.1	V de Couleur - transparent	verre de couleur, transparent	2	2	4,1	Alimentation	Frag	Petits fragments de verre transparent 1 incolore (verre à vitre), 1 vert foncé	1	366
50N104E	NW	3/20-84	5.1.1	Os	ossements	729	?	6.1.1	Animaux sauf mollusques	Frag	Petits fragments	1	367
50N104E	NW	3 pr-1/50	5	Matières organiques	noix	1	1	6,2	Végétaux	Frag	Écale de noix carbonisée à identifier, localisation 97N25E	1	368
50N104E	NW	3 pr-1/70	5	Matières organiques	sol	1	?	1.3.97.2	Indéterminé, résidus	Frag	Échantillon de sol brun jaunâtre à l'interface des niv. 3 et 4, localisation 75N30E	1	355
50N104E	NW	3 pr-1/71	5.1.6	Charbon	charbon bois	1	?	7,4	Témoins de combustion	Frag	Échantillon de charbon #3. localisation 54N26E	1	369
50N104E	NW	3 pr-1/69	5	Matières organiques	sol	1	?	1.3.97.2	Indéterminé, résidus	Frag	Échantillon de sol brun foncé cuvette niveau 3. localisation 58N14E	1	370
50N104E	SW	3 pr-1/86	1.1.1.991	Céramique de type autochtone	contenant (tpd)	1	1	4,99	Consommation ind.	Frag	Tesson décoré, UV11, localisation 23N21E	1	371
50N104E	SW	3/20-84	1.1.1.991	Céramique de type autochtone	contenant (tpd)	3	?	4,99	Consommation ind.	Frag	Petits tessons décorés	1	372
50N104E	SW	3/20-84	1.1.1.991	Céramique de type autochtone	contenant (tpnd)	9	?	4,99	Consommation ind.	Frag	Petits tessons non décorés	1	761
50N104E	SW	3/20-84	4,1	Matières premières	éclat	1	1	1.1.1.1	Indéterminé	Frag	Éclat en quartz grossier	1	373
50N104E	SW	3/20-84	4,1	Matières premières	grattoir	1	1	1.1.1.1	Pierre, dure, outil	Ent	Grattoir sur éclat en chert Onondaga. 10x8mm	1	374
50N104E	SW	3 pr-1/93	4,1	Matières premières	éclat	1	1	7,1	Indéterminé	Frag	Éclat en chert Onondaga. Provient de la fosse du niveau 3. 19N29E.	1	375
50N104E	SW	3/20-84	4,1	Matières premières	éclats	20	?	7,1	Indéterminé	Frag	4 quartz, 10 Onondaga, 1 CH-008, 5 chert ind. (1 CH-020, 4 CH-000)	1	376
50N104E	SW	3/20-84	3.1.2	Métaux et alliages cuivreux	oillet	1	1	4.7.2.4	Fixations - divers	Frag	Petit oillet, idem 324	1	377
50N104E	SW	3/20-84	5.1.1	Os	ossements	89	?	6.1.1	Animaux sauf mollusques	Frag	Petits fragments	1	378
50N104E	SW	3 pr-1/87	5.1.1	Os	ossements	1	?	6.1.1	Animaux sauf mollusques	Frag	Petit fragment. 45N24E.	1	379
50N104E	SW	3 pr-1/59	5.1.6	Charbon	charbon bois	1	?	7,4	Témoins de combustion	Frag	Échantillon #1. 22N23E	1	380
50N104E	SW	3 pr-1/59	5.1.6	Charbon	charbon bois	1	?	7,4	Témoins de combustion	Frag	Échantillon #2. 40N13E	1	381

Puits/sondage	Quadrant	Niveau	Code mat.	Matériau	Objet	No. frag.	No. obj.	Code fonction	Fonction	Intégrité	Commentaires	No. Bte	No. Cat.
50N104E	SW	3 pr-1/75	5	Matières organiques	sol	1	?	1.3.97.2	Indéterminé, résidus	Frag	Échantillon sol noir. 39N22E.	1	382
50N104E	SW	3 pr-1/75	5	Matières organiques	sol	1	?	1.3.97.2	Indéterminé, résidus	Frag	Échantillon sol brun jaunâtre. 40N22E	1	383
50N104E	NE	4a/20-30	1.1.1.991	Céramique de type autochtone	contenant (tpnd)	1	1	4,99	Consommation ind.	Frag	Petit tesson non décoré	1	384
50N104E	NE	4a/20-30	5.1.1	Os	ossements	2	?	6.1.1	Animaux sauf mollusques	Frag	Petits fragments	1	385
50N104E	SE	4c pr-1/53	1.1.1.991	Céramique de type autochtone	contenant (tpd)	1	1	4,99	Consommation ind.	Frag	Tesson décoré, localisation 22N76E	1	386
50N104E	SE	4a/20-30	1.1.1.991	Céramique de type autochtone	contenant (tpnd)	1	1	4,99	Consommation ind.	Frag	Petit tesson non décoré	1	387
50N106E	NW	1/0-10	4,1	Matières premières	éclats	3	?	7,1	Indéterminé	Frag	1 Mistassini, 2 Kichisipi	1	388
50N106E	NE	1/0-10	1.1.1.991	Céramique de type autochtone	contenant (tpd)	1	1	4,99	Consommation ind.	Frag	Petit tesson décoré, potentiellement associé à UV9	1	389
50N106E	NE	1/0-10	1.1.1.991	Céramique de type autochtone	contenant (tpnd)	1	1	4,99	Consommation ind.	Frag	Grenaille	1	711
50N106E	NE	1/0-10	4,1	Matières premières	éclats	3	?	7,1	Indéterminé	Frag	1 Onondaga, 2 Kichisipi	1	390
50N106E	NE	1/0-10	5.1.1	Os	ossements	15	?	6.1.1	Animaux sauf mollusques	Frag	Petits fragments	1	391
50N106E	SE	1/0-10	1.1.1.991	Céramique de type autochtone	contenant (tpd)	1	1	4,99	Consommation ind.	Frag	Petit tesson décoré, UV9	1	392
50N106E	SE	1/0-10	1.1.1.991	Céramique de type autochtone	contenant (tbd)	1	1	4,99	Consommation ind.	Frag	Petit tesson de bord décoré, potentiellement associé à UV9	1	712
50N106E	SE	1/0-10	1.1.1.991	Céramique de type autochtone	contenant (tpnd)	2	?	4,99	Consommation ind.	Frag	Grenailles	1	713
50N106E	SE	1/0-10	4,1	Matières premières	éclats	7	?	7,1	Indéterminé	Frag	1 quartz, hyalin, 1 Mistassini, 4 Kichisipi, 1 chert calcaire ind. (CH-006)	1	393
50N106E	SE	1/0-10	5.1.1	Os	ossements	1	1	6.1.1	Animaux sauf mollusques	Frag	Petit fragment	1	394
50N106E	SW	1/0-10	1.1.1.991	Céramique de type autochtone	contenant (tpnd)	2	1	4,99	Consommation ind.	Frag	Tessons non décorés, un tesson avec traces de scarification	1	395
50N106E	SW	1/0-10	1.1.1.991	Céramique de type autochtone	contenant (tpd)	4	1	4,99	Consommation ind.	Frag	4 tessons décorés jointifs, UV9	1	714
50N106E	SW	1/0-10	4,1	Matières premières	éclat	1	1	7,1	Indéterminé	Frag	1 Onondaga (riche en calcaire)	1	396
50N106E	SW	1/0-10	4,1	Matières premières	éclat	1	1	7,1	Indéterminé	Frag	Nucléus ? Chert calcaire ind. (CH-015)	1	397
50N106E	SW	1/0-10	5.1.1	Os	ossements	4	?	6.1.1	Animaux sauf mollusques	Frag	Petits fragments	1	398
50N106E	SW	1/0-10	5.1.1	Os	ossements	1	1	6.1.1	Animaux sauf mollusques	Frag	Fouille extension du puit (paroi sud), Petit fragment.	1	416
50N106E	NW	2/10-20	4,1	Matières premières	grattoir	1	1	1.1.1.1	Pierre, dure, outil	Frag	Grattoir sur éclat en chert Kichisipi. 10x8mm. N71E31	1	399
50N106E	NE	2/10-20	1.1.1.991	Céramique de type autochtone	contenant (tbd)	1	1	4,99	Consommation ind.	Frag	Tesson de bord décoré, similaire à 712, potentiellement associé à UV9	1	400
50N106E	NE	2/10-20	1.1.1.991	Céramique de type autochtone	contenant (tbd)	1	1	4,99	Consommation ind.	Frag	Tesson de bord décoré	1	770
50N106E	NE	2/10-20	1.1.1.991	Céramique de type autochtone	contenant (tpd)	1	1	4,99	Consommation ind.	Frag	Tesson décoré, UV9	1	715
50N106E	NE	2/10-20	1.1.1.991	Céramique de type autochtone	contenant (tpd)	4	?	4,99	Consommation ind.	Frag	Tessons décorés, potentiellement associés à UV9	1	775
50N106E	NE	2/10-20	1.1.1.991	Céramique de type autochtone	contenant (tpnd)	7	?	4,99	Consommation ind.	Frag	Petits tessons non décorés, potentiellement associés à UV9	1	716
50N106E	NE	2/10-20	4,1	Matières premières	outil	1	1	1.1.1.1	Pierre, dure, outil	Frag	Outil sur éclat en chert Kichisipi (CH-025?). 15x9mm	1	401
50N106E	NE	2/10-20	5.1.1	Os	ossements	38	?	6.1.1	Animaux sauf mollusques	Frag	Petits fragments	1	402
50N106E	SE	2 pr-2/22	1.1.1.991	Céramique de type autochtone	contenant (tpd)	3	1	4,99	Consommation ind.	Frag	Trois tessons certainement associés à UV9 dont deux jointifs, localisation 18N95E	1	403
50N106E	SE	2 pr-2/22	1.1.1.991	Céramique de type autochtone	contenant (tpd)	3	?	4,99	Consommation ind.	Frag	Tessons décorés, potentiellement associés à UV9, localisation 18N95E	1	772
50N106E	SE	2 pr-2/22	1.1.1.991	Céramique de type autochtone	contenant (tpnd)	4	?	4,99	Consommation ind.	Frag	Tessons non décorés, localisation 18N95E	1	717
50N106E	SE	2/10-20	4,1	Matières premières	éclats	4	?	7,1	Indéterminé	Frag	1 Kichisipi, 1 chert calcaire ind. (CH-006), 1 chert ind. (CH-026), 1 CH-000	1	404
50N106E	SE	2/10-20	5.1.1	Os	ossements	3	?	6.1.1	Animaux sauf mollusques	Frag	Petits fragments	1	405

Puits/sondage	Quadrant	Niveau	Code mat.	Matériau	Objet	No. frag.	No. obj.	Code fonction	Fonction	Intégrité	Commentaires	No. Bte	No. Cat.
50N106E	SW	2/10-20	1.1.1.991	Céramique de type autochtone	contenant (tpnd)	1	1	4,99	Consommation ind.	Frag	Tesson non décoré	1	406
50N106E	SW	2/10-20	4,1	Matières premières	éclats	2	?	7,1	Indéterminé	Frag	2 Kichisipi	1	407
50N106E	SW	2 pr-2/18	4,1	Matières premières	pointe	1	1	1.1.1.1	Pierre, dure, outil	Frag	Fragment proximal de pointe à encoches latérales évasées. 34x33mm. Chert calcaire ind (CH-011). 20N05E	1	408
50N106E	SW	2/10-20	5.1.1	Os	ossements	1	1	6.1.1	Animaux sauf mollusques	Frag	Petit fragment	1	409
50N106E	?	2/10-20	5.1.1	Os	ossements	1	1	6.1.1	Animaux sauf mollusques	Frag	Fouille extension du puit (paroi sud). Petit fragment.	1	417
50N106E	NW	3/20-30	1.1.1.991	Céramique de type autochtone	contenant (tpd)	2	?	4,99	Consommation ind.	Frag	Petits tessons décorés jointifs, UV9	1	410
50N106E	NW	3/20-30	1.1.1.991	Céramique de type autochtone	contenant (tpnd)	5	?	4,99	Consommation ind.	Frag	Tessons non décorés, un tesson avec cassure au colombin	1	718
50N106E	NW	3/20-30	4,1	Matières premières	éclats	7	?	7,1	Indéterminé	Frag	2 quartz, 1 Mistassini d'amincissement bifacial, 3 Kichisipi, 1 CH-027	1	411
50N106E	NW	3/20-30	4,1	Matières premières	outil	1	1	1.1.1.1	Pierre, dure, outil	Frag	Outil sur éclat en chert gris rouge. 16x8mm	1	412
50N106E	NW	3/20-30	5.1.1	Os	ossements	1	1	6.1.1	Animaux sauf mollusques	Frag	Petit fragment.	1	413
50N106E	SE	3/20-30	1.1.1.991	Céramique de type autochtone	contenant (tpd)	1	1	4,99	Consommation ind.	Frag	Tesson décoré	1	414
50N106E	SE	3 pr-2/28	4,1	Matières premières	grattoir	1	1	1.1.1.1	Pierre, dure, outil	Frag	Grattoir sur nucléus (bifacial?) en chert Onondaga patiné. 41x34mm. 04N68E. Aurait été trouvé dans un Ah.	1	415
50N106E	SE	3 pr-2/27	4,1	Matières premières	grattoir	1	1	1.1.1.1	Pierre, dure, outil	Frag	Fouille extension du puit (paroi sud). Fragment distal grattoir en chert Onondaga. 19x10mm. 03N70E	1	418
50N106E	SE	3/20-30	5.1.1	Os	ossements	1	1	6.1.1	Animaux sauf mollusques	Frag	Fouille extension du puit (paroi sud). Petit fragment.	1	419
51N103E	NW	1/remblai-2020	1.1.1.991	Céramique de type autochtone	contenant (tpd)	1	1	4,99	Consommation ind.	Frag	Tesson décoré à la cordelette mais ressemblance à un traitement au battoir cordé	1	420
51N103E	NW	1/remblai-2020	4,1	Matières premières	éclats	6	?	7,1	Indéterminé	Frag	1 quartz, 1 Onondaga, 1 Kichisipi, 1 chert siliceux brun, 2 CH-000	1	421
51N103E	NW	1/remblai-2020	5.1.1	Os	ossements	99	?	6.1.1	Animaux sauf mollusques	Frag	Petits fragments	1	422
51N103E	NE	1/remblai-2020	4,1	Matières premières	éclats	2	?	7,1	Indéterminé	Frag	2 Onondaga	1	423
51N103E	NE	1/remblai-2020	5.1.1	Os	ossements	30	?	6.1.1	Animaux sauf mollusques	Frag	Petits fragments	1	424
51N103E	SE	1/remblai-2020	4,1	Matières premières	éclats	5	?	7,1	Indéterminé	Frag	1 quartzite, 1 Kichisipi, 2 chert siliceux brun, 1 CH-000	1	425
51N103E	SE	1/remblai-2020	5.1.1	Os	ossements	25	?	6.1.1	Animaux sauf mollusques	Frag	Petits fragments	1	426
51N103E	SW	1/remblai-2020	1.1.1.991	Céramique de type autochtone	contenant (tpnd)	1	1	4,99	Consommation ind.	Frag	Tesson non décoré	1	427
51N103E	SW	1/remblai-2020	4,1	Matières premières	éclats	2	?	7,1	Indéterminé	Frag	1 quartz, 1 Kichisipi	1	428
51N103E	SW	1/remblai-2020	5.1.1	Os	ossements	42	?	6.1.1	Animaux sauf mollusques	Frag	Petits fragments	1	429
51N103E	SW	1/remblai-2020	3.1.1	Métal, ferreux	fragment	1	1	4.7.2.3	Fixations - clous	Frag	1 petit fragment corrodé, pointe vis ou clou?	1	430
51N103E	SW	1/remblai-2020	2.3.1	V de Couleur - transparent	verre de couleur, transparent	3	2	4,1	Alimentation	Frag	2 fragments vert bouteille (eau gazeuse?), 1 incolore vitre	1	432
51N103E	NA	1/remblai-2020	5.1.1	Os	ossements	3	?	6.1.1	Animaux sauf mollusques	Frag	Nettoyage final du gétexile. Petits fragments	1	433
51N103E	SW	1/0-10	1.1.1.991	Céramique de type autochtone	contenant (tbd)	1	1	4,99	Consommation ind.	Frag	Tesson de bord décoré, trouvé dans le sol naturel du quadrant (tourbe), UV18	1	434
51N103E	SW	1/0-10	1.1.1.991	Céramique de type autochtone	contenant (tbd)	1	1	4,99	Consommation ind.	Frag	Tesson de bord décoré, trouvé dans le sol naturel du quadrant (tourbe), UV11	1	762
51N103E	SW	1/0-10	1.1.1.991	Céramique de type autochtone	contenant (tbd)	1	1	4,99	Consommation ind.	Frag	Tesson de bord décoré, trouvé dans le sol naturel du quadrant (tourbe), potentiellement associé à UV9	1	763
51N103E	SW	1/0-10	1.1.1.991	Céramique de type autochtone	contenant (tbd)	1	1	4,99	Consommation ind.	Frag	Sol naturel du quadrant (tourbe), tesson de bord dont la lèvre est très endommagée, UV11	1	719
51N103E	SW	1/0-10	1.1.1.991	Céramique de type autochtone	contenant (tpd)	1	1	4,99	Consommation ind.	Frag	Sol naturel du quadrant (tourbe), petit tesson décoré	1	779
51N103E	SW	1/0-10	1.1.1.991	Céramique de type autochtone	contenant (tpnd)	10	?	4,99	Consommation ind.	Frag	Sol naturel du quadrant (tourbe), petits tessons non décorés et granailles	1	720
51N103E	SW	1/0-10	4,1	Matières premières	éclats	4	?	7,1	Indéterminé	Frag	4 CH-000. Dans sol naturel du quadrant (tourbe)	1	435
51N103E	SW	1/0-10	5.1.1	Os	ossements	247	?	6.1.1	Animaux sauf mollusques	Frag	Petits fragments. Sol naturel du quadrant (tourbe).	1	436

Puits/sondage	Quadrant	Niveau	Code mat.	Matériau	Objet	No. frag.	No. obj.	Code fonction	Fonction	Intégrité	Commentaires	No. Bte	No. Cat.
51N103E	NW	2/8-10	1.1.1.991	Céramique de type autochtone	contenant (tpnd)	5	?	4,99	Consommation ind.	Frag	Petits tessons non décorés	1	437
51N103E	NW	2/8-10	4,1	Matières premières	éclats	3	?	7,1	Indéterminé	Frag	1 quartz, 1 Kichisipi, 1 Onondaga	1	438
51N103E	NW	2/8-10	5.1.1	Os	ossements	1	1	6.1.1	Animaux sauf mollusques	Frag	Petit fragment blanchi	1	721
51N103E	NE	2/8-10	5.1.1	Os	ossements	5	?	6.1.1	Animaux sauf mollusques	Frag	Petits fragments.	1	439
51N103E	SW	2/8-10	4,1	Matières premières	éclats	2	?	7,1	Indéterminé	Frag	1 quartz, 1 chert siliceux brun	1	440
51N103E	SW	2/8-10	5.1.1	Os	ossements	269	?	6.1.1	Animaux sauf mollusques	Frag	Petits fragments	1	441
51N103E	NW	3 pr-1/34	1.1.1.991	Céramique de type autochtone	contenant (tpd)	1	1	4,99	Consommation ind.	Frag	Tesson décoré, niveau 3 (10-20), présence de croûte carbonisée, UV10, localisation 90N10E	1	442
51N103E	NW	3 pr-1/37	1.1.1.991	Céramique de type autochtone	contenant (tpd)	1	1	4,99	Consommation ind.	Frag	Tesson décoré, niveau 3 (10-20), échantillonné pour analyse lipidique, UV18, localisation 80N8E	1	443
51N103E	NW	3 pr-1/38	1.1.1.991	Céramique de type autochtone	contenant (tpd)	1	1	4,99	Consommation ind.	Frag	Tesson décoré à la cordelette mais ressemblance à un traitement de surface au battoir cordé, niveau 3 (10-20), localisation 55N3E	1	444
51N103E	NW	3/10-20	1.1.1.991	Céramique de type autochtone	contenant (tpd)	1	1	4,99	Consommation ind.	Frag	Tesson de col décoré, UV18	1	445
51N103E	NW	3/10-20	1.1.1.991	Céramique de type autochtone	contenant (tpd)	3	?	4,99	Consommation ind.	Frag	Tessons décorés	1	784
51N103E	NW	3/10-20	1.1.1.991	Céramique de type autochtone	contenant (tpd)	1	1	4,99	Consommation ind.	Frag	Tesson décoré, UV17	1	769
51N103E	NW	3/10-20	1.1.1.991	Céramique de type autochtone	contenant (tpnd)	22	?	4,99	Consommation ind.	Frag	Tessons non décorés	1	723
51N103E	NW	3/10-20	4,1	Matières premières	éclats	15	?	7,1	Indéterminé	Frag	5 quartz, 2 quartzite, 3 chert siliceux brun, 3 chert calcaire ind. (CH-006; CH-015; CH-030), 2 ind. gris	1	446
51N103E	NW	3/10-20	4,1	Matières premières	outil	1	1	1.1.1.1	Pierre, dure, outil	Frag	Fragment d'outil sur éclat en chert siliceux brun. 8x7mm	1	447
51N103E	NW	3/10-20	5.1.1	Os	ossements	560	?	6.1.1	Animaux sauf mollusques	Frag	Petits fragments	1	448
51N103E	NE	3/10-20	1.1.1.991	Céramique de type autochtone	contenant (tpnd)	4	?	4,99	Consommation ind.	Frag	Tessons non décorés, un tesson potentiellement traité au battoir cordé	1	449
51N103E	NE	3/10-20	4,1	Matières premières	éclats	5	?	7,1	Indéterminé	Frag	4 Onondaga, 1 CH-000	1	450
51N103E	NE	3/10-20	5.1.1	Os	ossements	383	?	6.1.1	Animaux sauf mollusques	Frag	Petits fragments	1	451
51N103E	NE	3/10-20	3.1.1	Métal, ferreux	clous	2	2	4.7.2.3	Fixations - clous	Frag	1 clou tréfilé et 1 clou découpé	1	452
51N103E	SE	3/10-20	1.1.1.991	Céramique de type autochtone	contenant (tpd)	1	1	4,99	Consommation ind.	Frag	Tesson décoré, UV11	1	453
51N103E	SE	3/10-20	1.1.1.991	Céramique de type autochtone	contenant (tpnd)	8	?	4,99	Consommation ind.	Frag	Tessons non décorés	1	724
51N103E	SE	3/10-20	1.1.1.991	Céramique de type autochtone	contenant (tbnd)	1	1	4,99	Consommation ind.	Frag	Prof. : 10-15. Fragment de lèvres	1	462
51N103E	SE	3/10-20	1.1.1.991	Céramique de type autochtone	contenant (tpnd)	4	?	4,99	Consommation ind.	Frag	Prof. : 10-15. Petits tessons non décorés	1	722
51N103E	SE	3/10-20	4,1	Matières premières	grattoir	1	1	1.1.1.1	Pierre, dure, outil	Frag	Prof. : 10-15. Grattoir sur éclat en quartz hyalin. 11x8mm.	1	463
51N103E	SE	3/10-20	4,1	Matières premières	grattoir	1	1	1.1.1.1	Pierre, dure, outil	Frag	Prof. : 10-15. Grattoir sur éclat en quartz hyalin. 9x8mm.	1	464
51N103E	SE	3/10-20	4,1	Matières premières	éclats	3	?	7,1	Indéterminé	Frag	Prof. : 10-15. 1 quartz, 1 Onondaga, 1 Kichisipi	1	465
51N103E	SE	3/10-20	5.1.1	Os	ossements	86	?	6.1.1	Animaux sauf mollusques	Frag	Prof. : 10-15. Petits fragments	1	466
51N103E	SE	3/10-20	5.1.1	Os	ossements	175	?	6.1.1	Animaux sauf mollusques	Frag	Petits fragments	1	454
51N103E	SW	3 pr-1/36	1.1.1.991	Céramique de type autochtone	contenant (tpd)	1	1	4,99	Consommation ind.	Frag	Tesson décoré, UV11, localisation 16N48E	1	455
51N103E	SW	3 pr-1/39	1.1.1.991	Céramique de type autochtone	contenant (tpd)	1	1	4,99	Consommation ind.	Frag	Tesson décoré, UV11, localisation 18N6E	1	456
51N103E	SW	3/10-20	1.1.1.991	Céramique de type autochtone	contenant (tbd)	1	1	4,99	Consommation ind.	Frag	Petit tesson de bord décoré, UV21	1	457
51N103E	SW	3/10-20	1.1.1.991	Céramique de type autochtone	contenant (tbd)	1	1	4,99	Consommation ind.	Frag	Petit tesson de bord décoré, UV22	1	764
51N103E	SW	3/10-20	1.1.1.991	Céramique de type autochtone	contenant (tbnd)	1	1	4,99	Consommation ind.	Frag	Petit tesson de bord non décoré	1	725
51N103E	SW	3/10-20	1.1.1.991	Céramique de type autochtone	contenant (tpd)	6	?	4,99	Consommation ind.	Frag	Tessons décorés, un tesson décoré à la cordelette mais ressemblance à un traitement de surface au battoir cordé, même unité de vase que 483 ?	1	726

Puits/sondage	Quadrant	Niveau	Code mat.	Matériau	Objet	No. frag.	No. obj.	Code fonction	Fonction	Intégrité	Commentaires	No. Bte	No. Cat.
51N103E	SW	3/10-20	1.1.1.991	Céramique de type autochtone	contenant (tpnd)	25	?	4,99	Consommation ind.	Frag	Tessons non décorés	1	727
51N103E	SW	3/10-20	4,1	Matières premières	éclats	13	?	7,1	Indéterminé	Frag	2 quartz, 1 QTZ-001, 3 Onondaga, 4 Kichisipi, 3 CH-000	1	458
51N103E	SW	3 pr-1/33	4,1	Matières premières	éclat	1	1	1.1.1.1	Indéterminé	Frag	Gros éclat de quartz. 22N02E	1	459
51N103E	SW	3/10-20	5.1.1	Os	ossements	1225	?	6.1.1	Animaux sauf mollusques	Frag	Petits fragments. Certains potentiellement identifiables.	1	460
51N103E	SW	3 pr-1/37	5.1.6	Charbon	charbon bois	1	?	7,4	Témoins de combustion	Frag	Échantillon de sol et charbon, localisation 19N12E	1	514
51N103E	NW	3 pr-1/45	1.1.1.991	Céramique de type autochtone	contenant (tbd)	1	1	4,99	Consommation ind.	Frag	Tesson de bord décoré, jointif à 579, UV10, localisation 60N10E	1	467
51N103E	NW	3 pr-1/47	1.1.1.991	Céramique de type autochtone	contenant (tpd)	1	1	4,99	Consommation ind.	Frag	Tesson décoré, UV18, localisation 72N3E	1	468
51N103E	NW	3/20-30	1.1.1.991	Céramique de type autochtone	contenant (tpd)	1	1	4,99	Consommation ind.	Frag	Tesson décoré à la cordelette mais ressemblance à un traitement de surface au battoir cordé	1	765
51N103E	NW	3/20-30	1.1.1.991	Céramique de type autochtone	contenant (tpnd)	6	?	4,99	Consommation ind.	Frag	Petits tessons non décorés, un tesson scarifié, un tesson strié récemment (par une truelle ?)	1	469
51N103E	NW	3 pr-1/42	4,1	Matières premières	biface	1	1	1.1.1.1	Pierre, dure, outil	Frag	Fragment proximal d'outil bifacial en calcédoine (CALC-001). Ou quartzite chauffé?. 97N08E	1	470
51N103E	NW	3/20-30	4,1	Matières premières	éclats	4	?	7,1	Indéterminé	Frag	1 quartz, 1 Onondaga, 1 Kichisipi, 1 quartzite	1	471
51N103E	NW	3/20-30	5.1.1	Os	ossements	168	?	6.1.1	Animaux sauf mollusques	Frag	Petits fragments	1	472
51N103E	NE	3 pr-1/42	1.1.1.991	Céramique de type autochtone	contenant (tbd)	1	1	4,99	Consommation ind.	Frag	Tesson de bord décoré, UV11, localisation 84N70E	1	473
51N103E	NE	3 pr-1/43	1.1.1.991	Céramique de type autochtone	contenant (tpd)	1	1	4,99	Consommation ind.	Frag	Tesson décoré, UV11, localisation 76N52E	1	474
51N103E	NE	3/20-30	1.1.1.991	Céramique de type autochtone	contenant (tbd)	1	1	4,99	Consommation ind.	Frag	Tesson de bord décoré, jointif à l'un des tessons de bord 224 (2020), UV11	1	475
51N103E	NE	3/20-30	1.1.1.991	Céramique de type autochtone	contenant (tbd)	1	1	4,99	Consommation ind.	Frag	Petit tesson de bord décoré, UV21	1	766
51N103E	NE	3/20-30	1.1.1.991	Céramique de type autochtone	contenant (tpd)	3	?	4,99	Consommation ind.	Frag	Tessons décorés, deux tessons décorés à la cordelette mais ressemblance à un traitement de surface au battoir cordé, troisième tesson appartenant à UV11	1	461
51N103E	NE	3/20-30	1.1.1.991	Céramique de type autochtone	contenant (tpnd)	11	?	4,99	Consommation ind.	Frag	Tessons non décorés, un tesson scarifié	1	728
51N103E	NE	3/20-30	4,1	Matières premières	éclat	16	?	7,1	Indéterminé	Frag	4 quartz, 3 quartzite, 5 Onondaga, 2 Kichisipi, 2 CH-000	1	476
51N103E	NE	3/20-30	4,1	Matières premières	grattoir	1	1	1.1.1.1	Pierre, dure, outil	Frag	Grattoir sur éclat en chert Onondaga. 14x9mm	1	477
51N103E	NE	3/20-30	5.1.1	Os	ossements	171	?	6.1.1	Animaux sauf mollusques	Frag	Petits fragments	1	478
51N103E	SE	3/20-30	1.1.1.991	Céramique de type autochtone	contenant (tbd)	1	1	4,99	Consommation ind.	Frag	Tesson de bord décoré, lèvres endommagées, UV11	1	479
51N103E	SE	3/20-30	1.1.1.991	Céramique de type autochtone	contenant (tpd)	2	1	4,99	Consommation ind.	Frag	Tessons décorés, UV11	1	778
51N103E	SE	3/20-30	1.1.1.991	Céramique de type autochtone	contenant (tpnd)	4	?	4,99	Consommation ind.	Frag	Tessons non décorés	1	729
51N103E	SE	3/20-30	4,1	Matières premières	éclats	3	?	7,1	Indéterminé	Frag	2 quartz, 1 Onondaga	1	480
51N103E	SE	3/20-30	4,1	Matières premières	outil	1	1	1.1.1.1	Pierre, dure, outil	Frag	Fragment d'outil bifacial en chert chert siliceux brun (CH-012). 14x8mm	1	481
51N103E	SE	3/20-30	5.1.1	Os	ossements	206	?	6.1.1	Animaux sauf mollusques	Frag	Petits fragments	1	482
51N103E	SW	3/20-30	1.1.1.991	Céramique de type autochtone	contenant (tpd)	9	?	4,99	Consommation ind.	Frag	Tessons décorés, même unité de vase que 726 ?	1	483
51N103E	SW	3/20-30	1.1.1.991	Céramique de type autochtone	contenant (tpnd)	16	?	4,99	Consommation ind.	Frag	Tessons non décorés, deux tessons scarifiés, plusieurs parois exfoliées	1	730
51N103E	SW	3/20-30	4,1	Matières premières	éclats	6	?	7,1	Indéterminé	Frag	2 quartz (1 possible nucléus), 1 quartz hyalin, 1 quartzite, 1 Kichisipi incertain, 1 Onondaga	1	484
51N103E	SW	3/20-30	5.1.1	Os	ossements	299	?	6.1.1	Animaux sauf mollusques	Frag	Petits fragments	1	485
51N103E	NW	3/30-40@55	5.1.1	Os	ossements	12	?	6.1.1	Animaux sauf mollusques	Frag	Petits fragments	1	486
51N103E	NW	3 pr-1/47	5	Matières organiques	sol	1	?	1.3.97.2	Indéterminé, résidus	Frag	Échantillon sédiments cendreaux associés à cuvette foyer, localisation 53N0E	1	515
51N103E	NE	3 pr-1/45	1.1.1.991	Céramique de type autochtone	contenant (tpd)	1	1	4,99	Consommation ind.	Frag	Tesson décoré, niveau 3 (30-40/55), UV17, localisation 70N81E	1	487
51N103E	NE	3/30-40@55	1.1.1.991	Céramique de type autochtone	contenant (tpd)	1	1	4,99	Consommation ind.	Frag	Petit tesson décoré	1	488

Puits/sondage	Quadrant	Niveau	Code mat.	Matériau	Objet	No. frag.	No. obj.	Code fonction	Fonction	Intégrité	Commentaires	No. Bte	No. Cat.
51N103E	NE	3/30-40@55	1.1.1.991	Céramique de type autochtone	contenant (tpnd)	2	?	4,99	Consommation ind.	Frag	Tessons non décorés avec traces de scarification	1	489
51N103E	NE	3/30-40@55	4,1	Matières premières	éclats	29	?	7,1	Indéterminé	Frag	8 quartz, 3 Mistassini, 1 Onondaga, 6 Kichisipi, 1 Kichisipi incertain (CH-035), 9 CH-000, 1 ind. blanc (chauffé?)	1	490
51N103E	NE	3/30-40@55	5.1.1	Os	ossements	104	?	6.1.1	Animaux sauf mollusques	Frag	Petits fragments	1	491
51N103E	SE	3/30-40@55	1.1.1.991	Céramique de type autochtone	contenant (tpd)	2	?	4,99	Consommation ind.	Frag	Tessons décorés, un tesson décoré à la cordelette mais ressemblance à un traitement de surface au battoir cordé	1	492
51N103E	SE	3/30-40@55	1.1.1.991	Céramique de type autochtone	contenant (tpnd)	3	?	4,99	Consommation ind.	Frag	Tessons non décorés, un potentiel rebut de pâte	1	731
51N103E	SE	3/30-40@55	4,1	Matières premières	éclats	20	?	7,1	Indéterminé	Frag	8 quartz, 1 Mistassini, 3 Onondaga, 1 CH-008, 2 Kichisipi, 1 chert calcaire ind. (CH-036), 2 CH-000 (1 chauffé), 2 quartzite	1	493
51N103E	SE	3/30-40@55	5.1.1	Os	ossements	242	?	6.1.1	Animaux sauf mollusques	Frag	Petits fragments	1	494
51N103E	SW	3/30-50	5.1.1	Os	ossements	7	?	6.1.1	Animaux sauf mollusques	Frag	Button (fouillé indépendamment). Petits fragments	1	495
51N103E	NE	3/40@55-75	1.1.1.991	Céramique de type autochtone	contenant (tpd)	1	1	4,99	Consommation ind.	Frag	Prof. : 55-60. Tesson décoré avec traces de scarification, potentiellement associé à UV11	1	496
51N103E	NE	3/40@55-75	4,1	Matières premières	éclats	7	?	7,1	Indéterminé	Frag	3 quartz, 1 quartzite, 1 Onondaga, 2 CH-000	1	497
51N103E	NE	3/40@55-75	5.1.1	Os	ossements	6	?	6.1.1	Animaux sauf mollusques	Frag	Petits fragments	1	498
51N103E	SE	3 pr-1/81	1.1.1.991	Céramique de type autochtone	contenant (tpd)	1	1	4,99	Consommation ind.	Frag	Tesson décoré, niveau 3/40@55-75, échantillonné pour analyse lipidique, localisation 50N78E	1	499
51N103E	SE	3/40@55-75	1.1.1.991	Céramique de type autochtone	contenant (tpnd)	3	?	4,99	Consommation ind.	Frag	Prof. : 60-70. Tessons non décorés	1	500
51N103E	SE	3/40@55-75	4,1	Matières premières	éclats	9	?	7,1	Indéterminé	Frag	Prof. : 55-60. 2 quartz, 3 quartzite, 2 Kichisipi, 2 Onondaga	1	501
51N103E	SE	3/40@55-75	4,1	Matières premières	éclats	7	?	7,1	Indéterminé	Frag	Prof. : 60-70. 1 quartzite, 1 Mistassini, 2 Onondaga, 1 chert siliceux brun, 1 CH-000, 1 ind. beige avec mica	1	502
51N103E	SE	3/40@55-75	5.1.1	Os	ossements	50	?	6.1.1	Animaux sauf mollusques	Frag	Prof. : 55-60. Petits fragments.	1	503
51N103E	SE	3/40@55-75	5.1.1	Os	ossements	39	?	6.1.1	Animaux sauf mollusques	Frag	Prof. : 60-70. Petits fragments.	1	504
51N103E	SE	3 pr-1/93	5	Matières organiques	sol	1	?	1.3.97.2	Indéterminé, résidu	Frag	Échantillon de sol charbonneux, localisation 35N92E	1	511
51N103E	SE	3 pr-1/57	5	Matières organiques	sol	1	?	1.3.97.2	Indéterminé, résidu	Frag	Échantillon de sol, localisation 35N70E	1	512
51N103E	SE	3 pr-1/80	5	Matières organiques	sol	1	?	1.3.97.2	Indéterminé, résidu	Frag	Échantillon de sol noir, localisation 40N85E	1	513
51N103E	NW	4/±40-75	5.1.1	Os	ossements	3	?	6.1.1	Animaux sauf mollusques	Frag	Prof. : 45-50. Petits fragments.	1	505
51N103E	NW	4 pr-1/52	5	Matières organiques	sol	1	?	1.3.97.2	Indéterminé, résidu	Frag	Échantillon sédiments naturels (Bf) au nord du foyer, localisation 90N8E	1	516
51N103E	NE	4/±40-75	5.1.1	Os	ossements	14	?	6.1.1	Animaux sauf mollusques	Frag	Prof. : 45-50. Petits fragments.	1	506
51N103E	SE	4/±40-75	1.1.1.991	Céramique de type autochtone	contenant (tpd)	2	?	4,99	Consommation ind.	Frag	Prof. : 65-75. Tessons décorés	1	507
51N103E	SE	4/±40-75	4,1	Matières premières	éclats	2	?	7,1	Indéterminé	Frag	Prof. : 70-75. 1 quartz hyalin, 1 Mistassini	1	508
51N103E	SE	4/±40-75	5.1.1	Os	ossements	34	?	6.1.1	Animaux sauf mollusques	Frag	Prof. : 70-75. Petits fragments.	1	509
51N103E	SW	4/±40-75	5.1.1	Os	ossement	1	1	6.1.1	Animaux sauf mollusques	Frag	Petit fragment.	1	510
51N103E	NE+SE	NA	1.1.1.991	Céramique de type autochtone	contenant (tpd)	2	?	4,99	Consommation ind.	Frag	Nettoyage de paroi est, un tesson potentiellement associé à UV22	1	517
51N103E	NE+SE	NA	4,1	Matières premières	éclats	2	?	7,1	Indéterminé	Frag	Nettoyage de paroi. 1 Onondaga, 1 chert calcaire ind. (CH-006)	1	518
51N103E	NE+SE	NA	5.1.1	Os	ossement	21	1	6.1.1	Animaux sauf mollusques	Frag	Nettoyage de paroi.	1	519
51N105E	NW	1/0-10	1.1.1.991	Céramique de type autochtone	contenant (tpd)	1	1	4,99	Consommation ind.	Frag	Petit tesson décoré	1	520
51N105E	NW	1/0-10	4,1	Matières premières	éclats	5	?	7,1	Indéterminé	Frag	3 quartz, 1 Onondaga, 1 Kichisipi incertain (CH-025)	1	521
51N105E	NW	1/0-10	5.1.1	Os	ossement	15	?	6.1.1	Animaux sauf mollusques	Frag	Petits fragments	1	522

Puits/sondage	Quadrant	Niveau	Code mat.	Matériau	Objet	No. frag.	No. obj.	Code fonction	Fonction	Intégrité	Commentaires	No. Bte	No. Cat.
51N105E	NE	1/0-10	1.1.1.991	Céramique de type autochtone	contenant (tpd)	1	1	4,99	Consommation ind.	Frag	Petit tesson décoré	1	523
51N105E	NE	1/0-10	1.1.1.991	Céramique de type autochtone	contenant (tpnd)	3	?	4,99	Consommation ind.	Frag	Petits tessons non décorés	1	732
51N105E	NE	1/0-10	4,1	Matières premières	éclats	2	?	7,1	Indéterminé	Frag	1 Onondaga, 1 chert calcaire ind. (CH-043)	1	524
51N105E	NE	1/0-10	5.1.1	Os	ossement	2	?	6.1.1	Animaux sauf mollusques	Frag	Petits fragments.	1	525
51N105E	NE	1/0-10	5.1.1	Os	ossement	5	?	6.1.1	Animaux sauf mollusques	Frag	Os écus. Petits fragments.	1	526
51N105E	SE	1/0-10	5.1.1	Os	ossement	3	?	6.1.1	Animaux sauf mollusques	Frag	Os écus. Petits fragments.	1	527
51N105E	SW	1/0-10	1.1.1.991	Céramique de type autochtone	contenant (tpd)	1	1	4,99	Consommation ind.	Frag	Tesson décoré	1	528
51N105E	SW	1/0-10	1.1.1.991	Céramique de type autochtone	contenant (tpnd)	4	?	4,99	Consommation ind.	Frag	Grenailles	1	733
51N105E	SW	1/0-10	4,1	Matières premières	outil	1	1	1.1.1.1	Pierre, dure, outil	Frag	Fragment d'outil bifacial en chert CH-000 marbré blanc. 19x10mm.	1	529
51N105E	SW	1/0-10	4,1	Matières premières	grattoir	1	1	1.1.1.1	Pierre, dure, outil	Frag	Fragment de grattoir en chert Onondaga. 12x8mm	1	530
51N105E	SW	1/0-10	4,1	Matières premières	éclat	1	1	7,1	Indéterminé	Frag	Quartz	1	531
51N105E	SW	1/0-10	5.1.1	Os	ossement	7	?	6.1.1	Animaux sauf mollusques	Frag	Petits fragments.	1	532
51N105E	NW	2/10-20	1.1.1.991	Céramique de type autochtone	contenant (tpnd)	8	?	4,99	Consommation ind.	Frag	Grenailles	1	533
51N105E	NW	2/10-20	4,1	Matières premières	éclats	10	?	7,1	Indéterminé	Frag	3 quartz, 1 Mistassini, 2 Onondaga, 1 chert siliceux brun, 2 Kichisipi, 1 CH-000	1	534
51N105E	NW	2/10-20	5.1.1	Os	ossement	8	?	6.1.1	Animaux sauf mollusques	Frag	Petits fragments.	1	535
51N105E	NE	2/10-20	1.1.1.991	Céramique de type autochtone	contenant (tpnd)	6	?	4,99	Consommation ind.	Frag	Grenailles	1	536
51N105E	NE	2/10-20	4,1	Matières premières	éclats	3	?	7,1	Indéterminé	Frag	2 quartz, 1 Onondaga	1	537
51N105E	SE	2/10-20	1.1.1.991	Céramique de type autochtone	contenant (tpnd)	8	?	4,99	Consommation ind.	Frag	Un petit tesson non décoré et grenailles	1	538
51N105E	SE	2/10-20	4,1	Matières premières	éclat	1	1	7,1	Indéterminé	Frag	Quartz	1	539
51N105E	SE	2/10-20	2.3.1.1	V Coul transp vert foncé	verre de couleur, transparent, vert foncé	1	1	4.2.1.2	Boissons, conservation/entréposage	Frag	Fragment corps bouteille verre vert foncé	1	540
51N105E	SE	2/10-20	5.1.1	Os	ossement	1	1	6.1.1	Animaux sauf mollusques	Frag	Os écu. Petit fragment.	1	541
51N105E	SE	2/10-20	5.1.1	Os	ossement	4	?	6.1.1	Animaux sauf mollusques	Frag	Petits fragments	1	542
51N105E	SW	2/10-20	1.1.1.991	Céramique de type autochtone	contenant (tpnd)	3	?	4,99	Consommation ind.	Frag	Grenailles	1	543
51N105E	SW	2/10-20	4,1	Matières premières	éclats	2	2	7,1	Indéterminé	Frag	1 chert calcaire ind. (CH-006), 1 ind. beige	1	544
51N105E	SW	2/10-20	2.3.1.1	V Coul transp vert foncé	verre de couleur, transparent, vert foncé	1	1	4.2.1.2	Boissons, conservation/entréposage	Frag	Petit fragment	1	545
51N105E	NW	3/20-30	1.1.1.991	Céramique de type autochtone	contenant (tpd)	1	1	4,99	Consommation ind.	Frag	Petit tesson décoré, trouvé dans sol noirâtre	1	546
51N105E	NW	3/20-30	5.1.1	Os	ossement	1	1	6.1.1	Animaux sauf mollusques	Frag	Petit fragment.	1	547
51N105E	NE	3/20-30	1.1.1.991	Céramique de type autochtone	contenant (tpd)	1	1	4,99	Consommation ind.	Frag	Petit tesson décoré, trouvé dans sol noirâtre	1	548
51N105E	NE	3/20-30	1.1.1.991	Céramique de type autochtone	contenant (tpnd)	6	?	4,99	Consommation ind.	Frag	Grenailles, trouvées dans sol noirâtre	1	549
51N105E	NE	3/20-30	4,1	Matières premières	éclats	5	?	7,1	Indéterminé	Frag	2 quartz, 2 Onondaga, 1 Kichisipi	1	550
51N105E	NE	3/20-30	3.1.1	Métal, ferreux	fragments	30	1	7,1	Indéterminé	Frag	Fragments très corrodés de métal en minces plaquettes, 1 objet ind.	1	551
51N105E	NE	3/20-30	5.1.1	Os	ossement	5	?	6.1.1	Animaux sauf mollusques	Frag	Petits fragments.	1	552
51N105E	NE	3/20-30	5.1.6	Charbon	charbon bois	1	?	7,4	Témoins de combustion	Frag	Dans concentration noirâtre.	1	553
51N105E	NE	4/30-435	4,1	Matières premières	éclat	1	1	7,1	Indéterminé	Frag	Quartz hyalin	1	554
51N105E	NE	4/30-435	3.1.1	Métal, ferreux	fragments	2	1	7,1	Indéterminé	Frag	Fragments très corrodés de métal en minces plaquettes, 1 objet ind.	1	555
51N105E	SW	4/30-435	4,1	Matières premières	éclat	1	1	7,1	Indéterminé	Frag	Onondaga	1	556

Puits/sondage	Quadrant	Niveau	Code mat.	Matériau	Objet	No. frag.	No. obj.	Code fonction	Fonction	Intégrité	Commentaires	No. Bte	No. Cat.
52N102E	NW	1/0-10	1.1.1.991	Céramique de type autochtone	contenant (tpnd)	1	1	4,99	Consommation ind.	Frag	Petit tesson non décoré	1	557
52N102E	NE	1/0-10	5.1.1	Os	ossement	1	1	6.1.1	Animaux sauf mollusques	Frag	Petit fragments.	1	558
52N102E	SE	1/0-10	1.1.1.991	Céramique de type autochtone	contenant (tpd)	1	1	4,99	Consommation ind.	Frag	Petit tesson décoré	1	767
52N102E	SE	1/0-10	1.1.1.991	Céramique de type autochtone	contenant (tpnd)	1	1	4,99	Consommation ind.	Frag	Petit tesson non décoré	1	559
52N102E	SE	1/0-10	4,1	Matières premières	éclats	3	?	7,1	Indéterminé	Frag	1 Mistassini, 1 Onondaga, 1 Kichisipi	1	560
52N102E	SE	1/0-10	5.1.1	Os	ossement	12	?	6.1.1	Animaux sauf mollusques	Frag	Petits fragments. Peut-être un identifiable.	1	561
52N102E	SE	1/0-10	2.3.1.1	V Coul transp vert foncé	verre de couleur, transparent, vert foncé	1	1	4.2.1.2	Boissons, conservation/entréposage	Frag	Petit fragment	1	734
52N102E	SW	1/0-10	1.1.1.991	Céramique de type autochtone	contenant (tpd)	1	1	4,99	Consommation ind.	Frag	Tesson décoré, UV11	1	562
52N102E	SW	1/0-10	4,1	Matières premières	éclat	1	1	7,1	Indéterminé	Frag	Quartz	1	563
52N102E	SW	1/0-10	4,1	Matières premières	percuteur	1	1	1.1.1.1	Pierre, dure, outil	Ent	Percuteur dur. 100x55x37mm	1	564
52N102E	SW	1/0-10	2.3.1.1	V Coul transp vert foncé	verre de couleur, transparent, vert foncé	1	1	4.7.1.1	Matériaux de base - verre	Frag	Petit fragment plat et mince	1	565
52N102E	NW	2/10-20	1.1.1.991	Céramique de type autochtone	contenant (tpd)	1	1	4,99	Consommation ind.	Frag	Tesson décoré, UV11	1	566
52N102E	NW	2/10-20	1.1.1.991	Céramique de type autochtone	contenant (tpd)	3	?	4,99	Consommation ind.	Frag	Tessons décorés	1	780
52N102E	NW	2/10-20	1.1.1.991	Céramique de type autochtone	contenant (tpnd)	3	?	4,99	Consommation ind.	Frag	Tessons non décorés	1	735
52N102E	NW	2/10-20	4,1	Matières premières	éclats	48	?	7,1	Indéterminé	Frag	25 quartz, 3 quartzite, 6 CH-000, 6 Onondaga, 1 chert calcaire ind. (CH-006), 7 Kichisipi	1	567
52N102E	NW	2/10-20	4,1	Matières premières	grattoir	1	1	1.1.1.1	Pierre, dure, outil	Frag	Fragment de grattoir sur éclat en chert Onondaga. 19x11mm	1	568
52N102E	NW	2/10-20	2.3.1.1	V Coul transp vert foncé	verre de couleur, transparent, vert foncé	1	1	4.2.1.2	Boissons, conservation/entréposage	Frag	Très petit fragment	1	569
52N102E	NW	2/10-20	5.1.1	Os	ossement	160	?	6.1.1	Animaux sauf mollusques	Frag	Petits fragments	1	570
52N102E	NE	2/10-20	1.1.1.991	Céramique de type autochtone	contenant (tbd)	1	1	4,99	Consommation ind.	Frag	Fragment de lèvre décorée, jointif à 606 et 741, UV11	1	571
52N102E	NE	2/10-20	1.1.1.991	Céramique de type autochtone	contenant (tpd)	1	1	4,99	Consommation ind.	Frag	Tesson décoré	1	736
52N102E	NE	2/10-20	4,1	Matières premières	éclats	9	?	7,1	Indéterminé	Frag	3 quartz, 2 quartzite, 1 Kichisipi, 1 chert fin calcaire ind. (CH-043), 2 CH-000	1	572
52N102E	NE	2/10-20	2.3.1	V de Couleur - transparent	verre de couleur, transparent	1	1	4,1	Alimentation	Frag	Petit fragment	1	573
52N102E	NE	2/10-20	3.1.1.13	Fer tréfilé	clou	1	1	4.7.2.3	Fixations-clous	Ent	1 clou corrodé longueur 2 1/2 pouces	1	574
52N102E	NE	2/10-20	5.1.1	Os	ossement	112	?	6.1.1	Animaux sauf mollusques	Frag	Petits fragments.	1	575
52N102E	NE	2 pr-1/31	5.1.1	Os	ossement	1	1	6.1.1	Animaux sauf mollusques	Frag	Os (écru?) de mammifère. 87N74E.	1	576
52N102E	SE	2 pr-1/31	1.1.1.991	Céramique de type autochtone	contenant (tpd)	1	1	4,99	Consommation ind.	Frag	Tesson décoré, localisation 29N72E	1	577
52N102E	SE	2 pr-1/31	1.1.1.991	Céramique de type autochtone	contenant (tpd)	1	1	4,99	Consommation ind.	Frag	Tesson décoré, même unité de vase que 685 et 771 ?, localisation 50N64E	1	578
52N102E	SE	2/10-20	1.1.1.991	Céramique de type autochtone	contenant (tpd)	1	1	4,99	Consommation ind.	Frag	Tesson décoré, jointif à 467, UV10, localisation 19N60E	1	579
52N102E	SE	2/10-20	1.1.1.991	Céramique de type autochtone	contenant (tpd)	2	?	4,99	Consommation ind.	Frag	Tessons décorés, potentiellement associés à UV11	1	580
52N102E	SE	2/10-20	1.1.1.991	Céramique de type autochtone	contenant (tpd)	7	?	4,99	Consommation ind.	Frag	Tessons décorés, un tesson décoré à la cordelette mais ressemblance à un traitement de surface au battoir cordé	1	783
52N102E	SE	2/10-20	1.1.1.991	Céramique de type autochtone	contenant (tpd)	1	1	4,99	Consommation ind.	Frag	Tesson décoré à la cordelette, même unité de vase que 578 et 685 ?	1	771
52N102E	SE	2/10-20	1.1.1.991	Céramique de type autochtone	contenant (tpnd)	13	?	4,99	Consommation ind.	Frag	Tessons non décorés	1	737
52N102E	SE	2 pr-1/34	4,1	Matières premières	outil	1	1	1.1.1.1	Pierre, dure, outil	Frag	Fragment d'outil bifacial en chert Kichisipi. 21x17mm. 21N62E	1	581
52N102E	SE	2/10-20	4,1	Matières premières	éclats	13	?	7,1	Indéterminé	Frag	6 quartz, 2 quartzite, 1 ind. blanc, 1 CH-000, 3 Onondaga	1	582

Puits/sondage	Quadrant	Niveau	Code mat.	Matériau	Objet	No. frag.	No. obj.	Code fonction	Fonction	Intégrité	Commentaires	No. Bte	No. Cat.
52N102E	SE	2/10-20	5.1.1	Os	ossement	79	?	6.1.1	Animaux sauf mollusques	Frag	Petits fragments.	1	583
52N102E	SW	2 pr-1/32	1.1.1.991	Céramique de type autochtone	contenant (tpd)	1	1	4,99	Consommation ind.	Frag	Tesson décoré, localisation 38N42E	1	584
52N102E	SW	2/10-20	1.1.1.991	Céramique de type autochtone	contenant (tpd)	5	?	4,99	Consommation ind.	Frag	Tessons décorés, un tesson certainement associé à 584	1	585
52N102E	SW	2/10-20	1.1.1.991	Céramique de type autochtone	contenant (tpnd)	7	?	4,99	Consommation ind.	Frag	Tessons non décorés, un tesson scarifié, un frag. de base ?	1	738
52N102E	SW	2/10-20	4,1	Matières premières	éclats	24	?	7,1	Indéterminé	Frag	11 quartz, 1 quartzite, 3 CH-000, 6 Onondaga, 3 Kichisipi	1	586
52N102E	SW	2/10-20	4,1	Matières premières	outil	1	1	1.1.1.1	Pierre, dure, outil	Frag	Très petit fragment d'outil sur support inconnu, peut-être un éclat, en chert gris foncé calcaire ind. (CH-037)	1	587
52N102E	SW	2/10-20	4,1	Matières premières	grattoir	1	1	1.1.1.1	Pierre, dure, outil	Frag	Fragment de grattoir sur éclat en chert Onondaga. 14x7mm	1	588
52N102E	SW	2/10-20	4,1	Matières premières	grattoir	1	1	1.1.1.1	Pierre, dure, outil	Frag	Fragment de grattoir sur éclat en chert Kichisipi. 11x8mm	1	589
52N102E	SW	2/10-20	4,1	Matières premières	grattoir	1	1	1.1.1.1	Pierre, dure, outil	Frag	Très petit fragment de grattoir sur éclat en chert Kichisipi. 10x3mm	1	590
52N102E	SW	2/10-20	4,1	Matières premières	outil	1	1	1.1.1.1	Pierre, dure, outil	Frag	Fragment d'outil bifacial en chert Kichisipi. 25x11mm	1	591
52N102E	SW	2/10-20	4,1	Matières premières	outil	1	1	1.1.1.1	Pierre, dure, outil	Frag	Fragment d'outil (grattoir?) sur éclat en chert Kichisipi. 20x11mm	1	592
52N102E	SW	2/10-20	4,1	Matières premières	grattoir	1	1	1.1.1.1	Pierre, dure, outil	Ent	Grattoir sur éclat en calcaire gris. 15x15mm	1	595
52N102E	SW	2/10-20	2.3.2.10	V Cou opaque noir	perle de verre	1	1	4.4.6	Parures et bijoux	Frag	Type la2, perle tubulaire noire opaque, très courte difficile à statuer si fragmentaire ou mal finie. Cassures nettes aux 2 extrémités. Diamètre 3,1 mm, longueur 3,5 mm	1	593
52N102E	SW	2/10-20	5.1.1	Os	ossement	86	?	6.1.1	Animaux sauf mollusques	Frag	Petits fragments.	1	594
52N102E	NW	3/20-34	1.1.1.991	Céramique de type autochtone	contenant (tpd)	4	?	4,99	Consommation ind.	Frag	Petits tessons décorés, un tesson de col avec ponctuations produisant des bosses sur la paroi externe	1	596
52N102E	NW	3/20-34	1.1.1.991	Céramique de type autochtone	contenant (tpnd)	4	?	4,99	Consommation ind.	Frag	Petits tessons non décorés	1	739
52N102E	NW	3/20-34	4,1	Matières premières	éclats	24	?	7,1	Indéterminé	Frag	8 quartz, 3 quartzite, 5 CH-000, 3 Onondaga, 5 Kichisipi (1 éclat lamellaire)	1	597
52N102E	NW	3/20-34	4,1	Matières premières	outil	1	1	1.1.1.1	Pierre, dure, outil	Frag	Fragment d'outil (grattoir?) sur éclat en chert Onondaga foncé. 18x13mm	1	598
52N102E	NW	3/20-34	5.1.1	Os	ossement	128	?	6.1.1	Animaux sauf mollusques	Frag	Petits fragments. Deux avec traces de boucherie.	1	599
52N102E	NW	3 pr-1/30	4.1.13	Pierre	pierre rougie	1	1	4.8.1	Chauffage	Frag	Possible pierre rougie fragmentée, localisation 57N36E	1	600
52N102E	NE	3/20-34	1.1.1.991	Céramique de type autochtone	contenant (tpd)	3	?	4,99	Consommation ind.	Frag	Tessons décorés	1	601
52N102E	NE	3/20-34	1.1.1.991	Céramique de type autochtone	contenant (tpnd)	3	?	4,99	Consommation ind.	Frag	Tessons non décorés	1	740
52N102E	NE	3/20-34	4,1	Matières premières	éclats	30	?	7,1	Indéterminé	Frag	8 quartz, 7 Mista, 4 ind. gris, 1 CH-000, 4 Onondaga, 6 Kichisipi	1	602
52N102E	NE	3/20-34	4,1	Matières premières	grattoir	1	1	1.1.1.1	Pierre, dure, outil	Ent	Grattoir sur éclat en chert Onondaga beige. 12x11mm	1	603
52N102E	NE	3/20-34	5.1.1	Os	ossement	241	?	6.1.1	Animaux sauf mollusques	Frag	212 petits os blanchis, 4 os écrus (1 épiphyse?), 23 petits os blanchis avec traces de boucherie, 2 os de poisson.	1	604
52N102E	NE	3 pr-1/38	4.1.13	Pierre	pierre rougie	1	1	4.8.1	Chauffage	Frag	Possible pierre rougie fragmentée, localisation 56N54E	1	605
52N102E	SE	3/20-34	1.1.1.991	Céramique de type autochtone	contenant (tpd)	1	1	4,99	Consommation ind.	Frag	Tesson de bord décoré, brisé en deux fragments lors de manipulations en laboratoire, jointif à 571 et 741, UV11	1	606
52N102E	SE	3/20-34	1.1.1.991	Céramique de type autochtone	contenant (tpd)	2	1	4,99	Consommation ind.	Frag	Tessons décorés jointifs à 571 et 606, UV11	1	741
52N102E	SE	3/20-34	1.1.1.991	Céramique de type autochtone	contenant (tpd)	1	1	4,99	Consommation ind.	Frag	Tesson décoré, potentiellement associé à UV11	1	781
52N102E	SE	3/20-34	1.1.1.991	Céramique de type autochtone	contenant (tpd)	1	1	4,99	Consommation ind.	Frag	Tesson décoré, même unité de vase que 298, 654 et 656	1	782
52N102E	SE	3/20-34	1.1.1.991	Céramique de type autochtone	contenant (tpnd)	7	?	4,99	Consommation ind.	Frag	Tessons non décorés, présence de croûte carbonisée sur un tesson	1	742
52N102E	SE	3/20-34	4,1	Matières premières	éclats	6	?	7,1	Indéterminé	Frag	1 quartz, 1 quartzite, 2 Kichisipi, 1 Onondaga, 1 CH-000	1	607
52N102E	SE	3/20-34	5.1.1	Os	ossement	20	?	6.1.1	Animaux sauf mollusques	Frag	Petits fragments.	1	608
52N102E	SW	3/20-34	1.1.1.991	Céramique de type autochtone	contenant (tpd)	7	?	4,99	Consommation ind.	Frag	Tessons décorés, trois tessons décorés à la cordelette mais ressemblance à un traitement de surface au battoir cordé, un tesson de la même unité de vase que 694 et 703 ?	1	609
52N102E	SW	3/20-34	1.1.1.991	Céramique de type autochtone	contenant (tpnd)	22	?	4,99	Consommation ind.	Frag	Tessons non décorés et grenailles, un tesson avec traces de scarification	1	743
52N102E	SW	3/20-34	4,1	Matières premières	éclats	16	?	7,1	Indéterminé	Frag	3 quartz, 2 quartzite, 4 Onondaga, 4 Kichisipi, 3 CH-000	1	610

Puits/sondage	Quadrant	Niveau	Code mat.	Matériau	Objet	No. frag.	No. obj.	Code fonction	Fonction	Intégrité	Commentaires	No. Bte	No. Cat.
52N102E	SW	3/20-34	4,1	Matières premières	grattoir	1	1	1.1.1.1	Pierre, dure, outil	Ent	Grattoir sur éclat en chert Kichisipi. 11x9mm	1	611
52N102E	SW	3/20-34	4,1	Matières premières	grattoir	1	1	1.1.1.1	Pierre, dure, outil	Frag	Fragment de grattoir sur éclat en chert Kichisipi. 14x6mm	1	612
52N102E	SW	3/20-34	5.1.1	Os	ossement	29	?	6.1.1	Animaux sauf mollusques	Frag	Petits fragments	1	613
52N102E	NE	4/20-22@23	1.1.1.991	Céramique de type autochtone	contenant (tpd)	2	?	4,99	Consommation ind.	Frag	Tessons décorés	1	614
52N102E	NE	4/20-22@23	4,1	Matières premières	éclats	7	?	7,1	Indéterminé	Frag	2 quartz, 2 Mista, 1 chert siliceux brun, 1 Onondaga, 1 CH-000	1	615
52N102E	NE	4/20-22@23	5.1.1	Os	ossement	59	?	6.1.1	Animaux sauf mollusques	Frag	Petits fragments.	1	616
52N102E	NE	4/±20	5.1.6	Charbon	charbon bois	1	?	7,4	Témoins de combustion	Frag	Échantillon de charbon non localisé.	1	617
52N102E	SW	4 pr-1/42	1.1.1.991	Céramique de type autochtone	contenant (tbd)	1	1	4,99	Consommation ind.	Frag	Tesson de bord décoré, UV11, localisation 50N32E	1	618
52N102E	SW	4/20-22@23	1.1.1.991	Céramique de type autochtone	contenant (tbd)	1	1	4,99	Consommation ind.	Frag	Fragment de lèvres décorées, UV21	1	619
52N102E	SW	4/20-22@23	1.1.1.991	Céramique de type autochtone	contenant (tpnd)	1	1	4,99	Consommation ind.	Frag	Petit tesson non décoré	1	744
52N102E	SW	4 pr-1/40	4,1	Matières premières	graphite	1	1	1.1.2.4	Pierre tendre, techno-témoin	Frag	Nodule de graphite à plusieurs faces, dont 4 subplanaires. Ce manuport semble avoir été frotté lui donnant ainsi sa forme polygonale. 22x13x11. 40N44E.	1	620
52N102E	SW	4/20-22@23	5.1.1	Os	ossement	23	?	6.1.1	Animaux sauf mollusques	Frag	21 petits os blanchis, 2 os avec traces de boucherie.	1	621
52N102E	NW	5/18-40	4,1	Matières premières	éclat	1	1	7,1	Indéterminé	Frag	Mistassini	1	622
52N102E	NW	5/18-40	5.1.1	Os	ossement	5	?	6.1.1	Animaux sauf mollusques	Frag	Petits fragments.	1	623
52N102E	NE	5/18-40	1.1.1.991	Céramique de type autochtone	contenant (tpnd)	1	1	4,99	Consommation ind.	Frag	Petit tesson non décoré	1	624
52N102E	NE	5/18-40	4,1	Matières premières	éclat	1	1	7,1	Indéterminé	Frag	1 quartzite	1	625
52N102E	NE	5/18-40	5.1.1	Os	ossement	25	?	6.1.1	Animaux sauf mollusques	Frag	Petits fragments.	1	626
52N102E	SE	5/18-40	1.1.1.991	Céramique de type autochtone	contenant (tpd)	2	?	4,99	Consommation ind.	Frag	Petits tessons décorés	1	627
52N102E	SE	5/18-40	1.1.1.991	Céramique de type autochtone	contenant (tpnd)	1	1	4,99	Consommation ind.	Frag	Petit tesson non décoré	1	745
52N102E	SE	5/18-40	4,1	Matières premières	éclats	2	?	7,1	Indéterminé	Frag	1 Mistassini, 1 quartzite	1	628
52N102E	SE	5/18-40	5.1.1	Os	ossement	13	?	6.1.1	Animaux sauf mollusques	Frag	12 petits os blanchis, 1 avec traces de boucherie.	1	629
52N102E	SE	5/18-40	5.1.4	Coquille	coquille	2	?	6.1.2	Mollusques	Frag	2 petits fragments de coquilles d'huître.	1	630
52N102E	SW	5/18-40	1.1.1.991	Céramique de type autochtone	contenant (tpd)	2	?	4,99	Consommation ind.	Frag	Tessons décorés, présence de croûte carbonisée sur un tesson	1	631
52N102E	SW	5/18-40	1.1.1.991	Céramique de type autochtone	contenant (tpd)	1	1	4,99	Consommation ind.	Frag	Tesson décoré, UV11	1	773
52N102E	SW	5/18-40	1.1.1.991	Céramique de type autochtone	contenant (tpnd)	6	?	4,99	Consommation ind.	Frag	Tessons non décorés	1	746
52N102E	SW	5/18-40	4,1	Matières premières	éclats	5	?	7,1	Indéterminé	Frag	1 quartz, 2 quartzite, 1 Kichisipi, 1 CH-000	1	632
52N102E	SW	5/18-40	5.1.1	Os	ossement	64	?	6.1.1	Animaux sauf mollusques	Frag	Petits fragments.	1	633
52N102E	NA	NA	1.1.1.991	Céramique de type autochtone	contenant (tpnd)	2	?	4,99	Consommation ind.	Frag	Petits tessons non décorés, nettoyage de paroi	1	634
52N104E	NW	1/0-10	2.3.1	V de Couleur - transparent	verre de couleur, transparent	1	1	4.7.1.1	Matériaux de base - vitre	Frag	Petit fragment plat et mince	1	635
52N104E	NE	1/0-10	5.1.1	Os	ossement	8	?	6.1.1	Animaux sauf mollusques	Frag	Petits fragments	1	636
52N104E	SE	1/0-10	3.1.4.1	Plomb	plomb	1	1	3.9.2.1	Chasse/guerre, munitions	Ent	Plomb parachute.	1	637
52N104E	SW	1/0-10	4,1	Matières premières	éclat	1	1	7,1	Indéterminé	Frag	Onondaga	1	638
52N104E	SW	1/0-10	5.1.1	Os	ossement	6	?	6.1.1	Animaux sauf mollusques	Frag	Petits fragments.	1	639
52N104E	NW	2/10-20	1.1.1.991	Céramique de type autochtone	contenant (tpd)	1	1	4,99	Consommation ind.	Frag	Petit tesson décoré, potentiellement associé à UV11	1	640
52N104E	NW	2/10-20	1.1.1.991	Céramique de type autochtone	contenant (tpnd)	2	?	4,99	Consommation ind.	Frag	Petits tessons non décorés	1	747
52N104E	NW	2/10-20	4,1	Matières premières	éclats	5	?	7,1	Indéterminé	Frag	1 quartz, 1 Onondaga, 3 Kichisipi	1	641

Puits/sondage	Quadrant	Niveau	Code mat.	Matériau	Objet	No. frag.	No. obj.	Code fonction	Fonction	Intégrité	Commentaires	No. Bte	No. Cat.
52N104E	NW	2/10-20	2.3.1.1	V Coul transp vert foncé	verre de couleur, transparent, vert foncé	1	1	4.2.1.2	Boissons, conservation/entréposage	Frag	Petit fragment	1	642
52N104E	NW	2/10-20	5.1.1	Os	ossement	3	?	6.1.1	Animaux sauf mollusques	Frag	Petits fragments.	1	643
52N104E	NE	2/10-20	4,1	Matières premières	grattoir	1	1	1.1.1.1	Pierre, dure, outil	Frag	Fragment de grattoir sur éclat en quartz hyalin. 20x14mm	1	644
52N104E	NE	2/10-20	4,1	Matières premières	éclats	2	?	7,1	Indéterminé	Frag	1 Onondaga, 1 Kichisipi	1	645
52N104E	NE	2/10-20	2.3.1.1	V Coul transp vert foncé	verre de couleur, transparent, vert foncé	1	1	4.2.1.2	Boissons, conservation/entréposage	Frag	Petit fragment verre vert	1	646
52N104E	NE	2/10-20	5.1.1	Os	ossement	1	1	6.1.1	Animaux sauf mollusques	Frag	Petit fragment.	1	647
52N104E	SE	2/10-20	2.3.1	V de Couleur - transparent	verre de couleur, transparent	2	2	4.2.1.2	Boissons, conservation/entréposage	Frag	Petits fragments, 1 vert foncé, 1 incolore	1	648
52N104E	SW	2/10-20	1.1.1.991	Céramique de type autochtone	contenant (tpd)	1	1	4,99	Consommation ind.	Frag	Tesson décoré	1	649
52N104E	SW	2/10-20	1.1.1.991	Céramique de type autochtone	contenant (tpnd)	2	?	4,99	Consommation ind.	Frag	Petits tessons non décorés	1	748
52N104E	SW	2/10-20	4,1	Matières premières	éclats	1	?	7,1	Indéterminé	Frag	Kichisipi	1	650
52N104E	SW	2/10-20	4,1	Matières premières	grattoir	1	1	1.1.1.1	Pierre, dure, outil	Ent	Grattoir sur éclat en chert Kichisipi. 14x9mm	1	651
52N104E	SW	2/10-20	5.1.1	Os	ossement	1	1	6.1.1	Animaux sauf mollusques	Frag	Petit fragment.	1	652
52N104E	NW	3 pr-1/42	1.1.1.991	Céramique de type autochtone	contenant (tbd)	1	1	4,99	Consommation ind.	Frag	Petit tesson de bord décoré, potentiellement associé à UV9	1	768
52N104E	NW	3 pr-1/42	1.1.1.991	Céramique de type autochtone	contenant (tpd)	1	1	4,99	Consommation ind.	Frag	Tesson décoré, potentiellement associé à UV20, localisation 58N25E (localisation originale corrigée 42N25E)	1	653
52N104E	NW	3/20-30	1.1.1.991	Céramique de type autochtone	contenant (tpd)	1	1	4,99	Consommation ind.	Frag	Petit tesson décoré, même unité de vase que 298, 656 et 782	1	654
52N104E	NW	3/20-30	1.1.1.991	Céramique de type autochtone	contenant (tpnd)	5	?	4,99	Consommation ind.	Frag	Tessons non décorés	1	749
52N104E	NW	3/20-30	5.1.1	Os	ossement	2	?	6.1.1	Animaux sauf mollusques	Frag	Petits fragments.	1	655
52N104E	NE	3 pr-1/40	1.1.1.991	Céramique de type autochtone	contenant (tpd)	1	1	4,99	Consommation ind.	Frag	Tesson décoré, même unité de vase que 298, 654 et 782, localisation 74N70E	1	656
52N104E	NE	3/20-30	1.1.1.991	Céramique de type autochtone	contenant (tpd)	4	?	4,99	Consommation ind.	Frag	Tessons décorés, surface érodée	1	657
52N104E	NE	3/20-30	1.1.1.991	Céramique de type autochtone	contenant (tpnd)	6	?	4,99	Consommation ind.	Frag	Tessons non décorés	1	750
52N104E	NE	3/20-30	4,1	Matières premières	éclats	6	?	7,1	Indéterminé	Frag	3 quartz, 2 Onondaga, 1 chert calcaire ind. (CH-006)	1	658
52N104E	NE	3/20-30	4,1	Matières premières	grattoir	1	1	1.1.1.1	Pierre, dure, outil	Ent	Grattoir sur éclat en quartz. 16x16mm	1	659
52N104E	NE	3/20-30	4,1	Matières premières	grattoir	1	1	1.1.1.1	Pierre, dure, outil	Frag	Fragment d'outil sur éclat en quartz hyalin. 20x18mm.	1	660
52N104E	NE	3/20-30	4,1	Matières premières	grattoir	1	1	1.1.1.1	Pierre, dure, outil	Frag	Fragment d'outil sur éclat en chert Onondaga. 11x5mm	1	661
52N104E	SE	3/20-30	4,1	Matières premières	éclat	1	1	7,1	Indéterminé	Frag	CH-000	1	662
52N104E	SW	3/20-30	1.1.1.991	Céramique de type autochtone	contenant (tpd)	1	1	4,99	Consommation ind.	Frag	Tesson décoré, UV11	1	663
52N104E	SW	3/20-30	1.1.1.991	Céramique de type autochtone	contenant (tpnd)	3	?	4,99	Consommation ind.	Frag	Tessons non décorés		751
52N104E	SW	3/20-30	4,1	Matières premières	éclat	1	1	7,1	Indéterminé	Frag	Chert siliceux brun	1	664
52N104E	NW	4 pr-1/40	1.1.1.991	Céramique de type autochtone	contenant (tpnd)	1	1	4,99	Consommation ind.	Frag	Petit tesson non décoré, forme de colombin, trouvé à l'extérieur de la cuvette du niveau 4	1	665
52N104E	NW	4 pr-1/38	4.1.13	Pierre	pierre rougie	1	1	4.8.1	Chauffage	Frag	Possible pierre rougie fragmentée, située sur une zone rubéfiée, localisation 75N10E	1	677
52N104E	NE	4 pr-1/55	1.1.1.991	Céramique de type autochtone	contenant (tpnd)	1	1	4,99	Consommation ind.	Frag	Tesson non décoré, trouvé à l'intérieur de la cuvette du niveau 4, localisation 70N70E	1	666
52N104E	NE	4/cuvette pr-1/44-69	4,1	Matières premières	éclats	9	?	7,1	Indéterminé	Frag	5 quartz, 1 Onondaga, 2 CH-000, 1 quartzite	1	667
52N104E	NE	4/cuvette pr-1/44-69	4,1	Matières premières	grattoir	1	1	1.1.1.1	Pierre, dure, outil	Frag	Fragment de grattoir sur éclat en quartz. 17x14mm.	1	668
52N104E	NE	4/cuvette pr-1/44-69	4,1	Matières premières	grattoir	1	1	1.1.1.1	Pierre, dure, outil	Frag	Fragment de grattoir sur éclat en chert Kichisipi incertain (CH-038). 17x14mm	1	669

Puits/sondage	Quadrant	Niveau	Code mat.	Matériau	Objet	No. frag.	No. obj.	Code fonction	Fonction	Intégrité	Commentaires	No. Bte	No. Cat.
52N104E	NE	4 pr-1/54	4,1	Matières premières	grattoir	1	1	1.1.1.1	Pierre, dure, outil	Frag	Grattoir sur éclat en roche métamorphique schisteuse gris foncé à fracture fissile. 51x42mm. 67N68E	1	670
52N104E	NE	4/cuvette pr-1/44-69	5.1.1	Os	ossement	3	?	6.1.1	Animaux sauf mollusques	Frag	Petits fragments.	1	671
52N104E	NE	4 pr-1/50	5.1.6	Charbon	charbon bois	1	?	7,4	Témoins de combustion	Frag	Échantillon de charbon. 70N75E.	1	672
52N104E	NE	4 pr-1/43	5.1.6	Charbon	charbon bois	1	?	7,4	Témoins de combustion	Frag	Échantillon de charbon. 80N85E.	1	673
52N104E	NE	4 pr-1/39	5.1.6	Charbon	charbon bois	1	?	7,4	Témoins de combustion	Frag	Échantillon de charbon. 60N67E.	1	678
52N104E	NW	5 pr-1/38-68	4,1	Matières premières	éclats	2	?	7,1	Indéterminé	Frag	2 Onondaga	1	674
52N104E	SW	5 pr-1/38-68	4,1	Matières premières	éclats	2	?	7,1	Indéterminé	Frag	1 quartz, 1 Onondaga	1	675
52N104E	SW	5 pr-1/38-68	4,1	Matières premières	grattoir	1	1	1.1.1.1	Pierre, dure, outil	Ent	Grattoir sur éclat en chert Kichisipi. 18x14mm	1	676
52N104E	paroi		1.1.1.991	Céramique de type autochtone	contenant (tpd)	1	1	4,99	Consommation ind.	Frag	Petit tesson décoré	1	679
52N104E	paroi		1.1.1.991	Céramique de type autochtone	contenant (tpnd)	1	1	4,99	Consommation ind.	Frag	Petit tesson non décoré	1	752
52N104E	paroi		4,1	Matières premières	éclats	2	?	7,1	Indéterminé	Frag	1 Mistassini, 1 Kichisipi	1	680
52N104E	paroi		5.1.1	Os	ossement	1	1	6.1.1	Animaux sauf mollusques	Frag	Petit fragment.	1	681
52N104E	NA		1.1.1.991	Céramique de type autochtone	contenant (tpd)	1	1	4,99	Consommation ind.	Frag	Tesson décoré, provenance inconnue, UV17	1	682
52N106E	NE	1/0-10	4,1	Matières premières	éclat	1	1	7,1	Indéterminé	Frag	Quartz	1	683
52N106E	NE	1/0-10	4,1	Matières premières	pointe	1	1	1.1.1.1	Pierre, dure, outil	Frag	Fragment distal d'outil bifacial, potentiellement une pointe de projectile, en roche métamorphique brun foncé à fracture subconchoïdale. 20x16mm	1	684
52N106E	SE	1/0-10	1.1.1.991	Céramique de type autochtone	contenant (tpd)	1	1	4,99	Consommation ind.	Frag	Tesson décoré à la cordelette, même unité de vase que 578 et 771 ?	1	685
52N106E	SE	1/0-10	4,1	Matières premières	éclat	1	1	7,1	Indéterminé	Frag	Mistassini	1	686
52N106E	NW	2/10-17@20	1.1.1.991	Céramique de type autochtone	contenant (tpd)	1	1	4,99	Consommation ind.	Frag	Petit tesson décoré	1	687
52N106E	NW	2/10-17@20	4,1	Matières premières	éclats	2	?	7,1	Indéterminé	Frag	1 quartz, 1 Kichisipi	1	688
52N106E	NW	2/10-17@20	2.3.1.1	V Coul transp vert foncé	verre de couleur, transparent, vert foncé	2	1	4.2.1.2	Boissons, conservation/entréposage	Frag	2 tessons de verre vert ind.	1	689
52N106E	NW	2/10-17@20	5.1.1	Os	ossement	1	1	6.1.1	Animaux sauf mollusques	Frag	Petit fragment.	1	690
52N106E	NE	2 pr-2/26	1.1.1.991	Céramique de type autochtone	contenant (tpd)	2	1	4,99	Consommation ind.	Frag	Deux tessons décorés associés à UV9, présence de croûte carbonisée sur un tesson, localisation 92N87E	1	691
52N106E	NE	2/10-17@20	1.1.1.991	Céramique de type autochtone	contenant (tpd)	2	1	4,99	Consommation ind.	Frag	Tesson décoré, UV9	1	692
52N106E	NE	2/10-17@20	1.1.1.991	Céramique de type autochtone	contenant (tpd)	3	?	4,99	Consommation ind.	Frag	Tesson décoré, potentiellement associés à UV11 mais un tesson décoré sur la paroi interne met cette association en doute	1	776
52N106E	NE	2/10-17@20	1.1.1.991	Céramique de type autochtone	contenant (tpd)	7	?	4,99	Consommation ind.	Frag	Tesson décoré, quatre tessons potentiellement associés à UV9	1	777
52N106E	NE	2/10-17@20	1.1.1.991	Céramique de type autochtone	contenant (tpnd)	12	?	4,99	Consommation ind.	Frag	Petits tessons non décorés et grenailles	1	753
52N106E	NE	2/10-17@20	4,1	Matières premières	éclats	6	?	7,1	Indéterminé	Frag	3 quartz, 1 Mista, 1 Kichisipi, 1 chert calcaire ind. (CH-037)	1	693
52N106E	SE	2/10-17@20	1.1.1.991	Céramique de type autochtone	contenant (tpd)	2	?	4,99	Consommation ind.	Frag	Deux tessons décorés, même unité de vase que 703 et 609 ?	1	694
52N106E	SE	2/10-17@20	4,1	Matières premières	éclat	1	1	7,1	Indéterminé	Frag	Quartz	1	695
52N106E	SE	2 pr-2/24	4,1	Matières premières	outil	1	1	1.1.1.1	Pierre, dure, outil	Frag	Pièce esquillée en chert CH-039. 30x29mm. 29N68E.	1	697
52N106E	SE	2/10-17@20	2.3.1.1	V Coul transp vert foncé	verre de couleur, transparent, vert foncé	1	1	4.2.1.2	Boissons, conservation/entréposage	Frag	1 tesson de verre vert ind. bouteille eau gazeuse? quelques autres semblables	1	698
52N106E	NW	3/17@20-20@30	1.1.1.991	Céramique de type autochtone	contenant (tpnd)	1	1	4,99	Consommation ind.	Frag	Petit tesson non décoré	1	699
52N106E	NW	3/17@20-20@30	4,1	Matières premières	éclat	1	1	7,1	Indéterminé	Frag	Kichisipi	1	700
52N106E	NW	3/17@20-20@30	2.3.1.1	V Coul transp vert foncé	verre de couleur, transparent, vert foncé	1	1	4.2.1.2	Boissons, conservation/entréposage	Frag	1 tesson de verre vert ind.	1	701

Puits/sondage	Quadrant	Niveau	Code mat.	Matériau	Objet	No. frag.	No. obj.	Code fonction	Fonction	Intégrité	Commentaires	No. Bte	No. Cat.
52N106E	NE	3/17@20-20@30	1.1.1.991	Céramique de type autochtone	contenant (tpd)	2	1	4,99	Consommation ind.	Frag	Deux tessons décorés et jointifs, UV9	1	754
52N106E	NE	3/17@20-20@30	1.1.1.991	Céramique de type autochtone	contenant (tpd)	3	?	4,99	Consommation ind.	Frag	Tessons décorés	1	774
52N106E	NE	3/17@20-20@30	1.1.1.991	Céramique de type autochtone	contenant (tpnd)	9	?	4,99	Consommation ind.	Frag	Petits tessons non décorés et grenailles	1	755
52N106E	NE	3/17@20-20@30	5.1.1	Os	ossement	7	?	6.1.1	Animaux sauf mollusques	Frag	Très petits fragments.	1	702
52N106E	SE	3/17@20-20@30	1.1.1.991	Céramique de type autochtone	contenant (tpd)	3	?	4,99	Consommation ind.	Frag	Tessons décorés, deux tessons de la même unité de vase que 609 et 694 ?	1	703
52N106E	SE	3/17@20-20@30	4,1	Matières premières	éclat	1	1	7,1	Indéterminé	Frag	Onondaga	1	704
52N106E	SE	3/17@20-20@30	5.1.1	Os	ossement	1	1	6.1.1	Animaux sauf mollusques	Frag	Petit fragment.	1	705
52N106E	SW	3/17@20-20@30	5.1.1	Os	ossement	7	?	6.1.1	Animaux sauf mollusques	Frag	6 petits os et une dent.	1	706
52N106E	NE	4/20@30-30@40	1.1.1.991	Céramique de type autochtone	contenant (tpd)	1	1	4,99	Consommation ind.	Frag	Petit tesson décoré	1	707
52N106E	remblai	NA	1.1.1.991	Céramique de type autochtone	contenant (tpnd)	2	?	4,99	Consommation ind.	Frag	Tessons non décorés, trouvé dans le remblai sur le géotextile	1	756
52N106E	remblai	NA	4,1	Matières premières	éclat	1	1	7,1	Indéterminé	Frag	Chert fin gris avec quelques inclusions foncées. Trouvé dans le remblai sur le géotextile.	1	708
NA	NA	NA	4,1	Matières premières	percuteur	1	1	1.1.1.1	Pierre, dure, outil	Ent	Roche métamorphique ind., galet de 140,6 g avec usure aux deux extrémités distales, chauffé, découverte hors contexte dans le tas de sable à la fin du chantier	1	291
NA	NA	NA	1.1.1.991	Céramique de type autochtone	contenant (tpd)	2	?	4,99	Consommation ind.	Frag	Petits tessons décorés, découverte hors contexte mais en provenance de l'aire de fouille 2021	1	709
NA	NA	NA	1.1.1.991	Céramique de type autochtone	contenant (tpnd)	3	?	4,99	Consommation ind.	Frag	Petits tessons non décorés, découverte hors contexte mais en provenance de l'aire de fouille 2021	1	757

Site : Baie Cartier, propriété de Raymond Cartier

Code : CcFr-5

Inventaire des artefacts et écofacts

Archéologues: Karine Taché-Francis Lamothe

Analystes: Francis Lamothe-Karine Taché-Roland Tremblay-Adrien Cesario-Olivier Pilette

Date : octobre 2021

Collection :

Puits/sondage	Quadrant	Niveau	Code mat.	Matériau	Objet	No. frag.	No. obj.	Code fonction	Fonction	Intégrité	Commentaires	No. Bte	No. Cat.
BC52			4.1.13	Pierre	Pierre rougeie	1	1	4.8.1	Chauffage	Frag	Possible pierre rougeie fragmentée.	1	24
BC53			4,1	Matières premières	éclats	3	3	1.1.1.1	Pierre, dure, outil	Frag	1 quartz, 1 Onondaga, 1 gros éclat d'amincissement bifacial en chert CH-040 possiblement chauffé	1	25
BC53			5.1.1	Os	ossement	205	?	6.1.1	Animaux sauf mollusques	Frag	Petits fragments.	1	26
BC55			4,1	Matières premières	éclats	2	2	7,1	Indéterminé	Frag	1 quartz, 1 chert gris	1	27
BC55			3.1.1.13	Fer tréflé	clou	1	1	4.7.2.3	Fixations-clos	Ent	58 mm corrodé, tête ronde, base plate. NON CONSERVÉ.		
BC55			2	Verre	tessons	10	?	4,1	Alimentation	Frag	1 petit fragment vert olive, 5 verres à vitre incolores, 2 petits incolores, 2 petits incolores de fiole, un gros incolore à bouteille. NON CONSERVÉS.		
BC55			5.3.1	Plastique	bouton	1	1	4.1.1	Vêtement	Ent	1 petit bouton à 4 trous, noir, 11 mm. NON CONSERVÉ.		
BC55			5.3.1	Plastique	Tuyau	1	1	4.8.3	Plomberie et canalisation	Frag	Plastique rouge arrondi, intérieur de tuyau. NON CONSERVÉ.		
BC56		0-6	4,1	Matières premières	éclats	5	?	7,1	Indéterminé	Frag	Quartz	1	28
BC56		0-6	5.1.1	Os	ossement	1	1	6.1.1	Animaux sauf mollusques	Frag	Petit fragment (articulation)	1	29
BC56		6-11	4,1	Matières premières	éclats	3	?	7,1	Indéterminé	Frag	Quartz hyalin	1	30
BC56		6-11	4,1	Matières premières	grattoir	1	1	1.1.1.1	Pierre, dure, outil	Frag	Fragment de grattoir sur éclat en quartz hyalin. 12x7mm	1	31
BC57		2	1.1.1.991	Céramique de type autochtone	contenant (tpd)	1	1	4,99	Consommation ind.	Frag	Grenaille	1	32
BC57		3	5.1.6	Charbon	charbon de bois	1	?	7,4	Témoin de combustion	Frag	Pas associé à un foyer.	1	33
BC57		4	4,1	Matières premières	éclats	25	?	7,1	Indéterminé	Frag	Quartz	1	34
BC57		4	4,1	Matières premières	grattoir	1	1	1.1.1.1	Pierre, dure, outil	Frag	Fragment de grattoir sur éclat en quartz hyalin. 19x9mm	1	35
BC57		4	1.1.1.991	Céramique de type autochtone	contenant (tpd)	1	1	4,99	Consommation ind.	Frag	Petit tesson décoré, décor empreint indéterminé	1	36
BC57		4	1.1.1.991	Céramique de type autochtone	contenant (tpnd)	1	1	4,99	Consommation ind.	Frag	Petit tesson non décoré	1	62
BC57		paroi	4,1	Matières premières	éclats	2	2	7,1	Indéterminé	Frag	1 quartz, 1 CH-000	1	37
BC57		2		Verre	bouteille	1	1	4.2.1.1	Boissons, absorption	Ent	Type bière Dominion Glass Company. "Q16 point [diamant-D] 5". "2 points Canada". NON CONSERVÉE.		
BC58			5.3.1	Plastique	éclats	3	?	?	Indéterminé	Frag	Trois petits fragments blancs. NON CONSERVÉS.		
BC58		0-5	3.1.1	Métal, ferreux	fragment	1	1	?	Indéterminé	Frag	Fragment avec coupe transversale en T. NON CONSERVÉ.		
BC58		33-39	4,1	Matières premières	éclats	12	?	7,1	Indéterminé	Frag	2 quartz, 3 calcédoine (CALC-002), 6 GR-001, 1 chert gris (CH-047)	1	38
BC60		1/0-16	4,1	Matières premières	nucléus	1	1	1.1.1.1	Pierre, dure, outil	Frag	Nucléus en quartz	1	39
BC60		1/0-16	4,1	Matières premières	éclats	6	?	7,1	Indéterminé	Frag	3 quartz, 3 CH-000	1	40
BC60		1/0-16	4,1	Matières premières	grattoir	1	1	1.1.1.1	Pierre, dure, outil	Frag	Fragment de grattoir sur éclat en quartz hyalin. 12X8mm	1	41

Puits/sondage	Quadrant	Niveau	Code mat.	Matériau	Objet	No. frag.	No. obj.	Code fonction	Fonction	Intégrité	Commentaires	No. Bte	No. Cat.
BC60		1/0-16	4,1	Matières premières	outil	1	1	1.1.1.1	Pierre, dure, outil	Frag	Fragment d'outil bifacial en quartz hyalin. 11x6mm	1	42
BC60		1/0-16	4,1	Matières premières	pointe	1	1	1.1.1.1	Pierre, dure, outil	Frag	Fragment méso-proximal d'une pointe à encoches en coin et base convexe en chert CH-008. 20X17mm. Prof 10 cm. Loc : 22 cm depuis coin NW.	1	43
BC60		1/0-16	5.1.1	Os	ossement	41	?	6.1.1	Animaux sauf mollusques	Frag	Petits fragments,	1	44
BC60		2	4,1	Matières premières	éclats	5	?	7,1	Indéterminé	Frag	2 quartz, 2 quartzite, 1 CH-000	1	45
BC60		2	5.1.1	Os	ossement	24	?	6.1.1	Animaux sauf mollusques	Frag	Petits fragments.	1	46
BC60		2	5.1.6	Charbon	charbon de bois	1	?	7,4	Témoin de combustion	Frag	Échantillon de charbon. Paroi sud. 7N35E. Prof 19 cm.	1	47
BC62		1	4,1	Matières premières	éclat	1	1	7,1	Indéterminé	Frag	Quartz	1	48
BC62		1	3.1.2.2	Laiton	douille	1	1	3.9.2.1	Chasse/guerre, munitions	Ent	Douille de calibre 22. NON CONSERVÉE.		
BC62		1	5.1.1	Os	ossement	8	?	6.1.1	Animaux sauf mollusques	Frag	Petits fragments.	1	49
BC62		2	4,1	Matières premières	éclat	1	1	7,1	Indéterminé	Frag	Chert blanc possiblement chauffé	1	50
BC62		2	4,1	Matières premières	grattoir	1	1	1.1.1.1	Pierre, dure, outil	Frag	Micro grattoir sur éclat en quartz hyalin. 10x10mm	1	51
BC62		2	5.1.1	Os	ossement	35	?	6.1.1	Animaux sauf mollusques	Frag	Petits fragments.	1	52
BC62		2	5.1.6	Charbon	charbon de bois	1	?	7,4	Témoin de combustion	Frag	Échantillon de charbon. Pas associé à foyer.	1	53
BC62		2	5.1.6	Charbon	charbon de bois	3	?	7,4	Témoin de combustion	Frag	Échantillon de charbon. Pas associé à foyer.	1	54
BC62		3	5.1.1	Os	ossement	4	?	6.1.1	Animaux sauf mollusques	Frag	Très petits fragments.	1	55
BC67			4,1	Matières premières	éclats	1	?	1.1.1.1	Pierre, dure, outil	Frag	1 possible nucléé en quartz. 4 petits fragments de quartz NON CONSERVÉS	1	56
BC70			2	Verre	tesson	1	?	4,1	Alimentation	frag	Fragment de verre à vitre. NON CONSERVÉ.		
BC70			5.1.1	Os	ossement	41	?	6.1.1	Animaux sauf mollusques	Frag	Petits fragments, peut-être certains identifiables à l'espèce.	1	57
BC71			4,1	Matières premières	éclats	3	?	7,1	Indéterminé	Frag	2 quartz, 1 quartz hyalin	1	58
BC71			4,1	Matières premières	éclats	2	?	7,1	Indéterminé	Frag	2 fragments de cristal de quartz	1	59
BC73			4,1	Matières premières	éclat	1	1	7,1	Indéterminé	Frag	1 gros éclat de dégrossissage en quartz.	1	60
BC74			4,1	Matières premières	éclat	1	1	1.1.1.1	Pierre, dure, outil	Frag	1 fragment de quartz rejeté. NON CONSERVÉ.		
BC74			3.1.1.13	Fer tréfilé	clous	2	2	4.7.2.3	Fixations-clous	Ent	Corrodés. Tête ronde, 65mm. NON CONSERVÉ.		
BC74			5.1.1	Os	ossement	20	?	6.1.1	Animaux sauf mollusques	Frag	Petits fragments.	1	61

Annexe D Catalogue des photographies

Non imprimé, disponible en format PDF seulement

Projet: NOM2021 Lièvre LD CbFv-1

Archéologue: KT

Film no: 1

Type NUM

Date	Cliché	No photo	Identification	Description	Orientation
8-07-2021	1	CbFv1-2021_NUM1-001	LD4	Ambiance: Francis et sondage sur cap de roche	W
8-07-2021	2	CbFv1-2021_NUM1-002	LD1	Ambiance: terrasse riveraine derrière talus érodé	S
8-07-2021	3	CbFv1-2021_NUM1-003	LD4	Fond de sondage	na
8-07-2021	4	CbFv1-2021_NUM1-004	LD4	Paroi W	SW
8-07-2021	5	CbFv1-2021_NUM1-005	raté	raté	na
8-07-2021	6	CbFv1-2021_NUM1-006	LD2	Paroi E	NE
8-07-2021	7	CbFv1-2021_NUM1-007	LD2	Fond de sondage	na
8-07-2021	8	CbFv1-2021_NUM1-008	LD1	Paroi N	N
8-07-2021	9	CbFv1-2021_NUM1-009	LD1	Fond de sondage	na
8-07-2021	10	CbFv1-2021_NUM1-010	LD3	Ambiance Olivier et sondage	N
8-07-2021	11	CbFv1-2021_NUM1-011	LD3	Paroi E	E
8-07-2021	12	CbFv1-2021_NUM1-012	LD5	Paroi N	N
8-07-2021	13	CbFv1-2021_NUM1-013	LD5	Fond de sondage	na
8-07-2021	14	CbFv1-2021_NUM1-014	LD7	Paroi E	E
8-07-2021	15	CbFv1-2021_NUM1-015	LD6	Ambiance: Francis sondage et cap rocheux	NW
8-07-2021	16	CbFv1-2021_NUM1-016	LD6	Paroi N	N
8-07-2021	17	CbFv1-2021_NUM1-017	LD6	Fond de sondage	na
8-07-2021	18	CbFv1-2021_NUM1-018	Général	Veine de quartz près de LD6	na
8-07-2021	19	CbFv1-2021_NUM1-019	Général	Veine de quartz près de LD6	na
8-07-2021	20	CbFv1-2021_NUM1-020	Ambiance	Panoramique depuis LD6	N
8-07-2021	21	CbFv1-2021_NUM1-021	LD9	Paroi E	E
8-07-2021	22	CbFv1-2021_NUM1-022	Ambiance	Équipe Ile Longue	NE
8-07-2021	23	CbFv1-2021_NUM1-023	Ambiance	Panoramique au bout du cap de roche	N
8-07-2021	24	CbFv1-2021_NUM1-024	Ambiance	Panoramique au bout du cap de roche	E
8-07-2021	25	CbFv1-2021_NUM1-025	LD12	Paroi E	E
8-07-2021	26	CbFv1-2021_NUM1-026	LD12	Ambiance replat derrière cap de roche	NE
8-07-2021	27	CbFv1-2021_NUM1-027	LD13	Ambiance: talus d'érosion et Francis LD13 positif	E
8-07-2021	28	CbFv1-2021_NUM1-028	LD16	Paroi E	E
8-07-2021	29	CbFv1-2021_NUM1-029	LD13	Fond de sondage	na
8-07-2021	30	CbFv1-2021_NUM1-030	LD13	Fond de sondage	na
8-07-2021	31	CbFv1-2021_NUM1-031	Ambiance	Pluie, Francis et Olivier	NE
8-07-2021	32	CbFv1-2021_NUM1-032	Ambiance	raté	na
8-07-2021	33	CbFv1-2021_NUM1-033	Ambiance	cap de roche depuis la chaloupe	E
9-07-2021	34	CbFv1-2021_NUM1-034	Ambiance	en chaloupe vers le site	NE
9-07-2021	35	CbFv1-2021_NUM1-035	Ambiance	en chaloupe vers le site	E
9-07-2021	36	CbFv1-2021_NUM1-036	Ambiance	Vue de la terrasse riveraine entre accostage et cap rocheux (LD21)	N
9-07-2021	37	CbFv1-2021_NUM1-037	LD22	Paroi E	E
9-07-2021	38	CbFv1-2021_NUM1-038	LD25	Paroi E	SE
9-07-2021	39	CbFv1-2021_NUM1-039	LD25	Fond de sondage	na

Date	Cliché	No photo	Identification	Description	Orientation
9-07-2021	40	CbFv1-2021_NUM1-040	LD17	Paroi E	NE
9-07-2021	41	CbFv1-2021_NUM1-041	LD17	Fond de sondage	na
9-07-2021	42	CbFv1-2021_NUM1-042	LD13 QSE	Paroi N foyer	NE
9-07-2021	43	CbFv1-2021_NUM1-043	LD13 QSE	Paroi N foyer	N
9-07-2021	44	CbFv1-2021_NUM1-045	LD13 QSE	Paroi W foyer	?
9-07-2021	45	CbFv1-2021_NUM1-044	LD13 QSE	Paroi W foyer	?
9-07-2021	46	CbFv1-2021_NUM1-046	LD13 QSE	Foyer fond de sondage problème boussole pour orientation	na
9-07-2021	47	CbFv1-2021_NUM1-047	LD13 QSE	Foyer fond de sondage problème boussole pour orientation	na
9-07-2021	48	CbFv1-2021_NUM1-048	LD20	Paroi S	E
9-07-2021	49	CbFv1-2021_NUM1-049	LD20	Paroi E	E
9-07-2021	50	CbFv1-2021_NUM1-050	LD20	Paroi N	NE
9-07-2021	51	CbFv1-2021_NUM1-051	LD20	Fond de sondage	na
9-07-2021	52	CbFv1-2021_NUM1-052	LD18	Paroi S	E
9-07-2021	53	CbFv1-2021_NUM1-053	LD13	Ambiance foyer Francie Adrien Olivier	N
9-07-2021	54	CbFv1-2021_NUM1-054	LD13	Ambiance foyer Francie Adrien Olivier	N
9-07-2021	55	CbFv1-2021_NUM1-055	LD13 et LD26	Ambiance foyer Rol LD26 Adrien Olivier et Francis LD13	N
9-07-2021	56	CbFv1-2021_NUM1-056	LD13,26,27	Panoramique: Sylvain LD27, Rol LD26, AR OP FL LD13	NE
9-07-2021	57	CbFv1-2021_NUM1-057	LD13,26,27	Panoramique: Sylvain LD27, Rol LD26, AR OP FL LD13	NE
9-07-2021	58	CbFv1-2021_NUM1-058	LD13,26,27	Panoramique: Sylvain LD27, Rol LD26, AR OP FL LD13	N
9-07-2021	59	CbFv1-2021_NUM1-059	LD13 LD26	Ambiance: ROL LD26, AR et OP LD13	N
9-07-2021	60	CbFv1-2021_NUM1-060	LD13 LD26	Ambiance: FL, AR et OP LD13 - ROL ID26	E
9-07-2021	61	CbFv1-2021_NUM1-061	LD13	Ambiance FL OP AR SG	NE
9-07-2021	62	CbFv1-2021_NUM1-062	LD13	Pierres de foyer en plan	na
9-07-2021	63	CbFv1-2021_NUM1-063	LD13	Pierres de foyer en plan	na
9-07-2021	64	CbFv1-2021_NUM1-064	LD13	Pierres de foyer en plan détail	na
9-07-2021	65	CbFv1-2021_NUM1-065	LD13	Pierres de foyer en plan détail	N
9-07-2021	66	CbFv1-2021_NUM1-066	LD13	Pierres de foyer avec pierres QSE remplacées	na
9-07-2021	67	CbFv1-2021_NUM1-067	LD26	Vue des grosses pierres dans le sondage	na
9-07-2021	68	CbFv1-2021_NUM1-068	LD13 QNE	Sol noir et rubéfié associé au foyer	na
9-07-2021	69	CbFv1-2021_NUM1-069	LD13 QNE	Sol noir et rubéfié associé au foyer	na
9-07-2021	70	CbFv1-2021_NUM1-070	LD26	Paroi E	NE
9-07-2021	71	CbFv1-2021_NUM1-071	LD26	Fond de sondage	na
9-07-2021	72	CbFv1-2021_NUM1-072	LD27	Fond de sondage	na
9-07-2021	73	CbFv1-2021_NUM1-073	LD13	Paroi S (cuvette défoncée à l'est) (ou plutôt ... ouest?? FL 10-11-2021)	E
9-07-2021	74	CbFv1-2021_NUM1-074	LD13	Fond de sondage	na
9-07-2021	75	CbFv1-2021_NUM1-075	Général	Vue du site depuis la chaloupe	E
9-07-2021	76	CbFv1-2021_NUM1-076	Ambiance	Roland	NE
9-07-2021	77	CbFv1-2021_NUM1-077	Ambiance	Olivier, Adrien et Francis de retour après une longue semaine	N
9-07-2021	78	CbFv1-2021_NUM1-078	Général	Vue du site depuis la chaloupe	E
9-07-2021	79	CbFv1-2021_NUM1-079	Général	Vue du site depuis la chaloupe	E
9-07-2021	80	CbFv1-2021_NUM1-080	Général	Vue du site depuis la chaloupe	E

Projet: NOM2021 RC CbFv-2

Archéologue: KT

Film no: 1

Type NUM

Date	Cliché	No photo	Identification	Description	Orientation
4-07-2021	1	CbFv2-2021_NUM1-001	RC1	Francis et Adrien sondage RC1	NE
4-07-2021	2	CbFv2-2021_NUM1-002	RC3	Sylvain ambiance	S
4-07-2021	3	CbFv2-2021_NUM1-003	RC2	Roland ambiance	W
4-07-2021	4	CbFv2-2021_NUM1-004	Général	Aire accostage et zone d'inventaire	S
4-07-2021	5	CbFv2-2021_NUM1-005	Général	Vue vers l'embouchure du ruisseau du cerf	E
4-07-2021	6	CbFv2-2021_NUM1-006	RC3	Paroi S	SE
4-07-2021	7	CbFv2-2021_NUM1-007	RC1	Paroi W	W
4-07-2021	8	CbFv2-2021_NUM1-008	RC1	Fond de sondage	na
4-07-2021	9	CbFv2-2021_NUM1-009	RC2	Paroi W	W
4-07-2021	10	CbFv2-2021_NUM1-010	RC2	Paroi W	W
4-07-2021	11	CbFv2-2021_NUM1-011	RC4	Paoli N	NE
4-07-2021	12	CbFv2-2021_NUM1-012	RC4	Paroi N	NE
4-07-2021	13	CbFv2-2021_NUM1-013	RC7	Ambiance Francis premier sondage positif	NW
4-07-2021	14	CbFv2-2021_NUM1-014	RC8	Ambiance Adrien fouille et accostage arrière-plan	SE
4-07-2021	15	CbFv2-2021_NUM1-015	RC6	Paroi S	S
4-07-2021	16	CbFv2-2021_NUM1-016	RC8	Paroi W	SW
4-07-2021	17	CbFv2-2021_NUM1-017	RC7	Paroi S	SE
4-07-2021	18	CbFv2-2021_NUM1-018	RC11	Ambiance: remblayage et Lièvre arrière-plan	NW
4-07-2021	19	CbFv2-2021_NUM1-019	RC12	Ambiance: dernier sondage le long du talus	W
4-07-2021	20	CbFv2-2021_NUM1-020	RC12	Paroi S	SE
4-07-2021	21	CbFv2-2021_NUM1-021	RC12	Fond de sondage sur roche-mère	na
4-07-2021	22	CbFv2-2021_NUM1-022	RC12	Fond de sondage sur roche-mère	na
5-07-2021	23	CbFv2-2021_NUM1-023	Ambiance	Karine et le grand tilleul	E
5-07-2021	24	CbFv2-2021_NUM1-024	RC17	Ambiance Francis	E
5-07-2021	25	CbFv2-2021_NUM1-025	RC18	Ambiance Olivier	S
5-07-2021	26	CbFv2-2021_NUM1-026	RC20	Ambiance Roland et beau replat arrière	S
5-07-2021	27	CbFv2-2021_NUM1-027	RC18	Paroi W	SW
5-07-2021	28	CbFv2-2021_NUM1-028	RC18	Fond de sondage	na
5-07-2021	29	CbFv2-2021_NUM1-029	Ambiance	Collation près du grand tilleul	NE
5-07-2021	30	CbFv2-2021_NUM1-030	RC22	Paroi W	W
5-07-2021	31	CbFv2-2021_NUM1-031	RC21	Paroi W	W
5-07-2021	32	CbFv2-2021_NUM1-032	RC21	Fond de sondage	na
5-07-2021	33	CbFv2-2021_NUM1-033	RC26	Ambiance: Roland et RC 24 et RC27 derrière	E
5-07-2021	34	CbFv2-2021_NUM1-034	RC26	Panoramique de la zone derrière la baie	na
5-07-2021	35	CbFv2-2021_NUM1-035	RC23	Ambiance Adrien	N
5-07-2021	36	CbFv2-2021_NUM1-036	RC25	Ambiance: Olivier et la baie derrière	E
5-07-2021	37	CbFv2-2021_NUM1-037	RC25	Paroi W	NW
5-07-2021	38	CbFv2-2021_NUM1-038	Ambiance	Érosion des berges de la pointe face à la baie	SW
5-07-2021	39	CbFv2-2021_NUM1-039	RC30	Ambiance et sondages sur le replat	S
5-07-2021	40	CbFv2-2021_NUM1-040	RC28	Paroi N	N

Date	Cliché	No photo	Identification	Description	Orientation
5-07-2021	41	CbFv2-2021_NUM1-041	RC30	Paroi S	SW
5-07-2021	42	CbFv2-2021_NUM1-042	RC30	Paroi S	SW
5-07-2021	43	CbFv2-2021_NUM1-043	RC33	Paroi W	W
5-07-2021	44	CbFv2-2021_NUM1-045	Ambiance		
5-07-2021	45	CbFv2-2021_NUM1-044	Ambiance		
5-07-2021	46	CbFv2-2021_NUM1-046	Ambiance		
5-07-2021	47	CbFv2-2021_NUM1-047	Ambiance		
5-07-2021	48	CbFv2-2021_NUM1-048	Ambiance		
5-07-2021	49	CbFv2-2021_NUM1-049	Ambiance		
5-07-2021	50	CbFv2-2021_NUM1-050	Ambiance		

Projet: NOM2021 Ile Longue CbFv-3

Archéologue: KT

Film no: 1

Type NUM

Date	Cliché	No photo	Identification	Description	Orientation
6-07-2021	1	CbFv3-2021_NUM1-001	IL2	Ambiance: Francis et sondage dans sous bois le long du talus	E
6-07-2021	2	CbFv3-2021_NUM1-002	Ambiance	Vue du «lac Dudley» depuis IL2	S
6-07-2021	3	CbFv3-2021_NUM1-003	Ambiance	Zone de sous-bois IL2-3-4	E
6-07-2021	4	CbFv3-2021_NUM1-004	IL1	Ambiance Rol	S
6-07-2021	5	CbFv3-2021_NUM1-005	IL1	Ambiance avec lac Dudley et rivière derrière	SW
6-07-2021	6	CbFv3-2021_NUM1-006	IL1	Paroi Sud	S
6-07-2021	7	CbFv3-2021_NUM1-007	IL1	Fond de sondage	na
6-07-2021	8	CbFv3-2021_NUM1-008	IL3	Ambiance: Olivier, lac Dudley et rivière derrière	S
6-07-2021	9	CbFv3-2021_NUM1-009	Général	Zone de vinaigriers et framboisiers IL5-6-7	E
6-07-2021	10	CbFv3-2021_NUM1-010	IL4	Paroi E	E
6-07-2021	11	CbFv3-2021_NUM1-011	IL4	Fond de sondage	E
6-07-2021	12	CbFv3-2021_NUM1-012	IL6	Paroi W	W
6-07-2021	13	CbFv3-2021_NUM1-013	IL6	Fond de sondage	na
6-07-2021	14	CbFv3-2021_NUM1-014	Général	Sous-bois entre framboisiers et crête IL8 à IL12	W
6-07-2021	15	CbFv3-2021_NUM1-015	IL8	Paroi N	N
6-07-2021	16	CbFv3-2021_NUM1-016	IL9	Paroi E	E
6-07-2021	17	CbFv3-2021_NUM1-017	IL9	Fond de sondage	na
6-07-2021	18	CbFv3-2021_NUM1-018	IL9	Ambiance Rol	S
6-07-2021	19	CbFv3-2021_NUM1-019	IL12	Paroi N	NW
6-07-2021	20	CbFv3-2021_NUM1-020	IL12	Paroi N	N
6-07-2021	21	CbFv3-2021_NUM1-021	Ambiance	Collation	E
6-07-2021	22	CbFv3-2021_NUM1-022	Ambiance	Collation	E
6-07-2021	23	CbFv3-2021_NUM1-023	IL16	Paroi W	NW
6-07-2021	24	CbFv3-2021_NUM1-024	IL16	Paroi W	NW
6-07-2021	25	CbFv3-2021_NUM1-025	IL16	Fond de sondage	na
6-07-2021	26	CbFv3-2021_NUM1-026	Ambiance	Basse terrasse derrière accostage	SE
6-07-2021	27	CbFv3-2021_NUM1-027	Ambiance	Panoramique: frmaboisiers et hautes herbes haute terrasse	E
6-07-2021	28	CbFv3-2021_NUM1-028	Ambiance	Framboisiers haute terrasse IL24 et IL25	N
6-07-2021	29	CbFv3-2021_NUM1-029	Ambiance	Framboisiers haute terrasse IL24 et IL25	N
6-07-2021	30	CbFv3-2021_NUM1-030	Ambiance	Vue de la basse terrasse à partir de la haute terrasse	N
6-07-2021	31	CbFv3-2021_NUM1-031	Ambiance	Vue du talus extrémité sud île Longue	NW
6-07-2021	32	CbFv3-2021_NUM1-032	IL25	Paroi N	NE
6-07-2021	33	CbFv3-2021_NUM1-033	IL21	Paroi N	N
6-07-2021	34	CbFv3-2021_NUM1-034	IL20	Trous de marmotte et fond de sondage	na
6-07-2021	35	CbFv3-2021_NUM1-035	IL20	Paroi W, trou de marmotte et noix de noyer cendré	W
6-07-2021	36	CbFv3-2021_NUM1-036	IL20	Paroi W, trou de marmotte et noix de noyer cendré	W
7-07-2021	37	CbFv3-2021_NUM1-037	Ambiance	Déplacements chaloupe et canots	na
7-07-2021	38	CbFv3-2021_NUM1-038	Ambiance	Déplacements chaloupe et canots	na
7-07-2021	39	CbFv3-2021_NUM1-039	Ambiance	Déplacements chaloupe et canots	na

Date	Cliché	No photo	Identification	Description	Orientation
7-07-2021	40	CbFv3-2021_NUM1-040	Ambiance	Déplacements chaloupe et canots	na
7-07-2021	41	CbFv3-2021_NUM1-041	Ambiance	Déplacements chaloupe et canots	na
7-07-2021	42	CbFv3-2021_NUM1-042	Ambiance	Hautes herbes basse terrasse IL26-27-28	SW
7-07-2021	43	CbFv3-2021_NUM1-043	IL29	Paroi N	N
7-07-2021	44	CbFv3-2021_NUM1-045	IL29	Fond de sondage	na
7-07-2021	45	CbFv3-2021_NUM1-044	IL26	Paroi W	W
7-07-2021	46	CbFv3-2021_NUM1-046	IL26	Fond de sondage	na
7-07-2021	47	CbFv3-2021_NUM1-047	IL38	Zone de sondage le long du talus d'érosion (Olivier et IL38)	W
7-07-2021	48	CbFv3-2021_NUM1-048	IL39	Zone de sondage, Francis	E
7-07-2021	49	CbFv3-2021_NUM1-049	IL40	Zone de sondage Roland	E
7-07-2021	50	CbFv3-2021_NUM1-050	IL41	Zone de sondage Adrien	E
7-07-2021	51	CbFv3-2021_NUM1-051	IL42	Zone de sondage Olivier	SW
7-07-2021	52	CbFv3-2021_NUM1-052	Ambiance	Panoramique: vue sur la Lièvre depuis talus	E
7-07-2021	53	CbFv3-2021_NUM1-053	Ambiance	raté	na
7-07-2021	54	CbFv3-2021_NUM1-054	IL41	Paroi E	NE
7-07-2021	55	CbFv3-2021_NUM1-055	IL41	Paroi W	SO
7-07-2021	56	CbFv3-2021_NUM1-056	IL41	Fond de sondage	na
7-07-2021	57	CbFv3-2021_NUM1-057	IL40	Paroi E	SE
7-07-2021	58	CbFv3-2021_NUM1-058	IL40	Fond de sondage	na
7-07-2021	59	CbFv3-2021_NUM1-059	IL41	Paroi W	W
7-07-2021	60	CbFv3-2021_NUM1-060	IL41	Paroi N	N
7-07-2021	61	CbFv3-2021_NUM1-061	IL42	Paroi S	S
7-07-2021	62	CbFv3-2021_NUM1-062	IL42	Paroi S	S
7-07-2021	63	CbFv3-2021_NUM1-063	IL47	raté	na
7-07-2021	64	CbFv3-2021_NUM1-064	IL47	Paroi S-W	SW
7-07-2021	65	CbFv3-2021_NUM1-065	IL49	Paroi N	N
7-07-2021	66	CbFv3-2021_NUM1-066	IL50	Ambiance Sylvain et Adrien	na

Projet: NOM2021 Jourdain CcFr-1

Archéologue: KT

Film no: 1

Type NUM

Date	Cliché	No photo	Identification	Description	Orientation
12-07-2021	1	CcFr1-2021_NUM1-001	Ambiance	Début fouilles	S
12-07-2021	2	CcFr1-2021_NUM1-002	Ambiance	Tamisage	NW
12-07-2021	3	CcFr1-2021_NUM1-003	Ambiance	Fouille et tamisage	E
13-07-2021	4	CcFr1-2021_NUM1-004	Ambiance	Début fouilles	S
13-07-2021	5	CcFr1-2021_NUM1-005	52N106E	Fin niveau 1 (remblai 2020 sur géotextile)	na
13-07-2021	6	CcFr1-2021_NUM1-006	Ambiance	Pose des toiles	W
13-07-2021	7	CcFr1-2021_NUM1-007	Ambiance	Pose des toiles	NW
13-07-2021	8	CcFr1-2021_NUM1-008	Ambiance	Pose des toiles	SW
13-07-2021	9	CcFr1-2021_NUM1-009	Ambiance	Pose des toiles	SW
13-07-2021	10	CcFr1-2021_NUM1-010	J45	Paroi Nord sur sommet ferme orangé à environ 30 cm	N
13-07-2021	11	CcFr1-2021_NUM1-011	J45	Sommet sable orangé à environ 20-30 cm	na
13-07-2021	12	CcFr1-2021_NUM1-012	50N104E	Fin niveau 1 (en plan)	na
13-07-2021	13	CcFr1-2021_NUM1-013	Ambiance	Pose des toiles	
13-07-2021	14	CcFr1-2021_NUM1-014	Ambiance	Pose des toiles	
13-07-2021	15	CcFr1-2021_NUM1-015	Ambiance	Pose des toiles	
13-07-2021	16	CcFr1-2021_NUM1-016	50N102E	Blake Commando et Roland	W
13-07-2021	17	CcFr1-2021_NUM1-017	52N102E	Clotilde Roger	N
13-07-2021	18	CcFr1-2021_NUM1-018	52N104E	Alex Vendetti	W
13-07-2021	19	CcFr1-2021_NUM1-019	52N104E	Alex Vendetti	W
13-07-2021	20	CcFr1-2021_NUM1-020	52N106E	Dolcy Meness	E
13-07-2021	21	CcFr1-2021_NUM1-021	52N106E	Dolcy Meness	E
13-07-2021	22	CcFr1-2021_NUM1-022	51N105E	Mathieu Gaudreault	NE
13-07-2021	23	CcFr1-2021_NUM1-023	50N106E	Sylvain Généreux	N
13-07-2021	24	CcFr1-2021_NUM1-024	50N104E	Adrien Cesario	W
13-07-2021	25	CcFr1-2021_NUM1-025	Escalier	Type de pierre de l'escalier trouvé en fragments en surface de 50N104E	S
13-07-2021	26	CcFr1-2021_NUM1-026	J45	Fin de fouille en plan	na
13-07-2021	27	CcFr1-2021_NUM1-027	J45	Strati paroi Nord	N
13-07-2021	28	CcFr1-2021_NUM1-028	52N102e	Fin niveau (en plan)	na
13-07-2021	29	CcFr1-2021_NUM1-029	Ambiance	fouilles sous l'abri	N
13-07-2021	30	CcFr1-2021_NUM1-030	Ambiance	Lunch chez Robert	N
13-07-2021	31	CcFr1-2021_NUM1-031	Ambiance	Roland, Blake et Liz au tamisage	NE
13-07-2021	32	CcFr1-2021_NUM1-032	J46	Paroi Nord	N
13-07-2021	33	CcFr1-2021_NUM1-033	J47	Sommet niveau 20 cm + (sable orangé) artefacts en place	W
13-07-2021	34	CcFr1-2021_NUM1-034	52N106E	fin niveau 2 (10-20) du QNE: lentille sable gris et zone sable noirâtre et charbon	N
13-07-2021	35	CcFr1-2021_NUM1-035	52N106E	Idem	N
13-07-2021	36	CcFr1-2021_NUM1-036	50N104E	fin niveau 2 (en plan)	na
13-07-2021	37	CcFr1-2021_NUM1-037	52N104E	fin niveau 2 (en plan)	na
14-07-2021	38	CcFr1-2021_NUM1-038	Ambiance	Aire de fouille et abri	S
14-07-2021	39	CcFr1-2021_NUM1-039	50N106E QSE	Grattoir et tesson in situ niv 10-20 (Ah) en plan	na

Date	Cliché	No photo	Identification	Description	Orientation
14-07-2021	40	CcFr1-2021_NUM1-040	50N106E QSE	Grattoir in situ niv 10-20 (Ah) en plan	na
14-07-2021	41	CcFr1-2021_NUM1-041	Ambiance	Sylvain et son grattoir	NE
14-07-2021	42	CcFr1-2021_NUM1-042	51N103E QSW+SE	zone de sol + noir avec charbon et os blanchis	na
14-07-2021	43	CcFr1-2021_NUM1-043	52N102E QNE+SE	aone de sol + noir avec marmrures de Bf	na
14-07-2021	44	CcFr1-2021_NUM1-045	50N104E	Début niv 3 (Ah) et 4 (Bf)/fin niv 2	na
14-07-2021	45	CcFr1-2021_NUM1-044	51N105E	Fin niveau 1 arbitraire (Ah)	na
14-07-2021	46	CcFr1-2021_NUM1-046	52N106E	Fin du niv 2 (mélange de Ah/sol noir et de Bf)	na
14-07-2021	47	CcFr1-2021_NUM1-047	52N104E QNE	zone sol plus noir avec charbon et os blanchis/ tessons, vers la fin du Ah	na
14-07-2021	48	CcFr1-2021_NUM1-048	Ambiance	Sylvie et Liz	W
14-07-2021	49	CcFr1-2021_NUM1-049	Ambiance	Gilbert et sa racine	NE
14-07-2021	50	CcFr1-2021_NUM1-050	Ambiance	Gilbert et sa racine	N
14-07-2021	51	CcFr1-2021_NUM1-051	Ambiance	Gilbert et sa racine	SE
14-07-2021	52	CcFr1-2021_NUM1-052	Ambiance	Roland démonstration pour Alex, Oli et Liz	W
14-07-2021	53	CcFr1-2021_NUM1-053	50N106E	Sylvain et petit grattoir	SW
14-07-2021	54	CcFr1-2021_NUM1-054	50N104E	Niv 3 (Ah remplissant dépression) et niv 4 (Bf)	na
14-07-2021	55	CcFr1-2021_NUM1-055	Ambiance	Roland et Adrien	NW
14-07-2021	56	CcFr1-2021_NUM1-056	Ambiance	Extrait dictionnaire algonquin	na
15-07-2021	57	CcFr1-2021_NUM1-057	Ambiance	Paysage sur le chemin	na
15-07-2021	58	CcFr1-2021_NUM1-058	Ambiance	Paysage sur le chemin	na
15-07-2021	59	CcFr1-2021_NUM1-059	Ambiance	Paysage sur le chemin	na
15-07-2021	60	CcFr1-2021_NUM1-060	Ambiance	Paysage sur le chemin	na
15-07-2021	61	CcFr1-2021_NUM1-061	51N105E QSE	Fin niv 2 sur mélange de Bf et de rubéfié	na
15-07-2021	62	CcFr1-2021_NUM1-062	Ambiance	Blake et Clotilde	SE
15-07-2021	63	CcFr1-2021_NUM1-063	Ambiance	Blake et Clotilde	SE
15-07-2021	64	CcFr1-2021_NUM1-064	Ambiance	Sylvain et sa pointe	SW
15-07-2021	65	CcFr1-2021_NUM1-065	Ambiance	Sylvain et sa pointe	SW
15-07-2021	66	CcFr1-2021_NUM1-066	Ambiance	Sylvain et sa pointe	na
15-07-2021	67	CcFr1-2021_NUM1-067	50N106E QSW	Pointe in situ (en plan)	na
15-07-2021	68	CcFr1-2021_NUM1-068	52N102E	Fin niv 2 sur mélange de Ah et début Bf	na
15-07-2021	69	CcFr1-2021_NUM1-069	52N102E	Fin niv 2 sur mélange de Ah et début Bf	na
15-07-2021	70	CcFr1-2021_NUM1-070	52N106E	Fin niv 3 (inégal) sur le sable orangé (=niv 4)	na
15-07-2021	71	CcFr1-2021_NUM1-071	Ambiance	Fouille et tamisage	SE
15-07-2021	72	CcFr1-2021_NUM1-072	50N106E	Fin niv 2 / sommet niv 3	na
15-07-2021	73	CcFr1-2021_NUM1-073	52N104E	Fin niv 3 (sable orangé) / sommet niv 4 anomalies	na
15-07-2021	74	CcFr1-2021_NUM1-074	51N105E	Fin niv 2 (Ah)/ sommet anomalies (niv 3) et BF (niv 4)	na
15-07-2021	75	CcFr1-2021_NUM1-075	50N104E	Fin niv 4 (Bf)	na
15-07-2021	76	CcFr1-2021_NUM1-076	50N102E	Fin niv 4 et fin de fouilles	na
15-07-2021	77	CcFr1-2021_NUM1-077	50N102E	Paroi N	N
15-07-2021	78	CcFr1-2021_NUM1-078	50N102E	Paroi E	E
15-07-2021	79	CcFr1-2021_NUM1-079	50N102E	Paroi S	S
15-07-2021	80	CcFr1-2021_NUM1-080	50N102E	Paroi W	W
15-07-2021	81	CcFr1-2021_NUM1-081	51N103E	vue en plan du foyer	na

Date	Cliché	No photo	Identification	Description	Orientation
15-07-2021	82	CcFr1-2021_NUM1-082	51N103E	Coupe du foyer	NW
15-07-2021	83	CcFr1-2021_NUM1-083	51N103E	Coupe du foyer, par N du QSW	N
15-07-2021	84	CcFr1-2021_NUM1-084	51N103E	Coupe du foyer, par N du QSW	N
15-07-2021	85	CcFr1-2021_NUM1-085	51N103E	Paroi W, détail du foyer	W
15-07-2021	86	CcFr1-2021_NUM1-086	51N103E	Paroi W, détail du foyer	W
15-07-2021	87	CcFr1-2021_NUM1-087	51N103E	Paroi W	W
15-07-2021	88	CcFr1-2021_NUM1-088	51N103E	Paroi W	W
15-07-2021	89	CcFr1-2021_NUM1-089	51N103E	Paroi W, détail de la base de la cuvette de foyer	W
15-07-2021	90	CcFr1-2021_NUM1-090	52N104E QNE	Possible structure de foyer avec pierres, en plan	na
15-07-2021	91	CcFr1-2021_NUM1-091	52N104E QNE	Coupe N d'une possible structure de foyer	N
15-07-2021	92	CcFr1-2021_NUM1-092	52N104E QNE	Coupe N d'une possible structure de foyer	N
15-07-2021	93	CcFr1-2021_NUM1-093	51N105E	Fin de fouille niv 3	N
15-07-2021	94	CcFr1-2021_NUM1-094	52N104E	Structure de foyer du Q NE	N
15-07-2021	95	CcFr1-2021_NUM1-095	50N106E	fin de fouille niv 3 (ratée)	N
15-07-2021	96	CcFr1-2021_NUM1-096	50N106E	fin de fouille niv 3	N
15-07-2021	97	CcFr1-2021_NUM1-097	Ambiance	Vue générale vers le NW	na
15-07-2021	98	CcFr1-2021_NUM1-098	50N104E	Zone de combustion? Paroi N du QSW	N
15-07-2021	99	CcFr1-2021_NUM1-099	Ambiance	Délégation politique	na
15-07-2021	100	CcFr1-2021_NUM1-100	Ambiance	Délégation politique	na
15-07-2021	101	CcFr1-2021_NUM1-101	Ambiance	Délégation politique	na
15-07-2021	102	CcFr1-2021_NUM1-102	Ambiance	Délégation politique	na
15-07-2021	103	CcFr1-2021_NUM1-103	Ambiance	Délégation politique	na
15-07-2021	104	CcFr1-2021_NUM1-104	Ambiance	Délégation politique	na
15-07-2021	105	CcFr1-2021_NUM1-105	Ambiance	Délégation politique	na
15-07-2021	106	CcFr1-2021_NUM1-106	Ambiance	Délégation politique	na
15-07-2021	107	CcFr1-2021_NUM1-107	Ambiance	Photo groupe	na
15-07-2021	108	CcFr1-2021_NUM1-108	Ambiance	Photo groupe	na
15-07-2021	109	CcFr1-2021_NUM1-109	Ambiance	Photo groupe	na
15-07-2021	110	CcFr1-2021_NUM1-110	Ambiance	Photo groupe	na
15-07-2021	111	CcFr1-2021_NUM1-111	Ambiance	Photo groupe	na
15-07-2021	112	CcFr1-2021_NUM1-112	Ambiance	Photo groupe	na
15-07-2021	113	CcFr1-2021_NUM1-113	Ambiance	Photo groupe	na
15-07-2021	114	CcFr1-2021_NUM1-114	Ambiance	Photo groupe	na
15-07-2021	115	CcFr1-2021_NUM1-115	52N104E QNE	Possible structure de foyer avec pierres retirées	N
15-07-2021	116	CcFr1-2021_NUM1-116	52N104E QNE	Possible structure de foyer avec pierres retirées	
15-07-2021	117	CcFr1-2021_NUM1-117	52N102E	niv 3 en fouille + début niv 4 v croquis millimétré	N
15-07-2021	118	CcFr1-2021_NUM1-118	50N104E QNW	Délimitation zone noirâtre	N
15-07-2021	119	CcFr1-2021_NUM1-119	52N104E	Fin de fouille	N
15-07-2021	120	CcFr1-2021_NUM1-120	51N105E	Fin de fouille	N
15-07-2021	121	CcFr1-2021_NUM1-121	52N106E	Strati N	N
15-07-2021	122	CcFr1-2021_NUM1-122	52N106E	Strati S	S
15-07-2021	123	CcFr1-2021_NUM1-123	52N106E	Strati E	E

Date	Cliché	No photo	Identification	Description	Orientation
15-07-2021	124	CcFr1-2021_NUM1-124	52N106E	Strati W	W
15-07-2021	125	CcFr1-2021_NUM1-125	50N106E	Fin de fouille	N
15-07-2021	126	CcFr1-2021_NUM1-126	52N102E	Fin du niv 4	N
15-07-2021	127	CcFr1-2021_NUM1-127	Ambiance		N
15-07-2021	128	CcFr1-2021_NUM1-128	50N104E	Coin NW du puits: sol + foncé et fond de cuvette	na
15-07-2021	129	CcFr1-2021_NUM1-129	50N106E	Strati paroi N	N
15-07-2021	130	CcFr1-2021_NUM1-130	50N106E	Strati paroi E	E
15-07-2021	131	CcFr1-2021_NUM1-131	50N106E	Strati paroi S	S
15-07-2021	132	CcFr1-2021_NUM1-132	50N106E	Strati paroi S	S
15-07-2021	133	CcFr1-2021_NUM1-133	50N106E	Strati paroi W	W
15-07-2021	134	CcFr1-2021_NUM1-134	50N104E QNW	Pierres en place	N
15-07-2021	135	CcFr1-2021_NUM1-135	50N104E	Strati N -ne pas utiliser-	N
15-07-2021	136	CcFr1-2021_NUM1-136	50N104E	Strati E -ne pas utiliser-	E
15-07-2021	137	CcFr1-2021_NUM1-137	50N104E	Fin du niv 3	N
15-07-2021	138	CcFr1-2021_NUM1-138	50N104E	Fin de fouille	N
20-07-2021	139	CcFr1-2021_NUM1-139	51N103E QSE	Stratification sable de plage	N
20-07-2021	140	CcFr1-2021_NUM1-140	51N103E QSE	Stratification sable de plage	N
20-07-2021	141	CcFr1-2021_NUM1-141	50N104E	Fin de fouille	N
20-07-2021	142	CcFr1-2021_NUM1-142	50N104E QNW	Stratification sable de plage	N
20-07-2021	143	CcFr1-2021_NUM1-143	50N104E	Paroi N	N
20-07-2021	144	CcFr1-2021_NUM1-144	50N104E	Paroi E	E
20-07-2021	145	CcFr1-2021_NUM1-145	50N104E	Paroi W	E
20-07-2021	146	CcFr1-2021_NUM1-146	50N104E	Paroi S	S
20-07-2021	147	CcFr1-2021_NUM1-147	50N106E	Strati paroi S et extension jusqu'à la limite 49N106E	S
20-07-2021	148	CcFr1-2021_NUM1-148	52N104E QNE	Stratification sable de plage	N
20-07-2021	149	CcFr1-2021_NUM1-149	52N104E	Paroi N	N
20-07-2021	150	CcFr1-2021_NUM1-150	52N104E	Paroi E	E
20-07-2021	151	CcFr1-2021_NUM1-151	52N104E	Paroi S	S
20-07-2021	152	CcFr1-2021_NUM1-152	52N104E	Paroi W	W
20-07-2021	153	CcFr1-2021_NUM1-153	52N102E	Fin de fouille	N
20-07-2021	154	CcFr1-2021_NUM1-154	52N102E	Paroi N	N
20-07-2021	155	CcFr1-2021_NUM1-155	52N102E	Paroi E	E
20-07-2021	156	CcFr1-2021_NUM1-156	52N102E	Paroi S	S
20-07-2021	157	CcFr1-2021_NUM1-157	52N102E	Paroi S, détail coin SW	S
20-07-2021	158	CcFr1-2021_NUM1-158	52N102E	Paroi W	W
20-07-2021	159	CcFr1-2021_NUM1-159	51N103E	Fin de fouille	N
20-07-2021	160	CcFr1-2021_NUM1-160	51N103E	Paroi N	N
20-07-2021	161	CcFr1-2021_NUM1-161	51N103E	Paroi N	N
20-07-2021	162	CcFr1-2021_NUM1-162	51N103E	Paroi E	E
20-07-2021	163	CcFr1-2021_NUM1-163	51N103E	Paroi S	S
20-07-2021	164	CcFr1-2021_NUM1-164	51N103E	Paroi W	W
20-07-2021	165	CcFr1-2021_NUM1-165	Ambiance	Équipe fait strati	

Date	Cliché	No photo	Identification	Description	Orientation
20-07-2021	166	CcFr1-2021_NUM1-166	Ambiance	Clotilde et Blythe font stratis	
20-07-2021	167	CcFr1-2021_NUM1-167	Ambiance	Dolcy, Blythe et Liz tamisent	
20-07-2021	168	CcFr1-2021_NUM1-168	Ambiance	Clotilde en fouille	
20-07-2021	169	CcFr1-2021_NUM1-169	Ambiance	Alex dessine strati	
20-07-2021	170	CcFr1-2021_NUM1-170	Général	Fin de fouilles avant remblais	SE
20-07-2021	171	CcFr1-2021_NUM1-171	Général	Fin de fouilles avant remblais	SE
20-07-2021	172	CcFr1-2021_NUM1-172	Général	Fin de fouilles avant remblais	SE
20-07-2021	173	CcFr1-2021_NUM1-173	Général	Fin de fouilles avant remblais	SE
20-07-2021	174	CcFr1-2021_NUM1-174	Général	Fin de fouilles avant remblais	SE
20-07-2021	175	CcFr1-2021_NUM1-175	Général	Aire de fouille après remise en état	
20-07-2021	176	CcFr1-2021_NUM1-176	Général	Aire de fouille après remise en état	
14-07-2021	177	CcFr1-2021_NUM1-177	J47	Fin de fouille	en plan
14-07-2021	178	CcFr1-2021_NUM1-178	J47	Paroi Sud	S
14-07-2021	179	CcFr1-2021_NUM1-179	J48	En fouille, sommet couche moirée-noirâtre avec cailloux	En plan
14-07-2021	180	CcFr1-2021_NUM1-180	J48	Paroi E	E
14-07-2021	181	CcFr1-2021_NUM1-181	Général	Sondages chez Claudie J45/46/47/48	SE
14-07-2021	182	CcFr1-2021_NUM1-182	J49	Paroi N	N
14-07-2021	183	CcFr1-2021_NUM1-183	J50	Base plage, juste avant argile brune (couche2)	En plan
14-07-2021	184	CcFr1-2021_NUM1-184	J50	Paroi E	E
14-07-2021	185	CcFr1-2021_NUM1-185	J50	Localisation devant escalier	N
14-07-2021	186	CcFr1-2021_NUM1-186	J49-J50	Localisation (v. borne géodésique au bout du kayak jaune)	NW
14-07-2021	187	CcFr1-2021_NUM1-187	J51	Paroi N	N

Projet: NOM2021 R. Cartier CcFr-5

Archéologue: OP

Film no: 1

Type NUM

Date	Cliché	No photo	Identification	Description	Orientation
12-07-2021	1	CcFr1-2021_NUM1-001	Ambiance	Début fouilles	S
12-07-2021	2	CcFr1-2021_NUM1-002	Ambiance	Tamisage	NW
12-07-2021	3	CcFr1-2021_NUM1-003	Ambiance	Fouille et tamisage	E
13-07-2021	4	CcFr1-2021_NUM1-004	Ambiance	Début fouilles	S
13-07-2021	5	CcFr1-2021_NUM1-005	52N106E	Fin niveau 1 (remblai 2020 sur géotextile)	na
13-07-2021	6	CcFr1-2021_NUM1-006	Ambiance	Pose des toiles	W
13-07-2021	7	CcFr1-2021_NUM1-007	Ambiance	Pose des toiles	NW
13-07-2021	8	CcFr1-2021_NUM1-008	Ambiance	Pose des toiles	SW
13-07-2021	9	CcFr1-2021_NUM1-009	Ambiance	Pose des toiles	SW
13-07-2021	10	CcFr1-2021_NUM1-010	J45	Paroi Nord sur sommet ferme orangé à environ 30 cm	N
13-07-2021	11	CcFr1-2021_NUM1-011	J45	Sommet sable orangé à environ 20-30 cm	na
13-07-2021	12	CcFr1-2021_NUM1-012	50N104E	Fin niveau 1 (en plan)	na
13-07-2021	13	CcFr1-2021_NUM1-013	Ambiance	Pose des toiles	
13-07-2021	14	CcFr1-2021_NUM1-014	Ambiance	Pose des toiles	
13-07-2021	15	CcFr1-2021_NUM1-015	Ambiance	Pose des toiles	
13-07-2021	16	CcFr1-2021_NUM1-016	50N102E	Blake Commando et Roland	W
13-07-2021	17	CcFr1-2021_NUM1-017	52N102E	Clotilde Roger	N
13-07-2021	18	CcFr1-2021_NUM1-018	52N104E	Alex Vendetti	W
13-07-2021	19	CcFr1-2021_NUM1-019	52N104E	Alex Vendetti	W
13-07-2021	20	CcFr1-2021_NUM1-020	52N106E	Dolcy Meness	E
13-07-2021	21	CcFr1-2021_NUM1-021	52N106E	Dolcy Meness	E
13-07-2021	22	CcFr1-2021_NUM1-022	51N105E	Mathieu Gaudreault	NE
13-07-2021	23	CcFr1-2021_NUM1-023	50N106E	Sylvain Généreux	N
13-07-2021	24	CcFr1-2021_NUM1-024	50N104E	Adrien Cesario	W
13-07-2021	25	CcFr1-2021_NUM1-025	Escalier	Type de pierre de l'escalier trouvé en fragments en surface de 50N104E	S
13-07-2021	26	CcFr1-2021_NUM1-026	J45	Fin de fouille en plan	na
13-07-2021	27	CcFr1-2021_NUM1-027	J45	Strati paroi Nord	N
13-07-2021	28	CcFr1-2021_NUM1-028	52N102e	Fin niveau (en plan)	na
13-07-2021	29	CcFr1-2021_NUM1-029	Ambiance	fouilles sous l'abri	N
13-07-2021	30	CcFr1-2021_NUM1-030	Ambiance	Lunch chez Robert	N
13-07-2021	31	CcFr1-2021_NUM1-031	Ambiance	Roland, Blake et Liz au tamisage	NE
13-07-2021	32	CcFr1-2021_NUM1-032	J46	Paroi Nord	N
13-07-2021	33	CcFr1-2021_NUM1-033	J47	Sommet niveau 20 cm + (sable orangé) artefacts en place	W
13-07-2021	34	CcFr1-2021_NUM1-034	52N106E	fin niveau 2 (10-20) du QNE: lentille sable gris et zone sable noirâtre et charbon	N
13-07-2021	35	CcFr1-2021_NUM1-035	52N106E	Idem	N
13-07-2021	36	CcFr1-2021_NUM1-036	50N104E	fin niveau 2 (en plan)	na
13-07-2021	37	CcFr1-2021_NUM1-037	52N104E	fin niveau 2 (en plan)	na
14-07-2021	38	CcFr1-2021_NUM1-038	Ambiance	Aire de fouille et abri	S
14-07-2021	39	CcFr1-2021_NUM1-039	50N106E QSE	Grattoir et tesson in situ niv 10-20 (Ah) en plan	na

Date	Cliché	No photo	Identification	Description	Orientation
14-07-2021	40	CcFr1-2021_NUM1-040	50N106E QSE	Grattoir in situ niv 10-20 (Ah) en plan	na
14-07-2021	41	CcFr1-2021_NUM1-041	Ambiance	Sylvain et son grattoir	NE
14-07-2021	42	CcFr1-2021_NUM1-042	51N103E QSW+SE	zone de sol + noir avec charbon et os blanchis	na
14-07-2021	43	CcFr1-2021_NUM1-043	52N102E QNE+SE	aone de sol + noir avec marmrures de Bf	na
14-07-2021	44	CcFr1-2021_NUM1-045	50N104E	Début niv 3 (Ah) et 4 (Bf)/fin niv 2	na
14-07-2021	45	CcFr1-2021_NUM1-044	51N105E	Fin niveau 1 arbitraire (Ah)	na
14-07-2021	46	CcFr1-2021_NUM1-046	52N106E	Fin du niv 2 (mélange de Ah/sol noir et de Bf)	na
14-07-2021	47	CcFr1-2021_NUM1-047	52N104E QNE	zone sol plus noir avec charbon et os blanchis/ tessons, vers la fin du Ah	na
14-07-2021	48	CcFr1-2021_NUM1-048	Ambiance	Sylvie et Liz	W
14-07-2021	49	CcFr1-2021_NUM1-049	Ambiance	Gilbert et sa racine	NE
14-07-2021	50	CcFr1-2021_NUM1-050	Ambiance	Gilbert et sa racine	N
14-07-2021	51	CcFr1-2021_NUM1-051	Ambiance	Gilbert et sa racine	SE
14-07-2021	52	CcFr1-2021_NUM1-052	Ambiance	Roland démonstration pour Alex, Oli et Liz	W
14-07-2021	53	CcFr1-2021_NUM1-053	50N106E	Sylvain et petit grattoir	SW
14-07-2021	54	CcFr1-2021_NUM1-054	50N104E	Niv 3 (Ah remplissant dépression) et niv 4 (Bf)	na
14-07-2021	55	CcFr1-2021_NUM1-055	Ambiance	Roland et Adrien	NW
14-07-2021	56	CcFr1-2021_NUM1-056	Ambiance	Extrait dictionnaire algonquin	na
15-07-2021	57	CcFr1-2021_NUM1-057	Ambiance	Paysage sur le chemin	na
15-07-2021	58	CcFr1-2021_NUM1-058	Ambiance	Paysage sur le chemin	na
15-07-2021	59	CcFr1-2021_NUM1-059	Ambiance	Paysage sur le chemin	na
15-07-2021	60	CcFr1-2021_NUM1-060	Ambiance	Paysage sur le chemin	na
15-07-2021	61	CcFr1-2021_NUM1-061	51N105E QSE	Fin niv 2 sur mélange de Bf et de rubéfié	na
15-07-2021	62	CcFr1-2021_NUM1-062	Ambiance	Blake et Clotilde	SE
15-07-2021	63	CcFr1-2021_NUM1-063	Ambiance	Blake et Clotilde	SE
15-07-2021	64	CcFr1-2021_NUM1-064	Ambiance	Sylvain et sa pointe	SW
15-07-2021	65	CcFr1-2021_NUM1-065	Ambiance	Sylvain et sa pointe	SW
15-07-2021	66	CcFr1-2021_NUM1-066	Ambiance	Sylvain et sa pointe	na
15-07-2021	67	CcFr1-2021_NUM1-067	50N106E QSW	Pointe in situ (en plan)	na
15-07-2021	68	CcFr1-2021_NUM1-068	52N102E	Fin niv 2 sur mélange de Ah et début Bf	na
15-07-2021	69	CcFr1-2021_NUM1-069	52N102E	Fin niv 2 sur mélange de Ah et début Bf	na
15-07-2021	70	CcFr1-2021_NUM1-070	52N106E	Fin niv 3 (inégal) sur le sable orangé (=niv 4)	na
15-07-2021	71	CcFr1-2021_NUM1-071	Ambiance	Fouille et tamisage	SE
15-07-2021	72	CcFr1-2021_NUM1-072	50N106E	Fin niv 2 / sommet niv 3	na
15-07-2021	73	CcFr1-2021_NUM1-073	52N104E	Fin niv 3 (sable orangé) / sommet niv 4 anomalies	na
15-07-2021	74	CcFr1-2021_NUM1-074	51N105E	Fin niv 2 (Ah)/ sommet anomalies (niv 3) et BF (niv 4)	na
15-07-2021	75	CcFr1-2021_NUM1-075	50N104E	Fin niv 4 (Bf)	na
15-07-2021	76	CcFr1-2021_NUM1-076	50N102E	Fin niv 4 et fin de fouilles	na
15-07-2021	77	CcFr1-2021_NUM1-077	50N102E	Paroi N	N
15-07-2021	78	CcFr1-2021_NUM1-078	50N102E	Paroi E	E
15-07-2021	79	CcFr1-2021_NUM1-079	50N102E	Paroi S	S
15-07-2021	80	CcFr1-2021_NUM1-080	50N102E	Paroi W	W
15-07-2021	81	CcFr1-2021_NUM1-081	51N103E	vue en plan du foyer	na

Date	Cliché	No photo	Identification	Description	Orientation
15-07-2021	82	CcFr1-2021_NUM1-082	51N103E	Coupe du foyer	NW
15-07-2021	83	CcFr1-2021_NUM1-083	51N103E	Coupe du foyer, par N du QSW	N
15-07-2021	84	CcFr1-2021_NUM1-084	51N103E	Coupe du foyer, par N du QSW	N
15-07-2021	85	CcFr1-2021_NUM1-085	51N103E	Paroi W, détail du foyer	W
15-07-2021	86	CcFr1-2021_NUM1-086	51N103E	Paroi W, détail du foyer	W
15-07-2021	87	CcFr1-2021_NUM1-087	51N103E	Paroi W	W
15-07-2021	88	CcFr1-2021_NUM1-088	51N103E	Paroi W	W
15-07-2021	89	CcFr1-2021_NUM1-089	51N103E	Paroi W, détail de la base de la cuvette de foyer	W
15-07-2021	90	CcFr1-2021_NUM1-090	52N104E QNE	Possible structure de foyer avec pierres, en plan	na
15-07-2021	91	CcFr1-2021_NUM1-091	52N104E QNE	Coupe N d'une possible structure de foyer	N
15-07-2021	92	CcFr1-2021_NUM1-092	52N104E QNE	Coupe N d'une possible structure de foyer	N
15-07-2021	93	CcFr1-2021_NUM1-093	51N105E	Fin de fouille niv 3	N
15-07-2021	94	CcFr1-2021_NUM1-094	52N104E	Structure de foyer du Q NE	N
15-07-2021	95	CcFr1-2021_NUM1-095	50N106E	fin de fouille niv 3 (ratée)	N
15-07-2021	96	CcFr1-2021_NUM1-096	50N106E	fin de fouille niv 3	N
15-07-2021	97	CcFr1-2021_NUM1-097	Ambiance	Vue générale vers le NW	na
15-07-2021	98	CcFr1-2021_NUM1-098	50N104E	Zone de combustion? Paroi N du QSW	N
15-07-2021	99	CcFr1-2021_NUM1-099	Ambiance	Délégation politique	na
15-07-2021	100	CcFr1-2021_NUM1-100	Ambiance	Délégation politique	na
15-07-2021	101	CcFr1-2021_NUM1-101	Ambiance	Délégation politique	na
15-07-2021	102	CcFr1-2021_NUM1-102	Ambiance	Délégation politique	na
15-07-2021	103	CcFr1-2021_NUM1-103	Ambiance	Délégation politique	na
15-07-2021	104	CcFr1-2021_NUM1-104	Ambiance	Délégation politique	na
15-07-2021	105	CcFr1-2021_NUM1-105	Ambiance	Délégation politique	na
15-07-2021	106	CcFr1-2021_NUM1-106	Ambiance	Délégation politique	na
15-07-2021	107	CcFr1-2021_NUM1-107	Ambiance	Photo groupe	na
15-07-2021	108	CcFr1-2021_NUM1-108	Ambiance	Photo groupe	na
15-07-2021	109	CcFr1-2021_NUM1-109	Ambiance	Photo groupe	na
15-07-2021	110	CcFr1-2021_NUM1-110	Ambiance	Photo groupe	na
15-07-2021	111	CcFr1-2021_NUM1-111	Ambiance	Photo groupe	na
15-07-2021	112	CcFr1-2021_NUM1-112	Ambiance	Photo groupe	na
15-07-2021	113	CcFr1-2021_NUM1-113	Ambiance	Photo groupe	na
15-07-2021	114	CcFr1-2021_NUM1-114	Ambiance	Photo groupe	na
15-07-2021	115	CcFr1-2021_NUM1-115	52N104E QNE	Possible structure de foyer avec pierres retirées	N
15-07-2021	116	CcFr1-2021_NUM1-116	52N104E QNE	Possible structure de foyer avec pierres retirées	
15-07-2021	117	CcFr1-2021_NUM1-117	52N102E	niv 3 en fouille + début niv 4 v croquis millimétré	N
15-07-2021	118	CcFr1-2021_NUM1-118	50N104E QNW	Délimitation zone noirâtre	N
15-07-2021	119	CcFr1-2021_NUM1-119	52N104E	Fin de fouille	N
15-07-2021	120	CcFr1-2021_NUM1-120	51N105E	Fin de fouille	N
15-07-2021	121	CcFr1-2021_NUM1-121	52N106E	Strati N	N
15-07-2021	122	CcFr1-2021_NUM1-122	52N106E	Strati S	S
15-07-2021	123	CcFr1-2021_NUM1-123	52N106E	Strati E	E

Date	Cliché	No photo	Identification	Description	Orientation
15-07-2021	124	CcFr1-2021_NUM1-124	52N106E	Strati W	W
15-07-2021	125	CcFr1-2021_NUM1-125	50N106E	Fin de fouille	N
15-07-2021	126	CcFr1-2021_NUM1-126	52N102E	Fin du niv 4	N
15-07-2021	127	CcFr1-2021_NUM1-127	Ambiance		N
15-07-2021	128	CcFr1-2021_NUM1-128	50N104E	Coin NW du puits: sol + foncé et fond de cuvette	na
15-07-2021	129	CcFr1-2021_NUM1-129	50N106E	Strati paroi N	N
15-07-2021	130	CcFr1-2021_NUM1-130	50N106E	Strati paroi E	E
15-07-2021	131	CcFr1-2021_NUM1-131	50N106E	Strati paroi S	S
15-07-2021	132	CcFr1-2021_NUM1-132	50N106E	Strati paroi S	S
15-07-2021	133	CcFr1-2021_NUM1-133	50N106E	Strati paroi W	W
15-07-2021	134	CcFr1-2021_NUM1-134	50N104E QNW	Pierres en place	N
15-07-2021	135	CcFr1-2021_NUM1-135	50N104E	Strati N -ne pas utiliser-	N
15-07-2021	136	CcFr1-2021_NUM1-136	50N104E	Strati E -ne pas utiliser-	E
15-07-2021	137	CcFr1-2021_NUM1-137	50N104E	Fin du niv 3	N
15-07-2021	138	CcFr1-2021_NUM1-138	50N104E	Fin de fouille	N
15-07-2021	139	CcFr1-2021_NUM1-139	51N103E QSE	Stratification sable de plage	N
15-07-2021	140	CcFr1-2021_NUM1-140	51N103E QSE	Stratification sable de plage	N
15-07-2021	141	CcFr1-2021_NUM1-141	50N104E	Fin de fouille	N
15-07-2021	142	CcFr1-2021_NUM1-142	50N104E QNW	Stratification sable de plage	N
15-07-2021	143	CcFr1-2021_NUM1-143	50N104E	Paroi N	N
15-07-2021	144	CcFr1-2021_NUM1-144	50N104E	Paroi E	E
15-07-2021	145	CcFr1-2021_NUM1-145	50N104E	Paroi W	E
15-07-2021	146	CcFr1-2021_NUM1-146	50N104E	Paroi S	S
15-07-2021	147	CcFr1-2021_NUM1-147	50N106E	Strati paroi S et extension jusqu'à la limite 49N106E	S
16-07-2021	148	CcFr1-2021_NUM1-148	52N104E QNE	Stratification sable de plage	N
16-07-2021	149	CcFr1-2021_NUM1-149	52N104E	Paroi N	N
16-07-2021	150	CcFr1-2021_NUM1-150	52N104E	Paroi E	E
16-07-2021	151	CcFr1-2021_NUM1-151	52N104E	Paroi S	S
16-07-2021	152	CcFr1-2021_NUM1-152	52N104E	Paroi W	W
16-07-2021	153	CcFr1-2021_NUM1-153	52N102E	Fin de fouille	N
16-07-2021	154	CcFr1-2021_NUM1-154	52N102E	Paroi N	N
16-07-2021	155	CcFr1-2021_NUM1-155	52N102E	Paroi E	E
16-07-2021	156	CcFr1-2021_NUM1-156	52N102E	Paroi S	S
16-07-2021	157	CcFr1-2021_NUM1-157	52N102E	Paroi S, détail coin SW	S
16-07-2021	158	CcFr1-2021_NUM1-158	52N102E	Paroi W	W
16-07-2021	159	CcFr1-2021_NUM1-159	51N103E	Fin de fouille	N
16-07-2021	160	CcFr1-2021_NUM1-160	51N103E	Paroi N	N
16-07-2021	161	CcFr1-2021_NUM1-161	51N103E	Paroi N	N
16-07-2021	162	CcFr1-2021_NUM1-162	51N103E	Paroi E	E
16-07-2021	163	CcFr1-2021_NUM1-163	51N103E	Paroi S	S
16-07-2021	164	CcFr1-2021_NUM1-164	51N103E	Paroi W	W
16-07-2021	165	CcFr1-2021_NUM1-165	Ambiance	Équipe fait strati	

Date	Cliché	No photo	Identification	Description	Orientation
16-07-2021	166	CcFr1-2021_NUM1-166	Ambiance	Clotilde et Blythe font stratis	
16-07-2021	167	CcFr1-2021_NUM1-167	Ambiance	Dolcy, Blythe et Liz tamisent	
16-07-2021	168	CcFr1-2021_NUM1-168	Ambiance	Clotilde en fouille	
16-07-2021	169	CcFr1-2021_NUM1-169	Ambiance	Alex dessine strati	
16-07-2021	170	CcFr1-2021_NUM1-170	Général	Fin de fouilles avant remblais	SE
16-07-2021	171	CcFr1-2021_NUM1-171	Général	Fin de fouilles avant remblais	SE
16-07-2021	172	CcFr1-2021_NUM1-172	Général	Fin de fouilles avant remblais	SE
16-07-2021	173	CcFr1-2021_NUM1-173	Général	Fin de fouilles avant remblais	SE
16-07-2021	174	CcFr1-2021_NUM1-174	Général	Fin de fouilles avant remblais	SE
16-07-2021	175	CcFr1-2021_NUM1-175	Général	Aire de fouille après remise en état	
16-07-2021	176	CcFr1-2021_NUM1-176	Général	Aire de fouille après remise en état	
14-07-2021	177	CcFr1-2021_NUM1-177	J47	Fin de fouille	en plan
14-07-2021	178	CcFr1-2021_NUM1-178	J47	Paroi Sud	S
14-07-2021	179	CcFr1-2021_NUM1-179	J48	En fouille, sommet couche moirée-noirâtre avec cailloux	En plan
14-07-2021	180	CcFr1-2021_NUM1-180	J48	Paroi E	E
14-07-2021	181	CcFr1-2021_NUM1-181	Général	Sondages chez Claudie J45/46/47/48	SE
14-07-2021	182	CcFr1-2021_NUM1-182	J49	Paroi N	N
14-07-2021	183	CcFr1-2021_NUM1-183	J50	Base plage, juste avant argile brune (couche2)	En plan
14-07-2021	184	CcFr1-2021_NUM1-184	J50	Paroi E	E
14-07-2021	185	CcFr1-2021_NUM1-185	J50	Localisation devant escalier	N
14-07-2021	186	CcFr1-2021_NUM1-186	J49-J50	Localisation (v. borne géodésique au bout du kayak jaune)	NW
14-07-2021	187	CcFr1-2021_NUM1-187	J51	Paroi N	N

